

03081



UNIVERSIDAD NACIONAL AUTONOMA  
DE MEXICO

CENTRO DE INVESTIGACION SOBRE FIJACION  
DE NITROGENO

METABOLISMO DE CARBONO Y NITROGENO EN LA  
FERMENTACION Y AEROBIOISIS DE Rhizobium etli

T E S I S

QUE PARA OBTENER EL GRADO DE:  
DOCTOR EN INVESTIGACION  
BIOMEDICA BASICA  
P R E S E N T A :  
SERGIO MANUEL ENCARNACION QUEVARA

CUERNAVACA, MOR.

1997

TESIS CON  
PAPEL DE ORIGEN



**UNAM – Dirección General de Bibliotecas**

**Tesis Digitales**  
**Restricciones de uso**

**DERECHOS RESERVADOS ©**  
**PROHIBIDA SU REPRODUCCIÓN TOTAL O PARCIAL**

Todo el material contenido en esta tesis está protegido por la Ley Federal del Derecho de Autor (LFDA) de los Estados Unidos Mexicanos (México).

El uso de imágenes, fragmentos de videos, y demás material que sea objeto de protección de los derechos de autor, será exclusivamente para fines educativos e informativos y deberá citar la fuente donde la obtuvo mencionando el autor o autores. Cualquier uso distinto como el lucro, reproducción, edición o modificación, será perseguido y sancionado por el respectivo titular de los Derechos de Autor.

... y si he podido ver a lo lejos es porque me ha apoyado en los hombres de unos gigantes.

Isaac Newton.

Dedico la presente tesis con todo cariño, a mis papás, por enseñarme el camino de la vida de la manera más amorosa y responsable, a quienes sin su apoyo seguramente no estaría yo escribiendo esta tesis.

A Ma. del Carmen por su apoyo incondicional tanto moral como académico, por sus palabras de aliento en todo momento, pero sobre todo por su cariño y por aceptar compartir la vida conmigo.

A mis hermanos Arminda y Javier por permitirme quererles tanto como les quiero.

A mi ahijado y sobrino Bolívar Jesús, por darme tanta felicidad a todos.

A mi maestro Jaime Mora por su amistad, confianza y enorme compromiso con mi formación académica.

A mi amigo Jorge Calderón en donde quiera que este.

A todos los que hicieron posible este trabajo.

Normalmente cuando uno llega a este punto de la escritura de una tesis, se piensa que lo más difícil ya está hecho, pero en realidad esta parte es sin duda la más compleja, cuando tiene uno que agradecer a las personas que han colaborado directa o indirectamente en la elaboración de un trabajo de tesis o en la formación académica del redactor de una tesis, y esto no es porque sea difícil agradecer a quien nos ha ayudado, sino porque es difícil no olvidar a alguno.

Agradezco a los Drs. Jaime Mora Celis, Georgina Hernández Delgado, Guillermo Dávila Ramos y Jorge Calderón Jiménez por su asesoría durante el Doctorado.

A los Drs. Edgardo Escamilla, Julio Collado, Jesús Aguirre, Mario Soberón y nuevamente a Guillermo Dávila y Jorge Calderón por sus comentarios durante la revisión de la tesis.

A Yolanda Mora por el cuidado y esmero en la redacción de esta tesis.

A mis compañeros y amigos del Centro de Investigación Sobre Fijación de Nitrógeno, por su amistad, ayuda y por los buenos momentos: a Mere, Araceli, Adriana C., Pedro B, Tota, Alberto, Víctor, Nacho, Humberto, Sandra, Mike, Gisela, Martha, Nancy, Chivis, Adriana S, Pedro A, Alfonso, Alma, Amparo, Lupita, Oscar, Juanito, Ernesto P, Conchita, César, David, Patrick, Mario, Ramón, Sara Isabel, Jesús C, Jesús A y Svieta. A mis amigos del IBT y IIB Brenda, Humberto B, Sacorro, Gisela D, Germán, Luz María, Lety y Verónica N.

**Este trabajo se realizó bajo la Dirección del Dr. Jaime Mora Cella en el Departamento de Ecología Molecular del Centro de Investigación sobre Fijación de Nitrógeno perteneciente a la Universidad Nacional Autónoma de México.**

## CONTENIDO.

<b>1.- Introducción.....</b>	<b>2</b>
1.1.- La disminución del crecimiento.....	4
1.1.1.- Cambios morfológicos y fisiológicos presentes en bacterias que dejan de crecer.....	5
1.1.2.- Síntesis de proteínas en células que dejan de crecer.....	6
1.2.- Metabolismo de carbono en <i>Bhisebium</i> .....	6
1.2.1.- Posibilidades nutricionales para <i>Bhisebium</i> .....	7
1.2.2.- Mutantes en el metabolismo de carbono.....	9
1.2.3.- Niveles enzimáticos.....	11
1.2.4.- Regulación del ciclo de los ácidos tricarboxílicos.....	12
1.2.5.- Síntesis de PHB.....	13
1.2.5.1.-Síntesis de PHB en <i>Azotobacter baillusii</i> .....	13
1.2.5.2.-Síntesis de PHB en <i>Bhisebium</i> .....	14
1.3.- Integración del metabolismo de carbono y nitrógeno.....	15
1.4.- La biología de los radicales del oxígeno.....	16
1.4.1.- Catalasas.....	18
1.5.- La red de regulación dependiente del gene <i>gadA</i> .....	19
1.6.- Comunicación Bacteriana a través de N-ácid homoserinas lactonas.....	20
1.6.1.- Circuitos regulatorios del tipo luxI-luxR.....	21
1.7.- Señales involucradas en la nodulación.....	22
1.7.1.- Comunicación intracelular y pequeñas bacteriocinas en <i>Bhisebium</i> .....	23
<b>2.- Justificación.....</b>	<b>24</b>
<b>3.- Resultados.</b>	
3.1.- Manuscrito del artículo "Fermentative and aerobic metabolism in <i>Bhisebium sphaeroides</i> ".....	30
3.2.- Manuscrito del artículo "Genetic and physiological characterization of a <i>Bhisebium sphaeroides</i> mutant strain unable to synthesize poly- $\beta$ -hydroxybutyrate".....	40
3.3.- Manuscrito del artículo "Pyruvate carboxylase from <i>Bhisebium sphaeroides</i> mutant characterization, nucleotide sequence, and physiological role".....	50
3.4.- Manuscrito del artículo "Glutamine biosynthesis and the utilization of succinate and glutamine	

#### SUMMARY.

Strains of *Rhizobium etli*, *R. meliloti*, and *R. tropici* decreased their capacity to grow after successive subcultures in Minimal Medium (MM), with a pattern characteristic for each species. During the growth in MM, a fermentation like response is characterized by: organic acids and amino acids were excreted and poly- $\beta$ -hydroxybutyrate (PHB) was accumulated, and concomitantly, the activities of several TCA cycle and auxiliary enzymes like PYC, PDH y OGDH decreased substantially or became undetectable, and cell aggregation. Optimal and sustained growth and a low PHB content were found in *R. etli* when it was grown in MM in the presence of supplements such as biotin, thiamine, glutamine, fatty acids (palmitic and stearic) malate and fumarate or inoculated at a low cell density with O<sub>2</sub> maintained at 20%. Although these *Rhizobium* strains are not auxotrophic for biotin or thiamine the addition of each compound restores enzyme activities.

*R. etli* accumulates PHB and this is a biological marker of the fermentative metabolism, to elucidate the role of PHB on the carbon metabolism we constructed an *R. etli* PHB-negative mutant, did not accumulate PHB under any condition tested; however, during growth in MM large amounts of organic acids are excreted. The remarkable amount of metabolites excreted by the mutant-strain is direct evidence that this strain is less capable than the wild-type strain of effectively oxidizing the carbon source. This mutant grew poorly with pyruvate or glucose as the carbon source. A lower NAD+/NADH ratio was observed in the mutant strain, something that has to be related to the absence of a sink (PHB) for reductive power. It is known that these cofactors inhibit some of the enzymes of the TCA cycle or auxiliary enzymes. For instance, NADH inhibits PDH and OGDH. As already proposed for *R. etli*, PHB may be considered a necessary fermentative product that sequesters reductive power, allowing the TCA cycle to operate under microaerobic conditions.

In biotin-supplemented cultures, PYC activity was substantially increased in all subcultures. This enzyme requires a biotin prosthetic group for its activity. For this we cloned and mutagenized the pyc gene, the mutant was unable to grow in pyruvate as a carbon source. During serial subcultivation in MM containing 30 mM succinate, the *R. etli* parent and PYC mutant strain exhibited similar decreases in growth rate with each subculture. Supplementation of the medium with biotin prevented the growth decrease of the parent but not the mutant strain, indicating that PYC was necessary for the growth of *R. etli* under these conditions.

Isotopic studies with <sup>14</sup>C and <sup>13</sup>N-labeled compounds demonstrated that in *R. etli* and *R. meliloti* the glutamine nitrogen and carbon are turned over to ammonium and CO<sub>2</sub>; some of the ammonium released is assimilated back into glutamine. In contrast to many other bacteria, succinate is a good carbon source in *Rhizobium* and is effectively oxidized to CO<sub>2</sub> and oxidizes preferentially over glutamine. However an *R. meliloti* double mutant that lacks GSII and GSIII oxidizes glutamine more readily than succinate. GSII activity is very low when glutamine is a carbon and nitrogen source. The lack of induction of GSII in the absence of succinate suggests a role for this organic acid in the induction of this enzyme.

M. en C. Sergio Manuel Encarnación Guevara.

Vc. Bo.

Jaime Mora Celis.

## RESUMEN.

Cepas de *Bhizobium* *stali*, *R. meliloti* y *R. leguminicola* dejan de crecer después de subculturivos sucesivos en Medio Mínimo (MM) con un patrón específico para cada especie. Este crecimiento desbalanceado está asociado con un cambio de un metabolismo aeróbico a uno fermentativo. Se observó simultáneamente excreción de ácidos orgánicos, aminoácidos, acumulación de polibetahidroxibutirato (PHB) y concomitantemente un decremento en la actividad de algunas enzimas del ciclo TCA y enzimas auxiliares (anapleróticas), como PC, PDM y OGDN además de agregación celular. Un crecimiento óptimo, sostenido y con bajo contenido de PHB fue observado en *R. stali* CE3 cuando fué cultivado en MM con algunos suplementos adicionados como: biotina, tiamina, glutamina, ácidos grasos (palmitílico y estearílico), malato y fumarato; así cuando el crecimiento fué en condiciones especiales de cultivo, como al inocular a una baja densidad celular o al mantener en el MM, mediante burbujeo, una concentración de oxígeno entre 15 y 20%. En MM suplementado con tiamina o biotina la cepa silvestre de *R. stali* CE3 mantiene niveles elevados de las enzimas del TCA. *R. stali* no es un auxótrofo de estas vitaminas, este organismo es capaz de sintetizarlas y la síntesis de estas puede estar siendo reguladas negativamente en cierto momento del crecimiento en MM.

Uno de los marcadores del cambio de metabolismo es la acumulación de PHB, para conocer el papel de la acumulación de PHB en el metabolismo de carbono se obtuvo una mutante en la PHB-sintasa *phbC<sup>-</sup>*, la cual no acumula PHB y excreta al medio una concentración mayor de ácidos orgánicos, lo que indica que existe una menor capacidad de oxidación de la fuente de carbono, inclusive esta mutante no crece en piruvato o glucosa como fuente de carbono. Esto se debe a que las altas concentraciones de poder reductor, que no es secuestrado en la síntesis de PHB podría estar inhibiendo algunas actividades enzimáticas del TCA y de algunas enzimas auxiliares como la PDM. Nosotros proponemos que para *R. stali* el PHB puede ser considerado un producto de fermentación necesario ya que secuestra poder reductor, permitiendo la operación del TCA en condiciones microaeróbicas.

Por considerarla una enzima importante en el metabolismo aeróbico de *R. stali*, fué clonado y mutagenizado el gene de la Piruvato carboxilasa (PC) una enzima dependiente de biotina, observándose que la mutante no crece en piruvato como fuente de carbono y al ser subcultivada en succinato 30 mm es incapaz de crecer aun en presencia de esta vitamina, indicando que esta enzima es necesaria para el crecimiento de la bacteria al ser subcultivada en MM.

Mediante el uso de compuestos marcados con  $^{14}C$  y  $^{13}N$  demostramos que tanto en *R. stali* como en *R. meliloti* la glutamina se encuentra ciclando, es decir, se sintetiza y se degrada al mismo tiempo. Nuestros resultados indicaron que el succinato en contraste con otras bacterias, es una buena fuente de carbono para *Bhizobium* y que es eficientemente oxidado a CO<sub>2</sub> y preferentemente oxidado frente a la glutamina. Sin embargo una mutante de *R. meliloti* que carece de la GSII y GSIII oxida la glutamina en un grado mayor que el succinato. Cuando la bacteria es cultivada en glutamina como fuente de carbono y nitrógeno, la actividad de la GSII es casi imperceptible. La pérdida de esta actividad enzimática nos sugiere que el succinato tiene un importante papel en la inducción de la GSII.

## **1.-INTRODUCCION.**

## 1. INTRODUCCION.

El nitrógeno es un elemento que se encuentra en una gran variedad de compuestos y en casi todas las macromoléculas de los organismos, las proteínas y los ácidos nucleicos son especialmente ricos en nitrógeno. Aunque el nitrógeno molecular se encuentra en grandes cantidades en la atmósfera, es relativamente inerte químicamente y no puede ser usado por la mayoría de los seres vivos. La gran mayoría de los organismos deben obtener su nitrógeno de alguna forma combinada, por ejemplo, nitrato, amonio, o compuestos más complejos como aminoácidos. Sin embargo, estas formas combinadas de nitrógeno son muy escasas en el suelo, de tal manera que las bacterias fijadoras de nitrógeno juegan un papel muy importante en la incorporación del nitrógeno atmosférico a compuestos nitrogenados.

Algunas bacterias que fijan N<sub>2</sub> frecuentemente se encuentran en asociación con otros organismos con los que intercambian el nitrógeno fijado por carbono. Algunas de estas bacterias sufren cambios metabólicos que las conduce a fijar N<sub>2</sub> y asociarse eficientemente. Entre estas bacterias fijadoras de nitrógeno se encuentran las del género *Rhizobium* las cuales fijan este elemento en simbiosis con plantas leguminosas.

La fijación simbiótica de nitrógeno tiene lugar en los nódulos, órganos especializados que se desarrollan después de la infección de esta bacteria en la raíz de plantas leguminosas. En las células infectadas del nódulo se observan formas diferenciadas de *Rhizobium*, los bacteroides, que son los que fijan nitrógeno y aportan el amonio requerido para el crecimiento de la planta. En esta relación la bacteria proporciona amonio a la planta, cambio del carbono que ésta le provee durante la relación simbiótica. Varios modelos han sido propuestos para explicar como puede funcionar esta interacción (Kahn et al., 1985; Kohl et al., 1988; McDermott et al., 1989; Mellor, 1989; Brown et al., 1990; Udvardi y Kahn, 1992; van Rhijn et al., 1995) y la idea central es que la fijación de nitrógeno se mantiene en un medio ambiente donde la planta tiene un considerable control sobre la disponibilidad de nutrientes para la bacteria y la renocion de productos del catabolismo.

Por otro lado el crecimiento bacteriano requiere la coordinación de varias vías metabólicas. El metabolismo de carbono, nitrógeno, oxígeno, estrés oxidativo, de temperatura, osmótico, pH etc. a veces son descritos cada uno con efectos separados pero que están claramente ligados a través del metabolismo global de la célula. La disponibilidad limitada del oxígeno o los productos tóxicos del metabolismo de éste pueden producir un cambio total en el metabolismo de la bacteria, por mencionar sólo un ejemplo.

Uno de los objetivos principales del proyecto fué el estudiar los procesos fisiológicos que ocurren en la simbiosis *Rhizobium*-leguminosas. El enfoque que hemos seguido ha consistido en reproducir dichos procesos fuera de la planta, es decir, en vida libre. Entre los procesos fisiológicos más importantes que se llevan a cabo en la simbiosis, destaca el de la pérdida de la capacidad para crecer que sufre *Rhizobium* durante su proceso de diferenciación. En

la siguiente parte de la introducción (1.1) se analizarán los cambios morfológicos y fisiológicos que a la fecha se han reportado en la literatura en bacterias que dejan de crecer cuando las condiciones del medio ya no son favorables para continuar haciéndolo, de ésta manera se podrán comparar con los presentados por *Shimshkin* para enseguida poder analizar los mecanismos moleculares así como los reguladores del crecimiento existentes en estas bacterias y plantear la posibilidad de la existencia de mecanismos similares en *Shimshkin*.

### 1.1.- LA DISMINUCION DEL CRECIMIENTO.

El éxito de los procariotes para colonizar casi todos los medios ambientales de nuestro planeta, está relacionado con su habilidad para replicarse rápidamente cuando las condiciones son favorables para crecer, y en su capacidad para diferenciarse y para poder sobrevivir cuando las condiciones impiden su crecimiento óptimo. Para controlar su medicamento y para contender con los retos de su entorno, es necesario el rápido y eficiente control de su expresión genética. Muchos genes son seleccionados para ser expresados bajo diferentes circunstancias y en muchos casos, esta expresión es regulada a través del control en el inicio de la transcripción. Los genes responden a una circunstancia particular de su medio ambiente y con frecuencia están controlados por reguladores globales muy generales o regulones. Esta organización de reguladores globales permite un control individual sobre genes, con diferente distribución en el cromosoma.

Las redes regulatorias son necesarias, primero, porque los genes involucrados en una respuesta particular pueden estar o no organizados en un solo operón, y segundo, porque varios genes pueden ser regulados independientemente; sin embargo en circunstancias diferentes pueden estar sujetos a un control coordinado. Un ejemplo de estos últimos son los genes y operones que codifican enzimas involucradas en la utilización de carbono y fuentes de energía, los cuales requieren de la presencia de un sustrato específico para su inducción, y los son controlados como grupo, por medio de represión catabólica.

Muchas redes regulatorias de la célula responden a diferentes tipos de estrés tales como el calor, el estrés oxidativo, daño a el ADN y limitación de nutrientes. Los productos de los genes de un regulón de respuesta a un estrés son necesarios para resistir dicho cambio ambiental. Sin embargo muchos reguladores no responden exclusivamente a un estrés en particular, y comparten genes. Cuando se disminuye el crecimiento se activan varias redes regulatorias aparentemente no ligadas (Van Bogelen et al., 1992; Groat et al., 1986). Los productos de estos genes son interesantes ya que se conoce poco acerca de ellos y de su participación en la fisiología de la bacteria como por ejemplo, ¿que pasa cuando la bacteria detiene su crecimiento?, o ¿por qué en la última parte de la fase estacionaria las células mueren?. El análisis de estas respuestas generales pueden ayudar a entender las bases bioquímicas de los procesos que mantienen o llevan a una pérdida de la viabilidad en los procariotes que no tienen capacidad de diferenciación.

### 1.1.1.- CAMBIOS MORFOLOGICOS Y FISIOLOGICOS PRESENTES EN BACTERIAS QUE DEJAN DE CRECER.

Este fenómeno se encuentra ampliamente documentado en *Escherichia coli*, *Salmonella typhimurium* y *Escherichia* las cuales presentan una serie de cambios fisiológicos y morfológicos cuando dejan de crecer. A continuación se describen los cambios que presenta *E. coli* en las condiciones antes mencionadas.

Una disminución de nutrientes en el entorno de *E. coli* puede conducir a una disminución en la actividad metabólica de este organismo, en ocasiones, a un nivel mínimo. El término fase estacionaria del crecimiento de una bacteria se refiere a las condiciones en las cuales el organismo es incapaz de duplicarse sufriendo una serie de cambios fenotípicos como son: i) cambio en la composición de los ácidos grasos y fosfolípidos de la membrana interna de la bacteria, que es la barrera más importante entre el citoplasma y el medio extracelular (El-Khani et al., 1981); ii) incremento en la concentración de lipopolisacáridos en la membrana externa (Ivanov et al., 1989; iii) decreto en la capa de mureína (Allen et al., 1979); iv) protección y condensación del DNA (Mason et al., 1993); v) transcripción dirigida por factores sigma alternativos (Lange et al., 1991), fosforilación de subunidades de RNA polimerasa y alteraciones en la composición de ribosomas (Ozaki et al., 1991), síntesis de ppGpp y la disminución de tRNA sintetases (Jakubowski et al., 1992); vi) cambios de dirección en vías metabólicas afectándose las actividades enzimáticas correspondientes (Rasmussen et al., 1991; Chang et al., 1994); vii) formación de flagelos (Ammler et al., 1993); viii) excreción de acetato y glutámico al medio de crecimiento (Luli et al., 1990); ix) acumulación de carbono en forma de glucógeno y trealosa (Damotte et al., 1968) por mencionar algunas de los cambios más importantes (Huismann et al., 1995).

En estas condiciones, la bacteria sufre también cambios en sus circuitos metabólicos siendo excreción de acetato el que más llama la atención. Este acetato se produce, aparentemente, por un ineficiente funcionamiento del ciclo de los ácidos tricarboxílicos (TCA), debido a que la  $\alpha$ -cetoglutarato deshidrogenasa se pierde (Amarasingham et al., 1965). El resultado, es un proceso no cíclico en el cual existen dos brazos del ciclo TCA, uno de oxaloacetato a succinato y el otro de oxaloacetato y acetil-CoA a  $\alpha$ -cetoglutarato. Estudios en la expresión de algunos genes como *MLE* que codifica para la catalasa HPII, sugieren que los intermediarios del TCA, pueden ser las señales que disparan la síntesis de proteínas reguladoras cuando se depriva de nutrientes el medio de cultivo (Loewen et al., 1985). Recientemente se han reportado genes cuyos productos funcionan en estas condiciones metabólicas. Por ejemplo, los genes de la piruvato-formato liasa (*pfl*) y la piruvato oxidasa (*pxo*) que se expresan preferentemente en estas condiciones (Rasmussen et al., 1991; Chang et al., 1994). Una observación interesante es el incremento en la citocromo d oxidasa dependiente de los reguladores globales *arcA/arcB* que monitorean el flujo de electrones a través de la cadena respiratoria (Georgiou et al., 1988).

### 1.1.3.- SINTESIS DE PROTEINAS EN CELULAS QUE DEJAN DE CRECER.

La adición de inhibidores de la síntesis de proteínas por un breve lapso en el comienzo de la fase de disminución del crecimiento (pre-estacionaria), produce una disminución dramática en la supervivencia de *E. coli* (Reeve et al., 1984), *Salmonella typhimurium* (Spector et al., 1993) y especies de *Vibrio* (Nystrom et al., 1990). La adición de estos inhibidores en la fase estacionaria tiene poco efecto, lo que hace pensar que la síntesis de proteínas en las etapas primarias del crecimiento tienen efecto en la supervivencia en las etapas posteriores (Reeve et al., 1984; Nystrom et al., 1990). Trabajos recientes en varios laboratorios han confirmado esta propuesta, además han sido identificadas varias redes de genes reguladores y los genes individuales relacionados con la supervivencia (Nystrom et al., 1994a; 1994b; 1994c; Spector et al., 1992; Lange et al., 1991; Tormo et al., 1990; Jenkins et al., 1991; Spence et al., 1990; Li et al., 1992). Varios de los productos genéticos esenciales presentan particularidades cinéticas y son inducidos pocas horas después de que el crecimiento ha cesado.

### 1.2.- METABOLISMO DE CARBONO EN *Rhizobium*.

Hemos observado que los cambios presentados por *Rhizobium* cuando cesa su crecimiento son consecuencia de un cambio de metabolismo del carbono, aeróbico a fermentativo y que la regulación enzimática en este organismo ha sido dirigida principalmente a enzimas del metabolismo de carbono, por lo anterior, el metabolismo de carbono es el objeto principal de nuestro estudio, por esto, es importante analizar los antecedentes de dicho metabolismo con la mayor profundidad posible, revisando las posibilidades nutricionales de *Rhizobium*, la regulación del ciclo TCA, los niveles de las enzimas involucradas, tanto en vida libre como en simbiosis, así como las posibles rutas catabólicas del carbono.

Los nódulos de las leguminosas presentan un nicho ecológico único para que *Rhizobium* y *Bradyrhizobium* sean proveídos de carbono. Las propiedades de este nicho han sido estudiadas con interés por científicos de diferentes disciplinas. Las razones de este interés incluyen una atracción básica por la intrincada asociación plantabacteria, y el potencial agronómico de esta relación. Si esperamos manejar o manipular este sistema, es esencial tener un entendimiento completo del metabolismo del carbono.

En la planta los compuestos derivados fotosintéticamente como la sacarosa entran al nódulo provenientes del floema. Estos compuestos son convertidos posteriormente en ácidos orgánicos y aminoácidos que pueden ser transportados a través de la membrana peribacteroidal al bacteroide. Posteriormente la oxidación de compuestos de carbono por los bacteroides genera ATP y poder reductor que es usado por la enzima nitrogenasa para convertir el nitrógeno en amonio. El amonio producido es exportado a la planta, donde es asimilado por la glutamino sintetasa y posteriormente convertido en amidas y/o ureídos para ser exportados al resto de la planta a través

del xilema (Atkins, 1991).

La reacción de fijación de nitrógeno es muy demandante, no sólo por que requiere una gran cantidad de ATP y poder reductor, sino porque es sensible a oxígeno y a agentes oxidantes. Las bacterias de la familia de las *Rhizobiaceas* son aeróbios obligados y el ATP producido resulta de la fosforilación oxidativa. Esto ha sido observado en *Bradyrhizobium japonicum* en donde un complejo de citocromos, inducido bajo condiciones microaeróbicas, es necesario para la simbiosis (Preisig et al., 1993). La respiración de *Rhizobium* en el nódulo consume oxígeno a través de oxidases terminales presentes en los bacteroides, las cuales tienen gran afinidad por O<sub>2</sub> (Munt y Layzell, 1993). Este flujo de oxígeno, aunado a barreras al O<sub>2</sub> difusible, localizadas en el parénquima del nódulo, mantiene la concentración de oxígeno a niveles compatibles con la actividad de la nitrogenasa (Munt y Layzell, 1993).

Al momento se han dado pasos significativos para entender múltiples aspectos de la asociación de leguminosas con *Rhizobium*. Sin embargo, una cuestión básica, que consiste en saber cómo es regulado el metabolismo de carbono en el bacteroide, permanece sin resolver. Una peculiaridad de la relación *Rhizobium-leguminosa* es que muchos tipos de bacteroides acumulan carbono en forma de poli-β-hidroxibutirato (PHB), bajo condiciones en las cuales la energía para la nitrogenasa es supuestamente una limitante. La acumulación de este polímero y los factores que rodean esta síntesis son importantes para entender como los bacteroides de *Rhizobium* metabolizan el carbono provisto por el hospedero. Mientras que la literatura sugiere que los bacteroides de *Rhizobium* tienen un ciclo TCA, la naturaleza microaeróbica del entorno del bacteroide sugiere que existen condiciones que pueden conducir a la represión/inhibición de algunas de las enzimas del ciclo TCA, en particular, la citrato sintasa. NADP-isocitrato deshidrogenasa y α-cetoglutarato deshidrogenasa, ya que estas enzimas son muy sensibles a inhibición por NAD(P)H, lo anterior puede ser una limitante para la completa operación del TCA. Si ese fuera el caso, los bacteroides pueden requerir del empleo de otras vías alternas o "bypass" para continuar con la oxidación y generación de energía. Esas otras vías podrían ser usadas para ajustar niveles intracelulares del NAD(P)H. En seguida se mencionan las siguientes vías que pueden ser alternas al ciclo TCA. (1)síntesis de PHB; (2)la lanzadera malato-aspartato; (3) la vía α-cetoglutarato-glutamato; (4)un ciclo de los ácidos dicarboxílicos modificado; Y (5)vías reductivas dirigidas a acetato, acetaldehido y etanol (6)síntesis de glucógeno.

### 1.2.1.- POSIBILIDADES NUTRICIONALES PARA *Rhizobia*.

*Brady(rhizobia)* utiliza un amplio rango de fuentes de carbono para crecer (Graham, 1964; Dilworth y Glenn, 1981). Por ejemplo los disacáridos son utilizados por *Rhizobium spp.*, pero no por *Bradyrhizobium spp.*, donde este último carece de sistemas de transporte. En muchos *Rhizobia*, las hexosas son catabolizadas por la vía Entner-Doudoroff (ED) descrita en muchas otras bacterias como *Zoogleales*, *Rhizobacterales* y *Archaeobacteriales*, y la vía de las pentosas *Entner-Puckett*, *Edwardsii*, *Fructosolici* y *Galactosolici* es

*NGR 234* (Ronson y Primrose, 1979; Glenn et al., 1984; McKay et al., 1989).

Las evidencias de que el ciclo de las pentosas existe en *Rhizobium* están basadas en la presencia de la enzima 6-fosfogluconato deshidrogenasa (Romanov et al., 1994). En *R. leguminosarum* se detectó actividad de fosfogluconato deshidrogenasa tanto en bacteroides crecidas en vida libre como en bacteroides (Romanov et al., 1994). Por otro lado Saroso et al., (1986) y McKay et al., (1989) han demostrado la presencia de todas las enzimas de la vía pentosa fosfato en *Rhizobium NGR234* y *R. leguminosarum* MNF300, respectivamente.

El catabolismo de pentosas como L-arabinosa es común en *Rhizobium* y *Baetorhizobium*, produciendo la formación de L-2-oxo-3-deoxiarabinonato (Duncan, 1979; Dilworth et al., 1986). En *Rhizobium*, éste es convertido a 2-oxoglutarato (Duncan, 1979; Dilworth et al., 1986), mientras que en *Baetorhizobium*, este compuesto es metabolizado a piruvato y glicolaldehído (Pedrosa y Zancan, 1974; Duncan, 1979).

*Rhizobium* es capaz de metabolizar compuestos de 3 carbonos tales como el glicerol, a través de la glicerol cinasa y la glicerol fosfato deshidrogenasa para formar gliceraldehido-3-fosfato que produciría piruvato (Arias et al., 1976). De la misma manera *Rhizobium* es capaz de metabolizar compuestos de 2 carbonos a través del ciclo del glicoxilato con las enzimas isocitratato liasa y malato sintasa (Preston et al., 1989); el malato y el succinato que son los productos finales serían metabolizados directamente por el ciclo TCA. Cabe señalar que las enzimas participantes en esta ruta son inducibles e incluso reprimidas por succinato o glucosa.

Los ácidos dicarboxílicos como succinato, malato o fumarato son metabolizados vía el ciclo TCA, involucrando la enzima málica y la la piruvato deshidrogenasa (McKay et al., 1988; Copeland et al., 1989; Driscoll et al., 1993). Asimismo en numerosos estudios en *Rhizobium* ha sido reportada la presencia de enzimas específicas del ciclo TCA (Kurz y LaRue, 1977; Rawsthorne et al., 1980). Sin embargo estos estudios no comprobaron la presencia de todas las actividades enzimáticas del ciclo TCA y no proveen evidencia suficiente para asegurar la importancia fisiológica de un ciclo completo. Sin embargo, McKay et al. (1988) demostró la existencia de un ciclo completo en *R. leguminosarum* cepa MNF3841, además de mencionar que las actividades enzimáticas no varían notablemente con las condiciones de crecimiento.

En lo concerniente a la utilización de aminoácidos como sustratos para el crecimiento de *Rhizobium*, se encuentran varios reportes en la literatura. Por ejemplo para glutamato están los artículos de Poole et al., 1986; Jin et al., 1990a; para histidina están el de Dilworth et al., 1983; para 4-aminobutirato el de Jin et al., 1990b; para prolina, Jiménez-Zurdo et al., 1997 y para glutamina (Duran et al., 1995). El conocimiento de las vías para el catabolismo de aminoácidos en *Rhizobium* es aún muy esquemático y por lo general está restringido a la demostración de las primeras enzimas de las vías.

Al crecer *Rhizobium* en sustratos como ácidos dicarboxílicos, o aminoácidos como glutamato, prolina o 4-aminobutirato, éstos son

catabolizados mediante el ciclo TCA con dos finalidades; por un lado para el mantenimiento de intermediarios para la biosíntesis y por otro para la síntesis de azúcares necesarios en la formación de pared celular y la biosíntesis de nucleótidos. La gluconeogénesis se lleva a cabo vía fosfoenolpiruvato carboxicinasa (McKey et al., 1985; Finan, 1988; Driscoll y Finan, 1993).

### 1.2.2.- MUTANTES EN EL METABOLISMO DE CARBONO

Se han realizado varios estudios en los que se analizó la capacidad de nodulación y fijación de nitrógeno en mutantes con deficiencias en el catabolismo de fuentes de carbono. Se han obtenido mutantes incapaces de degradar azúcares de 12C, 6C o 5C (Ronson y Primrose, 1979; Glenn et al., 1984; Dilworth et al., 1985), sin embargo, nodulan y fijan N<sub>2</sub> de manera semejante a la cepa silvestre. En otros casos como el de una mutante en la fructoquinasa en *Rhizobium* nodula, pero no es capaz de fijar nitrógeno (Gardiol et al., 1980). Mutantes en la fosfoglucosa isomerasa muestran retraso en la nodulación y la fijación de nitrógeno es baja respecto a la cepa silvestre (Arias et al., 1982). Asimismo mutantes de *R. meliloti* en fosfoglicerato cinasa, enolasa y glicereraldehido 3 fosfato deshidrogenasa son incapaces de fijar nitrógeno. Por otro lado, es conveniente mencionar que mutantes en gluconeogénesis presentan diversos fenotipos simbióticos dependiendo de la especie bacteriana de que se trate o de la planta con la cual se establece la simbiosis. De esta manera, mutantes en la fosfoenolpiruvato carboxicinasa (McKey), muestran una fijación de nitrógeno reducida a pesar de que en los bacteroides de la cepa silvestre no se detecta actividad de esta enzima (Osteras et al., 1991). En *Rhizobium leguminosarum* esta misma mutación no produce un fenotipo simbiótico (McKey et al., 1985) y se detecta actividad de esta enzima a niveles bajos en los bacteroides. En mutantes de *Shimobilia* en cepa NGR234, si la simbiosis se realiza con *Phaseolus* o *Mucuna*, la eficiencia en la fijación de nitrógeno disminuye un 60 y 20% respectivamente, pero cuando nodula a *Vicia* presenta un fenotipo Fix- (Osteras et al., 1991). Sin embargo, un gran número de reportes (Glenn y Brewin, 1981; Ronson et al., 1981; Finan et al., 1983; Arwas et al., 1985; Finan et al., 1988; Humbeck y Werner, 1989; Day et al. 1989; El-Din et al. 1992) han mostrado que cuando se presentan defectos en la capacidad para transportar ácidos dicarboxílicos (dicarboxilato, succinato, malato o fumarato), las mutantes tienden a tener un fenotipo fix-. Esto sugiere que el transporte de ácidos dicarboxílicos es esencial para la fijación de nitrógeno. Los bacteroides de algunas especies de *Shimobilia* contienen cantidades significativas del polímero polibetahidroxibutirato (PHB) como reserva de carbono. Este compuesto podría ser capaz de generar ácidos dicarboxílicos "in situ", los cuales estarían disponibles para soportar la fijación de nitrógeno.

Aún no es claro el por qué mutantes en el transporte de ácidos dicarboxílicos, nodulan, y sus bacteroides logran la diferenciación celular. Sin embargo, ésto sugiere que estas mutantes pueden obtener suficiente carbono de la planta hospedera. A pesar de algunos intentos por determinar la identidad de las fuentes de carbono que están siendo utilizadas en esas circunstancias, esto aún no se

conoce. Se ha observado que dobles mutantes que pierden el sistema de transporte de ácidos dicarboxílicos y la capacidad de catabolizar un gran número de azúcares como fuentes de carbono (5C, 6C y 12C o glutamato; Arwas et al., 1986), son capaces de nodular así como las mutantes dct.

Entre las mutantes reportadas recientemente, la mutante de B. meliloti que pierde la actividad de la enzima mólica dependiente de NAD, pero que retiene la enzima mólica dependiente de NADP (Driscoll et al. 1993), es capaz de fijar nitrógeno. Esto apoya la idea de que el metabolismo de ácidos dicarboxílicos es la principal fuente de energía en los bacteroides, ya que esta mutante estaría proporcionando el piruvato necesario para la operación del TCA.

La caracterización genética de las enzimas del ciclo TCA y el análisis de mutantes afectadas en los genes correspondientes, son importantes para el entendimiento del metabolismo central de Rhizobium y para entender como éste puede influir en la simbiosis en el nódulo. Mutantes en Rhizobium meliloti que pierden la succinato deshidrogenasa (Gardiol et al., 1987),  $\alpha$ -cetoglutarato deshidrogenasa (Duncal, M.J. y Fraenkel, 1979; Kahn et al., 1995), o isocitrato deshidrogenasa (McDermott y Kahn, 1992) no son capaces de fijar nitrógeno en simbiosis (Fix-). Además ya fueron clonados el gen gltA que codifica para la citrato sintasa, la mutante respectiva forma un número normal de nódulos pero son blancos y no parecen contribuir en la fijación de nitrógeno (Kahn et al., 1995) y los genes, ECMA y SCAA, que codifican para la citrato sintasa, tanto plasmídica, como cromosomal, respectivamente (Hernández-Lucas et al., 1995, Pardo et al., 1994). Mutaciones en uno u otro de estos no tienen fenotipo simbiótico en cambio la doble mutante, no es capaz de fijar nitrógeno.

Recientemente Thony-Meyer et al. (1996) reportaron la clonación y mutagénesis del gen de la aconitasa (acnA), en Rhizobium, actividad que es importante en vida libre, pero no esencial, ya que el crecimiento de la mutante no es completamente abatido. Este gene no es esencial en simbiosis y proponen la existencia de un segundo gen. En Bradyrhizobium janasicum, la mutación en el gene de la fumarasa (fumC), mostró que este gene no es esencial en simbiosis, sin embargo, en esta bacteria se sabe de la presencia de otra actividad enzimática (Acuña et al., 1991).

El gen de la citrato sintasa en B. meliloti (gltA) fue clonado en base a que fué posible complementar una mutante de B. mel.. La mutante correspondiente pierde la actividad enzimática y es auxotrofa de glutamato. Los análisis preliminares de la secuencia demostraron que tiene homología en un 63% con el gene gltA de B. tristis (Pardo et al., 1994). En B. meliloti, a diferencia de B. tristis (Pardo et al., 1994), sólo se tiene una copia del gene gltA. Esta mutante crece en oxoglutarato, glutamato o arabinosa. Cuando se probaron varias fuentes de carbono en el medio que contiene arabinosa para satisfacer la auxotrofia, las mutantes fueron capaces de crecer como la cepa silvestre en una gran cantidad de azúcares y ácidos orgánicos, pero no en piruvato. La mutante gltA forma un número normal de nódulos en las plantas infectadas, pero éstos son blancos y no tienen una contribución aparente en el desarrollo de la planta.

Recientemente ha sido descrita la mutante en  $\alpha$ -cetoglutarato deshidrogenasa de *Bacillus rhizosphericus japonicus* (Green et al., 1997) la cual se obtuvo por mutagenesis del gen *suca*. En esta mutante no se detecta actividad enzimática lo cual sugiere la presencia de una sola copia del gen. Debido a que la mutante es capaz de crecer en succinato o malato como fuente de carbono, los autores proponen que no es necesario tener un ciclo TCA íntegro para poder crecer en fuentes de carbono que son intermediarios del ciclo TCA.

### 1.2.3.-NIVELES ENZIMATICOS.

A la fecha se conoce la regulación de las actividades metabólicas de *Rhizobium* en vida libre. La presencia o ausencia de enzimas específicas en el bacteroide, pueden sugerir qué tipo de metabolitos son proporcionados por la planta. Esto está basado en la suposición de que la represión catabólica en bacteroides y en células en vida libre sea la misma.

Actualmente disponemos de una cantidad razonable de datos acerca de las actividades enzimáticas en el metabolismo de azúcares en bacteroides (Ronson y Primrose, 1979; Glenn et al., 1984; Streeter y Salminen, 1985; Kouchi et al., 1988; McKay et al., 1989). Por citar algunos, están los reportes sobre el metabolismo de acetato (Preston et al., 1989), metabolismo de succinato (McKay et al., 1989; Copeland et al., 1989), metabolismo de poli- $\beta$ -hidroxibutirato (Karr et al., 1984) y en las enzimas del ciclo de Krebs (McKay et al., 1989). Los bacteroides parecen oxidar los ácidos dicarboxílicos vía el ciclo de los ácidos tricarboxílicos, enzima malica y piruvato deshidrogenasa (McKay et al., 1988; Copeland et al., 1989).

En bacteroides de *Phaseolus vulgaris*, de la cepa MNF300, McKay et al., (1989) reportaron un incremento de la mayoría de las enzimas del ciclo TCA (más de 15 veces) comparadas con el valor reportado en las actividades encontradas en células en vida libre. En particular en ese estudio, sólo la enzima isocitrato deshidrogenasa no se incrementó. Esta actividad se encuentra alta en células en vida libre. En otros estudios (DeVries et al. 1980; Waters et al., 1985; Kouchi et al., 1988), se ha reportado una alta actividad de la malato deshidrogenasa en bacteroides de chícharo y soya. Así mismo, en un experimento realizado con bacteroides de soya, (Karr et al., 1984) se observó que la actividad de la fumarasa y piruvato deshidrogenasa se incrementan, mientras que la actividad de la malato deshidrogenasa permanece constante y la de la isocitrato deshidrogenasa, disminuye.

En contraste, en bacteroides de plantas de frijol inducidos de la cepa NGR234 de *Rhizobium* (Saroso et al., 1986) y de la cepa MNF300 de *Phaseolus vulgaris* (McKay et al., 1989) se encontró que las enzimas del catabolismo de azúcares presentan niveles basales (ejem. bacteroides de *P. vulgaris*, Salminen y Streeter, 1987). Por otro lado en algunos nódulos producidos por la cepa MNF300, se observó la presencia de ácidos orgánicos aromáticos como el benzoato, esto sugiere que están siendo utilizados por los bacteroides como fuente de carbono (Werner et al., 1975; Rohm y Werner, 1985). En relación a ésto, se han hecho experimentos con bacteroides, incubando con compuestos

fenólicos radiactivos y se vió que estos pueden ser convertidos en  $^{14}\text{CO}_2$ . Además se pudieron detectar algunas de las enzimas de la degradación de los compuestos aromáticos (Parke y Ornston, 1986).

Estos datos sugieren que aunque los Rhizobium en vida libre son capaces de utilizar un amplio número de sustratos, los bacteroides pueden tener acceso a sólo un número limitado de compuestos en concentraciones suficientes para permitir la fijación de N<sub>2</sub> y el desarrollo del nódulo. Esta evidencia basada indirectamente en la fisiología de los bacteroides sugiere que la membrana peribacteroidal puede actuar como una barrera importante para el desplazamiento de materiales del citosol de la célula a los bacteroides.

#### 1.3.4.-LA REGULACION DEL CICLO DE LOS ACIDOS TRICARBOXILICOS.

Las funciones básicas del ciclo TCA son las de proveer compuestos de carbono intermedios del TCA para funciones biosintéticas y generar el poder reductor que acciona a la cadena respiratoria genera el ATP necesario para el crecimiento bacteriano. El ciclo es alimentado por acetil-CoA, compuesto de dos carbonos, el cual se combina con compuestos de 4 carbonos como el oxaloacetato para producir citrato. El ciclo tiene 4 pasos de oxidación, dos de los cuales (mediados por la isocitrato deshidrogenasa y la  $\alpha$ -cetoglutarato deshidrogenasa) son decarboxilaciones simultáneas. Estas decarboxilaciones remueven el carbono equivalente a acetil-CoA y el producto final, oxaloacetato, es regenerado, completando así el ciclo. Para que el TCA funcione óptimamente, todo el carbono debe ser removido a través de la decarboxilación o de reacciones biosintéticas usando los intermedios del TCA como precursores.

Las demandas fisiológicas de la bacteria varían de acuerdo a su medio ambiente, y tales demandas serán reflejadas por cambios en el metabolismo central mediado por efectores positivos y negativos (Sanwal B.D., 1970; Weitzman, P.D.J., 1966, 1972, 1981; Senior et al., 1971; Kornfeld et al., 1977). Por ejemplo, si el transporte de electrones es saturado con NADH, como ocurre bajo limitaciones temporales de oxígeno, el potencial redox de la célula inmediatamente disminuye y la relación NADH/NAD se incrementa (Jackson et al., 1976). Esto resulta en una desaceleración del TCA debido a una inhibición de las enzimas citrato sintasa, NADP-isocitrato deshidrogenasa y  $\alpha$ -cetoglutarato deshidrogenasa, por la acumulación de nucleótidos reducidos (Senior et al., 1971; Jackson et al., 1976). La regulación de esas enzimas constituye un mecanismo de retroalimentación (feedback), y si tales condiciones continúan, la célula responderá posteriormente reprimiendo la síntesis de las enzimas involucradas.

Estudios posteriores (Emerich et al., 1988) demuestran que la maleato deshidrogenasa es sensible a un considerable número de efectores metabólicos incluyendo al NADPH. La NADP-isocitrato deshidrogenase en *R. meliloti* es sensible a ATP y en un menor grado a ADP y AMPs (Chandrasekheran et al., 1976). La NAD-isocitrato deshidrogenasa presenta características similares, sin embargo, en extractos de bacteroides este enzima fué insensible a nucleótidos de

adenina (Moustafa et al. 1975). En *B. diazotrophicum*, cepa 311B-143, la piruvato deshidrogenasa que acopla la glicólisis al TCA, se estimula por la presencia del piruvato y es inhibida por NADH (Emerich D.W., 1985). Por esta razón, es posible que los cambios descritos para *Azotobacter chilensis* y *E. coli*, puedan ser semejantes en *B. diazotrophicum* y consecuentemente puedan ser importantes en el metabolismo de carbono de este bacterio.

Es claro que el ciclo TCA es necesario para generar energía para la fijación de nitrógeno, sin embargo no existen evidencias claras de que tan necesario es un TCA completo, la evidencia genética implica que el brazo descarboxilante de la vía está interrumpido, mientras que la evidencia bioquímica aún es ambigua, por ejemplo la isocitrato deshidrogenasa (IDH) y la oxoglutarato deshidrogenasa (OGDH), dos enzimas descarboxilantes en el ciclo TCA son con frecuencia inhibidas por altas concentraciones de nucleótidos reducidos y tanto su expresión como su actividad son inhibidas por condiciones anaeróbicas. Por lo anterior se podría especular que la acumulación de poder reductor en las condiciones microaeróbicas del medio ambiente en el nódulo podría inhibir a las enzimas IDH o OGDH y que la baja actividad enzimática podría repartir el flujo de carbono a PHB o a la vía de descarboxilación a glutamato, dependiendo de la limitación o no de las enzimas CS, IDH o OGDH.

### 1.2.5.- SINTESIS DE PHB.

Estudios de ultraestructura por microscopía electrónica en bacteroides de *B. diazotrophicum* (Ching et al., 1977) muestran invariablemente grandes cantidades de depósitos de PHB, el cual puede ser acumulado hasta en un 50% del peso seco de la bacteria (Wong et al., 1971). Además de haberse observado en *B. diazotrophicum* una alta actividad de la enzima 8-hidroxibutirato deshidrogenasa (Romanov et al., 1994). La prominencia citoplásmica de éste polímero en los bacteroides claramente sugiere que toda la energía disponible y equivalentes reductores no son automáticamente canalizados a la operación de la nitrogenasa. En *B. diazotrophicum* las mutantes en genes estructurales de la nitrogenasa como las cepas, nifD::tn5 y nifK::tn5, han sido reportadas por acumular grandes cantidades de PHB (Kulusa et al., 1983). Por microscopía electrónica de nódulos formados por éstas y otro tipo de mutantes se observan acumulaciones similares de PHB en proporción a los nódulos de las cepas silvestres. Sin embargo es interesante que esas mutantes acumulan grandes cantidades de PHB, sólo después de 3.5 semanas de simbiosis. Esto sugiere que la síntesis de PHB y la nitrogenasa compiten por energía y poder reductor. El poder entender las condiciones que propician la síntesis de PHB podrían aportar una ayuda importante para el conocimiento del metabolismo de carbono en los bacteroides.

#### 1.2.5.1.- SINTESIS DE PHB EN *Azotobacter beijerinckii*.

Dawes y colaboradores (Senior et al., 1971; Jackson et al., 1976; Ritchie et al., 1971; Senior et al., 1972) han estudiado el ciclo del PHB en una bacteria que fija nitrógeno, aunque no en

condiciones simbóticas. En *A. baumannii* la síntesis de PHB se inicia por la condensación de dos moléculas de Acetil-CoA, vía  $\beta$ -cetoilasa formando Acetoacetil-CoA, posteriormente siendo éste reducido a  $\beta$ -hidroxibutiril-CoA por la enzima acetoacetil-CoA reductasa, la cual puede usar NADH o NADPH como donadores de electrones, aunque ésta tiene 5 veces más afinidad por NADPH. La polimerización de  $\beta$ -hidroxibutiril-CoA en PHB es catalizada por la polimerasa de PHB.

Senior et al., (1972), demostraron que la limitación de oxígeno produce grandes cantidades de PHB en *Anabaena*. A bajo  $pO_2$  el potencial redox de la célula disminuye con un incremento inmediato en la relación NADH/NAD y NADPH/NADP, seguido por disminución de un 30% en la actividad de la isocitrato deshidrogenasa (Jackson et al., 1976). El NADPH y NADP demostraron ser poderosos inhibidores de la NADP-isocitrato deshidrogenasa y citrato sintasa, respectivamente, (Senior et al., 1972). Bajo estas condiciones *Anabaena* canaliza acetil-CoA y los electrones del NAD(P)H a la formación de PHB.

### 1.2.3.2.- SÍNTESIS DE PHB EN Rhizobacterias.

Basándose en los resultados de Wong et al., (1971) y Kerr et al., (1984), parece observarse que la acumulación de PHB en los bacteroides de *R. leguminicola* puede ser iniciada por eventos similares a los descritos en *Anabaena*.

En *R. leguminicola*, Tajima et al., (1988), midieron las concentraciones de efectores metabólicos en bacteroides incubando bajo condiciones semejantes a las del nódulo. Las relaciones en el bacteroide para NADH/NAD y NADPH/NADP fueron 0.43 y 2.7, respectivamente. Por lo anterior en *R. leguminicola* la síntesis de PHB puede ser en parte responsable de la baja relación NADH/NAD debido a que el NADH es el cofactor preferencial de la acetoacetil-CoA reductasa, la cual tiene una afinidad 20 veces más baja para NADH que para NADPH (Emrich D.W., 1985). Sin embargo, una alta relación NADPH/NADP es potencialmente muy importante. En estudios preliminares se ha observado una inhibición sustancial de la NADP-isocitrato deshidrogenasa cuando se presenta una relación de NADPH/NADP de 2.5. Por otro lado, Weitzman y Jones, (1988), encontraron que en 16 géneros de bacterias gram negativas la enzima citrato sintasa resultó ser inhibida por NADH, aunque esas bacterias podrían subdividirse en dos grupos si se basan en el efecto de reactivación por AMP. En organismos que utilizan la vía Entner-Doudoroff como una primera opción para la glicólisis, la citrato sintasa fue reactivada por AMP. El AMP no tuvo efecto en las bacterias que utilizan principalmente la vía Embden-Meyerhoff para la degradación de glucosa. Mientras que *Rhizobium* y *Moraxella* utilizan la vía Entner-Doudoroff (Mikan et al., 1982), *R. leguminicola* usa la vía Embden-Meyerhoff (Hennecke et al., 1985). Por lo anterior es posible que la regulación de la citrato sintasa, así como de otras enzimas del TCA pudiera ser diferente entre *Rhizobium* y *Anabaena*. La citrato sintasa juega un papel estratégico en el metabolismo de carbono debido a que controla la entrada de éste en la reacción inicial del TCA. Si en los bacteroides la citrato sintasa está siendo reprimida/inhibida, esto podría tener

implicaciones directas sobre el flujo de carbono a través del TCA. Por lo mismo, el flujo de malato o succinato a través de esta vía se vería afectado.

### 1.3.- INTEGRACION DEL METABOLISMO DE CARBONO Y NITROGENO.

Durante la simbiosis de *Rhizobium* con plantas leguminosas, la fijación de nitrógeno llevada a cabo por la bacteria provee a la planta de nitrógeno en forma de amonio que intercambia con ella por el fotosintato. La propuesta consiste en investigar fuera de la planta, los estados metabólicos antes y durante la simbiosis, que son responsables del intercambio de nitrógeno y carbono. Por lo anterior, en esta parte de nuestra introducción analizaremos los antecedentes de la interacción que existe entre estos dos metabolismos ya que un objetivo de nuestro proyecto ha sido el análisis de la integración de éstos, en vida libre.

La glutamina es el producto final de la asimilación de amonio y es un donador de nitrógeno para reacciones biosintéticas (Stadtman, 1973). Este aminoácido ha sido catalogado como el metabolito nitrogenado responsable de la represión catabólica del nitrógeno en varios microorganismos (Halpern, 1988), como consecuencia, juega un papel central en el metabolismo nitrogenado.

La glutamina es sintetizada por la glutamino sintetasa (GS) a partir de amonio y glutamato. En *Rhizobium*, el amonio es asimilado principalmente por la vía glutamino sintetasa (GS), glutamato sintasa (GOGAT), (Bravo y Mora, 1988). La familia de las *Rhizobiaceae*, la cual incluye géneros como *Rhizobium*, *Agrobacterium* y *Azotobacteraceae* a diferencia de otras bacterias, posee al menos dos formas de GS (Darrow y Knotts, 1977; Fuchs y Keister, 1980; Tsaurupurun et al., 1987) con excepción de *Azotobacter chilensis* (Donald y Ludwig, 1984). La forma llamada GSII es estructural y enzimáticamente parecida a la GS de procariotes, su actividad es regulada post-transcripcionalmente por una adenilación reversible y es sintetizada constitutivamente (Bravo y Mora, 1988; Rossi et al., 1989). En contraste, la GSII es distinta de las otras GSs reportadas para procariotes y no está sujeta a adenilación; los niveles de GSII son dependientes de la fuente de nitrógeno presente en el medio y no se expresa en mutantes en *ntrA* o *ntrC* (Bravo y Mora, 1988; de Bruijn et al., 1989; Martin et al., 1988; Rossbach et al., 1987; Rossi et al., 1989; Shatters et al., 1989). Además se identificó un tercer locus, llamado *glntT*, que codifica a la GSIII en *A. chilensis*. *Aerobacterium azotafaciens* y *A. leguminosarum* Bk. *phaseoli* (Chiurazzi et al., 1992; de Bruijn et al., 1989; Espín et al., 1990; Shatters et al., 1993). El metabolismo nitrogenado se encuentra íntimamente relacionado con el metabolismo de carbono. Por ejemplo, en *Mucorales* *Mucor*, se demostró que la glutamina, que es el donador universal de nitrógeno, y es central en el metabolismo de este elemento, es continuamente sintetizado y degradado (Mora, 1990). La síntesis y degradación de este aminoácido resultan en el círculo de la glutamina. En *Mucor* se ha demostrado que este círculo es esencial para la utilización del carbono presente en el medio. El círculo de glutamina en este hongo

resulta en la disipación de energía que se libera del proceso catabólico y es regulado por ATP y nucleótidos reducidos lo que hace posible el flujo continuo de carbono (Hernández y Mora, 1986).

La existencia de procesos cílicos con diferentes propósitos, tales como oxidación, síntesis, y generación de energía, es común en organismos vivos. Los ciclos fútiles son aquellos en los cuales las reacciones de síntesis y degradación, catalizadas por diferentes enzimas operan simultáneamente. En una dirección, las reacciones gastan compuestos de alta energía. La operación de esos ciclos sirven para disipar energía. (Katz et al., 1976, 1978; Newsholme et al., 1984).

La operación de un ciclo que conduce el nitrógeno entre amonio, glutamato y glutamina bajo condiciones donde el crecimiento no es restringido, posee la interrogante acerca de la utilidad, y surge la pregunta de, qué tan necesario es este ciclo. Por otro lado el drenaje de esqueletos de carbono, poder reductor y ATP como resultado del ciclaje de la glutamina es evidente. Por lo tanto el ciclaje del nitrógeno puede afectar el rendimiento del carbono y la distribución de la energía. A continuación se describen las diferentes funciones que han sido propuestas para el ciclo de glutamina en *Escherichia coli* (Calderón et al., 1989; Calderón y Mora, 1985; Cooper y Neister, 1977; Katz y Rognstad, 1976; Mora, 1990): (a) Una contribución a la irreversibilidad en la transaminación de la glutamina; (b) vía rápida para regular instantáneamente la concentración intracelular y por lo tanto un control inmediato de la tasa de síntesis y degradación del nitrógeno celular; (c) una vía general para tomar o liberar los esqueletos de carbono de metabolitos orgánicos nitrogenados; (d) el recambio de glutamina a glutamato y a otros aminoácidos para mantener el balance óptimo entre compuestos nitrogenados; (e) para disipación de energía; y (f) para gastar energía e inducir el flujo de carbono (Mora, 1990). Por lo anterior es interesante investigar en *Escherichia coli* qué grado de relación existe entre el metabolismo de carbono y nitrógeno.

#### 1.4.- LA BIOLOGÍA DE LOS RADICALES DEL OXÍGENO.

Como mencionamos al inicio de nuestra introducción la regulación genética y fisiológica que sufren las bacterias cuando dejan de crecer ha sido extensamente estudiada en *E. coli*. Esta bacteria cuando deja de crecer aumenta la respuesta de resistencia a diversos tipos de estrés. Cuando *E. coli* en vida libre deja de crecer en  $\text{NO}_2^-$ , también aumenta la respuesta de resistencia al estrés oxidativo. Por otro lado, si consideramos que poco se conoce acerca de la respuesta de las bacterias fijadoras de nitrógeno al estrés ambiental, de su habilidad para adaptarse y sobrevivir a condiciones adversas en el suelo y como otros tipos de estrés pueden afectar la formación una simbiosis efectiva con plantas leguminosas.

Para los organismos aeróbicos el oxígeno molecular es al mismo tiempo benéfico y perjudicial. Este actúa como un acceptor terminal de electrones, y provee enormes ventajas en términos de generación de energía, pero es también universalmente tóxico. La

reducción incompleta del oxígeno molecular genera especies reactivas como lo son el radical anión superóxido ( $O_2^-$ ), peróxido de hidrógeno ( $H_2O_2$ ) y el radical hidroxilo; especies que pueden oxidar ácidos grasos, peptidolípidos (Storz et al., 1990), oxidar proteínas (Brot et al., 1981) y dañar DNA (Dempsey et al., 1983; Levin et al., 1982; Malliwell y Gutteridge, 1986). Además, hay evidencia de que existe una importante implicación de especies reactivas derivadas del metabolismo del oxígeno durante la simbiosis, al menos en la etapa de senescencia (Long, 1989). La simbiosis está caracterizada principalmente por la capacidad para fijar nitrógeno atmosférico, y la enzima clave en estos procesos es la nitrogénase localizada en el microsimbionte. Se sabe que ésta es rápida e irreversiblemente inactivada por oxígeno y aún no se define el posible papel de especies derivadas del oxígeno en este proceso de inactivación. En los nódulos existe un alto potencial para que sean generadas especies reactivas del oxígeno tales como el peróxido de hidrógeno, por las fuertes condiciones reductoras requeridas para la fijación de nitrógeno y la participación de varias proteínas que incluyen a la ferredoxina, uricasa, hidrogenasa, y leghemoglobina (Dalton et al., 1991). Esta última es una hemoproteína, presente en importante concentración en el nódulo, sujeta a un proceso de autoxidación, generando el anión superóxido y peróxido de hidrógeno (Puppo et al., 1981). Por otro lado se ha observado que el peróxido de hidrógeno reacciona con la hemoglobina generando especies reactivas (Davies et al., 1992), junto con cantidades significativas de radicales hidroxilo que han sido encontradas en nódulos senescentes (Becana et al., 1992). Esto puede estar relacionado con la alta concentración de fierro, el cual puede catalizar en el citosol de los nódulos la formación de radicales hidroxilo del peróxido de hidrógeno, vía la reacción de Fenton (Becana et al., 1992). De esta manera el remover el peróxido de hidrógeno del nódulo se vuelve esencial para su funcionamiento. Dalton et al. (1991) mostraron que un ciclo eficiente de escortoril-glutatión se encuentra presente en el citosol de la célula hospedera y que existe una importante relación entre la fijación de nitrógeno y el proceso de desintoxicación generado durante la fijación de nitrógeno (Dalton et al., 1993).

Otro posible proceso de desintoxicación del peróxido de hidrógeno puede ser proporcionado por las catalasas, las cuales catalizan la conversión del peróxido de hidrógeno en oxígeno y agua. Las catalasas se pueden localizar tanto en el citosol de la planta, como en el microsimbionte (Francis et al., 1972).

La respuesta de las bacterias al estrés oxidativo ha sido extensamente estudiada en bacterias entéricas como *Escherichia coli* y *Salmonella typhimurium* (Dempsey, 1991; Farr y Kogoma, 1991; Storz et al., 1990). Cuando éstas son tratadas con dosis no letales de  $H_2O_2$  alcanzan un cierto grado de adaptación, volviéndose más resistentes a tratamientos subsecuentes con dosis letales de  $H_2O_2$  (Christman et al., 1985; Dempsey y Halbrook, 1983). De manera similar, *Agrobacterium* puede adaptarse al estrés generado por el superóxido con pretratamientos con bajos niveles de menadiona o parquat (Greenberg y Dempsey, 1989). Numerosas proteínas, (y sus genes) forman parte de la respuesta al estrés oxidativo, éstas incluyen a la catalasa, la superóxido dismutasa, y a las enzimas reparadoras de DNA tales como la exonucleasa IV, DNA polimerasa, nucleasa RecBC y RecA (Dempsey, 1991;

Ferr y Kogoma, 1991). Los genes involucrados en el control de la respuesta al estrés oxidativo también han sido identificados. Por ejemplo, el producto del gene *oxyR* en respuesta al estrés por H<sub>2</sub>O<sub>2</sub> regula la inducción de 9 proteínas bajo control positivo (Christman et al., 1989). Se ha encontrado que existen sobreposiciones considerables entre las respuestas metabólicas que tienen las bacterias a diferentes tipos de estrés (Nyström, 1993; Siegle y Kolter, 1992). Por ejemplo, bacterias de *Escherichia coli* una vez adaptadas al reto por peróxido de hidrógeno (H<sub>2</sub>O<sub>2</sub>) se vuelven más resistentes a choques por altas temperaturas y al reto osmótico, dándose en la célula, al mismo tiempo, una sobreposición entre las proteínas sintetizadas durante el estrés oxidativo y las inducidas por la deprivación de carbono o nitrógeno, (Christman et al., 1985; Siegle y Kolter, 1992).

#### 1.4.1.- CATALASAS

Entre los sistemas de protección de la célula existen dos tipos de enzimas para remover el peróxido de hidrógeno: las catalasas y peroxidases. (Deisseroth y Dounce, 1970; Nakata et al., 1997).

Mientras que en algunos microorganismos sólo se ha descrito un tipo de catalasa, en otros se ha reportado la presencia de más de uno, como en el caso de *Escherichia coli* (Claiborne y Fridovich, 1979; Claiborne et al., 1979), *Saccharomyces cerevisiae* (Seah et al., 1973; Seah y Kaplan, 1973), *Bacillus subtilis* (Loewen y Switalski, 1987) y *Escherichia coli* (Golberg y Hochman, 1989). *E. coli* produce dos tipos de especies de hidroperoxidases (HPI y HPII) para las cuales la síntesis está genéticamente controlada por al menos 4 loci no contiguos *kate*, *xoxF*, *katG* y *oxk*. *HPI*, es codificado por *katG* (Triggs-Raine et al., 1988), la cual es una enzima bifuncional que tiene actividad de catalasa y peroxidasa y es dependiente de la respuesta al estrés oxidativo y del regulón *oxyR* (Christman et al., 1989). *HPII* codificado por *kate* (Von Ossowski et al., 1991), presenta sólo actividad de catalasa y su máxima síntesis se determina en células en fase estacionaria (Loewen et al., 1985) o bajo estrés osmótico (Jenkins et al., 1990). La expresión de *HPII* requiere un gene *xoxF* (*kate*) funcional (Loewen et al., 1994) el cual también ha mostrado ser regulador de la transcripción de *katG* de una manera diferente a como lo hace *oxyR* (Ivanova et al., 1994).

Poco se conoce acerca de las catalasas en la familia *Rhizobiaceae*. Recientemente se ha reportado que *Rhizobium leguminosarum* bv. *Phaseoli* responde al estrés por peróxido de hidrógeno con una modesta inducción en la actividad de catalasa (Crockford et al., 1995). La actividad de catalasa muestra una regulación dependiente de la densidad celular. (Crockford et al., 1995). Por otro lado la actividad de catalasa reportada para una cepa de *Bradyrhizobium japonicum* aislada de nódulos fijadores de nitrógeno fue mayor que la observada en otra cepa extraída de nódulos no fijadores (Francis et al., 1972). Más recientemente se reportó la clonación y caracterización del gene *kata* de *Rhizobium meliloti*, el cual codifica para una catalasa monofuncional (*KATA*), que es inducida por peróxido de hidrógeno (Merouart et al., 1996).

### 1.5.- LA RED DE REGULACION DEPENDIENTE DEL GENE *xpoS*.

*E. coli* responde a la limitación de nutrientes en la fase estacionaria, desarrollando una elevada resistencia a diferentes presiones ambientales. Esas células mantienen un metabolismo reducido y pueden permanecer viables incluso por años. Las células se hacen más pequeñas, su citoplasma se condensa, y su volumen periplásmico se incrementa (Huisman et al., 1996). El gene *xpoS* (Tanaka et al., 1993) codifica para el segundo factor vegetativo sigma "s" o sigma 38. Este es un componente de la RNA polimerasa y dirige la polimerasa a promotores que son pobremente reconocidos por el factor denominado "cuidador de la casa" (housekeeping), sigma 70. (Lange et al., 1991; Tanaka et al., 1993). Aproximadamente de 20-35 productos génicos requieren este factor para su inducción durante la disminución del crecimiento (Nystrom et al., 1994c; Lange et al., 1991; McCann et al., 1991). Mutantes *xpoS* negativas son menos capaces para sobrevivir y no desarrollan resistencia a múltiples presiones, que son indicadores de la respuesta de sobrevivencia en la fase estacionaria (Nystrom et al., 1994c; Lange et al., 1991; McCann et al., 1991). A la fecha han sido identificados varios genes dependientes de *xpoS* con papeles específicos en la resistencia al estrés por calor, oxidativo, osmótico y por luz UV (Henge-Aronis R., 1993), como son la expresión de las catalasas, (HPI, HPII) para proteger contra el estrés oxidativo (Loewen et al., 1985). Sin embargo todavía existen muchos genes dependientes de *xpoS* no identificados. Otros aspectos fisiológicos en las células que dejan de crecer aún no han sido explicados.

La concentración de RpoS en las células es regulada a nivel de la transcripción, traducción del RNAm y de la estabilidad de la proteína. Se sabe que varios factores modulan su síntesis (Lange et al., 1994). Algunos de los metabolitos que median esta regulación han sido identificados como en *E. coli* y en *S. typhimurium* donde varios genes que son importantes para la supervivencia son dependientes de ppGpp y son dereprimidos por la introducción de mutaciones en *cya* (codifica para la adenilato ciclase) o *cpx* (codifica para la proteína receptora del AMP cíclico (CAP) (Spector et al., 1993). Sin embargo el papel fisiológico del complejo CAP-cAMP en la regulación negativa de genes esenciales para sobrevivir la fase estacionaria, aún no es claro. Por otro lado se sabe que los niveles intracelulares de ppGpp y AMPc regulan los niveles de RNAm de *xpoS* y que los ácidos débiles como acético y benzoico también influyen en la transcripción de *xpoS*.

La transcripción de *xpoS* en *E. coli* es inducida por homoserina lactona (Huisman et al., 1994), un metabolito derivado de intermediarios de la biosíntesis de treonina, lo cual sugiere que *xpoS* puede ser también regulado por la densidad celular a través de homoserinas lactonas (HSL) y sus derivados (Huisman et al., 1994). La participación de HSL en la respuesta al agotamiento de nutrientes en la fase estacionaria es intrínseca ya que compuestos estructuralmente relacionados como las acil-homoserinas lactonas, actúan como señales extracelulares en poblaciones con una alta densidad celular expresadas por las bacterias en "quorum" (Fugua et al., 1994). ¿Cuál es la conexión entre HSL(s) como reguladores de *xpoS* y las acil-homoserinas lactonas como sensores de densidad celular? La evidencia que liga a las HSL a RpoS se deriva de estudios con mutantes en las vías de síntesis de treonina y metionina (Huisman et al., 1994). Mutantes con

bloqueos en los pasos previos a la síntesis de homoserina (HS) no inducen *Xba*<sub>I</sub> a menos que se les proporcione HS o acil-HSLs. Sin embargo estas mutantes pueden sintetizar acil-HSLs. Esas mutantes al ser provistas con metionina o treonina en el medio pueden crecer y producir S-adenosilmctionina, un sustrato conocido en la síntesis de acil-HSL (Eberhard et al., 1991; More et al., 1996; Schaefer et al., 1996). Por lo tanto la HSL y acil-HSL a pesar de ser estructuralmente semejantes, parecen ser producidas por metabolitos diferentes. Las acil-HSL son compuestos que actúan como señales extracelulares las cuales se incrementan en concentración dependiendo de la densidad celular. En contraste, la HSL (derivada de HS) podría ser una señal intracelular producida por la limitación de nutrientes. Zambrano et al., (1996) especulan que la ciclización de HS en HSL puede ser catalizada por tRNA sintetasas ya que se sabe que varias tRNA sintetasas enlanzan, adenilan y ciclan HS para generar HSL *in vitro* (Jakubowski et al., 1992). Esto último sugiere que una primera señal metabólica puede ser generada en respuesta al agotamiento de nutrientes sin requerir cambio en la expresión de genes. No obstante los diferentes orígenes de las señales moleculares, no parece haber una conexión entre la respuesta al agotamiento de nutrientes o a la fase estacionaria dada por HSL y la respuesta de alta densidad celular de acil-HSL. Así mismo mutantes con bloqueos en la síntesis de HS pueden hacer acil-HSL pero no son capaces de responder a ella a menos que sean suplementadas con HS o HSL (Zambrano et al., 1996). Esto sugiere que además de la señal de concentración celular de las acil-HSL(s), los circuitos de transmisión de señales también sensan los niveles intracelulares de HSL.

Las N-aciil homoserinas lactonas (aciilHSLs) han sido descritas como moléculas sintetizadas por las bacterias con la finalidad de regular su crecimiento cuando las bacterias llegan a una cierta densidad celular, como se podrá analizar más adelante, proponemos que *Escherichia coli* deja de crecer a causa de una señal de densidad celular. Dada la importancia de esto en la siguiente parte de la introducción (1.6), analizaremos lo recientemente publicado acerca de estas moléculas, así como su mecanismo de acción a través de los circuitos regulatorios tipo luxR.

#### 1.6.- COMUNICACION BACTERIANA A TRAVES DE N-ACIL HOMOSERINAS LACTONAS.

Recientemente se ha puesto mucha atención a un tipo común de sistemas sensores conocidos como sistemas reguladores de dos componentes, en los cuales un componente proteico (el sensor) regula la fosforilación del otro (el regulador de respuesta) (Ulitzur, 1989; Dorman et al., 1992; Stock et al., 1989; Parkinson et al., 1992 y 1993; Russo et al., 1993; Salmon et al., 1995). Existen reguladores que sirven para la comunicación intercelular y usan como señal N-aciilhomoserinas lactonas (aciilHSLs), de manera preferente a la fosforilación (Sainton et al., 1992; Williams et al., 1992; Fuqua et al., 1994). Concretaremos nuestra atención en las acil HSLs las cuales han mostrado controlar un rango muy diverso de factores dependientes de densidad celular (Salmond et al., 1995; Svitnikov et al., 1995), incluyendo el control en la producción de antibióticos y exoenzimas en

***Vibrio fischeri*** (Maitton et al., 1992 y 1992b; Jones et al., 1993; Pirohova et al., 1993), conjugación del plásmido Ti en ***Acinetobacter lwoffii*** (Zhang et al., 1993; Piper et al., 1993) y producción de exoenzimas en ***Pseudomonas aeruginosa*** (Jones et al., 1993; Passador et al., 1993), así como el ya establecido papel en el control de la bioluminiscencia, la cual ocurre en ***Vibrio fischeri*** en vida libre pero que tiene especial significado cuando se encuentra en simbiosis. Las bases del control de la bioluminiscencia en ***V. fischeri*** es la siguiente: luxR provoca la producción de una pequeña molécula N-(3-oxohexanoil)-L-homoserina lactona (OHHL), la cual activa a luxE causando la transcripción del operón lux. Greenberg et al., (1979) y Hanselka et al., (1995), mostraron que los sobrenadantes de los cultivos de una bacteria marina no lumínosa podían inducir bioluminiscencia en ***V. fischeri*** de la misma manera que los sobrenadantes de ***V. harveyi***. Sin embargo, esos sobrenadantes no tuvieron efecto en ***V. fischeri***. Esto llevó a la hipótesis de que especies de bacterias marinas podían comunicarse usando autoinductores. La estructura química de los autoinductores ha sido identificada (Eberhard et al., 1981; Cao et al., 1989) así como los genes y la regulación involucrada. (Ulitzur S., 1989; Meighen E.A., 1991). Actualmente la integración de la regulación génica, a nivel celular, llevada a cabo por pequeñas moléculas, está empezando a comprenderse.

#### 1.6.1.- CIRCUITOS REGULATORIOS DEL TIPO luxE-luxR.

Investigaciones realizadas con ***E. coli*** y ***E. fergusonii*** han incrementado en gran manera el conocimiento en bacterias gram negativas que utilizan HSLs en su regulación genética.

En ***E. fergusonii***, las acilHSLs regulan positivamente la producción de elastase (Latifi et al., 1995). Las evidencias son, primero, la identificación de un homólogo de luxR y segundo las observaciones de que ***E. fergusonii*** produce HSLs. El grupo de Barbera Iglesiaski clonó el regulador positivo ***lumR***, el cual pertenece a la familia de reguladores transcripcionales tipo luxR (Gambello et al., 1991) y demostró que éste controla la producción de elastasa vía ***lumE*** y ***lumR*** de la proteasa alcalina (***Ana***) y de la exotoxina A (***Toxa***) (Gambello et al., 1991 y 1993; Toder et al., 1991; Latifi et al., 1995). En ***E. fergusonii*** el control es similar a ***V. fischeri***, ya que una bacteria con determinantes de virulencia no relacionados, están aparentemente bajo el control de un mecanismo regulador único. El componente de la señal reguladora del regulón constituido por ***lumR*** y ***lumE*** ha sido clonado y se ha observado que produce la síntesis de una acilHSL en una cepa recombinante de ***E. coli*** (Passador et al., 1993; Pearson et al., 1994).

Se ha observado que diferentes acilHSLs pueden ser producidas por un solo organismo (Gilon et al., 1995), incluso algunos modelos bacterianos como ***Acinetobacter*** y ***Pseudomonas***, producen y responden a un rango amplio de especies de acilHSLs (Maitton et al., 1992; Jones et al., 1993; Zhang et al., 1993; Pearson et al., 1994 y 1995; Gilon et al., 1995). En ***Bacillus***, los papeles específicos de las acilHSLs aisladas hasta la fecha, no han sido aún

definidos, salvo un reporte (Gray et al., 1996).

Los estudios en la formación de nódulos fijadores de nitrógeno en la simbiosis de *Rhizobium* y plantas leguminosas son un modelo excelente para revelar con detalle las complejas interacciones entre dos organismos (Long et al., 1993). La comunicación entre los organismos se puede iniciar con la generación de señales moleculares que pueden tener un mismo origen y de esta manera no importa si la invasividad de las bacterias se realiza en células vegetales o animales, más aún el estado fisiológico que predispone a las bacterias a establecer esta comunicación puede ser consecuencia de señales previas entre las propias bacterias, por lo anterior analizaremos un poco de esto en la siguiente parte de la introducción (1.7).

### 1.7.- SEÑALES INVOLUCRADAS EN LA MODULACION.

Recientemente Glazebrook et al., (1993), al aislar y caracterizar un gen proveniente de *R. meliloti*, hacA, observaron que al mutagenizar este gen, el desarrollo del bacterídeo dentro del nódulo se bloques (Long et al., 1988). Esta mutante entra por los pelos de la raíz de la planta, a través del hilo de infeción. Sin embargo, las bacterias separen rápidamente, antes de formar los bacterídeos. La secuencia de aminoácidos de hacA fue idéntica en un 66% y similar en un 79% a la secuencia del producto ShmA de *R. legum*. El producto de ShmA ha sido identificado en *R. legum* en un grupo de mutantes que son resistentes al péptido antibiótico microcin B17 (MccB17) (Levina et al., 1986) el cual es un inhibidor de la DNA girasa, lo que sugirió que la función del ShmA es la de funcionar como receptor de MccB17.

Al hibridizar el hacA contra DNA de bacterias gram negativas, incluyendo a otros simbiontes, patógenos de plantas, patógenos de humanos y bacterias de vida libre se encontró que las especies que tuvieron homología con este gen fueron *R. leguminicola*, *Aerobacter aerogenes*, *Enterobacter faecalis*, *Citrobacter freundii*, *Salmonella typhimurium*, *Shigella flexneri*, *Escherichia coli* y *Alcaligenes eutrophus*. La homología entre los genes de BacA/ShmA en una gran número de especies, sugiere que estas proteínas tienen papeles similares en diversos medios ambientales lo que lleva a preguntarse, ¿cuál es la conexión que existe en estos organismos tan diversos? Algo en común puede ser la necesidad de algunas de estas bacterias de invadir células de diferentes tipos y promover la patogenicidad de esos organismos.

Pero ¿qué metabolito, señal o estado metabólico de la bacteria en vida libre conduce la simbiosis a la invasividad como patógenos? Esta pregunta conduce a otra, ¿qué es la vida libre de algunas bacterias? Son *R. legum* y *Rhizobium* bacterias de vida libre, ya que su medio ambiente natural está en estrecho contacto con organismos eucarióticos. Es por esto interesante pensar que quizás existan células comunes, posiblemente de origen eucariótico, que son detectadas por estos organismos en sus diversos medios ambientales, las cuales pueden ser utilizadas como nutrientes o señales indicativas de su entorno. Los organismos (bacterias) de "vida libre" necesitan

Mecanismos para determinar cómo, cuando y donde iniciar un complejo proceso de desarrollo, tal como dejar de crecer, formar esporas, entrar en fase estacionaria, diferenciarse, etc. (Kolter et al., 1993; Siegela et al., 1992; Kaiser et al., 1993).

### 1.7.1.- COMUNICACION INTRACELULAR Y PEQUEÑAS BACTERIOCINAS EN Rhizobium.

Aunque de manera general las toxinas no son clasificadas como señales moleculares. Se ha reportado una pequeña toxina de origen rizobiano que pertenece a una clase de señales moleculares, la acil-homoserina lactona (HSLs) de la familia de moléculas secretadas por las células las cuales activan la expresión genética relacionada a la comunicación intercelular en alta densidad celular (Fuqua et al., 1994). Esta molécula fué identificada como N-(3-R-hidroxi-7-cis-tetradecanoil)-L-HSL (Schripsema et al., 1996) (Gray et al., 1996). En este último reporte se demostró que el crecimiento de la cepa 248 de *Rhizobium leguminosarum* bv. *viciae*, puede ser inhibido por esta pequeña molécula. Esta cepa y otras más poseen la capacidad de producirla. Esta molécula es producida por dos biovaras de esta especie, *trifoli* y *viciae*. Otras HSLs son auto-inductores de *Vibrio fischeri* y *Zobellia galion* las cuales activan la expresión del gene lux (que induce la producción de luciferasa) y del factor de conjugación de *Agrobacterium tumefaciens* el cual se requiere para la expresión de los genes lux. Usando una fusión *luxC-lacZ*, esta molécula pequeña induce la actividad de  $\beta$ -galactosidasa. Sorpresivamente el sobrenadante de la cepa mutante derivada de la cepa 248 que no produce esta pequeña molécula en *Rhizobium leguminosarum* induce fuertemente la actividad de  $\beta$ -galactosidasa. El último inductor fué purificado y parece ser otra HSL, identificada tentativamente como hexanoil-HSL (Schultze et al., 1995). *Rhizobium leguminosarum* puede producir al menos dos tipos de HSLs de las cuales no se conoce su función. Quizás la actividad tóxica de esta molécula tenga una relación con las moléculas producidas por densidad celular. Alternativamente, una u otra, o ambas de estas HSLs pueden ser autoreguladores involucrados en procesos tales como la conjugación (Wijffelman et al., 1983; Schripsema et al., 1994) y/o en la transcripción del operón Rhi (Dibb et al., 1984). La expresión de la proteína Rhi, necesaria sólo en la rizósfera, requiere del operón *rhiABC*, así como del *rhiR*. Este último gene *rhiR* muestra homología con *luxR* sin embargo no se pudo identificar un gen homólogo a *luxL* (Cubo et al., 1992). La proteína Rhi es la característica de *Rhizobium leguminosarum* bv. *viciae*, y no fué encontrada en *Rhizobium leguminosarum* bv. *Phaseoli* y sólo existe en 6 cepas de *Rhizobium leguminosarum* bv. *trifoli*, de las analizadas. Esta es una proteína de 24 kD la cual se acumula en fase estacionaria en células en vida libre pero no en bacteroides, siendo regulada por alta densidad celular. Dibb et al., (1984), observó que la proteína Rhi es más abundante en cultivos realizados en medio sólido que en medio líquido.

## **2.- JUSTIFICACION.**

## 2.- JUSTIFICACION.

El nitrógeno se encuentra en forma abundante en la atmósfera y es escaso en el suelo. La fijación de nitrógeno en la naturaleza es un proceso que se regula según la cantidad de nitrógeno que existe en la corteza terrestre, de tal manera que aquellos organismos que como resultado de una relación simbiótica fijan nitrógeno, están adaptándose a la disponibilidad de este micronutriente. Dentro de éste contexto, la simbiosis *Rhizobium*-leguminosa puede verse como la relación entre el medioambiente y dos organismos que a través de intercambiar una serie de señales regulatorias y modificar su metabolismo, podrán contender con la limitación de carbono y nitrógeno y con diferentes presiones externas a las que son sujetas en su medio ambiente. Al establecerse dicha simbiosis, se forma en las raíces de la planta, un órgano especializado, el nódulo, en el que coexisten células diferenciadas de la planta y bacteroides. Es obvio que la relación simbiótica no es totalmente el resultado de un programa determinado sino que depende, por un lado del estado nutricional de la planta y la bacteria en cuanto a sus requerimientos de carbono y nitrógeno y por otro, a las presiones ambientales a las que estuvieron sometidas las bacterias previas al establecimiento de la simbiosis, como son: pH(s) adversos, estrés oxidativo, salino, predadores, toxinas, competencia etc., y las señales moleculares del microambiente que incluyen quimiotaxis, comunicación intercelular etc., que también juegan un papel importante; por lo tanto, de acuerdo a lo anterior, el proceso simbiótico tendrá diversos grados de eficiencia y en casos extremos podría detenerse.

El estado metabólico de la planta y la bacteria genera un intercambio de señales donde intervienen transmisores y receptores de ambos organismos y que dependiendo de las condiciones de la rhizósfera, puede conducir o no al establecimiento de la simbiosis.

Nosotros creamos que la participación por parte de la bacteria es mucho más que una relación altruista y por lo tanto otros factores pueden intervenir además de la obtención de carbono como fuente de energía durante la fijación de nitrógeno. Con éste enfoque la fijación biológica de nitrógeno no sólo estaría acoplada a una necesidad de la bacteria por el carbono por lo que es posible considerar otro tipo de presiones ambientales que limitan el crecimiento de la bacteria en la rhizósfera. Pensamos que para sobrevivir en la tierra, *Rhizobium* entra en simbiosis con la planta, obteniendo además un beneficio de la fijación biológica de nitrógeno.

El enfoque que nosotros hemos seguido y que ha sido poco explorado en el área de la fijación biológica del nitrógeno, ha sido el buscar las condiciones fuera de la planta que reproduzcan los eventos metabólicos de *Rhizobium* antes y durante la simbiosis con plantas leguminosas, debido a que poco se conoce acerca de como este proceso se relaciona con la fisiología en vida libre de la bacteria. Esto contrasta con la tendencia actual en el área que investiga la fijación de nitrógeno que es principalmente en relación al proceso simbiótico. En este proyecto de investigación pretendemos identificar algunos estados metabólicos de *Rhizobium* que tienen alguna coordinación semejante a lo que ocurre a la bacteria en el proceso simbiótico.

Una de las características más peculiares de la bacteria durante la infección es la de poder utilizar el carbono que en forma de succinato le proporciona la planta, para ser metabolizado suficientemente para crecer y aumentar el número de bacterias. A partir de este evento, el comportamiento de *Rhizobium* durante la simbiosis se puede describir de una manera muy general por la existencia de tres procesos metabólicos fundamentales. El primero es la inducción de la división celular de la bacteria y dejar de proliferar; el segundo es la fijación de nitrógeno en un ambiente microaerofílico; el tercero y último el intercambio de carbono y nitrógeno entre ambos organismos.

En función a lo anterior, un objetivo central que hemos perseguido ha sido el buscar en *Rhizobium*, en ausencia de la planta las condiciones que reproducen algunos de los procesos metabólicos anteriores mencionados. Así una primera condición que hemos buscado es aquella en que la bacteria disminuya su velocidad de crecimiento y deje de proliferar, tal como lo hace durante la simbiosis.

Hemos observado que al cultivar a *Rhizobium* en vida libre, este organismo pierde su capacidad para crecer después de ser subcultivado en medio mínimo. En este proceso *R. etli* sufre un cambio tanto fisiológico como morfológico. Al analizar la estructura de las bacterias en micrografías obtenidas por microscopía electrónica se observa la presencia de bacterias pleomórficas parecidas a los bacteroides con un aumento de tamaño de hasta 5 veces más de lo normal y con una gran cantidad de gránulos de PHB (poli- $\beta$ -hidroxibutirato). Este polímero requiere para su síntesis de poder reductor y es acumulado por diversas bacterias durante la limitación de oxígeno, carbono, nitrógeno etc. Así mismo se ha reportado que varias especies de *Rhizobium* y *Bacillus* sintetizan y acumulan PHB en vida libre (Stam et al., 1986; Tombolini et al., 1989). Además, existen múltiples reportes que describen la acumulación de PHB durante simbiosis con plantas leguminosas (Goodchild, D.J. 1977). A pesar de lo anterior se desconoce cuál es la función de la síntesis y de la acumulación de este polímero en *Rhizobium* tanto en vida libre, como en simbiosis. Una de las funciones que se han propuesto para explicar la presencia de este polímero es la de dar protección respiratoria a la nitrogenasa y también proveer de energía para la fijación de nitrógeno (Anderson et al., 1990). A pesar de lo anterior, a nuestro parecer el papel fisiológico del PHB tanto en simbiosis como en vida libre aún no ha sido claramente entendido, por ejemplo se sabe que *Bacillus subtilis* *lazatinum* acumula grandes cantidades de PHB durante simbiosis a la vez que fija nitrógeno, sin embargo ambos procesos requieren una gran cantidad de poder reductor. La obtención de una mutante en la síntesis de PHB ayudará en gran medida a contestar algunas preguntas acerca del papel de la síntesis de este polímero, tanto en vida libre, como en simbiosis, ya que el consumo de fotosintato en la síntesis del polímero en simbiosis, podría ser utilizado en la generación de energía para la fijación de nitrógeno. Por lo anterior un objetivo central de este proyecto es aportar conocimientos que nos ayuden a entender el papel de la acumulación de PHB en vida libre y en simbiosis. Además del PHB, otros productos de fermentación son también generados por *R. etli* cepa CE3 cuando fue subcultivada en Medio Mínimo (MM). Hemos identificado en el medio, algunos productos de excreción como ácidos orgánicos y aminoácidos que

han sido reportados como promotores de la agregación celular, sin embargo éstos son escasos en sobrenadantes de células crecidas en MM suplementados con biotina o tiamina.

Las especies de *Rhizobium* están bien adaptadas a vivir microaeróbicamente, al menos durante la simbiosis, sin embargo no se ha explorado si éstas tienen una capacidad natural para cambiar a un metabolismo fermentativo como se puede observar en *Bacillus* por la acumulación de altas cantidades de PHE. Por esto, analizaremos en diferentes especies y cepas de *Rhizobium*, la capacidad de esta familia de bacterias de dejar de crecer en MM y las similitudes que este proceso pueda tener en las diferentes especies y cepas estudiadas.

Hemos observado que al subcultivar a *Rhizobium* en MM suplementado con metabolitos como biotina, tiamina o glutamina, el proceso anteriormente descrito de dejar de crecer no se presenta, no importando el numero de veces que se subcultive. Por lo anterior es importante investigar a través de qué mecanismos, enzimas o vías metabólicas estas condiciones y estos suplementos están manteniendo el crecimiento de manera continua en MM.

El metabolismo del nitrógeno se encuentra estrechamente interrelacionado con el metabolismo de carbono. En *Maurandella strassae* la glutamina, el donador universal del nitrógeno, es también central en la regulación del metabolismo de este elemento (Mora et al., 1990). En relación al intercambio de carbono y nitrógeno que le ocurre a *Rhizobium*, al cultivar a *Bacillus* en MM succinato-glutamina observamos que presenta una actividad enzimática de glutamino sintetasa II (GSII) 4 veces mayor a la observada en MM succinato-amonio, lo cual sugiere la existencia del ciclaje de la glutamina en esta bacteria (Mora et al., 1993). Por otro lado existen evidencias en *M. strassae* (Mora et al., 1990) y *Saccharomyces cerevisiae* (Flores-Samaniego et al., 1993) de la existencia del ciclaje de este aminoácido. En *M. strassae* se ha propuesto que este ciclaje no es futile, ya que es necesario para un efectivo flujo de carbono que soporte el crecimiento. El ciclaje de glutamina en este hongo resulta en la disipación de energía que libera al proceso catalítico de la rigurosa regulación por ATP y nucleótidos reducidos haciendo posible la eficiente utilización de la fuente de carbono y en consecuencia el crecimiento (Mernández et al., 1990). En *S. cerevisiae* se ha propuesto que este ciclaje tiene un papel en la regulación del flujo del carbono en la glicolisis (Flores-Samaniego et al., 1993). Por lo anterior y por nuestras observaciones de que al subcultivar a *Bacillus* en MM (succinato-glutamina) crece continuamente, independientemente del número de los subcultivos, un objetivo de este proyecto fué analizar la posible existencia del ciclaje de glutamina en *Rhizobium*, así como su implicación en el metabolismo de carbono y el posible mecanismo mediante el cual la presencia de este aminoácido adicionado al MM permite a *Bacillus* crecer continuamente al ser subcultivado.

El conocimiento que se genero de este proyecto lo consideramos esencial para entender el proceso simbótico. A partir de esto, se podría diseñar e implementar una simbiosis más efectiva que aumente el rendimiento de semilla de cultivos con plantas leguminosas, lo que tendría repercusiones en cuanto a su aplicación en uno de los

problemas centrales en la agricultura, que es la falta de nitrógeno en el suelo.

## **3.- RESULTADOS.**

**3.1.- MANUSCRITO DEL ARTICULO "FERMENTATIVE AND  
AEROBIC METABOLISM IN Rhizobium nili".**

## Fermentative and Aerobic Metabolism in *Rhizobium etli*

SERGIO ENCARNACIÓN,<sup>1</sup> MICHAEL DUNN,<sup>1</sup> KAETHE WILLMS,<sup>2</sup> AND JAIME MORA<sup>1\*</sup>

Departamento de Ecología Molecular, Centro de Investigación Sobre Fijación de Nitrógeno,  
Universidad Nacional Autónoma de México, Cuernavaca, Morelos,<sup>1</sup> and Departamento  
de Microbiología y Parasitología, Facultad de Medicina, Universidad Nacional  
Autónoma de México, Ciudad Universitaria, Ciudad Universitaria,  
Mexico City, Mexico

Received in December 1994 Accepted 21 March 1995

Strains of *Rhizobium etli*, *Rhizobium meliloti*, and *Rhizobium tropici* decreased their capacity to grow after successive subcultures in minimal medium, with a pattern characteristic for each species. During the growth of *R. etli* CE 3 in minimal medium (MM), a fermentative-like response was observed; this *R. etli* culture reduced the availability of inorganic nitrogen to the host plant, *Phaseolus vulgaris*, which produces poly- $\beta$ -hydroxybutyrate (PHB) when accumulated. Some of the organic acids excreted into the medium were tricarboxylic acid (TCA) cycle intermediates, and, concomitantly, the activities of several TCA cycle and auxiliary enzymes decreased substantially or became undetectable. Optimal and extended growth of a low PHB culture were found in *R. etli* CE 3 when grown in MM at 20°C, 25°C, or 30°C, but not at 35°C. The addition of glucose to 200 or 300 µM to cultures of *R. etli* did not have an effect on the synthesis of intermediates for the TCA cycle, in the presence of supplements such as biotin or thiamine; no organic acids were excreted and the organic acids already excreted into the medium were later reutilized. Levels of enzyme activities in cells from oxygen-limited cultures indicated that the conversion of organic acids to TCA cycle intermediates was reduced. It is proposed that the fermentative state in *Rhizobium* bacteria is triggered by a cell density signal that prevents the regulation of some of the enzymes responsible for the flux of carbon through the TCA cycle and that this in turn determines how much carbon is available for the synthesis and accumulation of PHB. The fermentative state of free-living *Rhizobium* species may be closely related to the metabolism described in those bacteria reported during symbiosis.

In aerobic bacteria, the tricarboxylic acid (TCA) cycle functions to generate reduced nucleotides by the complete oxidation of purate, which enters the cycle in the form of acetyl coenzyme A (acetyl-CoA). The reduced nucleotides are then used to generate energy in the form of adenosine triphosphate. Another major function is to produce intermediates for anabolism, and several anaplerotic reactions serve to replenish TCA cycle intermediates which are consumed in these processes (3).

The accumulation of the microbial reserve polymer poly- $\beta$ -hydroxybutyrate (PHB) in bacteria is well documented (1, 6, 45), as is the presence of PHB in several species of *Rhizobium*, both in the free state (44, 46) and in symbiosis (14, 19, 48). Within the genus *Rhizobium*, the metabolic pathways in various groups of bacteria have been characterized (1), the most common pathway begins with the condensation of two molecules of acetyl-CoA to form acetoxethyl-CoA. Sequential reduction yields the reduced product, PHB (1). This product can be depolymerized and ultimately converted back to acetyl-CoA (Fig. 1). Like the TCA cycle, carbon flux through this pathway is greatly influenced by growth conditions and can contribute to the regulation of the fermentative metabolism, acetyl-CoA. However, the function of PHB in cell metabolism in *Rhizobium* species has not been defined.

Studies of *Rhizobium* physiology have been directed mainly toward understanding how oxygen participation in symbiosis with leguminous plants, and little is known about how this process relates to the physiology of free-living *Rhizobium*.

organisms. For instance, it is known that *Baumannia jasminicola* bacteria accumulate PHB during symbiosis at the same time that they fix N<sub>2</sub> (29) and that bacteroids incubated in low levels of O<sub>2</sub> can utilize PHB as a source of energy and reduce pentose NADP to NADPH (3). It has also been proposed that the accumulation of functionally reduced redox material and, by sequestering reduced nucleotides, allows the TCA cycle to operate microaerobically (29). Nevertheless, it is not known whether *Rhizobium* species can grow as microaerophiles and if organic acids are utilized in fermentation.

Precviously, we reported that the growth of *Rhizobium etli* CE 3 was impaired when cells were transferred from a rich to a minimal medium (MM) and that this unbalanced growth was associated with a fermentative-like response (2). When other strains or species of *Rhizobium* were tested under the same conditions, a qualitatively similar response was found. In this work, we present the results of physiological studies of this fermentative-like response in *Rhizobium* which is characterized by the conversion of organic and amino acids into the reduced PHB accumulation. Because PHB, as a sink for reductive power (43), is a fermentative product and because the excretion of organic and amino acids is a typical fermentative response, we propose that *Rhizobium* retain the term "fermentation" to describe the phenomena described here. However, because *Rhizobium* species are strict aerobes, the fermentative response we describe for this genus most probably differs in some respects from the one found in free-living, non-aerobic *Rhizobium* (34). *Rhizobium* species are well adapted to live microaerobically, at least during symbiosis, although it has not been explored whether they have the natural capacity to grow microaerobically in vitro. Significantly, we show that the supplementation of MM with compounds that affect substrate concentrations and/or enzyme activities within or auxiliaries to

\* Corresponding author. Mailing address: Departamento de Ecología Molecular, Centro de Investigación Sobre Fijación de Nitrógeno, Universidad Nacional Autónoma de México, Apartado Postal 56542, Cuernavaca, Morelos, Mexico. Phone: (721) 11 3661. Fax: (723) 17 5094.

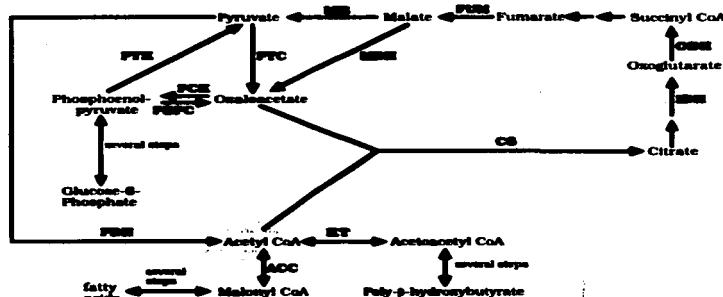


FIG. 1. Scheme of possible enzymatic reactions occurring in *R. eti* and *R. angel* during growth in MM. Reactions are based on the data in Table 2, although not all potential metabolic interconversions are shown.

**The TCA cycle prevents the fermentative response. The results obtained from the experiments using these supplements allow us to present a model to explain why these compounds prevent a fermentative response and stimulate an aerobic metabolism.**

#### MATERIALS AND METHODS

**Bacterial strains and growth conditions.** The bacterial strains used are listed in Table 1. Batch culture media were prepared in 250-ml flasks containing 150 ml of medium at 30°C without shaking for 200 hr. The medium used for culturing *R. eti* which contains 1.26 mM L-[U-<sup>14</sup>C]-D,L-Glutamate was modified from that described by Hwang et al. (1992) [adjusted separately and added at the 1/10 (v/v) (4) was bacteria grown overnight in PYE rich medium (5), washed three times with water at room temperature until turbidity reached 1.5 (optical density at 540 nm), and then added to the MM. For each experiment, 25 ml of the culture was added to 250 ml of MM, washed, diluted, and added to fresh MM as described above]. These cultures were grown for the same period, and the same procedure was repeated several times. Growth was monitored by measuring the optical density at concentrations of 10 mM K<sub>2</sub>HPO<sub>4</sub> unless otherwise indicated. Growth in controlled O<sub>2</sub> was performed in 250-ml flasks containing 150 ml of medium with 10 mM K<sub>2</sub>HPO<sub>4</sub> transferring 5 ml of the culture to a 100-ml bottle which was then tightly covered with a rubber septum. Air was removed under a vacuum, argon (99% purity) was then admitted to the bottle, and the culture was incubated at 30°C. The concentrations of O<sub>2</sub> and argon were injected into each bottle. Following 2 h of incubation, the culture was harvested alone, the entire culture was assayed for PHB determination. Growth was measured by measuring the O<sub>2</sub> and determining the protein concentration of the cultures by the method of Bradford (1976). Cells were considered to be free of contamination if the cells were found to be free of contamination or if mutations that could affect their growth in MM.

**Cell preparation and enzyme assays.** MM batch cultures were inoculated, maintained, and subcultured as described above. For enzyme assays, cells were harvested, washed twice with MM, suspended in 10 ml of chilled MM, and resuspended to an  $\text{OD}_{540}$  of 1.0. Twenty-five milliliters of this suspension was centrifuged, and the pellet was resuspended in 5 ml of cell lysate as described previously (19), except that de�turbation was carried when

cell lysates were to be assayed for citrate synthase activity. The cell suspensions were lysed by sonication (Bransonic 150, MSE [Dakor Scientific Ltd., London, United Kingdom]), equipped with a 1-mm-diameter probe and set at 12-mm amplitude for 1 min in ice bath at 4°C. The cell lysates were then stored at -20°C until analysis. Cell lysates were assayed for citrate synthase activity as determined by a modified Lowry assay (25) using bovine serum albumin as a standard.

Acetyl-CoA carboxylase (ACC) (EC 6.4.1.2) carboxyltransferase activity was determined spectrophotometrically as described elsewhere (15). Citrate synthase activity was determined by the method of Hwang et al. (1992). 2-Ketoglutarate dehydrogenase-linked assay of Bazz and Lathe (22), fumarate dehydrogenase (FDH) (EC 1.1.1.42), 3-ketothiolase (KET) (EC 2.3.1.19), fumurate (FUM) (EC 4.2.1.2), malate dehydrogenase (MDH) (EC 1.1.1.37), and 2,3-butanediol dehydrogenase (BDH) (EC 1.2.2.2.1) activities were determined as described by Karr et al. (19). Oxaloacetate dehydrogenase (OXA) (EC 1.2.2.2.2) activity was measured by an NADH-linked assay (26). Pyruvate carboxylase (PCV) (EC 6.4.1.1) and phosphoenolpyruvate carboxylase (PEPC) (EC 4.1.1.99) activities were measured by a colorimetric method as described by Hwang et al. (1992), except that glutamic acid was used as substrate. The final concentrations of 0.5 and 0.2 mM, respectively, and MDH was present at a final concentration of 0.5 U/ml. The NADH-linked assay of PEPC was performed by the same method as the PCV-linked assay (33). Cell lysates and components of the reaction mixture were preincubated for 2 min prior to the addition of substrate, which was then added to the reaction mixture. The reaction mixture was then incubated for 10 min at 30°C, followed by the addition of 0.5 ml of ice-cold acetone with one of each set of samples lacking substrate to measure background activity. Assays were carried out in series with NADH, NAD, DPNH, NADP, NADPH, FMNH<sub>2</sub> (EC 1.1.1.40) as cofactors. The reaction mixtures were then assayed for absorbance at 340 nm. The absorbance values 10 min later served as blanks (4).

**Enzyme assays.** Cell lysates were prepared in 1 ml of ice-cold medium volumes (150–20 ml), respectively, withdrawn from cultures grown in MM with and without supplements, and cells were prepared as described previously (5). The reaction mixture contained 100 µl of cell lysate, 10 µl of 10 mM DPNH, 25 µl of 25 mM HClO<sub>4</sub> containing an appropriate internal standard, and centrifuged at 16,000 × g for 40 min at 4°C. The supernatants were filtered through membrane filters (type HA, 0.45 µm pore size; Millipore Corp., Bedford, Mass.) and

TABLE 1. Bacterial strains used in this work

Strain	Original host plant	Geographic origin	Source or reference
R. eut			
CE 3	<i>Phaseolus vulgaris</i>	Mexico	5
Viking I	<i>P. vulgaris</i>	United States	37
CFN 17	<i>P. vulgaris</i>	United States	36
Nitrogen #251	<i>P. vulgaris</i>	United States	36
CFN 3	<i>P. vulgaris</i>	Mexico	36
Bra 5	<i>P. vulgaris</i>	Brazil	36
F6	<i>P. vulgaris</i>	Mexico	36
R. tropic			
Subgroup A			
CFN 299	<i>P. vulgaris</i>	Brazil	27
C-05-I	<i>P. vulgaris</i>	Brazil	36
BRA 0442	<i>P. vulgaris</i>	Brazil	36
BRA 045	<i>L. esculentum</i>	Brazil	36
BRA 046	<i>L. esculentum</i>	Brazil	36
Subgroup B			
CFAT 890	<i>P. vulgaris</i>	Colombia	47
C-05 II	<i>P. vulgaris</i>	Brazil	36
BRA 047	<i>L. esculentum</i>	Brazil	36
BRA 053	<i>L. esculentum</i>	Brazil	36
BRA 057	<i>L. esculentum</i>	Brazil	36
R. meliloti			
RCB 2011	Af. sericea	Australia	39
H021	Af. sericea	Australia	39
R. leg 2	Af. sericea	Mexico	10
R. mel R	Af. sericea	Mexico	10
E. Murrison*			

\* Departamento de Ciencias Moleculares, Centro de Investigaciones sobre Fisiología del Nitrógeno, Cuernavaca, Morelos, Mexico.

used for organic acid and amino acid analyses. Organic acids from cell and medium media were separated and quantified by injecting 10 and 50  $\mu$ l, respectively, into a Waters model 510 chromatograph (Waters, Chelmsford, Massachusetts) equipped with a Waters column (Waters, Chelmsford, Massachusetts). The separation was performed on three columns from Polymer Laboratories (Warrington, U.K.) with a flow rate of 0.9 ml/min. The column temperature was at 25°C. The flow rate was 0.9 ml/min. Organic acids were eluted with 1.25 mM HClO<sub>4</sub> and measured at 210 nm. Amino acids were separated by injection of 10  $\mu$ l (10:10:1) through the reaction column and detected at 436 nm by cuve change. Amino acids were quantified fluorimetrically as described previously (19). Reverse-phase HPLC was used for the analysis of PHB by using a Waters 510 pump, a Waters 510 column (Waters, Chelmsford, Massachusetts), a Waters 510 pump, and a Waters 510 column (Waters, Chelmsford, Massachusetts). The column was maintained at 40°C. The flow rate was 1 ml/min. The detection wavelength was 436 nm. The detection limit was 1  $\mu$ g/ml. The flow rate of 1 ml/min at 40°C. Amino acids were detected with a fluorescence detector (Waters, Chelmsford, Massachusetts).

Determination of PHB. PHB was assayed by the spectrophotometric method of Law and Meppejs (23). The single-wavelength absorption peak for eicosanoic acid was taken at 234 nm, and the extinction coefficient was not determined because the PHB did not form with the acid.

Determination of PHB. Batch cultures of *Rhizobium* spp. were grown in triplicate, as described above, in MM or MM plus BaCO<sub>3</sub> (0.1%). After 7 to 14 h of growth, a titter pulse of [1-(4-azidophenyl)-2-(4-azidophenyl)-3-methyl-2-butyn-1-yl]azide (Sigma-Aldrich, St. Louis, Missouri) was added to each culture, as described previously (24). The culture was processed for the determination of PHB as described previously (24), and the culture was washed with chloroform. Two high-molecular-weight DNA was analyzed by the spectrophotometric method described above (25), and the radiolabel incorporation was measured by liquid scintillation counting (Packard, Downers Grove, Illinois) system.

Determination of PHB. Cultures used for the growth of *Rhizobium* spp. were grown as batch cultures as described above in 250-ml Erlenmeyer flasks tightly covered with a three-hole rubber stopper, through which were passed two glass tubes containing a pH indicator (Bromophenol Blue, Sigma, Yellow Springs Instrument Co., Inc., Yellow Springs, Ohio), and a cotton-plugged glass tube to act as a pressure release. The O<sub>2</sub> dissolved in the culture medium was monitored by using a model 36 ARC meter (Delta Springs

Instruments Co.) and a strip chart recorder. O<sub>2</sub> concentrations are expressed as percent dissolved O<sub>2</sub> in the medium.

Determination of cell viability. Two-cell cultures in cultures were determined by light microscopy in a Polarized light chamber. Serial dilutions prepared from the cultures were plated on PY medium, and colonies were counted after 3 days of incubation at 30°C. Cell viabilities were determined as the number of CFU divided by the total number of cells.

## RESULTS

Growth of different *Rhizobium* strains. *R. eut* CE 3, *Rhizobium* strain H021, and *Rhizobium* tropic subgroup A (strain CFN 299) (which is related to *R. eut* H021) were subcultured every 24 h in MM, both media containing sucinate as the carbon source and ammonium chloride as the nitrogen source. The growth rate of *R. eut* CE 3 decreased by half in the second subculture, and almost no growth occurred in the third subculture (Fig. 1). On the other, *R. eut* CE 3 maintained this same pattern of growth when subcultured every 12 h, i.e., with inocula prepared from exponentially growing cells (data not shown). When subcultured every 24 h, *R. mel* R021 stopped growing after the first subculture, whereas *R. mel* R021 in MM (CIAT 890) stopped growing in the fifth subculture (Tables 1 and Fig. 2B and C). However, the *R. tropic* subgroup A strain (CFN 299) decreased its growth rate by only half in the ninth subculture (Fig. 2D), and this rate was maintained in subsequent subcultures (data not shown). All of the strains tested (Table 1) grew continually if subcultured in PY complex medium. Cell viability, determined as described in Materials and Methods, was not affected when *R. eut* CE 3 was subcultured every 12 h.

Inclusion of compounds, such as different carbon sources, including glucose (except fumarate and malate), amino acids (except glutamine), purines, pyrimidines, vitamins (except biotin and thiamine), nucleic acids, trace elements, citrate, and sucinate, did not prevent the unbalanced growth of the *Rhizobium* strains. However, when subcultured in MM, the growth rate decreases similar to those observed in MM subcultures (Fig. 2). The unbalanced growth of *Rhizobium* organisms in MM was not prevented by variations in pH, temperature, or osmolarity.

Effect of citrate, fumarate, succinate, and malate on culture growth and PHB accumulation. All of the *Rhizobium* strains studied accumulated PHB when they were successively subcultured in MM. In comparison with the other strains tested, *R. mel* R021 (Tables 1 and 2) and *R. eut* CE 3 (Fig. 1) in the second subculture accumulated higher levels of PHB after each subculture (Fig. 1). For the *Rhizobium* strains studied, a direct correlation between the unbalanced growth in subsequent subcultures (Fig. 1) and the accumulation of PHB was established (Fig. 2). It has been reported that *Rhizobium* *infidus* does not grow in ammonium or nitrate after being previously grown in MM containing either of these compounds as a nitrogen source (24). However, no data regarding PHB accumulation in this strain were found.

In contrast to other bacteria which accumulate PHB only when growth ceases (35, 42), *Rhizobium* organisms accumulated this polymer during growth in the first and second subcultures (Fig. 2 and 3). Interestingly, this unique pattern of PHB accumulation occurred in all strains which were subcultured every 12 h from exponentially growing cells. The accumulation of PHB was also observed in electron micrographs of the *Rhizobium* species studied, and a positive correlation between cellular PHB content, measured chemically, and the presence of intracellular granules was found (data not shown).

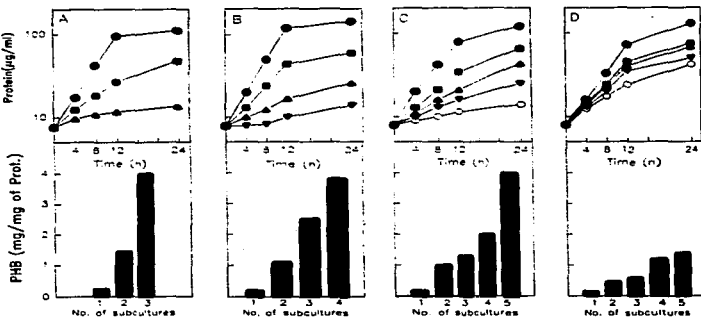


FIG. 2. Growth and PHB accumulation on different biotin sources. Strains were subcultured in MM: (A) *R. eti* CE 3; (B) *R. maidis* CFN 299; (C) *R. eti*; (D) *R. eti* CE 3 cultures were subcultured in MM. (A) *R. eti* CE 3; (B) *R. maidis* CFN 299; (C) *R. eti*; (D) *R. eti*. Growth and PHB accumulation after 24 h of incubation were measured as described in Materials and Methods. Results after the first (●), second (■), third (○), fourth (▲), and fifth (△) subcultures are shown. Prot., protein.

When biotin, thiamine (Fig. 3), or fumarate and malate (not shown) were added to MM cultures of *R. eti* CE 3, growth was optimal during subculturing and PHB was not accumulated.

**PHB formation.** *R. eti* CE 3 cultures grown in MM for 14 h with no biotin, thiamine, or fumarate and malate were pulsed with [<sup>3</sup>H]fumarate, and the radioactivity incorporated into PHB was measured. The amount of PHB produced was 10-fold higher in the absence of biotin, but the specific radioactivity (counts per minute per milligram) of the incorporated into PHB was only 41% of that found in the presence of biotin. When a 30-min pulse was given to cultures grown for only 7 h, the specific radioactivity in PHB was only slightly higher with biotin supplementation. These results of these experiments indicate that PHB is turning over under our conditions, in which this polymer is not accumulated, such as in the presence of biotin.

**Effects of biotin and thiamine supplementation on enzyme activities.** Because *R. eti* CE 3 and *R. maidis* CFN 299 have very different phenotypes when subcultured in MM (Fig. 2A and D), the levels of various enzyme activities in these two strains are different and shown in Table 3. With regard to the effect of biotin supplementation on enzyme activities in strain CE 3, four general categories of responses were observed: (i) enzyme activities which were not significantly affected by biotin supplementation in an amenable (FACC, NADP<sup>+</sup>-ME, and NAD<sup>+</sup>-ME) or PFKC (PYC and PCK); (ii) enzyme activities whose activities were not affected by biotin supplementation in the first subculture, but which were maintained, with biotin supplementation, at a significantly higher level of activity in the

second and/or third subcultures (CS, IDH, ODH, and ODHC); (iii) enzyme activities which were significantly elevated in biotin-containing cultures in the first and subsequent subcultures (PYC and PCK); and (iv) the enzyme whose activity was significantly decreased over the course of subculturing in MM containing biotin (KET).

Enzyme activities in strain CFN 299 were not affected by biotin supplementation, with the exception of KET, whose activity increased in the presence of biotin in the first and subsequent subcultures. Several enzymes were substantially higher in CFN 299 than in CE 3 regardless of biotin supplementation, and they include NAD<sup>+</sup>-ME, ODH, and PDH. The activity of PYC was severely high in strain CFN 299 than in strain CE 3 grown in MM lacking biotin. Biotin supplementation of strain CE 3 cultures caused an approximately five- to ninefold increase in the activity of the enzyme. PYC was the only enzyme measured whose activity was lower in CFN 299 than in CE 3.

Table 3 presents a comparison of how biotin and thiamine supplementation of strain CE 3 cultures affects the activities of enzymes. We compare one of these enzymes as a control. Compared with nonsupplemented cultures, biotin supplementation increased PYC activity four- to sixfold, while thiamine supplementation resulted in only a twofold increase (Table 3). In thiamine-supplemented cultures, PDH activity was only slightly increased. ODH activity was also slightly higher in the first subculture, but these activities were maintained at this increased level during the second and third subcultures. In nonsupplemented cultures, these activities were undetectable

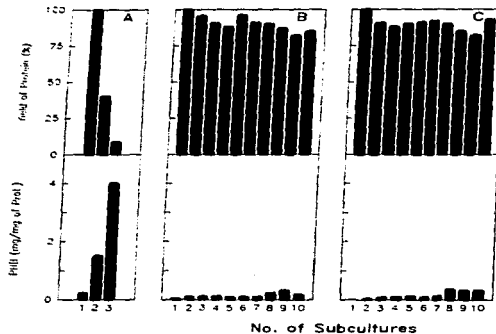


FIG. 3. Growth (yield) and PHB accumulation in *R. eut* CE 3 during successive subcultures in MM alone (A) and supplemented with biotin (1  $\mu$ g/ml) (B) or thiamine (5  $\mu$ g/ml) (C). In each experiment, growth and PHB accumulation at 24 h were measured as described in Materials and Methods. The DFR<sub>24</sub> value for yield of protein is from 200 to 110 mg of protein per ml Pdu/protein.

after the first subculture (Tables 2 and 3). Biotin supplementation also maintained the activities of these enzymes following the first subculture (Tables 2 and 3), although the levels of activity were less than those in thiamine-supplemented cultures (Table 3).

**Enzyme activities in *R. eut* CE 3 during subculturing in MM supplemented with biotin.** The enzyme activities measured in Table 4 show that the enzyme activities most affected in cells grown in the presence of malate and fumarate were PDH and PYC (minimum increases of 2.5- and 3-fold, respectively). Enzyme activities showing less increase in the presence of these supplements are shown in Table 4. It should be noted that for some of these enzymes, substantial variations in activities were sometimes found between experiments, as noted previously for batch cultures of *Rhizobium leguminosarum* (13). However, there is a difference between Tables 2 and 4 in Table 4 since the sampling was done at 12 and 10 h, respectively. The general trends in enzyme activity changes reported above have been consistent from experiment to experiment.

**Excretion of organic acids and amino acids.** In addition to PHB, other fermentation products were also produced by *R. eut* CE 3 when it was grown in MM. Organic acids such as 2-oxoglutarate, malate, fumarate, lactate, and 3-hydroxybutyrate were excreted into the medium (Table 5). In contrast,

when biotin or thiamine was added to the MM, most of the organic acids, although present in the culture medium at 10 h, were consumed by 12 h in the second subculture, with the exception of pyruvate (Table 5).

Glutamate and, to a lesser extent, alanine were also excreted by *R. eut* CE 3. At the end of the second subculture in MM, the excretion of these amino acids was significantly elevated. The excretion of these amino acids was drastically reduced in the presence of biotin or thiamine (Table 5). It should be noted that neither the organic acids nor the amino acids were accumulated intracellularly (data not shown).

**Effect of O<sub>2</sub> concentration on the growth of *Rhizobium* species.** It has been reported that O<sub>2</sub> concentration regulates PHB accumulation in other bacteria (18, 42). PHB production by *R. eut* CE 3 was stimulated by O<sub>2</sub> (Fig. 4). PHB was accumulated in cells during growth in all of the O<sub>2</sub> concentrations tested. When the O<sub>2</sub> concentration was decreased from 100 to 5% (cellular PHB content increased from 0.15 to 0.75 mg of protein, respectively, on a dry weight of 2.1  $\times$  10<sup>8</sup> cells), and only by supplying O<sub>2</sub> during the first 12 h of growth, and only by supplying O<sub>2</sub> to the cultures was it possible to maintain a dissolved-O<sub>2</sub> concentration between 5 and 10% (at the end of cultivation, *R. eut* CE 3 had a growth rate as well in the second and third subcultures and PHB accumulation was greatly reduced (Fig. 4).

PHB accumulation in the *Rhizobium* strains studied also varied as a result of differences in O<sub>2</sub> consumption and growth rate. In the first subculture, *R. eut* CE 3 had the highest growth

TABLE 2. Enzyme activities in *R. eti* CE 3 and *R. tropic* CFN 299 subcultured in MM in the presence or absence of biotin<sup>a</sup>

Enzyme	Subculture	Enzyme activity in the indicated culture <sup>b</sup>			
		CE 3	CE 3 with biotin	CFN 299	CFN 299 with biotin
ACC	First	20 ± 4	18 ± 3	9 ± 3	8 ± 2
	Second	15 ± 10	26 ± 2	3 ± 5	7 ± 0
	Third	14 ± 1	19 ± 2	10 ± 5	4 ± 2
CS	First	284 ± 34	271 ± 28	227 ± 21	233 ± 26
	Second	248 ± 85	237 ± 32	227 ± 30	223 ± 28
	Third	71 ± 6	235 ± 13	227 ± 18	222 ± 9
IDH	First	372 ± 10	355 ± 21	379 ± 17	345 ± 35
	Second	278 ± 10	320 ± 15	346 ± 58	345 ± 55
	Third	109 ± 7	329 ± 10	346 ± 13	348 ± 26
KT	First	11 ± 13	13 ± 15	NA	90 ± 100
	Second	53 ± 17	6 ± 8	8 ± 6	38 ± 33
	Third	218 ± 34	53 ± 18	NA	NA
MDH	First	10,995 ± 2,406	10,279 ± 1,762	9,356 ± 2,991	10,366 ± 3,001
	Second	9,030 ± 4,753	8,007 ± 464	11,884 ± 4,350	11,021 ± 3,736
	Third	3,500 ± 1,582	10,722 ± 3,207	9,826 ± 2,741	11,732 ± 3,666
NAD <sup>+</sup> -ME	First	39 ± 4	36 ± 4	124 ± 18	100 ± 21
	Second	35 ± 8	32 ± 5	112 ± 11	151 ± 6
	Third	32 ± 9	32 ± 5	114 ± 17	104 ± 6
NADP <sup>+</sup> -ME	First	22 ± 6	25 ± 2	26 ± 5	25 ± 8
	Second	29 ± 1	25 ± 0	35 ± 4	35 ± 11
	Third	22 ± 12	18 ± 6	43 ± 6	41 ± 2
ODH	First	19 ± 5	23 ± 1	40 ± 4	44 ± 2
	Second	9 ± 6	36 ± 1	56 ± 1	66 ± 2
	Third	NA	17 ± 2	61 ± 2	63 ± 4
PCK	First	291 ± 117	936 ± 204	165 ± 5	200 ± 10
	Second	84 ± 18	147 ± 63	227 ± 21	257 ± 5
	Third	NA	349 ± 8	288 ± 22	252 ± 10
PDH	First	14 ± 0	17 ± 2	56 ± 4	56 ± 4
	Second	NA	19 ± 1	31 ± 1	44 ± 1
	Third	NA	8 ± 0	31 ± 1	72 ± 5
PEPC	First	11 ± 1	7 ± 2	16 ± 3	14 ± 2
	Second	10 ± 0	5 ± 3	12 ± 1	12 ± 1
	Third	13 ± 7	8 ± 1	10 ± 3	12 ± 2
PYK	First	86 ± 12	88 ± 6	25 ± 6	26 ± 3
	Second	69 ± 10	94 ± 3	29 ± 2	27 ± 2
	Third	97 ± 1	107 ± 9	37 ± 10	36 ± 1
PYC	First	6 ± 5	53 ± 13	36 ± 1	33 ± 4
	Second	8 ± 3	43 ± 19	33 ± 2	41 ± 3
	Third	5 ± n	27 ± 4	20 ± 1	30 ± 6

<sup>a</sup> Cells were harvested from duplicate, independently inoculated and maintained cultures at 12 h. Duplicate aliquots of each cell lysate were assayed as described in Materials and Methods.

<sup>b</sup> Results are means ± standard deviations expressed as nanomoles of product formed per minute per milligram of protein. NA, no activity detected.

rate and depleted O<sub>2</sub> from the medium more rapidly than *R. meliloti* 1021, and it also accumulated more PHB. Conversely, *R. tropic* CFN 299 grew at the lowest rate, consumed one-third as much O<sub>2</sub>, and had a lower accumulation of PHB (data not shown).

When the standard inoculum used to initiate MM cultures of *R. eti* CE 3 (Fig. 2A) was diluted approximately 10-fold (to give a 1:10 dilution), initial culture cell density of 0.001 OD<sub>660</sub> units at O<sub>2</sub> saturation was reached after 12 h of incubation, and the strain grew optimally (to a cell density of approxi-

mately 0.10 OD<sub>660</sub> units in 11 h before transfer). PHB was not accumulated during this incubation time, even after eight subcultures, and PYC, PDH, and ODH activities were similar to those found when such conditions such as biotin were added to MM media. When the standard inoculum was diluted 100-fold (data not shown), Furthermore, when after eight subcultures initiated with low inoculum densities the cells were subcultured at a high inoculum density, the response was the same as that given above (Fig. 2B). Thus, growth was not limited by O<sub>2</sub> availability. It should be noted that strain CE 3 completes approxi-

TABLE 3. Enzyme activities in *R. eut* CE 3 during subculturing in MM in the presence or absence of biotin and thiamine<sup>a</sup>

Enzyme	Subculture	Enzyme activity in the indicated culture <sup>b</sup>					
		MM		MM plus biotin		MM plus thiamine	
		10 h	24 h	10 h	24 h	10 h	24 h
PYC	First	12	8	45	48	26	18
	Second	12	9	38	38	17	21
	Third	7	6	30	32	14	15
PDH	First	16	15	20	21	21	41
	Second	NA	NA	13	21	26	34
	Third	NA	NA	17	15	10	33
ODH	First	49	25	82	90	74	114
	Second	29	NA	127	127	117	177
	Third	NA	NA	84	97	95	136

<sup>a</sup> Activities are the averages for duplicate cultures of each treatment harvested at 10 and 24 h, respectively, and are expressed as nanomoles of product formed per minute per milligram of protein. NA, no activity detected.

mately the same number of generations in 24 h during the first MM subculture regardless of whether the culture is started at a high or low initial cell density.

#### DISCUSSION

When *R. eut* CE 3 is serially subcultured in MM, a fermentative response (see the introduction) is induced and is characterized by (i) a decrease in the activities of several TCA cycle or auxiliary enzymes, (ii) the synthesis and accumulation of PEPB, (iii) the synthesis of organic acids and amino acids, and (iv) a reduction in growth rate in each subculture.

The addition of specific supplements to MM or the growth of cultures under conditions in which O<sub>2</sub> was maintained at a relatively high level (by sparging) or by starting cultures at a low cell density) prevented the fermentative response and allowed an aerobic metabolism to be maintained.

The activities of some of the TCA cycle or auxiliary enzymes remained in the CE 3 subculture in MM medium (CS, IDH, and ODH) or disappeared (PVC, PDH, and ODH) by the third subculture, when culture growth was severely restricted (Fig. 2A and Table 2). These results indicate that some TCA cycle activity is impaired under these conditions. On the other hand, the activities of ACC, PCK, and the MEs (Table 2) did not decrease during subculturing.

In biotin-supplemented MM, strain CE 3 grew well and did not accumulate substantial amounts of PEPB during subculturing (Fig. 2B and Table 2). In contrast, the TCA cycle enzyme were maintained and ACC activity was reduced in comparison with the activities in cells grown in nonsupplemented medium. In biotin-supplemented cultures, PVC activity was substantially higher in all cultures; this enzyme requires biotin prosthetic group for its activity (20) and appears to be selectively affected by biotin, since the activity of ACC, another biotin-requiring enzyme, was not significantly altered by biotin supplementation (Table 2). While ACC is not normally essential for the growth of bacteria, speculate that it may import an anaplerotic energy in some species (8, 17). The significantly higher PVC activity presents in cells grown with biotin supplementation compared to the form of nonsupplemented MM in the TCA cycle and cause it to continue operation efficiently. Higher levels of oxaloacetate, the substrate for PCK, may be responsible for maintaining the activity of this enzyme in bi-

TABLE 4. Enzyme activities in *R. eut* CE 3 during subculturing in MM in the presence or absence of fumarate and malate<sup>a</sup>

Enzyme	Subculture	Enzyme activity in the indicated culture <sup>b</sup>					
		MM		MM plus fumarate		MM plus malate	
		10 h	24 h	10 h	24 h	10 h	24 h
FUM	First	933	71	998	1	1000	1
	Second	486	18	614	1	552	1
	Third	531	26	552	15	533	38
MDH	First	4,578	548	5,338	38	7,011	35
	Second	3,469	448	4,484	32	6,044	25
	Third	3,636	748	5,969	5	10,000	2
NAD <sup>+</sup> -ME	First	93.2	0.7	91	0.8	100	0.8
	Second	80.6	0.7	104	0.7	112.5	0.4
	Third	86	2.9	112.5	0.4	112.5	0.4
PDH	First	33.5	4.5	57.8	3.8	65.8	2.3
	Second	4.9	2.3	65.8	3.3	65.8	3.3
	Third	NA	NA	NA	NA	NA	NA
PVC	First	0	0.5	32	5	24.6	2.2
	Second	5.8	0.5	24.6	2.2	22	2.2
	Third	2.7	0.5	NA	NA	NA	NA

<sup>a</sup> For subculturing in the presence of fumarate and malate, 100-fold excesses of fumarate and malate were added to pH 8.0, filter sterilized, and added to the MM to a final concentration of 1 mM each.

<sup>b</sup> Activities are the averages for duplicate cultures of each treatment harvested at 12 h and are expressed as nanomoles of product formed per minute per milligram of protein. NA, no activity detected.

<sup>c</sup> Duplicate cultures were independently maintained in the presence of aliquots of 1 mM fumarate and 1 mM malate, as described in Materials and Methods.

oxalacetate-supplemented cultures, PCK, which catalyzes the first step of gluconeogenesis, is essential for the growth of *Ribulosa* species in succinate (32). Even though levels of MDH activity are present in *Ribulosa* species (11, 30) (Tables 2 and 4), some bacteria require PVC activity to provide oxaloacetate in substrate and energy for pyruvate phosphorylation, as shown. When MDH and PVC are both present, MDH is thought to function mainly in generating energy via the TCA cycle (8).

In MM supplemented with biotin, strain CE 3 maintained high levels of PDH and ODH activities during subculturing. Because PDH and ODH require thiamine PIP<sub>2</sub> for activity (32), they may be two of the sites at which thiamine, the precursor of this compound, exerts its effect on growth. In addition, PVC activity apparently is not dependent on biotin, but rather than in the presence of biotin. Conversely, PDH and ODH activities were also maintained with biotin supplementation, but the activities observed with this supplement were lower than those observed in the absence of thiamine. We consider these to be supplementary metabolic effects.

Supplementation of MM cultures of strain CE 3 with fumarate and malate substantially increased the activities of PDH and ODH, and also led to the slight increase in MDH activity observed. This shows the other sites in the TCA cycle and gluconeogenesis, as discussed above. In addition, the increased activity of NAD<sup>+</sup>-ME in supplemented cultures could supply more pyruvate, thus increasing activity when cultures were started at a low inoculum density (to prevent oxygen depletion), indicating that PVC, PDH, and ODH obtain energy exogenously supplied cofactors or cofactor precursors in order to maintain these high levels of activity (data not shown).

An important component of the fermentative response we

TABLE 2. Excretion of organic acids and amino acids by *R. etli* CE 3 grown in MMb with or without vitamin supplements<sup>a</sup>

Culture <sup>b</sup>	Time (h)	Fumarate	Malic	Pyruvate	Lactate	2-OHB	γ-OHB	Asp	Glu	Ala
MMb	10	5.6	10.5	ND	5.0	ND	0.5	ND	0.5	ND
	24	5.6	20.9	0.9	2.0	12.5	0.3	0.4	2.0	1.1
MMb plus biotin	10	3.3	6.8	0.6	5.0	9.8	0.4	ND	ND	ND
	24	ND	ND	0.8	0.3	ND	ND	ND	ND	ND
MMb plus thiamine	10	0.4	3.1	ND	1.4	9.2	0.6	ND	ND	ND
	24	ND	ND	0.2	ND	0.7	0.3	ND	ND	ND

<sup>a</sup> Cells from a second subculture and levels of excreted organic acids and amino acids were determined at the indicated times as described in Materials and Methods.<sup>b</sup> Experiments were run in triplicate at each time with the results of one experiment shown.<sup>c</sup> MMb medium with 10 mM fumarate and 21 mM NH<sub>4</sub>Cl; MMb plus biotin and MMb plus thiamine supported with fumarate (1 mg/ml) or thiamine (10 mg/ml), respectively.<sup>d</sup> 2-OHB, 2-hydrobutyrate; γ-OHB, γ-hydrobutyrate; Asp, aspartic acid; Glu, glutamic acid; Ala, alanine; ND, not detected.

observed was the synthesis and accumulation of PHB, which may be a carbon sink, carbon reservoir, and a source of metabolic power. The utilization of carbon and NADPH for PHB synthesis may prevent a drastic inhibition of several enzymes of the TCA cycle (11, 18, 29, 30). Strict aerobes such as *Rhizobium* species may be able to maintain a functional TCA cycle even under conditions of oxygen-limited conditions required for symbiotic N<sub>2</sub> fixation.

In contrast to *R. etli* CE 3, *R. tropae CFN 299* maintained high activities of the enzymes within or auxiliary to the TCA

cycle and exhibited only a slight decrease in growth during three-dimensional MMb.

In summary, *R. etli* must be provided with an adequate supply of biotin or thiamine or substrates for the TCA cycle, including O<sub>2</sub>. These treatments result in the maintenance of PVC, PHB, and ODH activities and thereby allow an adequate carbon sink to support the growth of *R. etli* under oxygen-limited culture growth. We believe that the starting signal for the fermentative response may be an increase in cell density and/or decrease in O<sub>2</sub> concentration (new results) (not shown) and data from other studies indicate that PVC and PDH during the fermentative response would limit the coordinated production of oxaloacetate and acetyl-CoA. The reduced production of these two TCA intermediates may account for the decrease in the TCA cycle activity observed and could also increase the amount of carbon available for PHB synthesis. We have yet to define the mechanism by which oxidizable substrates are diverted by strain CE 3 during fermentative growth. Biosynthesis of PHB did not result from the accumulation of high intracellular levels of these compounds (data not shown), it bears a resemblance to the specific transport mechanisms operating in fermentative bacteria. The changes in the TCA cycle activities shown here are the result of a change in the regulation of the carbon metabolic traffic. A recent report described the role of regulatory proteins in directing the central metabolic traffic of carbon dioxide in *Escherichia coli* and in this case involves the phosphorylation of a TCA cycle enzyme (40).

*R. etli* appear to be well adapted to survive under oxygen-limited conditions in the free state. The fermentative metabolism that occurs under these conditions may be related to that which may occur in symbiosis, in which PHB is synthesized in a microaerobic environment.

#### ACKNOWLEDGMENTS

This work was supported by DGAPA-PAPIIT, IN102093 and IN202093 from the Universidad Nacional Autónoma de México and by grant 0052-NW111 from Conacyt (Consejo Nacional de Ciencia y Tecnología).

We thank Alejandra Bravo and Jorge Calderón for their collaboration at an early stage of this work; Sandra Contreras, Luz Muñoz Martínez, and Dalia Terán for technical assistance in the chromatographic analyses; and Yolanda Muñoz for help in the preparation of the manuscript. We also acknowledge Samantha Zapata for her careful typing of the manuscript.

#### REFERENCES

- Anderson, N. J., and E. S. Hynes. 1991. Characteristics, metabolism, and biosynthesis of bacterial polyhydroxyalcanoates. Microbiol. Rev. 56:499-522.

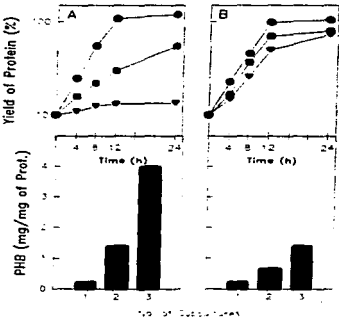


FIG. 4. Effect of dissolved O<sub>2</sub> on growth and PHB accumulation in *R. etli* CE 3. Cells were grown in MMb and O<sub>2</sub> concentrations were measured as described in Materials and Methods. At zero time, the O<sub>2</sub> concentration was 20% (A) or O<sub>2</sub>-saturated (B) maintained at 18 to 24% with sparging. Results are expressed as mean ± SD ( $n = 3$ ). The minimum detection value for yield of protein is from 100 to 110 µg of protein per ml. Prot., protein.



**3.2.- MANUSCRITO DEL ARTICULO "GENETIC AND  
PHYSIOLOGICAL CHARACTERIZATION OF A Rhizobium ssp.  
MUTANT STRAIN UNABLE TO SYNTHESIZE POLY- $\beta$ -  
HYDROXYBUTYRATE.**

## Genetic and Physiological Characterization of a *Rhizobium cili* Mutant Strain Unable To Synthesize Poly- $\beta$ -Hydroxybutyrate

MIGUEL A. CEVALLOS,\* SERGIO ENCARNACION, ALFONSO LEJA, YOLANDA MORA,  
AND JAIME MORA

Departamento de Biología Molecular, Centro de Investigación sobre Fisiología de Nitrogeno,  
Universidad Nacional Autónoma de México, Ciudad Universitaria, Morelos, México

Received in August 1995; Accepted 4 January 1996

*Rhizobium cili* accumulates poly- $\beta$ -hydroxybutyrate (PHB) in symbiosis and in free life. PHB is a reserve material that serves as a carbon and/or electron sink when optimal growth conditions are not met. It has been suggested that in symbiosis PHB can promote nitrogen fixation until the last stages of nodule development, but oxygen limitation may play a role in this process. In this paper we report the characterization of a *Rhizobium cili* strain we constructed as an *R. cili* PHB-negative mutant by the insertion of a 43-kDa insertion within the *rbcL* PHB synthesis structural gene (*phbC*). The identification and sequence of the *R. cili* *phbC* gene are also reported here. Physiological studies showed that the *PHB*<sup>-</sup>-negative mutant strain was unable to synthesize PHB and excreted PHB during aerobic growth. The *PHB*<sup>-</sup>-negative mutant strain had a higher  $\text{O}_2$ -uptake rate than the wild-type strain. The NADH/NADH<sub>2</sub> ratio in the mutant strain was lower than that in the parent strain. The oxidative capacity of the *PHB*<sup>-</sup>-negative mutant was reduced. Accordingly, the ability to grow in minimal medium supplemented with glucose or pyruvate was severely diminished in the mutant strain. We propose that in free life PHB synthesis is a regulatory factor in symbiosis, linking the tricarboxylic acid cycle to processes under conditions in which oxygen is a limiting factor. In symbiosis with *Phaseolus vulgaris*, the *PHB*<sup>-</sup>-negative mutant induced nodules that maintained the capacity to fix nitrogen.

Poly- $\beta$ -hydroxybutyrate (PHB) and other polyhydroxyalcanoates (PHAs) are accumulated by a wide range of bacteria as carbon and energy-power reserves (1). Several species belonging to the genera *Rhizobium*, *Baumannellaceum*, and *Azorhizobium* accumulate PHB in free life (40, 43) and in symbiosis (16, 23, 29, 48). In contrast, in other species, such as *Rhizobium leguminosarum*, PHB is synthesized only in the free-living state or in the first steps of nodule development but never in nitrogen-fixing bacteroids (20). The physiological role of these compounds in symbiosis is not completely understood. It is known that the bacteroid stage of *Phaseolus vulgaris* may accumulate PHB for nitrogen storage, presumably, although both functions require large amounts of reductive power (48). Bergersen et al. (1) proposed that PHB reserves in bacteroids can support some nitrogen fixation during the early stages of nodule development. Some bacteria can also use PHB as a source of energy and reductive power for nitrogen fixation when incubated ex planta at a low oxygen concentration (27). In *Rhizobium cili*, PHB accumulates during the stationary phase of the free-living bacteria but also during exponential growth. Moreover, PHB is being synthesized and degraded continuously even under conditions in which none of the polymer accumulates (10). This suggests the existence of a very active equilibrium between the two extremes of the accumulation/degradation of PHB, thus allowing rapid modulation of the levels of reductive power and of oxidizable substrates. This situation is especially favorable in organisms with low-efficiency tricarboxylic acid (TCA) cycles, as described for *R. cili* (10). Although the accumulation of PHB

consumes energy, carbon, and reductive power that could be utilized in the TCA cycle, there is a mechanism that prevent the inhibition of the TCA cycle. This mechanism is how strict aerobes such as *R. cili* can maintain a functional TCA cycle with the low oxygen concentrations required for nitrogen fixation (27).

To elaborate the role of PHB in the free-living state and in symbiosis, we isolated, sequenced, and mutated the PHB synthase gene (*phbC*) of *R. cili*. Here we report the physiological behavior in free life and in symbiosis of an *R. cili* strain unable to synthesize PHB.

### MATERIALS AND METHODS

**Bacterial strains and growth conditions.** The bacterial strains used are listed in Table 1. *Rhizobium cili* was grown in minimal medium (MM) containing 100 mg/liter of PHB (kindly provided by J. M. Mora) or in complete *Rhizobius* growth overnight shake culture with water at room temperature and 100 rpm. *R. cili* was grown in MM containing 100 mg/liter of PHB and a density of 10 ml at 30 rpm when added to minimal medium (MM) (1). For successive subculturing in MM, 25 mM rifampicin was added. Antibiotics were added daily to the culture to prevent the growth of contaminating bacteria. The cultures were grown for the same period, and the solid culturing procedure is repeated several times. The solid culturing procedure was performed at different concentrations of 10 mM rifampicin as indicated elsewhere. When no other culture media were used, liquid minimal medium or minimal MM, the antibiotic concentration was 100 mg/liter. The optical density was determined by determining the protein concentration in the culture by the method of Bradford (21). *R. cili* was grown in PYE medium (10) or in the defined minimal medium of Peoples and Synder (31). Antibiotics were used at the following concentrations: kanamycin, 50 mg/liter; streptomycin, 100 mg/liter; ampicillin, 100 mg/liter; streptomycin, 200 mg/liter; and spectinomycin, 100 mg/liter. The *R. cili* strain unable to synthesize PHB (constructed in pl. AM1) was transformed by *Comptech* AM1 (which lacks PHB synthesis). In bacterial matings with the helper plasmid pRK2013 (16, 37), the donor strain was *R. cili* (kindly provided by J. M. Mora) and the recipient was *R. cili* (kindly provided by J. M. Mora). Detection of PHB-producing colonies on plates. Selection of colonies of *R. cili* (kindly provided by J. M. Mora) was carried out with MM (10) supplemented with 1% glucose and 100 mg/liter rifampicin and 100 mg/liter kanamycin.

\* Corresponding author. Mailing address: Departamento de Biología Molecular, Centro de Investigación sobre Fisiología de Nitrogeno, Universidad Nacional Autónoma de México, Apartado Postal 346, A. Corregidora, 72190, Méjico, D. F. Phone: (525) 562-44. Fax: (525) 57-51-56.

\*\* Electronic mail address: mmore@nsm.unam.mx.

TABLE 1. Structural version and elements used in this work

Strain or plasmid	Description/characteristics	Reference or source
<i>S. enterica</i>		
ST1	Wild type	47
PS1	Deoxyribonuclease mutant of ST1	37
ATL-1	DTT derivative of PS100-4	This work
<i>E. coli</i>		
BL21	Host strain for plasmids	4
BL21DE3		17
R. coli		
W3110	Wild type, host for T7	34
CE3	plasmid-free derivative of C7M42	30
SAM101	plasmid-free derivative of CE3	This work
SAM102	plasmid-free derivative of CE3	This work
C61	plasmid-free derivative of CE3	This work
<b>Plasmids</b>		
pskR100-4 (CE1)	Streptavidin (St)-1 copy of replication, C611 replicon, <i>arg</i> marker, inducible CEC2 switch, Tc <sup>r</sup>	Seragiotto, La Jolla, Calif.
PLABF1	Streptavidin (St)-1 copy of replication vector, inducible CEC2 switch, Tc <sup>r</sup>	14
PW233	Inducible CEC1 replicon, C61 Tc <sup>r</sup> marker	36
PLB411	Streptavidin (St)-1 copy of replication vector	37
PHP411-Kan	Inducer of St-RNA expression	13
PHP411	Inducer of St-RNA expression	33

Transposons which regain their P450-metabolizing ability have spacer values of 7 to 2 days. For the immortalized melanoma cell line, the 5.8-kb right fragment of the E125 locus was subcloned into pRSB2A to give plasmid pRSB2A-E125. This plasmid contains three spacer sizes, one within the right gene, a 1.5-kb spacer between the right gene and the left gene, and a 1.5-kb spacer between the left gene and the vector. The plasmid pRSB2A-E125 was transfected directly into H3122 melanoma cells and ligated with the 1.5-kb linearized pRSB2A of pRSB2A-E125. Transfectants were selected by G418 resistance. Plasmids were isolated from individual clones and sequenced by automated sequencing using the 3'-terminator method. The 15-kb restriction endonuclease site pUC19 polyA was selected by restriction analysis. The event with the longest spacer was isolated and named pRSB2A-E125-1. The 15-kb restriction endonuclease site pUC19 polyA was selected by restriction analysis. The event with the shortest spacer was isolated and named pRSB2A-E125-2. Both plasmids were selected as described by Sambrook et al. (1989). The resulting mutants were verified by Southern blot analysis. Calf thymus DNA and S1 nuclease were used in the same procedure but with an 18-kb RFLP incorporated. The other clones had the same phenotype, but a more detailed analysis was made only with clones 1 and 2.

Determination of organic acids and amino acids. Cell and medium samples were analyzed by the methods described previously (14). The procedure for determination of the concentration of the organic acids and amino acids was as previously described (14). Organic acids present in the medium were determined by the method of Hanes and Moore (15) after separation by column chromatography as described previously (14). Amino acids were determined chromatographically by using the ninhydrin derivative method of Spackman, Stein, and Moore (16). Amino acid sequences were determined by the method of Edman (17). Amino acid sequences were determined by the method of Hanes and Moore (18). Amino acids were determined by the method of Hanes and Moore (14).

**3'-P-R sequencing.** DNA restriction enzyme digests, synthesis of DNA fragments by terminal electron transfer, and synthesis of cDNA were performed as described previously (Sambrook et al., 1989).

**Biosystems**, Foster City, Calif.). Analysis of nucleotide and amino acid sequences. Nucleic acid sequence data and deduced amino acid sequences were aligned with the Gene Works package (release 2.3.1; Intelligenetics, Inc.). Similarity searches with the GenBank and EMBL databases were made by using the FASTA and TFASTA programs, which are part of the Wisconsin Sequence Analysis Software Package (Genetics Computer Corporation).

Determination of metabolites. Samples from cultures were processed as reported previously (24), and nucleotide separations were performed by anion exchange chromatography as described previously (24).

[Change country](#) | [Log in](#) | [Create account](#)

Determination of PMS. PMS was assayed by the spectrophotometric method of Luis and Sharpless (1948). The single, symmetrical absorption peak for chitosan and appearing at 235 nm indicated that other reactive products were not interfering with the assay.

**Determination of cytosolic Chitosan.** Chitosan was extracted from cells according to the procedure described by Eisinger et al. (1971) and was measured with a commercial kit (Chitosan, BioMérieux, Lyon).

of alkyl-nitro-esters. The  $\text{NO}_2$  released after the addition of 0.1 M LiCl to 0.1 M  $\text{NaNO}_2$  solution was measured according to the method of Karr and Lutz.<sup>14</sup> The  $\text{NO}_2$  released after the addition of 0.1 M LiCl to 0.1 M  $\text{NaNO}_2$  solution was measured according to the method of Karr and Lutz.<sup>14</sup> Cytolytic activity was measured by  $\text{NO}_2$  release from a sample of rat peritoneal macrophages in dishes containing 10% FBS. Macrophage viability was expressed as percent cell viability per milligram of protein. Comparisons were made between the  $\text{NO}_2$  evolution by the wild-type strain and the mutant strains.

The plants were taken to determine respiration, activity and dry weight. Nodules were also taken for protein and analysis. Several plants inoculated with the wild-type strain or with the mutant strain were grown under seed-rearing, and their yield was calculated by weighing the seeds produced by each plant. Times of plant flowering and pod filling were recorded in each experiment. Nitrogenase activity in nodules was determined by the acetylene reduction method.

The estimate accumulated at different times was measured on a Varian 3300 gas chromatograph (20). The total nitrogen contents of dry samples of seeds and plants were determined with a nitrogen analyzer (model ANTEK 7000; Antek Instruments, Inc., Houston, Tex.) equipped with a model 73° temperature-programmable furnace controlled by a 2100 microprocessor and were quantified

**Determination of bacterial nitrogen.** Bacterial samples were fixed in glutaraldehyde (2.5%) in 10 mM phosphate buffer ( $\text{pH } 7.4$ ) 1 mM EDTA for 1 h and methionine was added (0.1% or 0.05 mM) to the phosphate buffer. After 1 h for 1 h at room temperature, the samples were washed three times with phosphate buffer and then freeze-dried.

postfixed in osmium tetroxide (1% in 1 M Tris phosphate buffer pH 7.5) for 1 h. Fixed samples were rapidly washed with distilled water, dehydrated through graded ethanol solutions, and embedded in Epon. 3 mm thick sections were obtained with a Leitz Ultracut S ultramicrotome (type 2025011, Leitz, Wetzlar, Germany). Sections were stained with uranyl acetate and lead citrate (35). A Zeiss EM-980 transmission electron

FIG. 1. Amino acid sequence of the *H. capsulatum* 19-kDa antigenic protein of 7 kDa. The antigenic domains are underlined. The predicted domains are also underlined. The predicted domains are also underlined. The predicted domains are also underlined.

microscope was used to examine the ultrathin sections. Root and module samples were fixed in glutaraldehyde (2.5%) in 0.1M phosphate buffer, pH 7.2 for 24 hr under vacuum and for 2 hr at atmospheric pressure, washed three times in phosphate buffer (0.1M, pH 7.2), and postfixed for 1 hr in osmium tetroxide (2%) in 0.1M phosphate buffer, pH 7.2. Fixed samples were rapidly washed with distilled water, dehydrated through graded ethanol solutions, and embedded in Epon. Ultrathin sections of the embedded samples were obtained as described

**Identification of the PHB synthase structural gene.** The PHB synthase structural gene of *B. subtilis* GCE3 was identified by

heterologous complementation of the *A. eumyloplus* PHB-4 strain, which lacked PHA synthase activity. After the conjugative transfer of an *R. etli* cosmid library to *A. eumyloplus* PHB-4, two opaque colonies were formed after 7 days of incubation on

plates with M9 containing 1% fructose and 0.02%  $\text{NH}_4^+$ . The colonies were then screened for kanamycin resistance (31). The opacity of the colonies was an indication of PHB<sub>c</sub> accumulation. Restriction analysis of the two cosmid clones which complemented *E. coli* PHB-4 showed that both cosmids contained an *EEI* fragment of 9.6 kb (EEI fragment) in addition to other fragments which were not identified. Subcloning of the two EEI fragments in vector pJ145 resulted in complementation of the *E. coli* PHB-4 to the same extent as the complementation of the full PHB<sub>c</sub> construct.

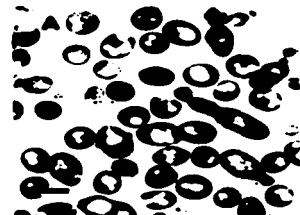


FIG. 2. Electron micrograph sections of *R. eti* CE3 (A) and SAM100 (B) cells. Bacteria were grown for 24 h in these substrates in MM with sucinate and potassium nitrate as carbon and nitrogen sources, respectively; washed with distilled water; processed, fixed, and stained as indicated in Materials and Methods. Bars, 0.5  $\mu$ m.



The EEE fragment and its five Sff subfragments were cloned in the Bluescript II SK(-) vector and partially sequenced with reverse and universal primers. Two Sff fragments and one *EccB1*-Sff fragment, which were contiguous according to the restriction map, contained sequences with high degrees of homology to those of other PHB synthases. The size of the PHB synthase gene was estimated by sequencing analysis showed an open reading frame of 1,866 bp, and a molecular mass of 70 kDa was predicted for the translational product (Fig. 1). The primary structure deduced from *R. eti* PHB synthase had high degree of amino acid identity with other PHB synthases (data not shown).

**Glycogen and PHB accumulation.** *R. eti* CE3 accumulates during growth in MM with each substrate the strain accumulates high levels of PHB (0.23–0.31 mg dry weight per mg of protein). Also, electron microscopy studies of cells grown in MM-succinate potassium nitrate (10 mM), the best medium to promote PHB accumulation (data not shown), confirmed the presence of large, large electron-dense granules, which are typical of PHB. As expected, PHB was undetectable in the mutant strain. However, large amounts of an electron-transparent material, which was identified as glycogen granules (as described by Tiedje and Schmidt [44]), were observed in the mutant cells (Fig. 2). The presence and accumulation of glycogen in SAM100 was confirmed by determining the glycogen content of the subcultures in MM-succinate-ammonium. As shown in Table 2, glycogen was detected in both strains, but the amount in SAM100 was always larger (3.1–10-fold).

**Growth characteristics and oxidation capabilities of SAM100.** After 24 h of culture of *R. eti* CE3 and SAM100 in MM medium, the growth rates of the two strains during the subculturing phase were almost the same. In contrast, during subculturing in MM with succinate as a carbon source and ammonium chloride as a nitrogen source, both strains decreased their growth rate (Table 2). Interestingly, no appreciable growth occurred in the following subculture (10). Some important differences emerged when the strains were grown in MM supplemented with different carbon sources (Fig. 3). In specifically, SAM100 grew poorly with pyruvate or glucose as the carbon source. The protein yields after 24 h of

subculture in MM, compared with that of the wild type, were 42 and 26%, when glucose or pyruvate, respectively, was used as the carbon source.

The capacity to oxidize [ $14\text{C}$ ]succinate or [ $14\text{C}$ ]glucose was measured as evolution of  $\text{CO}_2$  in the mid-log phase of growth (5 h) for *R. eti* CE3 and SAM100. The PHB-negative mutant was found to oxidize 70% of the  $[14\text{C}]$  glucose used by the wild type when glucose and succinate, respectively, were used as carbon sources in MM.

**Carbon dioxide assimilation.** *R. eti* CE3 and SAM100 excreted several organic acids (Table 3) and amino acids as fermentative products (see below). However, the amounts and the patterns of excretion of each product were different for the two strains. The two strains excreted 2-oxoglutarate, fumarate, malate, pyruvate, lactate, and  $\alpha$ -hydroxybutyrate, but the amount of each organic acid excreted by SAM100 was, in

TABLE 2. Glycogen contents of *R. eti* CE3 and SAM100 during successive subcultures in MM<sup>a</sup>

Time (h)	Subculture	Strain	Glycogen (mg/mg of protein)
0	First	CE3	0.017 $\pm$ 0.008
		SAM100	0.016 $\pm$ 0.006
10	First	CE3	0.225 $\pm$ 0.051
		SAM100	2.533 $\pm$ 0.325
24	First	CE3	0.028 $\pm$ 0.013
		SAM100	0.729 $\pm$ 0.077
10	Second	CE3	0.040 $\pm$ 0.003
		SAM100	2.033 $\pm$ 0.166
24	Second	CE3	0.139 $\pm$ 0.022
		SAM100	1.771 $\pm$ 0.171

<sup>a</sup> Cells were subcultured in MM-succinate-ammonium, and the indicated time was taken for glycogen determination as described in Materials and Methods.

<sup>b</sup> Expressed as mean  $\pm$  standard deviation.

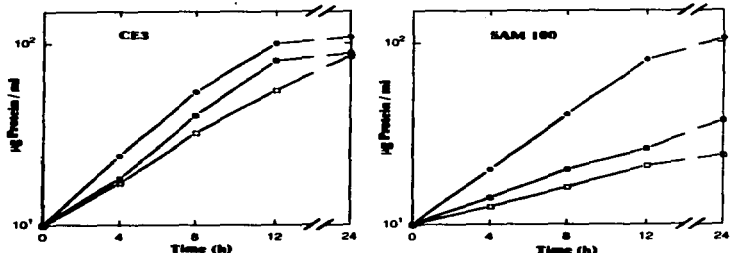


FIG. 3. Growth of the *R. eutl* wild-type strain (CE3) and PDH-negative mutant (SAM100) with different carbon sources. CE3 and SAM100 bacteria from the first subculture were grown in MM-succinate ammonium (●), MM-glucose ammonium (▲), or MM-lactate ammonium (○) as described in Materials and Methods.

general, several-fold higher than that exerted by the wild-type strain. One remarkable difference between the strains was that 2-hydroxybutyrate was exerted only by SAM100. The intracellular pools of these metabolites were also determined. The amounts of these metabolites were, in general, several-fold higher in the mutant than in the wild-type strain, but this was not significant compared with the amount of some metabolites exerted to the medium. For example, malate was always detected intracellularly in SAM100 but was detected only in the stationary phase of the second subculture for the wild-type strain. The amount of malate found in the wild-type strain was 11.3 nmol/mg of protein, which is 8% of the concentration found inside the cells of the mutant strain. However, the amount of malate exerted by SAM100 under this condition was 575-fold higher than that found inside the cells.

Alanine and glutamic acid were detected as exerted metab-

olites in the second subculture in MM only in the mutant strain (Fig. 2 and Table 2), but not in MM<sup>+</sup>, respectively.

Another important difference between the mutant strain and the wild-type strain was in the quantities of reduced nucleotides produced. The NAD<sup>+</sup>/NADH ratio in SAM100 was exerted (2.2 to 1.0 molar) under all conditions tested in the wild-type strain (Table 3).

PDH activity. The PDH activities of the PDH-negative mutant and the wild-type strain grown in MM with succinate, glucose, or pyruvate as a carbon source are presented in Fig. 4. The activities were lower in the PDH-negative mutant grown in MM supplemented with glucose or pyruvate were lower than the activities detected in the wild-type strain.

Physiological properties of the PDH-negative mutant. Results of time course studies of plant growth, nodule development, and nitrogen fixation of bean plants inoculated with CE3 or

TABLE 3. Excretion of organic acids by *R. eutl* CE3 and SAM100 grown in MM<sup>+</sup>

Time (h)	Subculture	Strain	Amt (nmol/mg of protein)							
			Fumarate	Malate	Pyruvate	Lactate	2-Hydroxyglutarate	2-Hydroxybutyrate	B-Hydroxybutyrate	Acetate
10	First	CE3	0.7	2.7	ND <sup>a</sup>	0.7	5.6	0.4	ND	ND
		SAM100	5.2	4.0	ND	3.6	12.3	1.9	ND	ND
24	First	CE3	ND	0.1	0.5	ND	0.8	1.3	ND	ND
		SAM100	ND	0.3	7.6	ND	2.1	0.5	0.5	0.5
10	Second	CE3	5.6	10.5	ND	5.0	52.8	0.3	ND	ND
		SAM100	14.3	30.8	6.0	44.8	96.1	1.2	0.5	1.6
24	Second	CE3	9.3	20.9	0.9	1.0	12.5	0.3	ND	ND
		SAM100	25.8	74.7	6.0	3.9	56.8	1.1	1.3	0.8

<sup>a</sup> Cells were subcultured in MM-succinate ammonium and at the indicated times, levels of organic acids were determined as described in Materials and Methods. The results shown are from a representative experiment of five. ND, not detected.

TABLE 4. NAD<sup>+</sup> and NADH contents of *R. etli* CE3 and SAM100 grown in successive subcultures in MM with different carbon sources\*

Time (h)	Subculture	Strain	MM-glucose			MM-sucrose		
			Amr (nmol/mg of protein) of:	NAD/NADH	NAD <sup>+</sup> /NADH ratio	Amr (nmol/mg of protein) of:	NAD/NADH	NAD <sup>+</sup> /NADH ratio
10	First	CE3	0.276	0.337	0.82	0.400	0.403	1.21
		SAM100	0.369	1.057	0.35	0.206	0.093	0.30
24	First	CE3	0.509	0.087	5.85	0.099	0.366	2.30
		SAM100	0.385	1.170	0.31	0.171	0.065	0.18
10	Second	CE3	ND <sup>b</sup>	0.231	4.31	0.337	0.496	0.68
		SAM100	1.055	0.245	4.31	0.361	2.700	0.16

\* Cells were subcultured in MM supplemented with succinate/ammonium or glucose/ammonium (10 mM each), and at the indicated times, levels of NAD<sup>+</sup> and NADH were determined as described in Materials and Methods. The results shown are from a representative experiment of two.

ND, not detected.

SAM100 are shown in Fig. 5. Nodules elicited by SAM100 emerged at the same time and in the same amount as those induced by CE3. Electron microscopy of the nodules induced by SAM100 by electron microscopy revealed that bacteria of SAM100 lacked the PHB granules characteristic of *R. etli* nitrogen-fixing cells (Fig. 6). The nitrogenase specific activity of plants inoculated with the mutant strain was 32% postinoculation and ceased earlier relative to the activity detected in plants inoculated with the mutant strain. Accordingly, the total nitrogen content in plants inoculated with the wild-type strain was higher than that of 20% in plants inoculated with the mutant strain.

In greenhouse experiments, plants inoculated with the mutant strain SAM100 and SAM101 had a tendency to produce more seeds per plant. Table 5 shows the results of three experiments in which standard deviations were calculated. In

addition, in two more experiments done with the SAM100 strain, the total yields of seeds were 21 and 37% more than those obtained with the wild-type strain. In both of these experiments the nitrogen contents per milligram (dry weight) of seeds were 48 and 20%, respectively, more than that found in seeds of plants inoculated with CE3. Since these experiments were done in batch, their results are not included in Table 5.

## DISCUSSION

The PHB synthase gene of *R. etli* (*phbC*) was identified by phenotypic complementation of a mutant strain of *A. eutrophus* impaired in the synthesis of PHB. Cloning of *R. etli* *phbC* into *A. eutrophus* resulted in a PHB-negative bacterium, whose deduced protein sequence had a high degree of identity with those of other PHB synthases. Moreover, a disruption of this gene suppresses PHB accumulation under all conditions tested.

The PHB-biosynthetic pathway described for *A. eutrophus* is probably present in most PHB-accumulating bacteria. The pathway begins with the condensation of two acetyl coenzyme A (acetyl-CoA) molecules catalyzed by a membrane-bound *B*-ketothiolase. Acetyl-CoA-dependent acetoin-CoA reductase catalyzes the conversion of acetoin-CoA to 2-hydroxybutyryl-CoA. Finally, the resulting 2-hydroxybutyryl-CoA is polymerized by PHB synthase (42).

Mutants unable to synthesize PHB have been isolated from several bacterial species (i.e., *A. eutrophus*, *Rhodopseudomonas*, *Rhodobacter*, *sphaeroides*, *Pseudomonas*, *Acinetobacter*, *Proteobacter*, and *R. etli*) (21, 22, 32, 37). In all these cases, it has been shown that the PHB-negative genes. Until now, the best-characterized PHB-negative mutants have been from *A. eutrophus*.

It has been reported that *R. etli* and other species of *Rhizobium* have fermentative metabolism when serially subcultured in MM. This fermentative metabolism is characterized by (i) a reduction in growth rate; (ii) the excretion of organic acids and amino acids; (iii) a diminution in the activities of purine nucleotides, PHB-2-oxoglutarate dehydrogenase, and phosphoenolpyruvate carboxykinase; and (iv) the accumulation of PHB (10).

The PHB-negative (*phbC*) mutant strain described in this work did not accumulate PHB under any condition tested; however, during growth in MM it excreted large amounts of

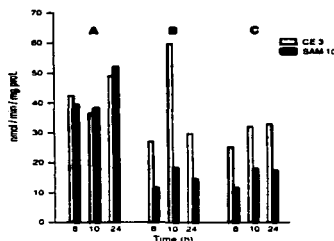


FIG. 4. PHB-specific activities of *R. etli* CE3 and SAM100 grown in MM with different carbon sources. Cells were harvested 3 h from duplicate, independently maintained cultures. The data are the mean of three independent experiments. NADH was added to the culture medium at a concentration of 1 mM final concentration. NADH was added to the culture medium at a concentration of 1 mM final concentration. NADH was added to the culture medium at a concentration of 1 mM final concentration.

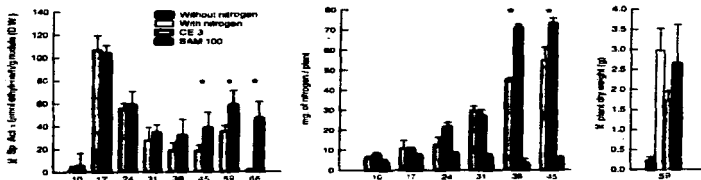


FIG. 4. Specific activities of nitrogen-fixing bacterial nitrogenases per plant, and plants dry weight/green biomass, measured with *R. eut* CE 3 and NASTRII species. Activities (μg Acet/min/mg dry weight) are means ± standard deviations expressed as micromoles of ethylene produced per hour per milligram dry weight (D.W.). Total nitrogen content (mg nitrogen/plant) are means ± standard deviations expressed as milligrams of nitrogen per plant. Asterisks indicate that the means at the same time are different ( $P < 0.05$ ). The experiments were performed at least five times; the results shown are one representative experiment of the

organic acids, and during serial transfer in NIM its growth was affected more than that of the wild-type strain.

The *R. eut* BAM 100 showed different metabolic properties with the *R. eut* PHB-negative mutant, such as excretion of organic acids as pyruvate and D-hydroxybutyrate. In both species the excretion of fermentative products was not related to the presence of the PHB-negative acids, since only minor amounts were detected (1, 45, 46).

The remarkable amount of metabolites excreted by the mutant strain is a clear evidence that this strain has less able than the wild-type strain of effecting metabolism of carbon. This effect indicates that the PHB-negative mutant developed a stronger fermentative metabolism in NIM subcultures. A lower NAD<sup>+</sup>/NADH ratio was observed in the mutant strain, and this increase in reduced cofactors has to be related to the

absence of a sink (PHB) for reductive power. By the same token, the reduction in acetate and glucose oxidation in the mutant strain could be the result of the increase in the amount of reduced cofactors. It is well known that these cofactors inhibit some of the enzymes of the TCA cycle. For instance, NADH inhibits PDH and 2-oxoglutarate dehydrogenase activity (1, 26, 31), and a small amount of PDH-like reduced oxidase was found in the PHB-negative strain when grown on pyruvate compared with succinate as the carbon source. Taken together, all of these phenomena may explain why the mutant strain grows very poorly in pyruvate or glucose compared with succinate.

Furthermore, we have obtained by transposon mutagenesis of the PHB-negative mutant a strain that grows optimally in pyruvate or glucose and that expresses a PDH activity like that

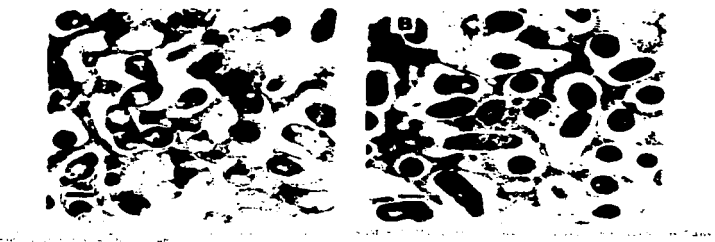


Fig. 5. Electron micrographs of *R. eut* cells at day 10 (a), day 17 (b), and day 38 (c).

**TABLE 5.** Yields and nitrogen contents of seeds from plants inoculated with *R. etli* CED or SAM101

Exp.	Strain	Weight of seeds per plant <sup>a</sup>	No. of samples	Nitrogen content (mg per mg dry wt of seeds)
1	CED	1.523 ± 0.39	18	0.038
	SAM101	1.643 ± 0.74	16	0.041
2	CED	1.629 ± 0.83	48	0.048
	SAM101	1.702 ± 0.70	33	0.055
3	CED	1.371 ± 0.58	22	ND <sup>b</sup>
	SAM101	1.509 ± 0.46	34	ND

<sup>a</sup> Expressed as mean ± standard deviation.

<sup>b</sup> ND, not determined.

of the wild-type strain (unpublished observations). Glucose produces two molecules of pyruvate by the Entner-Doudoroff pathway, so when glucose or pyruvate is used as a carbon source, the latter substrate is provided more efficiently to PDH than glucose. This may explain why the CED strain shows an increase in reduced cofactors in the SAM101 mutant strain (9). This proposition is partially supported by the observation that pyruvate is excreted poorly compared with other organic acids. Surprisingly, the CED strain accumulates more pyruvate and more glycogen than the wild-type strain during subcultivation in MM. It has been reported that in some bacteria, glycogen, like PHB (15), is continuously being turned over (10), and this may be another mechanism by which the CED strain can be involved in the synthesis of another polymer such as glycogen. Therefore, the synthesis and degradation of the so-called reserve polymers have to be integrated into the basic cell metabolism.

An alternative proposal is that PHB may be considered a necessary fermentative product that consumes reductive power, allowing the TCA cycle to operate under microaerobic conditions (10).

In synthesis, the PHB-negative mutant strain induced, on average, a similar number of nodules as the wild-type strain. However, the nitrogenase specific activities of these nodules were higher than the activities found in wild-type nodules after 24 h postinoculation. Thus, the total nitrogen contents of plants inoculated with SAM101 were higher than those of plants inoculated with the wild-type strain after 38 days postinoculation. Microscopic examination of nodules induced by the mutant strain showed bacteroids which did not contain the electron-dense granules typical of wild-type nodules. These results showed that PHB does not prolong or sustain nitrogen fixation as suggested by Bergersen et al. (11). In fact, wild-type nodule sections earlier than the nodules induced by the mutant strain (data not shown) showed electron-dense granules found in seeds of plants inoculated with the PHB-negative mutant. A definitive result will require field experiments. As mentioned above, the PHB-negative mutant accumulated several times more PHB than the wild-type strain when subcultured in MM with succinate as a carbon source (11). Thus, the observed increase in nitrogen fixation in nodules induced by the mutant strain may be due to the chelation of this semiautomated reductive power to nitrogenase, thus demonstrating the competition between PHB synthesis and nitrogen fixation measured as photovolatilization of  $H_2$  for reducing equivalents has been demonstrated previously. An *in vitro* experiment similar to that synthesis PHB evokes more  $H_2$  from the wild-type strain when grown in acetate or pyruvate as a carbon source, indicating that the reducing equivalents have been drained to nitrogenase (22).

Recently, a PHB-negative mutant of *R. meliloti* was described (32). Its physiological characterization was not reported, but this mutant is not affected in nitrogen fixation. On the other hand, the *R. etli* CED strain and the *R. meliloti* do not accumulate PHB (33). Probably, this is one reason that the association between *R. meliloti* and alfalfa is one of the most symbiotically effective associations. Alfalfa nodules do not derive up to 90% of their nitrogen from air (19). To test this proposal, we are conducting experiments to force bacteroids of *R. meliloti* to accumulate PHB and then to determine its effect on their capacity to fix nitrogen.

#### ACKNOWLEDGMENTS

This work was supported by a grant from Comisión Nacional de Ciencia y Tecnología (CONACYT no. NNU114094) and participation in DFG-CONACYT no. P38022000.

We thank Sandra Contreras for technical support in performing high-pressure liquid chromatography, and Dr. Luis Valdez for assistance in the construction of the CED mutant strain. Patricia Bustos for technical assistance with the automatic sequencer, and Armando Rivera for technical support in the greenhouse experiments. We also thank Dr. J. M. Gómez for his help in the analysis of PHB-negative strain. We also thank Michael Dunn for revising the manuscript and Gabriela Guerrero for her assistance in the Computer Unit.

#### REFERENCES

- Bergersen, E. J., M. B. Peleg, and G. E. Turner. 1981. A role for polyhydroxybutyrate in *Bradyrhizobium elkanii* nodules. *Proc. Roy. Soc. London B* 208:549-561.
- Bergersen, E. J., and G. E. Turner. 1982. Bacteroids from *sinorhizobium* root nodules accumulate polyhydroxybutyrate during supply of maltose and sucinate in relation to nitrogen fixation in *N<sub>2</sub>-chamber* reactions. *J. Gen. Microbiol.* 128:101-106.
- Bergersen, E. J., and R. L. Lester. 1984. *Rhizobium leguminosarum*. *J. Gen. Microbiol.* 130:186-195.
- Bergersen, E. J., and J. B. Beale. 1986. A complementation analysis of the restriction and modification of DNA in *Rhizobium elkanii*. *J. Mol. Biol.* 194:101-111.
- Brown, A., and J. Moro. 1986. Ammonium assimilation in *Rhizobium phaseoli* by the glutamine synthetase-glutamate synthase pathway. *J. Bacteriol.* 166:200-204.
- Caldwell, J., and J. Moro. 1989. Glutamine synthetase as sole nitrogen and carbon source. *J. Gen. Microbiol.* 135:209-212.
- Cook, M., and G. S. Shielley. 1975. Abiotic concentrations in *Rhizobium* culture. *J. Bacteriol.* 123:251-255.
- Douglas, J. F., and J. B. Beale. 1986. The nucleotide sequence of the DNA cloning system of gram-negative bacteria: construction of a set of *Rhizobium* plasmids. *Proc. Natl. Acad. Sci. U.S.A.* 83:779-783.
- Douglas, J. F., and J. B. Beale. 1987. The nucleotide sequence of the chromosome of *Rhizobium meliloti* is required for symbiotic nitrogen fixation. *Mol. Microbiol.* 1:789-798.
- Ernest, M., S. M. Dunn, K. Williams, and J. Moro. 1985. Fermentative and aerobic metabolism in *Rhizobium elkanii*. *J. Bacteriol.* 167:3000-3005.
- Fritz, J. S., and J. B. Beale. 1987. Isolation, characterization, and sequence analysis of the *Rhizobium meliloti* *elt* gene encoding the C4-oxime lyase enzyme. *J. Bacteriol.* 169:1747-1751.
- Fritz, J. S., and J. B. Beale. 1988. Glycogen content and nitrogenase activity in *Rhizobium elkanii*. *Arch. Microbiol.* 148:121-125.
- Fritz, J. S., and J. B. Beale. 1989. Insertional mutagenesis of soil and water bacteria: a family of DNA fragments derived from *in vitro* insertion mutants. *J. Bacteriol.* 171:103-108.
- Fritz, J. S., M. S. H. Long, S. E. Brown, W. J. Blattner, and F. M. Smithick. 1984. Insertional mutagenesis of *Rhizobium* and its use in the genetic analysis of *Rhizobium* mutants. *Chrom. Inf. Syst.* 18:289-294.
- Gardner, G., E. Berndsen, G. Homann, and S. M. Dunn. 1982. Cyclic AMP cycling in *Rhizobium elkanii*. *J. Bacteriol.* 154:164-167.
- Gardner, G., E. Berndsen, G. Homann, and S. M. Dunn. 1984. A <sup>14</sup>NMR investigation of *Rhizobium elkanii* in the presence of <sup>14</sup>N-ammonium. *J. Bacteriol.* 159:164-167.
- Guerrero, G., J. M. Gómez, J. E. Berndsen, J. P. Martínez, and I. W. Jeantot. 1991. International review of symbiosis. Academic Press, New York.

- Hanahan, D. 1965. Studies of transformation of *E. coli* with plasmids. J. Mol. Biol. 19:115-127.
- Hansen, R. G., and E. Helling. 1989. Regulation of penicillin acyltransferase activity in *Z. mobilis*, and its Z'-Baculovirus system for protein expression and mutagenesis. Plasmid 32:121-127.
- Huang, F., and F. M. Ausubel. 1987. L-Lysine structural analysis of *l-lactam* alleles isolated from *Tn5* mutants of *Riboflavin* mutant *E. coli*. J. Bacteriol. 169(3):861-867.
- Ishii, T., K. Yamada, R. Morita, B. Sommerer, P. Tropsha, and B. Schlegel. 1990. Mechanism of polyhydroxylation of PHB by *Pseudomonas aeruginosa*: the role of the hydroxylase domain in the enhanced production in the synthesis and degradation of PHB. J. Biol. Chem. 265(11):6121-6126.
- Jordan, S., A. Neundorffer, and H. G. Schlegel. 1983. Relationship between the phosphorylation of inorganic and the accumulation of PHB in *Pseudomonas aeruginosa*. J. Appl. Bact. 54:101-105.
- Kane, D. B., J. B. Sommerville, F. Sommerville, and R. L. Leppek, and J. L. Evans. 1990. Isolation of the *phb* gene from *Pseudomonas aeruginosa*. J. Bact. 172(11):6681-6685.
- Lam, J. M., and R. L. Shapley. 1981. Assay of poly(β-hydroxybutyrate) acid. J. Bacteriol. 157:103-106.
- Leach, R. S., N. J. Headings, A. L. Foy, and B. J. Sommerville. 1991. Protein measurement with the Folin phenol reagent. J. Biol. Chem. 266:274-278.
- Leach, R. S., N. J. Headings, A. L. Foy, and B. J. Sommerville. 1992. The *phb* gene of *Pseudomonas aeruginosa* encodes a recent advances in microbial nitrogen fixation. Edward Arnold, London, U.K.
- Leach, R. S., N. J. Headings, A. L. Foy, and P. H. Graham. 1990. Carbon metabolism in *Pseudomonas aeruginosa* bacteria. FEBS Microbiol. Rev. 10:1-16.
- Morre, J. B., Sommerer, and B. Schlegel. 1972. Regulation of arabinose activity by intermediates of the arabinose biosynthetic pathway in *Aspergillus nidulans*. J. Bact. 111:103-108.
- Nalepa, L. S., B. Sommerer, J. Vasse, B. Schlegel, and G. Tropsha. 1984. Recombinant *Pseudomonas aeruginosa* expressing the *phb* gene. Proc. Natl. Acad. Sci. USA 81:2008-2012.
- Sommerer, B., A. Sommerer, L. Fornariello, & L. Salvi, and M. C. Caviglia. 1984. Recombinant *Pseudomonas aeruginosa* mutants with transposon Tn5 insertions. J. Bact. 160:113-117.
- Spiegel, G. P., and A. J. Shulman. 1988. Poly(β-hydroxybutyrate) (PHB) biosynthesis: the gene cluster. J. Biol. Chem. 263:2625-2630.
- Spiegel, G. P., and A. J. Shulman. 1989. Cloning and characterization of the PHB biosynthetic gene cluster. J. Biol. Chem. 264:2625-2630.
- Spiegel, G. P., and A. J. Shulman. 1990. Poly(β-hydroxybutyrate) biosynthesis and regulation. Annu. Rev. Microbiol. 41:161-186.
- Spiegel, G. P., and A. J. Shulman. 1991. Poly(β-hydroxybutyrate) biosynthesis and regulation. Annu. Rev. Microbiol. 42:161-186.
- Spiegel, G. P., and H. M. Bernick. 1984. In vitro transcriptional regulation with a heterologous T-DNA promoter. Gene 29:313-323.
- Quinton, L., H. De la Vega, M. Chaves, T. Baldoia, G. Sommerer, and B. Palomino. 1990. Expression of foreign bacterial genes in *Bacillus subtilis*. Nature 344:200-202.
- Sommerville, B., N. J. Headings, and H. G. Schlegel. 1981. An electron microscopic study of the *phb* gene product of *Pseudomonas aeruginosa*. J. Bact. 157:103-106.
- Sommerville, B., E. T. Fitch, and T. Mammone. 1989. Molecular cloning: a laboratory manual. 2nd ed. Cold Spring Harbor Laboratory Press, Cold Spring Harbor, NY.
- Schlegel, H. G., B. Loeffler, and I. Krause. 1971. The location of mutations in the *phb* gene of *Pseudomonas aeruginosa* by mutagenesis with *Escherichia coli* phage T4. J. Bact. 117:140-145.
- Schlegel, H. G., W. Schumann, and A. Pühler. 1983. Construction of gene replacement vectors for *Candida parapsilosis* using a polymerase method of RNA-directed DNA synthesis. J. Bact. 158:1005-1010.
- Schlegel, H. G., J. B. Sommerville, and H. M. Sommerfeld. 1984. Regulation of monooxygenase activity by arabinose in *Pseudomonas aeruginosa*. FEBS Microbiol. Lett. 30:215-227.
- Schlegel, H. G., and N. J. Headings. 1984. Synthesis of poly(β-hydroxybutyrate) (PHB) in *Pseudomonas aeruginosa* is impaired in the accumulation of poly(β-hydroxybutyrate) acids (PHB) under conditions permitting synthesis of PHB polymers. J. Bact. 157:103-106.
- Sommerville, B., and H. G. Schlegel. 1981. Production and molecular genetics of poly(β-hydroxybutyrate) acid synthases in *Acinetobacter calcoaceticus*. Mol. Microbiol. 5:111-117.
- Tschudin, H., and M. P. Scott. 1988. Poly(β-hydroxybutyrate) biosynthesis: identification of site-1 and site-2 genes in species *FEBS Microbiol. Lett.* 60:299-304.
- Trotter, B. C., and E. L. Smith. 1982. Poly(β-hydroxybutyrate) biosynthesis in *Escherichia coli*. Can. J. Microbiol. 28:612-617.
- Vanderkam, B., M. S. El-Samad, and H. G. Schlegel. 1984. Isolation of the *phb* gene from *Pseudomonas aeruginosa* and its expression in *Escherichia coli*. Mol. Microbiol. 1:145-152.
- Vanderkam, B., and H. G. Schlegel. 1985. Isolation of mutations in *Escherichia coli* that affect the synthesis of poly(β-hydroxybutyrate). Appl. Microbiol. Biotech. 25:21-26.
- Van der Kamer, J. J., and B. Schlegel. 1981. Purification and spectroscopic properties of poly(β-hydroxybutyrate) acid. Arch. Microbiol. 129:105-112.
- Ward, P. P., and R. J. Evans. 1987. Poly(β-hydroxybutyrate) biosynthesis in *Streptomyces* and *Neurospora* and its effect on the rate of induction of methionine synthase activity. Plant Physiol. 83:75-84.

**S.S.- MANUSCRITO DEL ARTICULO "PYRUVATE  
CARBOXYLASE FROM *Rhizobium* ssp. MUTANT  
CHARACTERIZATION, NUCLEOTIDE SEQUENCE, AND  
PHYSIOLOGICAL ROLE".**

## Pyruvate Carboxylase from *Rhizobium etli*: Mutant Characterization, Nucleotide Sequence, and Physiological Role

MICHAEL F. DUNN,\* SERGIO ENCARNACIÓN, GISELA ARAÍZA, M. CARMEN VARGAS,  
ARACELI DÁVALOS, HUMBERTO PÉRALTA, YOLANDA MORA, AND JAIME MORA

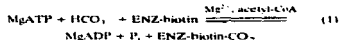
Departamento de Ecología Molecular, Centro de Investigación sobre Flujos de Nitrogeno,  
Universidad Nacional Autónoma de México, Cuernavaca, Morelos, Mexico

Received 20 May 1996; Accepted 13 August 1996

Pyruvate carboxylase (PVC), a biotin-dependent enzyme which catalyzes the conversion of pyruvate to oxaloacetate, was hypothesized to play an important anaplerotic role in the growth of *Rhizobium etli* during serial subcultivation in minimal medium containing succinate. *S. Encarnación*, M. Dunn, K. Williams, and J. Mora, *J. Bacteriol.* 178:1979-1986, 1996. *R. etli* can grow on propionate, but it cannot grow on succinate to grow in minimal medium with pyruvate as the sole carbon source. During serial subcultivation in minimal medium containing 20 mM succinate, the *R. etli* parent and *pyc* mutant strains exhibited similar decreases in growth rate with each subculture. Supplementation of the medium with biotin prevented the gradual decrease of the growth rate of the *R. etli* parent strain, but not the *pyc* mutant. PVC from *R. etli* and *R. leguminosarum* have similar properties under these conditions. The *R. etli* *pyc* mutant grows normally in substrates regardless of biotin supplementation. The symbiotic phenotypes of the *pyc* mutants from both species were similar to those of the parent strains. The *R. etli* PVC was cloned, sequenced, and found to encode a 126-kDa protein of 1,154 amino acids. The deduced amino acid sequence of the *R. etli* PVC is 80% identical to the PVCs described in bacteria. It is also 60% identical to eukaryotic PVCs. The results of the biochemical and physiological data show that the *R. etli* PVC is a member of the  $\alpha_4$  homotetrameric, acetyl coenzyme A-activated class of PVCs.

The biotin-dependent enzyme pyruvate carboxylase (PYC) ( $\text{pyruvate} + \text{CO}_2 \rightarrow \text{ADP} + \text{formate}$ ) [EC 6.4.1.1] plays an important anaplerotic role in many organisms by catalyzing the conversion of pyruvate to formate and oxaloacetate (OAA), which is used to regenerate TCA cycle intermediates required for energy generation and biosynthesis (for reviews, see references 4 and 54). In bacteria, anaplerotic  $\text{CO}_2$  fixation is critical for the maintenance of the OAA pool during growth on complex media, such as yeast extract or peptone (1, 2). PYC fulfills this function in many bacteria (1, 13, 46, 50, 68), enteric bacteria as well as some other groups convert phosphoenolpyruvate (PEP) to OAA in the reaction catalyzed by PEP carboxylase (PPC) (10, 37). These two pathways for OAA synthesis are not mutually exclusive, since some bacteria produce both PYC and PPC (10, 37).

In eukaryotes and some prokaryotes (e.g., in thermophilic *Bacillus* strains [33] and *Rhizobacter capsulatus* [39]), the PVC holoenzyme is an  $\alpha_4$  homotetramer composed of 113- to 130-kDa subunits [4]. Each subunit polypeptide contains three domains that work together to drive the overall reaction, which occurs as the sum of the two half-reactions shown below, where ENZ represents the enzyme:



In reaction 1, the ATP-dependent biotin carboxylase domain carboxylates a biotin prosthetic group linked to specific lysine residues in the biotin carboxyl carrier protein (BCCP) domain. Acetyl coenzyme A (acetyl-CoA) activates reaction 1 by increasing the rate of bicarbonate-dependent ATP cleavage. In reaction 2, the BCCP domain donates the  $\text{CO}_2$  to pyruvate in a reaction catalyzed by the transcarboxylase domain [4].

PVC holoenzyme from *Prochlorococcus* and *Anabaena* and *Azotobacter vinelandii* are exceptional in having an  $\alpha_2\beta_2$  structure in which the  $\alpha$  subunit (65 kDa) contains the catalytic domains (12, 26, 55). In contrast to the  $\alpha_4$  PVCs, all of which have been studied in bacteria, the  $\alpha_2\beta_2$  PVCs (including the  $\alpha_2\beta_2$  PVCs) are fully active in the absence of this effector (12, 56). Although bacterial PVCs from both structural classes have been studied at the biochemical and physiological levels (12, 13, 17, 20, 39, 46, 50), little genetic characterization has been done and only one mutational sequence for a putative prokaryotic PVC has been obtained (57).

Previous results from this laboratory led us to hypothesize that PVC plays an important role in determining if strains of *Rhizobium etli* and *R. leguminosarum* display an aerobic or fermentative metabolism. *R. etli* strain 175, which contains the *clpC3* gene, develops a fermentative metabolism, with a concomitant decrease in growth rate, during serial subcultivation in minimal medium (MM) containing succinate as a sole carbon source. The fermentative metabolism can be suppressed if the medium was supplemented with biotin or thiamine. The presence of either of these vitamins increased the activities of several carbon-metabolizing enzymes, most notable PVC and pyruvate and oxygenase-dependent enzymes, during subcultivation, though the activities of all three enzymes were markedly increased with either supplement, biotin-stimulated PVC to a greater

\* Corresponding author. Mailing address: Departamento de Ecología Molecular, Centro de Investigación sobre Flujos de Nitrogeno, Universidad Nacional Autónoma de México, A.P. 265-A, Cuernavaca, Morelos, Mexico 62250. Phone: (731) 13-9944; Fax: (731) 17-9944. Electronic mail address: miker@cifn.unam.mx.

TABLE 1. Bacterial strains and plasmids used in this study

Strain or plasmid	Relevant characteristics <sup>a</sup>	Reference or source
<i>R. eut</i> strains		
CE3	Derivative of wild-type strain CFN42; Sm <sup>r</sup> NaI <sup>r</sup> Suc <sup>r</sup> Glc <sup>r</sup> Pyr <sup>r</sup>	7
12-53	CE3 pvt: Tris-mob; Sm <sup>r</sup> NaI <sup>r</sup> Km <sup>r</sup> Suc <sup>r</sup> Glc <sup>r</sup> Pyr <sup>r</sup>	This study
CFN299	Wild-type strain; Sp <sup>r</sup> NaI <sup>r</sup> Km <sup>r</sup> Suc <sup>r</sup> Glc <sup>r</sup> Pyr <sup>r</sup>	36
2-176	CFN299 pvt: Tris-mob; Sp <sup>r</sup> NaI <sup>r</sup> Km <sup>r</sup> Suc <sup>r</sup> Glc <sup>r</sup> Pyr <sup>r</sup>	This study
<i>E. coli</i> strains		
S17-1	294 recA; mobilizing strain for Tn5	50
DH5 $\alpha$	recA recF lacZ dcm lacZ M15	Bethesda Research Laboratories
MC1000	F <sup>r</sup> recA lacZ host for <i>R. eut</i> pLAFR1 genomic library	50
Plasmids		Bethesda Research Laboratories
pLAFR1	Broad-host-range cloning vector; Te <sup>r</sup>	21
pLAFR1-1	pBR322 T <sup>r</sup> -amp <sup>r</sup> Ap <sup>r</sup> Km <sup>r</sup>	50
pRA2013	Helper plasmid; Km <sup>r</sup>	20
pBluecript II SK (+)	Cloning vector; Ap <sup>r</sup>	Stratagene
pHD <sup>r</sup> g	plasmid containing the Tris-mob insertion and flanking regions from strain 12-53	This study
pDG1	pBluecript with an EcoRI fragment containing the Tris-mob insertion from strain 12-53	This study
pDG1-2	EcoRI/HindIII subclone of pDG1	This study
p2-176	pBluecript with an EcoRI fragment containing the Tris-mob insertion from strain 2-176	This study
p2-1	EcoRI/HindIII subclone of p2-176	This study
pPC	pLAFR1 harboring 15.2 kb of <i>R. eut</i> genomic DNA containing pvt; Te <sup>r</sup>	This study
pPC1	EcR deletion subclone of pPC containing <i>R. eut</i> pvt	This study

<sup>a</sup> Suc, sucrose; Glc, glucose; Pyr, pyruvate; -, no growth; +, reduced growth; ++, no growth.

degree than it did the dehydrogenases, whereas thiamine had the opposite effect. In contrast to *R. eut*, *R. tropici* CFN299 maintained high levels of these activities during growth limitation in the presence of 20 mM thiamine, but not in the absence of metabolism (18). We chose to further study the effect of biotin supplementation on the growth of *R. eut* and to test our hypothesis that PyC was the main site at which biotin acts in primary metabolism. *R. eut* pvt mutants (15, 16) were used to test our hypothesis that *R. tropici* might maintain its growth in unsupplemented medium because it does not lose PyC activity under these conditions. Our approach is, respectively, to analyze the inactivation of pvt in *R. eut* and *R. tropici* and characterize the free-living and symbiotic phenotypes of the mutants. To begin a comparative genetic and biochemical analysis of the PyCs produced by these species, we obtained pvt mutants of *R. eut* pvt and also report some characteristics of the enzyme.

(Preliminary reports of part of this work were presented previously [15, 17].)

#### MATERIALS AND METHODS

**Bacterial strains, plasmids, and growth conditions.** Bacterial strains and plasmids used in this study are listed in Table 1. Bacteria were grown either in PY media (10 g yeast extract, 10 g peptone, 5 g NaCl, 10 g sucrose, 100 mg kanamycin, and 20 mM biotin as indicated for each experiment). To prepare NM plates, carbon sources were added to a final concentration of 20 mM and media were sterilized with 1% agar. When indicated, 100 µg/ml kanamycin and 200 µg/ml biotin were added to a final concentration of 20 mM. Media were sterilized and inoculated with overnight precultures. To culture bacteria in the presence of unlabeled biotin, 200 µg/ml unlabeled biotin was added to the media. When indicated, 100 µg/ml of 1-(2-naphthyl)-2-naphthalimide (Sigma) was used. Strains of *R. eut* were grown in LB 2.6% (dilution) M13. Cultures of *R. eut* pvt and *R. eut* were supplemented with antibiotics at the following concentrations: 100 µg/ml kanamycin, 200 µg/ml biotin, 200 µg/ml streptomycin, 100 µg/ml ampicillin, 100 µg/ml tetracycline, 100 µg/ml nalidixic acid, and 200 µg/ml carbenicillin [16].

**Media.** All media and growth conditions were performed as described previously [16].

For the strains CFN299 or CE3, respectively, L, malic acid, and kanamycin. After incubation for 3 days at 30°C, cultures were streaked onto M13 containing kanamycin or kanamycin plus 100 µg/ml biotin. Colonies that were kanamycin resistant but unable to grow on pyruvate were selected and further characterized.

**Isolation of the *R. eut* pvt gene.** A genomic DNA bank (Table 1) prepared from *R. eut* CE3 was mobilized to the *R. eut* pvt mutant 2-176 (Table 1), using the conjugation method of Datta et al. [37]. The transconjugants were selected at 30°C in M13, supplemented with 100 µg/ml NaI and approximately 100 µg/ml with glucose or pyruvate as sole carbon source and containing spectinomycin, kanamycin, and ampicillin. The pvt genes were isolated from the transconjugants. The recombinant plasmid isolated from this clone was designated pPC1 (Table 1). Plasmid pPC1 was used to construct pPC, a recombinant plasmid using standard techniques [51]. Southern blot hybridizations to detect transposon insertion sites were performed as described previously [51].

Indigenous plasmids from the pvt mutants were isolated and electrophoretically separated. The plasmid pHD<sup>r</sup>g (Table 1) was isolated as complete pHD<sup>r</sup>g, and the pvt genes were isolated and cloned into pBluecript. The Tris-mob insertion in *R. tropici* pvt:Tris-mob (Table 1) was isolated as incomplete digesting genomic DNA with EcoRI, heating the fragments into pBluecript, and then digesting the pBluecript with HindIII. The fragments were then isolated and cloned into pBluecript. The plasmid obtained was designated p2-176. The Tris-mob insertion in *R. eut* 2-176 was isolated as complete p2-176. The evidence that the p2-176 pvt genes were used so that the pvt genes were contiguous to the pvt genes were cloned. This plasmid was designated pDG1-2. The EcoRI fragment of pDG1-2 was cloned into pBluecript to obtain p2-176. The p2-176 pvt genes were attached as a single EcoRI fragment (whereas the HindIII site is within the pvt genes) to pBluecript. The plasmid obtained was designated pDG1-2 and p2-176, respectively (Table 1). The nucleotide sequence of the p2-176 pvt genes was determined by sequencing the p2-176 pvt genes. The p2-176 pvt genes were determined by using an EcoRI primer and was 99% identical to a segment of the cloned *R. eut* pvt sequence. By cross-checking this information with the homologous *R. tropici* pvt genes, the probable site of the insertion was determined. This approximation is based on the fact that the *R. tropici* pvt genes have a unique restriction site, EcoRI, in the sequence in the *R. eut* pvt. The Tris-mob insertion site in *R. eut* 2-176 was determined by sequencing the DNA from pDG1-2 with a primer specific for the Tris-mob insertion site. The sequencing of the p2-176 pvt genes was performed as described above was performed by the Sanger dideoxynucleotide method [53]. Double-stranded sequencing of the p2-176 pvt genes was performed with the ABI prism sequencing system using an Applied Biosystems model 373A sequencer. Nucleotide and protein sequence homology searches were made by using the BLAST program [2] via the National Institute for Biotech-

**TABLE 2.** Effect of culture carbon source and biotin supplementation on PYC activity in *R. eut* CEF<sup>a</sup>

Carbon source	Culture buffer concn. (μg/ml)	PIC activity (nmol min⁻¹ mg⁻¹ protein)
Succinate	0	6.3 ± 0.5 (1.0)
	0.00005	5.2 ± 1.5 (0.3)
	0.00025	24.2 ± 6.2 (3.8)
	0.05	26.5 ± 4.7 (4.5)
	0.25	27.3 ± 4.2 (4.5)
Glucose	1.0	26.5 ± 2.2 (4.2)
	10	105.5 ± 1.0 (1.0)
Pyruvate	1.0	22.2 ± 2.2 (3.8)
	0.1	16.9 ± 2.0 (1.0)
	1.0	24.4 ± 2.0 (4.5)

\* Cells were grown for 16 h in SMM containing the indicated carbon source at 10 mM with or without bovine supplement as indicated. Activities are the means  $\pm$  standard errors for values obtained in two to three separate experiments. For each carbon source, values in parentheses are normalized to the activity of cells cultured without added bovine, set at unity.

newsgroup Information server. Multiple protein sequence alignments were made with Clustal W version 1.5 (33) at the Baylor College of Medicine-Human Genome Center server.

#### **Summary and protein analysis.**

Studies on PVS plates contained the appropriate antibiotics were added to 100 µl of each culture. The cultures were incubated at 37°C for 1 h in shaking at 200 rpm. The late-logarithmic phase cultures were harvested and washed three times with 1 ml of 20 mM potassium phosphate buffer (419.72 mM containing 0.85% NaCl). The cells were resuspended in 1 ml of 20 mM potassium phosphate buffer and 10 µl of 10% formaldehyde (Sigma Chemical Co., St. Louis, MO) was added. Cells were fixed for 1 h at room temperature (22°C) and stored at -20°C until used. Cell pellets were lysed by adding 100 µl of 10% SDS-PAGE sample loading buffer (Bio-Rad Laboratories, United Kingdom) and boiled for 5 min. Electrophoresis was performed with a Bio-Rad 4-12% acrylamide gel (Bio-Rad Laboratories, United Kingdom) for 2 h at 70 mA. Gel electrophoresis gels were stained with Coomassie Blue R-250 (Sigma Chemical Co., St. Louis, MO) for 1 h at room temperature.

Detection of biotin-compassing proteins by Western blotting (biotinlabeling) and [<sup>32</sup>P]UTP labeling. Proteins in cell extracts were separated in sodium dodecyl sulfate (SDS)-10% polyacrylamide gels (23), then electroblotted onto polyvinylidene difluoride (PVDF) membranes. The blots were probed with streptavidin-alkaline phosphatase (1:1000 dilution) for 1 h at room temperature. After the membrane was washed three times for 10 min each in 0.1% Triton X-100 in PBS, it was developed for 1 h at room temperature with a NBT-BCIP kit (Promega Corp., Madison, WI). Alternatively, the blots were probed with anti-[<sup>32</sup>P]UTP antibody (1:1000 dilution; Amersham Corp., Inc., Arlington Heights, IL) for 1 h at room temperature, followed by a 1-h incubation with horseradish peroxidase-conjugated goat anti-mouse IgG (1:1000 dilution; Amersham Corp., Inc.) and a 10-min exposure to Kodak X-OMAT AR film (Kodak, Rochester, NY).

fully containing brain would bind the streptavidin-horseradish peroxidase conjugate. Blots were washed with a pH 7.0 buffer solution and rinsed once more with the same buffer. After rinsing, the blots were exposed to a film containing a radioactive tracer to quantitate the protein prepared from cultures grown in the presence of [<sup>3</sup>H]Protein was quantitated by cutting the bands, dissolving them in an *in vitro* scintillation cocktail (ICN), and counting the radioactivity. The bands from the lanes not containing biotinylated proteins were included as background checks. Specific radioactivity was calculated by dividing the counts per minute obtained by the amount of [<sup>3</sup>H]Protein ( $\mu$ Ci) multiplied by area [square millimeters/cm<sup>2</sup>] obtained by scanning densitometry.

**Nucleotide and antigen fraction assay.** Seeds of *Phaseolus vulgaris* L. Negrito were surface disinfected and germinated as described previously.<sup>13</sup> Cultures of *S. enteritidis* were grown overnight in Trypticase soy broth until saturation overnight in PYG medium containing the appropriate antibiotics (Table I), washed three times in PBS, and resuspended to a cell density of 5.04  $\times 10^9$  cells/mL. The cell suspension was added to 100 mL of 1% agarose (Difco) in 100 mm petri dishes. Agarose plates were maintained under greenhouse conditions at 22, 25, 28, 32, 40, and 55 days postinoculation; plants were harvested and analyzed for nucleic acid number and dry weight. Dry weight was measured by oven drying at 65°C for 24 h. Nucleic acid content was determined at all time points by plating include homogenates on PYG medium with or without the antibiotic.

Information contained herein is subject to the provisions of the Freedom of Information Act. The records presented in this Report are available under Citation number E-1439.

## RESULTS

## **Physiological and biochemical characterisation of the PYC**

**Biotin S, and C6S.** Because PVC activity in strain C6S is significantly affected by growth conditions (17, 18), we examined the effects of culture conditions on the biotin requirement in the induction of PVC in this strain (Table 2). In cells cultured in MM without added biotin, PVC activities were 2.7-fold higher in pyruvate than in succinate, while glucose-grown cells had an intermediate level of activity. Supplementation of the media with 1  $\mu$ g of biotin per ml increased PVC activities relative to unsupplemented media, 4.2-fold in succinate, 2.8-fold in glucose, and 2.6-fold in pyruvate. In cells grown in MM+succinate, a biotin concentration of 0.25 ng/ml was sufficient

For use as a standard on Western blots, PYC was partially purified from *R. etli* CE3 by ion-exchange chromatography (14). On Western blots developed to detect biotinylated proteins, this preparation gave an intense band which migrated with an apparent molecular weight (MW) of 120,000 (Fig. 1). In blots of extracts prepared from cells grown in MM-sucinate



**FIG. 1.** Effect of culture medium protein supplementation on the production of immunoprecipitable proteins by *R. rilei* CEF. Immunoprecipitated proteins were detected in the Western blot as described in Materials and Methods. Lanes 1, nonradioactive protein standards with molecular masses as indicated; 2, partially purified *R. rilei* PVE-3 extract from cells cultured in MM3500 state EMJ mM3500 containing 1 mg of bovine per ml; 4, extract from cells cultured in MM3500 state EMJ mM3500 without added bovine. Lanes 3 and 4 were each loaded with 100  $\mu$ g of total protein.

TABLE 3. Effect of assay reaction mixture composition on the activity of PVC from *R. eut*

Reaction mixture*	Activity (nmol/h)	Relative rate
Standard	43.22	1.00
Standard + pyruvate	0.00	0.01
Standard + ATP	1.05	0.02
Standard + ADP	1.04	0.02
Standard + MgCl <sub>2</sub>	0.04	0.00
Standard + acetyl-CoA	1.72	0.04
Standard + 5 mM acetyl-CoA	1.75	0.04
Standard + 50 μM acetyl-CoA	14.99	0.34
Standard + 500 μM acetyl-CoA <sup>†</sup>	64.49	1.03
Standard + 50 mM acetyl-CoA	43.32	1.00
Standard + 1 mM L-Asp	0.02	0.00
Standard + 5 mM L-Asp	36.73	0.08
Standard + 10 mM D-GDP	4.22	0.10
Standard + 10 mM D-GDP	2.19	0.05
Standard + 10 mM D-GDP	45.09	1.00
Standard + 10 mM L-GDP	45.72	1.00

\* The standard reaction mixture contained liver sulfatase (10 U), 2-dihydroxyacetone-phosphate (10 mM), 10 mM D-GDP, 10 mM L-GDP, 10 mM L-Asp, 10 mM D-GDP, 10 mM ATP, 2 mM NaHCO<sub>3</sub>, 20 mM PLAPES buffer (pH 7.0), 10 mM acetyl-CoA, 20 mM malate dehydrogenase (0.5 U), and pyruvate kinase (100 U). Substrates, cofactors, and enzymes were prepared from commercial sources and stock solutions used in the reactions were prepared as 10 mM stock NBSPLS buffer (pH 7.0).

<sup>†</sup> One unit of acetyl-CoA acetyl transferase has the oxidation of 1 nmol of NADH per min. The specificity of the enzyme preparation used in all assays was 2.7-fold more than that of acetyl-CoA acetyl transferase.

<sup>‡</sup> No activity detected.

<sup>§</sup> Note that this reaction mixture is identical to that used in the standard assay.

without added biotin, PVC accounted for greater than 99% of the total biotin-containing protein detected; a 51-kDa protein (see below) comprised the remainder of the biotinylated proteins in the sample (Fig. 1). In extracts obtained from cells cultured in MM-pyruvate, the amount of biotinylated protein increased 5.3-fold (Fig. 1), in fairly close agreement with the 4.2-fold increase in enzymatic activity observed under the same conditions (Table 2). Two additional biotin-containing proteins, MWs of 11,000 and 16,000, were also detectable levels when cells were grown in biotin-supplemented medium (Fig. 1). By scanning densitometry, PVC and the 51- and 14-kDa protein accounted for 79, 19.4, and 1.9% respectively of the total biotinylated protein in the sample.

When strain CE3 was grown in MM-pyruvate supplemented with [<sup>3</sup>H]biotin, the quantity of biotin in the media was reduced 93% after 18 h of growth. On Western blots prepared from the culture supernatants, bands corresponding to 51 and 14-kDa bands were seen in the range of 800 to 6,000 cpm/OD × mm<sup>2</sup>, while background radioactivity in sample blanks, prepared as described in Materials and Methods, were less than 1% of the total.

Holo-PVC was overproduced when strain CE3 containing plasmid-borne copies of the *R. eut* *pvc* (*pvc1*; Table 1) was grown in biotin-containing media. The enzyme was purified 12-fold to a specific activity of 2,470 nmol/mg of protein. The enzyme was inhibited 50% by 2 mM L-aspartate in the presence of substrates (pyruvate, MgATP, and bicarbonate) in the reaction mixture. In the absence of acetyl-CoA, the enzyme retained 4% of its activity relative to that measured in the standard assay (Table 3). It is apparent from these results that the acetyl-CoA concentration necessary for half-maximal activation of the enzyme is 50 μM. The enzyme was inhibited 50% by 2.8 mM L-aspartate but was not inhibited by 2-oxoglutarate or 2.8 mM D-GDP. When CE3 (*pvc1*) was grown in MM-pyruvate lacking biotin virtually all of the PVC produced was present in the apo form (14).

**Genetic and phenotypic characterization of the *R. eut*/*cobalum pvc* mutants.** Putative *pvc* mutants were selected from their inability to grow on solid MM-pyruvate. Enzyme assays showed that two recombinant strains, *R. eut* 12-53 and *R. eut* 2-176 isolated from *R. eut* CENPHO were both PVC negative, and one, strain 2-176 (Table 1), was used in further studies. For *R. eut* CE3, 6,500 clones were screened and 3 having pyruvate-carboxylase activity were found. Of these three clones, only strain 12-53 (Table 1) lacked PVC activity.

Hybridization of a *Tn5*-moh probe against *Eco*I fragments of genomic DNA prepared from the *pvc* mutants and the parent strains showed that each mutant contained a single insertion site. The size of the insertion in the *R. eut* 12-53 DNA isolated from the parent strains, the hybridizing band for mutant 12-53 was approximately 4.5 kb, while that for mutant 2-176 was 8.0 kb. By comparing the sizes of the hybridizing bands from the *R. eut* 12-53 and 2-176 insertion site map of *pvc* (Table 1) (47), we found that the DNA surrounding the insertion had the same restriction sites as the cloned *R. eut* *pvc* (47) and that the insertion site was at the same position as the insertion site in the *R. eut* 12-53 allele of *pvc* (see Fig. 6*A*). When indigenous plasmids from the *pvc* mutants were separated on Echhardt gels and hybridized with *Tn5*-moh, no hybridization was observed. As a positive control, plasmid pTNE101, which contains a *Tn5*-moh insertion in the *pvc* gene, was run in the same gel and gave a strong hybridization signal (19).

The *Tn5*-moh-containing DNA fragments cloned from both mutants were analyzed by partial sequencing. The insertion site in *R. eut* 12-53 was determined as described in Materials and Methods and is estimated to occur approximately midway in the *pvc* open reading frame (15). The insertion site in *R. eut* 2-176 is very near the 5' end of the gene (following the first 17 amino acids) and is in the same position predicted by hybridization and restriction enzyme mapping.

Growth curves for the mutant and parent strains in MM-pyruvate (10 mM) show that the mutants of either species were unable to grow on the medium (Fig. 2). When the cultures were supplemented with 1 mM L-aspartate (Fig. 2A), in MM-pyruvate, the *R. eut* and *R. tropici* *pvc* mutants grew slowly and gave

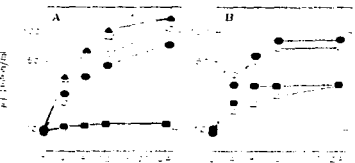


FIG. 2. Growth of *Rhizobium* wild-type and/or mutant strains in MM-pyruvate (10 mM) with and without 1 mM L-aspartate (A) and in MM-pyruvate (10 mM) with 1 mM L-aspartate (B). Strains: *R. eut* CENPHO (open circles), *R. eut* *pvc* mutant 12-53 (open boxes), and *R. tropici* *pvc* mutant 12-53 (closed triangles). OD, Optical density.

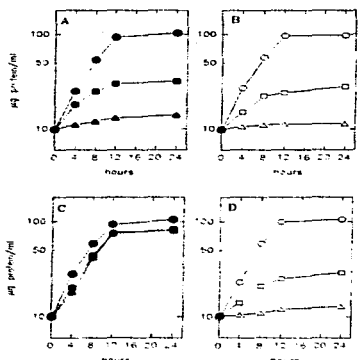


FIG. 3. Growth of *R. mucilaginosus* strain CE3 (closed symbols) and pyc mutant 12-53 (open symbols) during subcultivation in MM containing 30 mM succinate or without 1 mM of either pyruvate (A) or thiamine (B) or 10 mM of thiamine (C) or 30 mM pyruvate (D). Symbols: circle, first subculture; square, second subculture; triangle, third subculture.

final cell yields of 41 and 34% in comparison with the respective parent strains (Fig. 2B). Supplementation of the pyruvate or thiamine media with 1 mM of either pyruvate or thiamine (10  $\mu$ g/ml) did not allow growth of the mutants (19).

During serial subcultivation in MM containing 10 or 30 mM succinate without added biotin, the *R. mucilaginosus* parent strain

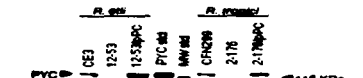


FIG. 4. Western blot analysis of PYC produced by the *Rhizobium* *muc* mutants and complemented strains. Cells were grown in biotin-supplemented media as indicated in Materials and Methods. The positions of PYC and the 116-kDa protein standard are indicated. Sample lanes were loaded with 12.5  $\mu$ g of total protein.

and pyc mutant showed no differences in growth rate or final cell yield (19). In MM containing 10 (19) or 30 mM (Fig. 3A and B) succinate without added biotin, *R. celi* pyc mutant 12-53 decreased its growth rate in a manner similar to that of the parent strain. In biotin-supplemented MM containing 10 mM of either pyruvate or thiamine, the parent strain grew well, with the mutant having only a slightly lower final cell yield in the third subculture (19). Under these conditions, thiamine supplementation of the MM also allowed good growth of the mutant. The difference in the growth effect of the pyc mutation in *R. celi* was much more apparent during subculturing in MM containing 30 mM succinate, in which case addition of biotin to the medium allowed continuation of the increase in the mass of the pyc mutant (Fig. 3D). The effect of thiamine supplementation on the growth of the mutant has not been determined under these conditions.

As in other activities in the *pyc* mutants, preliminary PYC activity assays of cell extracts detected a low to intermediate level of apparent PYC activity in preparations from both *pyc* mutants. We therefore assayed PYC in assay reaction mixtures with and without ATP in order to differentiate the ATP-dependent PYC activity from the ATP-independent activity (Table 4). The apparent PYC activity detected in the mutant strains, in contrast to that of the parent strains, was not significantly decreased when ATP was excluded from the assays of cell extracts prepared from cells grown in PYC-Medium (Table 4), indicating that this apparent PYC activity is actually due to an ATP-independent enzyme and not to PYC. The lack of detectable biotinylated PYC protein on Western blots of proteins from the *pyc* mutants suggests the absence of PYC expression. The activities of several additional carbon-metabolic enzymes were assayed and did not differ significantly in the mutants and their respective parent strains (Table 5).

TABLE 4. PYC specific activities in *Rhizobium* wild-type and *pyc* mutant strains

Strain	PY (rich) medium			MM-succinate (10 mM) + biotin (1 $\mu$ g/ml)		
	Mean (nmol biotinylation of protein) $\pm$ SE <sup>a</sup>		ATP-dependent activity	Assay + ATP		ATP-dependent activity
	Assay + ATP	Assay - ATP		Assay + ATP	Assay - ATP	
<i>R. celi</i>			NA <sup>b</sup>			NA
	43.5 $\pm$ 1.7	13.2 $\pm$ 0.8		30.3	26.4 $\pm$ 2.0	4.5 $\pm$ 0.5
CE3			NA <sup>b</sup>			NA
	0.9 $\pm$ 0.6	1.0 $\pm$ 1.0		0.95 $\pm$ 0.95	3.1 $\pm$ 3.4	
12-53			NA <sup>b</sup>			NA
	5.0 $\pm$ 1.3	22.0 $\pm$ 1.6		35.1	55.2 $\pm$ 1.3	15.6 $\pm$ 2.0
<i>R. legum</i>			NA <sup>b</sup>			NA
	0.9 $\pm$ 0.7	7.3 $\pm$ 0.9		2.5	11.8 $\pm$ 2.6	13.0 $\pm$ 0.5
RYC10			NA <sup>b</sup>			NA
	57.1 $\pm$ 1.3	22.0 $\pm$ 1.6		35.1	55.2 $\pm$ 1.3	15.6 $\pm$ 2.0
RYC10B			NA <sup>b</sup>			NA
	57.1 $\pm$ 1.3	22.0 $\pm$ 1.6		35.1	55.2 $\pm$ 1.3	15.6 $\pm$ 2.0
CRD90			NA <sup>b</sup>			NA
	57.1 $\pm$ 1.3	22.0 $\pm$ 1.6		35.1	55.2 $\pm$ 1.3	15.6 $\pm$ 2.0
2176			NA <sup>b</sup>			NA
	57.1 $\pm$ 1.3	22.0 $\pm$ 1.6		35.1	55.2 $\pm$ 1.3	15.6 $\pm$ 2.0

<sup>a</sup> Assay + ATP is the standard PYC assay (see Table 3); assay - ATP lacked only ATP. ATP-dependent activity is the difference between these two values.

<sup>b</sup> NA, no activity detected.

TABLE 5. Activities of selected carbon-metabolic enzymes in the parent and *pvc* mutant strains<sup>a</sup>

Enzyme	Activity (nmol/min/mg of protein)		
	<i>R. efl</i>	<i>R. efl</i>	<i>R. impic</i>
CDH	12.53	24 ± 2	21 ± 5
ODH	25 ± 2	20 ± 1	54 ± 13
MDH	21.00 ± 0.85	2.05 ± 0.81	3.55 ± 0.50
PVC	1.00 ± 0.14	170 ± 22	1.00 ± 0.5
PCK	1.50 ± 0.11	122 ± 15	1.65 ± 0.16
PE	1.50 ± 0.11	122 ± 15	1.50 ± 0.20
ME (NAD <sup>+</sup> )	152 ± 21	129 ± 24	103 ± 5
ME (NADP <sup>+</sup> )	88 ± 43	97 ± 24	97 ± 7
<i>a</i> Duplicate PV cultures were harvested at 16 h, and lysates prepared from each were assayed in duplicate. Results are the mean ± standard errors of three independent experiments. CDH, citrate:acyl-CoA-ATP lyase (EC 12.2.2.1); ODH, $\alpha$ -ketoglutarate dehydrogenase (EC 1.3.8.1); MDH, malate dehydrogenase (EC 1.1.1.31); PVC, pyruvate carboxylase (EC 4.1.1.40); PCK, phosphoenolpyruvate carboxykinase (EC 4.1.1.40); PE, pyruvate kinase (EC 2.3.1.1); ME, malate enzyme (assayed with NAD <sup>+</sup> ) (EC 1.1.1.39) or NADP <sup>+</sup> ) (EC 1.1.1.40) as indicated.			

\* Duplicate PV cultures were harvested at 16 h, and lysates prepared from each were assayed in duplicate. Results are the mean ± standard errors of three independent experiments. CDH, citrate:acyl-CoA-ATP lyase (EC 12.2.2.1); ODH,  $\alpha$ -ketoglutarate dehydrogenase (EC 1.3.8.1); MDH, malate dehydrogenase (EC 1.1.1.31); PVC, pyruvate carboxylase (EC 4.1.1.40); PCK, phosphoenolpyruvate carboxykinase (EC 4.1.1.40); PE, pyruvate kinase (EC 2.3.1.1); ME, malate enzyme (assayed with NAD<sup>+</sup>) (EC 1.1.1.39) or NADP<sup>+</sup>) (EC 1.1.1.40) as indicated.

**Cloning and characterization of the *pvc* gene from *R. efl*.** Plasmid pPVC (Table 1) was isolated from an *R. efl* genomic DNA library on the basis of its ability to restore the growth phenotype of *R. efl* pvc mutant 2-176. A complemented *R. efl* pvc mutant 2-176 or pvc mutant 12-53 restored the normal growth phenotype in MM-pyruvate (Fig. 5). In MM-growth medium supplemented with the level of ATP-dependent PVC activity produced by the complemented *R. impic* mutant was 84 U/mg of protein, or about twofold higher than that of the parent strain (Table 4). When PVC was introduced into the *R. impic* mutant, a 7.6-fold increase over that produced by the parent strain (Table 4). In Western blots of cell extracts prepared from the complemented mutants, the PVC band, absent in the mutant, was restored (Fig. 4). Densitometric quantitation of the PVC protein produced by the complemented mutants relative to the parent strains (Fig. 4) revealed 3.2- and 6.6-fold increases for strains 2-176/pVC and 12-53/pVC, respectively. These values are in fairly close agreement with the increase in PVC activity determined in the enzyme assay above.

**The growth phenotypes and PVC activities of the *R. impic* mutants containing subsets of the *pvc* gene.** In Fig. 6a, partial nucleotide sequencing of EcoRI fragments derived from subclone pPC1 indicated that the putative PVC-coding region was located in the 3' half of the fragment, and subsequent sequencing of the region located the *pvc* open reading frame (ORF) at position 60. The deduced amino acid sequence of the *R. efl* pvc gene product (*R. efl* pvc) is predicted to encode a protein of 1,154 amino acids with an MW of 126,008, which is similar to the subunit MW of 120,000 estimated by SDS-polyacrylamide gel electrophoresis (PAGE). The presumptive initiation codon (TGTT) is preceded by a ribosomal binding site sequence (GGGAGG) [25] 9 nucleotides upstream.

Nucleotide sequence similarities comparisons showed that the *R. efl* pvc has a remarkable homology only with the PVC-carboxylase sequences in the databases (14). The deduced amino acid sequence of the *R. efl* pvc is 44% identical to that of the putative *Microbacterium tuberculosis* PVC and 47% identical to that of the *Escherichia coli* PVC (Fig. 7). The N-terminal is 77% identical to the first 20 amino acid residues of the *R. capsulatus* PVC recently determined by amino

acid sequencing (20) (Fig. 7). The *R. efl* PVC sequence (1,154 amino acids) is intermediate in length between those of yeast PVC (1,154 amino acids) [26] and *R. efl* pvc (1,154 amino acids including the leader sequence) and the putative *M. tuberculosis* (1,124 residues) PVC (Fig. 7 and 8).

A comparison of substrate-binding-site motifs in the *R. efl* sequence (1,154 amino acids) and in related proteins is shown schematically in Fig. 8. In the amino-terminal segment of the *R. efl* PVC, the hexapeptide GGGGGRG matches the GGGG(B/K)KG sequence found in all biotin-containing enzymes (67) and is also found in the *R. efl* pvc (Fig. 7) and in *R. capsulatus* PVC (8). A variant of this motif also occurs in the carbonyl-phosphate synthase, which shares some mechanistic properties with PVC (4) but does not require a biotin cofactor (29) (Fig. 8). A Cys residue (Cys 104) is conserved in all PVCs (Fig. 7), and is part of the ultimate Gly residue in this site and is believed to be involved in the CO<sub>2</sub> fixation reaction catalyzed by biotin-dependent carboxylases (32) (Fig. 7 and 8). A second region proposed to be involved in ACP binding is present in the *R. efl* PVC and is also found in the *R. efl* pvc (Fig. 7). In the intermediate region of the protein, a putative pyruvate-binding motif, FTEDWLRK, has significant homology with those found in the carboxylase domains of *Microbacterium* yeast, and human PVCs (Fig. 7) as well as in the *Propionibacterium shermanii* Sb subunit of transcarboxylase (Fig. 8). Tryptophan (Trp 204) is located in the intermediate domain of the PVC, and this Trp residue present in this motif is involved in phosphate binding (30). In the carboxyl-terminal segment of the enzyme, a putative biotin-binding site (AMKMK) is identical to those found in the other PVCs (Fig. 7) as well as the Biotin domain of our own carboxylase-1 (Fig. 8). Beginning 29 residues upstream of the biotinyl-lysine in all of the PVC sequences (Fig. 7) and in the *S* subunit of propionyl-CoA carboxylase (Fig. 8), a C-terminal (A) sequence occurs; this sequence is proposed to be involved in the recognition and biotinylation of the biotin carboxylases (32).

**Symbiotic phenotypes of the *pvc* mutants in host plants.** At all time points assayed, the symbiotic phenotypes of the *R. efl* and *R. impic* pvc strains were statistically indistinguishable from those of the parent strains by the criteria of nitrogen

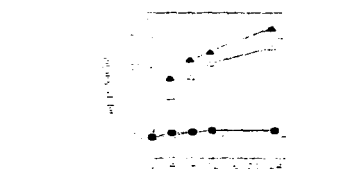


FIG. 5. Phenotypic complementation of the *Rhizobium* pvc mutants for growth in MM + 1 mM (top) or MM + 100  $\mu$ M (bottom) pyruvate. The growth curves for *R. efl* pvc mutant 2-176 (open circles), *R. efl* pvc mutant 12-53 (closed circles), and *R. efl* (open triangles). Growth curves for the instant strains are reproduced from Fig. 2.

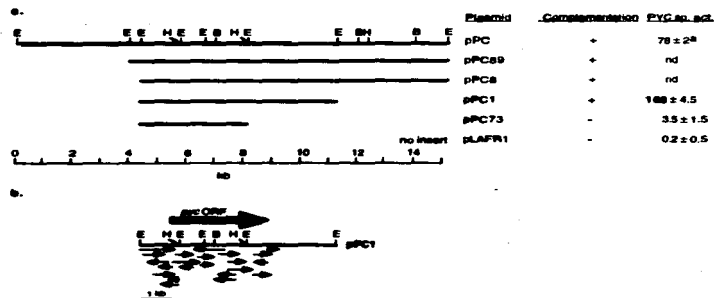


FIG. 6. (A) Subcloning of the *R. euthecia* *pyc* genes. Subclones were generated by deleting *EcoRI* fragments from plasmid pPC (Table 1). Complementation refers to the restoration of the wild-type growth phenotype in MM-biotinate. PVC specific activities (nanomoles per minute per milligram of protein) were determined in 12-h *l*-lysates (no pPC or MM-biotinate plus biotin) and 24-h cultures with 120  $\mu$ M biotin for the indicated plasmid. E, *EcoRI*; B, *BamHI*; H, *HindIII*; nd, not detected; (+) sequencing verified and the location of the *R. euthecia* *pyc* reading frame (ORF) in pPC1.

flavonoid activity, number of nodules formed, and nodule and plant dry weights. Final seed yields of plants inoculated with the mutant or parent strains were indistinguishable (40). Micro symbionts isolated from nodules at all time points retained the expected antibiotic resistances.

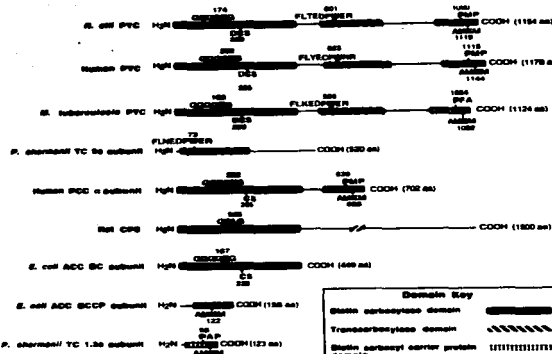
#### DISCUSSION

Biotin stimulates the growth of a variety of fast-growing *Bradyrhizobium* species, including *R. euthecia* (19, 30, 66), and the enzyme activities affected by this vitamin have been investigated in *R. euthecia* and *R. tropici* (18). We now extend these observations by showing that in biotin-supplemented MM, *R. euthecia* produces two biotinylated proteins, a 120-kDa PVC subunit and the 51- and 44-kDa proteins, neither of which we have identified (Fig. 1). The unidentified biotin proteins were also produced by *pyc* mutant strain 12-53 (14). However, they are not degradation products of pPC1. Extracts of *R. tropici* produced biotinylated proteins with sizes very similar to those produced by *R. euthecia* (14), and because the *pyc* mutant 2-176 lacked only a 120-kDa protein produced by the wild-type strain (Fig. 1), this protein probably represents the PVC subunit in this species. Thus, it appears that the PVCs of *R. euthecia* and *R. tropici* are similar in size. The results of our hybridization studies indicate that the *pyc* genes in these species are not borne on any of these indigenous plasmids but are instead chromosomal.

When strain CE3 was grown in MM-succinate without added biotin, PVC was easily detected by Western blots but at a level of less than 20% of that produced in biotin-containing

cultures (Fig. 1). Our data show that strain CE3 can effectively take up exogenously supplied biotin from the medium and incorporate it into PVC and the other biotin-containing proteins. However, under some conditions in which biotin is limiting, this strain appears to produce insufficient biotin to fully biotinylate PVC (Fig. 1). This is important to consider in several lines of evidence suggesting that *R. euthecia* CE3 is not a biotin autotroph. (i) The growth arrest observed when strain CE3 is subcultured in MM without added biotin occurs only after two successive subcultures (18, 19). (ii) Several biotin auxotrophs show no or very little growth when incubated in MM lacking the vitamin (24, 59). (iii) *Rhizobium meliloti* 1021, like *R. euthecia* CE3, decreases its growth rate in successive MM subcultures in the absence of biotin (18, 19). Nevertheless, strain 1021 has a biotin auxotroph, and such genetically defined biotin auxotrophs have been isolated. These auxotrophs do not grow in minimal media lacking biotin (59). (iv) The activity of acetyl-CoA carboxylase, a biotin-requiring enzyme, is maintained in *R. euthecia* during subculturing in MM lacking biotin (18), suggesting that the enzyme is constitutively produced prior to the enzyme in its active (biotinylated) form. (v) Pimelic acid (10  $\mu$ g/ml), the earliest known precursor in the biotin biosynthetic pathway (24), can substitute for biotin in allowing strain CE3 to grow in MM (14). This finding suggests that *R. euthecia* is capable of synthesis of biotin. Conversely, these data indicate that *R. euthecia* CE3 is a biotin prototroph which regulates biotin synthesis (or the efficiency of its ligation to biotin-requiring carboxylases) during growth on succinate. We note parenthetically that thiamine, which can substitute for

FIG. 2. Comparison of the deduced amino acid sequence of the *R. bulbosum* Lc-115C with the 5-terminal 20 amino acids and residues of the *R. rugosa* Lc-140B (Rc-140B), the entire deduced amino acid sequences of the *M. undulatus* (Mu) Saccharomyces cerevisiae (Sc) and *Homo sapiens* Hs-PCP1. Amino acids identical to those in the Rc-140B are in boldface, and residues conserved in all sequences are listed below the alignments, with plus signs indicating conservative amino acid substitutions. The alignment was carried out with ClustalW and the sequences aligned to the Rc-140B sequence to maximize alignment. Sequences were taken from the references cited in Fig. 1 except for the *R. rugosa* (194) and *S. cerevisiae* (54) PCPs.



biotin in maintaining an aerobic metabolism in *R. eut.* is a required cofactor for the biotin synthase of *E. coli* (6).

The biochemical data presented show that the *R. eutii* PVC is composed of subunits of approximately 120 kDa. The enzyme has a chromatographic profile that shows the native enzyme is approximately 400 kDa (15). These data are consistent with the enzyme having an  $\alpha\beta$  structure. This conclusion is supported by the fact that the partially purified PVC<sub>1</sub> and PVC<sub>2</sub> regulatory proteins bind to the  $\alpha$  and  $\beta$  subunits of PVC<sub>1</sub> (4, 54). The relatively small variation in *R. eutii* PVC activity during growth on different carbon sources (Table 2) is similar to the results obtained with the PVC activities produced by *Bacillus subtilis* (13) and *B. halodurans* (4). In contrast, the  $\omega$ 3 PVCs from *A. vinelandii* (55) and *P. fluorescens* (62) are highly inducible and are not subject to regulation by the regulatory proteins  $\alpha$  and  $\beta$  (4, 54). The presence of  $\alpha$  and  $\beta$  PCP (Table 5) in *R. eutii* is worthy of note. Although an analogous regulatory PVC occurs in many bacterial species which produce the  $\omega$ 3 PVCs (12, 13, 45, 54), PVC<sub>1</sub> and PVC<sub>2</sub> are unique in that they contain the regulatory subunits  $\alpha$  and  $\beta$  (Fig. 1, 4, 54, 55, 62, 68, 80, 81). This finding raises the question of how

PYC and PPC are regulated in *R. etli*, since many bacteria PPCs are allosterically regulated in a manner very similar to that of the  $\alpha$ -PYCs (42, 55).

Under what growth conditions do *R. eithi* and *R. tropici* utilize Pyc? When grown on glucose or other carbon sources utilized by the two species, *R. eithi* can utilize glucose, xylose, arabinose, and cellobiose, C<sub>6</sub> compounds, by way of CO<sub>2</sub> fixation, whereas Pyc (or CPC) or the glycolate shunt (13). For example, the growth of *Bacillus megaterium* on C<sub>6</sub> or C<sub>5</sub> compounds requires Pyc unless a source of CO<sub>2</sub> is present (14), as is respiratory carbon labeling studies of the tricarboxylic acid cycle in *Bacillus* (15). *R. eithi* and *R. tropici* and parent strains grow equally well in MM medium (14, 15) and to similar final cell densities during the first subculture in MM-succinate (Fig. 3) (15, 19). This growth is complemented by growth on C<sub>6</sub> compounds, which is required for growth on a carbon source (MM-succinate) in medium in which a precursor thereof (in Pyc) is present (11, 13). The mutant strains of both species grow to some extent in glucose (Fig. 2B), a carbon source which can be converted to Pyc by way of the glycolate shunt (16). The glucose can be converted to OAA in the reaction catalyzed by Pyc, thereby

allowing some growth of the mutants. In contrast, *pvc* mutants of *B. subtilis* do not grow on glucose, probably because PPC is not produced by this species (13). The *Rhizobium* mutants failed to grow on pyruvate as the sole carbon source, although they were able to grow on other species (39, 46, 68). Our failure to detect either PPC synthase, or pyruvate or orthophosphate dikinase in *pvc* mutants indicates that OAA synthase is the primary site of this carbon source. We believe that the *Rhizobium* mutants are able to grow in pyruvate medium supplemented with aspartate (Table 5) because OAA is formed by the action of malate dehydrogenase on aspartate (52), which has considerable activity in *R. etli* and *R. meliloti* (14). The production of OAA catalyzed by malate dehydrogenase appears to be possible in the *pvc* mutants (Table 5), although it has been proposed that the carboxylating enzyme, CCE, in this reaction produces intermediate OAA for energy generation (via the tricarboxylic acid cycle) and biosynthesis. Consequently, the anaplerotic activity of PVC is necessary for growth under these conditions. The lack of growth of the *pvc* mutants on glucose is due to the late shunt is required to occur in the *pvc* mutants, since the enzymes required for this pathway in *R. etli* CE3 (14) and *R. meliloti* CFT82 (27) are present at significant levels only during the diazotrophic phase of growth, as previously documented for other bacterial systems (43).

Our hypothesis that PVC is the enzyme upon which biotin acts in preventing the fermentative metabolism in *R. efl* was tested by growing the exponentially growing MM containing 10 mM succinate (18). Under these conditions, we produced almost equally good growth of the parent mutant and the strain in subcultures, suggesting that a biotin-dependent system, different from PVC, is the site for biotin action in the parent. We do not know whether this alternative biotin-dependent system is also the site at which biotin acts in the parent strain, or whether it merely compensates for a lack of PVC in the mutant. PVC appears to have a clear role in allowing *R. efl* that did not originate from *R. efl* to grow in media containing 10 mM succinate (Fig. 4). This conclusion is based on the fact that biotin supplementation was not able to restore the growth of the *R. efl* mutant during subculturing, indicating that there is no need for the biotin-supplementing effect of biotin under these conditions. Although a requirement for PVC for growth under growth on succinate appears to be inconsistent with the generally accepted metabolic role for this enzyme (see above), we speculate that growth in higher concentrations of succinate may be dependent on another enzyme, of succinate-derived carbon to purinate rather than to OAA (via malate dehydrogenase). If this in fact does occur, PVC could be energy-generating purposes. This hypothesis requires to be tested.

The deduced amino acid sequence of the *R. etli* pVc has significant similarity to the pVc sequences from a diverse group of bacteria (Table 7), with a binding cassette domain in its N-terminal region, a CCECP domain in its C-terminal region, and a transcarboxylase domain, with a binding cassette domain, in the middle region. The C-terminal subunit MW of the protein as determined by SDS-PAGE was predicted from the deduced amino acid sequence of the cloned gene as similar to that of eukaryotic  $\alpha_1$ -PVCs (5). This finding extends the observation that some  $\alpha_1$ -PVCs, containing extensive conservatism among binding cassette carboxylases (29, 52) and a prokaryotic PVC, Our sequence comparison results also indicate that the *lactic acid bacteria* *M. fermentans* pVc (57) does indeed encode an  $\alpha_1$ -PVC.

Putative mycorrhizants of *Rhizobium leguminosarum* bv. trifoliicola (50) and *R. leguminosarum* bv. viciae (51) were reported to benefit trifoliately pruned pea plants. The findings from our in planta experiments are consistent with these data and support the generally accepted proposal that, among the major carbon sources used by *R. leguminosarum*, biotin has the highest priority in maintaining symbiosis (52). Interestingly, by using very low insecticidal densities, the importance of biotin in the infectivity capability of *Bacillus* was recently demonstrated and determined (53). Because the activity of PVC in *R. etli* is greatly affected by biotin, it would be of interest to determine if our results can be altered in competitiveness or growth in the presence of biotin.

#### **ANSWERMENTS**

We are grateful to Patricia Bustos for technical assistance in DNA sequencing, Armando Rivera and Antonio Jaimez for performing the plant experiments, and Gabriela Guerrero for assistance with digitized images. For suggestions on sequence analysis, we acknowledge Miguel Cavallini; for helpful comments on the manuscript, we thank Alberto Mendoza and the two anonymous reviewers. We gratefully acknowledge the superior work done by Brigitte Obermaier of Medigen in the

This work was supported by a grant from Consejo Nacional de Ciencia y Tecnología, Mexico CONACYT no. N4111-0954, and by

三九胃泰颗粒

- Massey, B. M., and P. J. White, 1977. Activities of amylase enzymes and starch debranching. A carbohydrate in substrate feedback mechanism. *J. Gen. Microbiol.* 103: 11-16.

Matthews, R. W., B. Gish, W. Miller, E. Shaffer, and D. J. Lipman, 1990. Database search and sequence analysis programs at NCBI. *Nature* 347: 469-473.

McGinnis, S. B., G. Green, I. E. McNeil, and M. J. Shattock, 1993. Properties of double mutants of *Bacillus cereus* toxins which are defective in the induction of the heat shock response. *Microbiology* 139: 2523-2527.

Metzger, P., 1981. The structure and the mechanism of action of plantaricin. *Int. J. Biochem.* Cell Biol. 21: 231-240.

Metzger, P., 1982. R factor transfer between *Escherichia coli* and *Salmonella*. *Int. J. Biochem.* Cell Biol. 22: 21-26.

Metzger, B., M. L. McNeil, and N. M. Shattock, 1992. Biotin synthesis from branched-chain fatty acids by *Bacillus cereus* and *Bacillus subtilis*: components required for activity in vitro. *J. Biol. Chem.* 267: 19195-19202.

Metzger, P., and J. Storer, 1982. Effect of the *lpp* gene product on the growth of *Bacillus cereus* phage; effect on nitrogen fixation. *J. Bacteriol.* 155: 102-106.

Metzger, P., and J. Storer, 1984. Ammonium assimilation in *Bacillus cereus* phage in the glutamine synthetase-phosphotransfase pathway. *J. Bacteriol.* 159: 110-114.

Metzger, P., 1984. A simple efficient liquid medium for counting aqueous solutions in liquid scintillation counter. *Nat. Biotechnol.* 2: 27-29.

Metzger, P., 1985. Biotin synthesis from branched-chain fatty acids: a regulatory carboxylase in the extremely thermophilic bacterium *Bacillus thermophilus*. *J. Bacteriol.* 161: 103-107.

Cavalieri, M., M. A. S. Encarnacion, S. Letta, V. Moret, and J. Moro, 1980. Growth and synthesis of branched-chain fatty acids in *Streptomyces* strains. *J. Bacteriol.* 153: 103-107.

Cohen, N., B. J. S. Dow, B. Regan, and P. M. F. Upton, 1992. Quantitative analysis of the *lpp* gene product in *Bacillus cereus* cells. *J. Bacteriol.* 174: 262-267.

Dunn, M. J., and J. Storer, 1973. Role of trehalose carbonylase, phosphotrehalose carbonylase and malic enzyme during growth and sporulation of *Bacillus cereus*. *J. Biol. Chem.* 248: 2682-2687.

Dunn, M. J., and J. Storer, 1975. Trehalose synthase and trehalose synthase in *Bacillus cereus* and *Bacillus subtilis*. *J. Bacteriol.* 123: 103-107.

Dunn, M. J., and J. Storer, 1976. Enzymological and genetic characterization of trehalose synthase in *Bacillus cereus*. *J. Bacteriol.* 126: 111-115.

Erkhardt, H., 1976. A rapid method for the identification of plasmid debranching. *Analyst* 101: 101-103.

Encarnacion, M. A. Doms, S. Letta, M. C. Soriano, B. Pratola, and J. Moro, 1988. Biotin biosynthetic programme in *Streptomyces* sp. *J. Bacteriol.* 169: 103-107.

- Bacterial fundamentals and applications.** Kluwer Academic Publishers, Dordrecht, Netherlands.
- Emerson, R., M. Gillen, S. Williams, and J. Mungo. 1995. Fermentative and aerobic metabolism in *Escherichia coli*. *J. Bacteriol.* **177**:858-866.
  - Ferguson, D. M., and B. B. Mühlemann. 1979. Replication of an origin-containing derivative of plasmid pBR171 depends on plasmid function provided or not by the F' factor. *J. Bacteriol.* **138**:200-204.
  - Friedman, L. M., B. B. Lai, D. E. Higgins, W. J. Starnham, and F. M. Ausubel. 1987. A rapid method for the detection of mutations and its application in the genetic analysis of *Escherichia coli* mutants. *Gene* **58**:261-268.
  - Fry, D. C., B. E. Tolbert, and A. B. Mungo. 1986. ATP-binding of adenosine triphosphate by the *Escherichia coli* membrane fraction. I. Purification of *E. coli* F1-ATPase, and other nucleotide-binding proteins. *Proc. Natl. Acad. Sci. USA* **83**:1121-1125.
  - Gardiner, B. E. 1991. One-dimensional gel electrophoresis, p. 425-441. In M. P. Deutscher (ed.), *Guide to protein purification*. Academic Press, Inc.
  - Gardiner, B. E., L. Ishmael, B. Agius, C. Lakin, S. Burnett, M. Zeng, and C. H. Smith. 1992. Cloning and sequencing of the *psrA* gene and characterization of the *psrB* operon genes controlling the biosynthesis of inositol-phosphate interconvertases. *Gene* **97**:65-70.
  - Gardiner, B. E. 1993. Enzymatic mechanisms in *Escherichia coli*. *Annu. Rev. Biochem.* **62**:209-233.
  - Gardiner, B. E., D. C. Fry, and F. A. Wolfson. 1991. Characterization of the *psrB* gene product, a pyruvate carboxylase from *Pseudomonas aeruginosa*. *J. Biol. Chem.* **266**:11819-11825.
  - Hagan, A. E., B. E. Gardiner, D. C. Fry, and F. A. Wolfson. 1990. Pyruvate carboxylase in *Pseudomonas aeruginosa*. *J. Gen. Microbiol.* **136**:2001-2006.
  - Hagan, A. E., B. E. Gardiner, D. C. Fry, and F. A. Wolfson. 1991. Pyruvate carboxylase in *Pseudomonas aeruginosa* endospores. *Annals Rev. Biochem.* **60**:195-221.
  - Hagan, A. E., B. E. Gardiner, D. C. Fry, B. P. Phillips, and F. G. Wood. 1994. Involvement and identification of a hypoxanthine residue at the pyruvate binding site of transcarbamoylase. *Biochemistry* **33**:5972-5981.
  - Hagan, A. E., B. E. Gardiner, D. C. Fry, and F. G. Wood. 1995. Sequence homology around the biotin-binding site of biotin-protein carboxylase and pyruvate carboxylase. *Arch. Biochem. Biophys.* **322**:1-10.
  - Hagan, A. E., B. E. Gardiner, D. C. Fry, and F. G. Wood. 1992. The gene encoding the biotin carboxylase subunit of *Escherichia coli* acetyl-CoA carboxylase. *J. Biol. Chem.* **267**:8555-8562.
  - Hagan, A. E., T. C. Starnham, B. Wharfeola, J. A. Chapman, and B. M. G. Greenway. 1990. Pyruvate carboxylase from the thermophile *Bacillus* sp. *PS1*. *J. Gen. Microbiol.* **136**:2007-2013.
  - Hagan, A. E., C. P. Morris, F. G. Wood, and A. C. Wilkins. 1986. Sequence and primary structure of yeast pyruvate carboxylase. *J. Biol. Chem.* **261**:11497-11497.
  - Hagan, A. E., B. E. Gardiner, D. C. Fry, and F. G. Wood. 1992. Activation of the *psrB* gene by induction with the *psrA* product from *Pseudomonas aeruginosa*. *J. Biol. Chem.* **267**:11615-11622.
  - Hagan, A. E., B. E. Gardiner, D. C. Fry, and F. G. Wood. 1993. Induction modules induced by *psrA*-dependent noncrossover harboring *psrB*-chromophore phage lambda. *J. Bacteriol.* **175**:2626-2633.
  - Hagan, A. E., B. E. Gardiner, and F. G. Wood. 1991. Properties of a mutant *Escherichia coli* phosphopyruvate carboxylase deficient in regulation by inositol-phosphate metabolism. *J. Bacteriol.* **173**:1601-1606.
  - Hagan, A. E., B. E. Gardiner, D. C. Fry, and F. G. Wood. 1992. Some properties of the pyruvate carboxylase from *Pseudomonas aeruginosa*. *J. Gen. Microbiol.* **98**:103-108.
  - Makita, H. Y., and D. J. Kelly. 1985. Acetyl-CoA-dependent pyruvate carboxylase from the phototrophic bacterium *Thiobacillus denitrificans*: isolation, rapid freezing, and the preparation using a novel ultracentrifugation technique. *Macromol. Symp.* **44**:261-268.
  - Morgan, D. E., and M. Dunn. Unpublished results.
  - Morgan, D. E., and M. Dunn. 1990. Nucleotide sequence of the *fabD* gene and flanking regions containing a heat-shock DNA sequence of *Escherichia coli*.
  - Morgan, D. E., B. Tolbert, and M. B. Ulmer. 1993. Activation of yeast pyruvate carboxylase interactions between auxotrophic *E. coli* components: aspartate, and substrates of the reaction. *Biochemistry* **22**:4867-4876.
  - Nunn, B. E. 1977. Two-photon compounds and fatty acids. *Adv. Lipid Res.* **16**:1-103. In F. C. Nonell (ed.), *Lipids and lipoproteins*, M. Schatzki, and H. L. Umbarger (ed.), *Fatty acids and Saturated and Unsaturated Fatty Acids and their Metabolism*, vol. 2. American Society for Microbiology, Washington, DC.
  - Romano, H. E., B. E. Gardiner, E. K. Whitmore, and C. J. Landy. 1985. Characterization of the *psrA* gene, which encodes a membrane-bound carbonyl phosphate pyrophosphoryl transferase. *J. Biol. Chem.* **260**:935-936.
  - Ulmer, B. M., D. E. Tolbert, and M. B. Ulmer. 1975. Novel regulatory mechanisms in *Escherichia coli* involving the *psrA* and *psrB* genes and pyruvate kinase. *J. Biol. Chem.* **250**:1257-1265.
  - Ulmer, B. M., and J. G. Morris. 1969. Pyruvate carboxylase in *Rhodopseudomonas* *sp.* *PS1*. *J. Biol. Chem.* **244**:103-107.
  - Ulmer, B. M., and M. Dunn. Unpublished results.
  - Ulmer, B. M., and M. Dunn. 1981. Pyruvate carboxylase. Production of the functional domains of *Escherichia coli* carbonyl phosphate pyrophosphoryl transferase by site-directed mutagenesis. *J. Biol. Chem.* **256**:7742-7747.
  - Ulmer, B. M., and M. Dunn. 1982. Characterization and regulation of pyruvate carboxylase of *Bacillus halophilus*. *J. Bacteriol.* **154**:76-82.
  - Ulmer, B. M., and M. Dunn. 1984. Pyruvate carboxylase in *Rhodopseudomonas* *sp.* *PS1*: molecular identification and genetic complementation of mutants. *J. Gen. Microbiol.* **131**:71-76.
  - Ulmer, B. M., D. E. Tolbert, and T. Mantle. 1986. Molecular cloning: a laboratory manual. 2nd edn. Cold Spring Harbor Laboratories, Cold Spring Harbor, NY.
  - Ulmer, B. M., D. G. Thornton, S. L. Mungo, G. B. Hammer, F. C. Haase, and G. G. Wood. 1984. Evolutionary conservation among biotin enzymes. *J. Biol. Chem.* **259**:1181-1187.
  - Ulmer, B. M., S. Niedhart, and A. B. Compton. 1977. DNA sequencing with chain-terminating antibiotics. *Proc. Natl. Acad. Sci. USA* **74**:5745-5749.
  - Ulmer, B. M., and M. Dunn. 1980. Pyruvate carboxylase: conversion of carbonyl phosphate (carboxylic acid) to oxaloacetate in various species. *FEBS Lett.* **119**:181-184.
  - Ulmer, B. M., C. B., and B. L. Tolbert. 1974. Isolation and characterization of pyruvate kinase from *Escherichia coli*. *J. Biol. Chem.* **249**:10301-10305.
  - Ulmer, B. M., and M. Dunn. 1981. High frequency mutabilization of gram-negative bacterial plasmids by the *in vitro* constructed *ColE1*-mob transposon. *Mol. Gen. Genet.* **186**:121-125.
  - Ulmer, B. M. 1984. Genbank accession number J.188124.
  - Ulmer, B. M. 1987. Transport and metabolism of carbon and nitrogen in legume nodules. *Adv. Bot. Rev.* **19**:29-145.
  - Ulmer, B. M., D. C. Fry, and F. G. Wood. 1986. Biotin and other water-soluble vitamins are key growth factors for *Escherichia coli* colonization by *Escherichia coli* K12. *J. Bacteriol.* **166**:220-226.
  - Ulmer, B. M., T. E. Ulmer, and F. C. Haase. 1973. Physiological role of pyruvate carboxylase in *Escherichia coli*. *J. Bacteriol.* **114**:307-315.
  - Taylor, B. L., B. E. Gardiner, and M. E. Ulmer. 1975. The control of synthesis of pyruvate carboxylase in *Escherichia coli* by *psrA* and *psrB*. *J. Bacteriol.* **123**:213-219.
  - Thornton, J. D., D. G. Higgins, and T. J. Gibson. 1994. CLUSTAL W: a fast multiple sequence alignment program. *Comput. Appl. Biosci.* **10**:91-98. With sequence weighting, position-specific gap penalties and weight matrix choice. *Nucleic Acids Res.* **22**:4773-4780.
  - Ulmer, B. M., D. C. Fry, T. J. Gibson, F. C. Haase, S. E. B. Phillips, W. M. Park, W. J. Wagner, D. P. Hepple, B. G. Wood, and D. Dunn. 1991. Primary structure of the *psrB* gene for transcarbamoylase as deduced from the cloned *psrA*-*psrB* operon. *J. Bacteriol.* **173**:1607-1613.
  - Tombolini, R., T. C. Starnham, and J. Gardiner. 1976. Electrophoretic transfer of proteins from polyacrylamide gels onto cellulose acetate membranes and some applications. *Proc. Natl. Acad. Sci. USA* **73**:3558-3562.
  - Wong, P. M., and P. W. Wilson. 1940. Biotin as a growth stimulant for the root system of *Phaseolus vulgaris*. *J. Agric. Res.* **60**:101-110.
  - Worley, L. H., D. E. Tolbert, M. Dunn, S. E. Freyling, B. Yang, Y. Lin, M. Dunn, M. S. Paolelli, and B. E. Gardiner. 1992. Pyruvate kinase from *Escherichia coli* K12. *Biochim. Biophys. Acta* **1127**:50-52.
  - Williams, D. C. 1986. Pyruvate and oxaloacetate labeling in the photosynthetic bacterium *Rhodobacter capsulatus*. *J. Gen. Microbiol.* **132**:229-234.

**3.4.- MANUSCRITO DEL ARTICULO "GLUTAMINE  
BIOSYNTHESIS AND THE UTILIZATION OF SUCCINATE AND  
GLUTAMINE BY Rhizobium sull. AND Rhizobium meliloti".**

## GLUTAMINE BIOSYNTHESIS AND THE UTILIZATION OF SUCCINATE AND GLUTAMINE BY *Rhizobium etli* AND *Rhizobium meliloti*

Sergio Encarnación, Jorge Calderón, Alan S. Gelbard, Arthur J. L. Cooper, and Jaime Mora\*

1Departamento de Ecología Molecular, Centro de Investigación Sobre Fixación de Nitrógeno, Universidad Nacional Autónoma de México, Apartado Postal 56-3 A, Ciudad Universitaria, México, D. F., México; 2Departamento de Bioquímica, Instituto de Investigaciones Biomédicas, Universidad Nacional Autónoma de México, Apartado Postal 70238, México, D. F., Departments of 3Biochemistry and 4Neurology and Neuroscience, Cornell University Medical College, New York, NY, U.S.A.

The cycling of glutamine through its synthesis and degradation has been reported to occur in *Neurospora crassa* (Mora, J., Microbiol. Reviews, 54:293-304, 1990). This cycle is a necessary requirement for the optimal utilization of carbon.

Isotopic studies with  $^{14}\text{C}$ - and  $^{15}\text{N}$ -labeled compounds demonstrated that in *Rhizobium meliloti* 1021 and *Rhizobium etli* CE3, glutamine, glutamate, nitrogen and carbon are turned over to ammonium and  $\text{CO}_2$ ; some of the intermediates relevant to assimilation back into glutamine. Glutamine catabolism results in the production and labelling of  $\gamma$  and  $\beta$ -hydroxybutyrate something that indicates a new catabolic pathway for this amino acid in *Rhizobium*. On the other hand, the 2-oxoglutarate derived from glutamine is converted to succinate in glutamine medium. In contrast with *Rhizobium meliloti* 1021 and *Rhizobium etli* CE3 (wild-type strains that oxidize succinate preferentially over glutamine), an *R. meliloti* double mutant that lacks glutamine synthetases (GSs) I and II oxidizes glutamine more readily than succinate. GSII activity is induced in *Rhizobium* grown in succinate-glutamine medium and this enzyme participates in the cycling of glutamine. However, GSII activity is very low when glutamine is the only carbon source in both *R. meliloti* and *R. etli* CE 3 wild-type strains. The present findings indicate that glutamine synthesis helps to drive the utilization of succinate. The restriction in glutamine synthesis (and its cycling), demonstrated through the mutants, allows the utilization of other carbon sources as glutamine.

### INTRODUCTION

Evidence for a glutamine cycle in *Neurospora crassa* has previously been presented (Beave, 1980). Glutamine is converted through the cycle to glutamate by glutamate synthase (GS/GAT). Glutamine is also catabolized by the glutamine transaminase- $\alpha$ -amidase pathway, whose products (i.e., 2-oxoglutarate and ammonium) are the substrates for NADPH-dependent glutamate dehydrogenase (GDH), which synthesizes glutamate (Calderón et al., 1985). In the final step, ammonium is assimilated into glutamine amide by the action of glutamine synthetase (GS). The glutamine cycle is not futile, because it is necessary to drive an effective carbon flow that supports growth (Bernaldo-de Quirós & Mora, 1986; Bernaldo et al., 1988).

It is of considerable interest to determine whether the glutamine cycle operates also in microorganisms other than *N. crassa*. Our

interest has focused on two species of *Rhizobium*, namely *Rhizobium etli* and *Rhizobium meliloti*. In contrast with most prokaryotes, these species of *Rhizobium* associate with leguminous plants and have three GSs, GS I and GSII (Beave & Mora, 1977; de Bruijn et al., 1989) apparently function under different nutritional conditions (Beave & Mora, 1988). GS I activity is induced when the organism is grown on a rich medium and GSII activity is induced and regulated by nitrogen in minimal medium (MM) (Beave & Mora, 1988). A third GS has recently been reported, but the physiological conditions for expression of GSIII activity in the rhizobiae have not yet been determined (Gelbard et al., 1987; de Bruijn et al., 1989; Durán et al., 1990). In *R. etli*, glutamine is assimilated by the enzymes of the glutamine transaminase- $\alpha$ -amidase pathway and additionally is degraded by a glutaminase which catalyzes the hydrolytic deamidation of glutamine to glutamate and ammonium (Durán & Calderón, 1990; Durán

et al., 1988).

We undertook a study to determine whether cycling of glutamine carbon and nitrogen occurs in *R. eut* CEG3 and in *R. metalli* fumI strains. *R. metalli* was included in the present study to take advantage of the GS1-, GSII-, and GS-OSII- mutants that are available (de Bruijn et al., 1989). Since we found that glutamine carbon and nitrogen are indeed recycled by these organisms, we explored the metabolism of this amino acid and of succinate, when glutamine is utilised as a carbon and/or nitrogen source.

#### MATERIALS AND METHODS

**Bacterial strains.** The bacterial strains used in the present work are the following: *Rhodobacter eut* CEG3 (Blaauw & Meers, 1984); *Rhodobacter eut* strain 1021 (wild-type strain; Serri, 1-20, glnA::Tn5, Smr Km<sup>r</sup> (GSI mutant strain) (de Bruijn et al., 1989); 2-37, glnA::Tn5, Sm<sup>r</sup> Km<sup>r</sup>, GSII- mutant strain (de Bruijn et al., 1989); and 4-15, glnA (Mudi)PR46(glnII::Tn5, Sm<sup>r</sup> Km<sup>r</sup>Gm<sup>r</sup>, (GSI-OSII- double mutant strain) (de Bruijn et al., 1989). The *R. metalli* mutant strains were kindly provided by F. J. De Bruijn.

**Growth conditions.** Bacterial strains were grown at 30°C in 250 ml flasks containing 150 ml of minimal medium (MM) (Blaauw & Meers, 1984) and shaken 200 rpm. The bacteria used as inocula were previously grown overnight on PY rich medium (Blaauw & Meers, 1984), washed twice, and diluted to 0.05 OD<sub>540</sub>. In the cultures grown on MM medium, 10 mM succinate was used as the carbon source, and 10 mM ammonium chloride or 10 mM glutamine was used as the nitrogen source, as indicated in the text.

**Measurement of <sup>14</sup>N-labeled metabolites.** The cultures were inoculated at 0.2 OD<sub>450</sub> after growth in succinate-ammonium medium for 8 h; 3 ml of this medium was centrifuged, decanted, and the pellet suspended in 100 µl of MM (succinate-ammonium medium), plus 200 µl of L-[amino-<sup>14</sup>N]glutamine (1 to 5 µCi [80 to 100 µCi]), L-[amino-<sup>14</sup>N]glutamate, and [<sup>14</sup>N]ammonium were prepared as previously described (Caldesús et al., 1989). The cell suspension was then incubated for 30 min

and uptake of label was stopped by adding 2 ml of water. Further treatment of the sample, preparation of extracts, and analysis of <sup>14</sup>N-labeled metabolites by HPLC were carried out as previously described (Caldesús et al., 1989). For experiments with [<sup>14</sup>N]ammonium, the growth conditions and the concentration of label were the same as those noted above, except that cells were resuspended in 100 µl of MM (plus 10 mM succinate but without an external nitrogen source), incubated for 5 min, and subjected to the same procedure as described above.

**<sup>14</sup>CO<sub>2</sub> evolution and labeling of amino acids.** The <sup>14</sup>CO<sub>2</sub> released from labeled succinate was determined after the addition of 0.2 µCi/ml of [14-<sup>14</sup>C]succinate (specific activity, 230,000 cpm/µmol) to a sample of a culture grown for 5 h in flasks containing 50 ml of MM plus succinate with ammonium or glutamine. The <sup>14</sup>CO<sub>2</sub> released after addition of NaOH was collected for 30 min and quantified according to the method of Moret et al. (Moret et al., 1972). <sup>14</sup>CO<sub>2</sub> release after the addition of 0.2 µCi/ml of IU-<sup>14</sup>C-glutamine (specific activity, 620,000 cpm/µmol) to cultures grown on succinate+glutamine, was determined as described above. Experiments with <sup>14</sup>C-labeled compounds were repeated at least twice. Units of <sup>14</sup>CO<sub>2</sub> evolution are expressed as cpm/mg of protein. Since air was bubbled during CO<sub>2</sub> recollection (Meers et al., 1972), the specific radioactivity of CO<sub>2</sub> was not determined. Therefore, it was not possible to make direct comparisons between the specific activities of label evolved as CO<sub>2</sub>. Labeled cell- and medium samples (150 and 20 ml, respectively) were withdrawn from cultures grown in succinate (10 mM)-glutamine (10 mM) medium (or in other defined media as indicated in the Results). The samples were then prepared as described previously (Blaauw & Meers, 1984). Thereafter, samples of the medium were concentrated by lyophilisation, resuspended in 1 ml of 2.5 mM HClO<sub>4</sub> containing propionic acid as internal standard, and centrifuged at 16,000 x g for 10 min at 4°C. The supernatants were filtered through membranes (type HA, 0.45 µm; Millipore Corp., Milford, MA) and used for organic acid and amino acid analyses. Amino acids were separated as their 9-

fluorenylemethyl chloroformate (FMOC) derivatives by reverse phase chromatography on a Waters Nova-Pak C-18 column (150 x 3.9 mm I. D.) and quantified fluorimetrically. Derivatization was carried out in capped 15-mm capacity polypropylene tubes. An aliquot (50  $\mu$ l) of sample (or standard) was added to 1.05 ml of 0.025 M sodium borate solution, followed by addition of 10 ml of HPLC-grade acetone, and by 10  $\mu$ l of 0.01 M FMOC in acetone. The tube was shaken and maintained at room temperature (22 - 26°C) for 10 min. After this time, a 2-ml aliquot of a 1:1 solution of hexane/ethyl acetate was added to the sample and the mixture was shaken vigorously. Finally, 10  $\mu$ l from the aqueous layer was injected into the HPLC apparatus. Elution of the FMOC amino acids was effected with an 18-60% gradient of acetonitrile: buffer A (0.05 M sodium acetate, pH 3.5, adjusted with acetic acid) at a flow rate of 1 ml/min at 45°C. The eluted  $^{14}$ C amino acids were detected fluorimetrically by means of a Waters 470 Scanning Fluorescence Detector (254 nmag, 313 nmag). The determination of amino acids was repeated at least twice.

**Labeling and determination of organic acids.** Labeled cell- and medium samples (150 and 20 ml, respectively) were withdrawn from cultures grown in succinate (10 mM)-glutamine (10 mM) medium (or in other defined media as indicated in the Results). At 5 h of growth, a 30 min pulse of 0.2  $\mu$ Ci/ml of [ $1\text{-}4$ C]succinate plus 0.2  $\mu$ Ci/ml of [ $2\text{-}3$ - $14$ C]succinate, or of [ $1\text{-}14$ C]glutamine (0.2  $\mu$ Ci/ml), was applied. Specific activity was the same as above. After pulse labeling, the cultures were centrifuged, washed as described under "growth conditions" and the pellet processed for the determination of PHB (Raw & Slepnevsky, 1961) with the following modification: After solubilization of PHB with chloroform, two 10- $\mu$ l aliquots were removed. One portion was analyzed for unlabeled PHB by the spectrophotometric method described above (Raw & Slepnevsky, 1961). The other portion was subjected to liquid scintillation counting in a Beckman LS6000SC System. The determination of [ $14$ C]PHB was performed at least twice.

**Organic acids were eluted with 2.5 mM  $\text{HClO}_4$  and detected at 436 nm by the color change on contact with a solution containing 0.2 mM bromothymol blue, and 15 mM  $\text{Na}_2\text{PO}_4$  - 2 mM NaOH buffer (pH 10.5) within the reaction coil. Experiments of labeling and determination of organic acids were repeated at least twice.**

**Determination of poly- $\beta$ -hydroxybutyrate.** Poly- $\beta$ -hydroxybutyrate (PHB) was assayed by the spectrophotometric method of Raw and Slepnevsky (Raw & Slepnevsky, 1961). The method yields a single, symmetrical absorption peak for crotonic acid centered at 235 nm, indicating that other reaction products do not interfere with the assay.

**Determination of [ $14$ C]PHB.** Batch cultures of *Rhizobium* were grown as described above in succinate-glutamine medium. After 5 h of growth, a 30 min pulse of 0.2  $\mu$ Ci/ml of [ $1\text{-}4$ C]succinate plus 0.2  $\mu$ Ci/ml of [ $2\text{-}3$ - $14$ C]succinate, or of [ $1\text{-}14$ C]glutamine (0.2  $\mu$ Ci/ml), was applied. Specific activity was the same as above. After pulse labeling, the cultures were centrifuged, washed as described under "growth conditions" and the pellet processed for the determination of PHB (Raw & Slepnevsky, 1961) with the following modification: After solubilization of PHB with chloroform, two 10- $\mu$ l aliquots were removed. One portion was analyzed for unlabeled PHB by the spectrophotometric method described above (Raw & Slepnevsky, 1961). The other portion was subjected to liquid scintillation counting in a Beckman LS6000SC System. The determination of [ $14$ C]PHB was performed at least twice.

**Ammonia determination.** Preparation of medium samples (10 ml) and measurement of ammonia content with an Orion (Cambridge, MA, USA) electrode were as described previously (Sapir et al., 1979.). Ammonia determination was repeated at least twice.

**Glutamine synthetase determination.** Centrifuged cells were resuspended in 1 ml of 10 mM imidazole hydrochloride buffer (pH 7.4) containing 1 mM MgCl<sub>2</sub>. After sonication (Soniprep 150, New Brunswick, USA) at 4°C with four 45-sec pulses, GS activity was measured in the crude homogenate. In some

experiments, 0.5 mM L-methionine-S,R-sulfonamide (MS) was added to the culture medium together with labeled glutamine. MS is a potent inhibitor of GS (Rousse & Bernaudo, 1968). GS was measured (synthetase activity) as described by Hender et al. (Hender et al., 1977). The specific activity of GS is expressed as micromoles of  $\gamma$ -glutamylhydroxamate formed per min per mg of protein. GS I and GSII activities were distinguished by their relative heat stabilities as described previously (Darnew & Knetsch, 1977). GS determination was determined at least twice.

## RESULTS

**Glutamine metabolism in *R. etli* CE3 and in *R. meliloti* 1021 wild-type strains in the presence of L-[amide- $^{14}$ N]glutamine and [ $^{14}$ N]ammonium.** Incorporation of label derived from L-[amide- $^{14}$ N]glutamine into glutamine, acid, and into ammonium in *R. etli* CE3 wild-type strain was determined for cells grown in succinate-ammonium medium. The relative content of label in glutamine was found to decrease over thirty minutes following addition of the pulse. By 30 min, the label in glutamate, alanine, and ammonium amounted to 1.1, 11.3, and 84%, respectively, of the total (Table 1). Of interest is the finding that label in the  $\alpha$ -amino group of glutamine at 30 min was 18.4% of the total label in glutamine (Table 1). Apparently, as glutamine is catabolized, its amide nitrogen is lost as ammonium (Bernaldo & Gómez, 1966; Sudeep et al., 1987). In addition, via the action of GOGAT (Lemmerling et al., 1987) and a transaminase, some of this labeled amide nitrogen is incorporated into the  $\alpha$ -amino groups of glutamate and alanine, respectively. (Reductive  $^{15}\text{N}$ -amination of 2-oxoglutarate is unlikely to occur because *R. etli* CE does not contain functional NADPH-dependent GDH (Gleave et al., 1988). L-[amide- $^{14}\text{N}$ ]glutamine is then generated from L-[ $^{14}\text{N}$ ]glutamate by the action of GS. In summary, these findings indicate that ammonium is a source of both glutamine nitrogens in *Rhizobium etli*.

Additional evidence that ammonium nitrogen is a source of both glutamine nitrogens was obtained from analysis of the distribution of label after a pulse of [ $^{14}\text{N}$ ]ammonium was added to cultures of *R.*

*etli* and *R. meliloti* wild-type strains. After growth on succinate-ammonium medium the cells were centrifuged and resuspended in succinate medium lacking an external nitrogen source (see Methods). Five minutes after the pulse, considerable label was incorporated into glutamate, alanine and glutamine (Table 1, columns 2 and 3). Additionally, almost half the label in glutamine was present in its  $\alpha$ -amino group. This finding is in accord with the fact that GOGAT is present in both *R. etli* (above) and in *R. meliloti* (Gómez & Sánchez, 1980). Low expression of NADPH-dependent GDH occurs in *R. meliloti*, and the enzyme is non-functional since it does not grow in ammonium in the presence of 5 mM of methionine sulfone, an inhibitor of GOGAT activity (Gleave et al., 1988). Thus, as with *R. etli*, reductive  $^{15}\text{N}$ -amination of 2-oxoglutarate is probably not a factor in the production of [ $^{14}\text{N}$ ]glutamate from [ $^{14}\text{N}$ ]ammonium in *R. meliloti*.

**Succinate and glutamine oxidation in *R. etli* CE 3, *R. meliloti* 1021 wild-type and GS-mutants.** The oxidation of succinate in the presence of glutamine was reduced by 25% in *R. etli* CE 3 and by 40% in *R. meliloti* 1021 strain compared with oxidation in the presence of ammonium. Moreover, after 5 h of growth, the 1021 strain had consumed 1348  $\mu\text{mol}$  of succinate per mg of protein from the medium, whereas only 694  $\mu\text{mol}$  of glutamine per mg of protein had been utilized. This finding suggests that succinate is oxidized preferentially over glutamine in the strains studied.

As noted above, the synthesis of glutamine and its cycling are necessary for optimal utilization of carbon sources (Bernaldo & Mora, 1966; Bernaldo et al., 1986; Mora, 1990.). The possibility that glutamine synthase plays a similar role in *R. meliloti* 1021 wild-type and GS- mutants of this strain was investigated. *R. meliloti* wild type strain and the *R. meliloti* GS- mutant strain were grown on succinate-glutamine medium and the oxidation of [1,4- $^{14}\text{C}$ ]succinate to  $^{14}\text{CO}_2$  by these organisms was measured. Quantitative data are presented in Fig. 1A for the oxidation of succinate to  $\text{CO}_2$  by cultures grown for 5 h after a 30 min pulse of labeled

succinate. A minor effect was observed on the amount of succinate oxidized by the mutant lacking GSII. In contrast, lack of GSII resulted in a 45% decrease in succinate oxidation. Succinate oxidation was decreased by 82% in the mutant that lacked both GSII and GSIII (Fig. 1A). When MS was added to inhibit GSIII activity (Bogdan et al., 1990) in the double mutant, a small, further decrease (to 70% inhibition relative to control) in succinate oxidation was observed (Fig. 1A; see also below). The presence of exogenous glutamine and the lack of glutamine synthesis resulted in a reduction of succinate oxidation to 18% of that which occurred when succinate was the only carbon source (and ammonium is the nitrogen source), and *R. meliloti* is growing optimally.

The GS<sup>-</sup> mutant strains of *R. meliloti* 1021 growing on succinate-glutamine medium reduce succinate oxidation and increase their ability to oxidize glutamine. Glutamine is oxidized in the wild-type strain in the presence of succinate, and as mentioned above, succinate oxidation is reduced by 40% in succinate-glutamine medium compared to that in succinate-ammonium medium (Fig. 1B). Relatively more glutamine is oxidized to CO<sub>2</sub> in the absence of GSII, slightly more if GSII is lacking, and in a mutant lacking both enzymes the oxidation of this amino acid is increased by 76% over that of the wild-type strain (Fig. 1B). Oxidation of glutamine increases slightly when MS is added to the double mutant (Fig. 1B). In addition, the double mutant excretes more ammonium than does the wild-type strain grown in the presence of succinate-glutamine medium (Table 2). Therefore, when the synthesis of glutamine is limited, this amino acid is preferentially oxidized in comparison with succinate. This effect is reflected by a 4-fold increase in glutamine utilization (from 684 to 1389  $\mu\text{mol}/\text{mg of protein}/5 \text{ h}$ ) and by a decrease in succinate utilization (from 1348 to 237  $\mu\text{mol}/\text{mg of protein}/5 \text{ h}$ ) in the GSII<sup>-</sup>;GSIII<sup>-</sup> mutant strain. Importantly, in the presence of glutamine-only medium, a substantial increase (4-fold) occurs in glutamine oxidation compared with that in the presence of succinate-only medium (see legend to Fig. 1).

The growth rate of the *R. meliloti* GSII<sup>-</sup>;GSIII<sup>-</sup> double mutant strain in succinate-glutamine medium was 40% (i.e., 5 h doubling time) that of the wild-type strain. The lower growth rate of the double mutant was not due to lack of glutamine. The intracellular glutamine pool after 5 h growth is 50% higher than that of the wild-type strain. In addition, more ammonium was excreted by the GSII<sup>-</sup>;GSIII<sup>-</sup> double mutant than by the wild-type strain (Table 2). Therefore, some internal carbon limitation must be responsible for the suboptimal growth in succinate-glutamine medium of the double mutant GSII<sup>-</sup>;GSIII<sup>-</sup>. The present data indicate that the oxidation of succinate contributes less than that of glutamine to the growth of the double mutant in the presence of both substrates. The oxidation (albeit at a slow rate) of succinate in this double mutant strain may conceivably be due to the presence of another GS, namely GSIII (Bogdan et al., 1990). The addition of MS to the double mutant, however, resulted in only slightly lowered succinate oxidation (Fig. 1B). It is expected that GSIII will provide glutamine in only very limited amounts as indicated by the low rate of growth (8 h D.T.) of the double mutant in succinate-ammonium medium (data not shown).

**Synthesis of glutamine and incorporation of label derived from [<sup>14</sup>C]succinate into amino acids.** The synthesis of glutamine stimulated the incorporation of label derived from [1,4-<sup>14</sup>C]succinate into various amino acids (Fig. 1C). As a corollary, the incorporation of label into some amino acids was decreased in the GSII<sup>-</sup> mutant compared with that in the wild-type strain, and it was decreased further in the GSII<sup>-</sup> strain for all the amino acids determined (aspar, ser, gln, gly, and ala). In the GSII<sup>-</sup>;GSIII<sup>-</sup> double mutant strain, the relative incorporation of label into all the amino acids (except glycine) was decreased by 80% or more compared with that of the wild-type control. The presence of MS resulted in even lower incorporation of <sup>14</sup>C into amino acids in the double mutant strain. As found for *N. crassa* (Calderón et al., 1989; Calderón & Mora, 1985), the data obtained for *R. meliloti* wild-type strain regarding the incorporation of <sup>14</sup>C from [1,4-<sup>14</sup>C]succinate into glutamine in the presence

of glutamine (Fig. 1C), is additional evidence that this amino acid is recycled (Casals & Moller, 1968). The catabolism of glutamine produces ammonium which is assimilated by GS back into this amino acid; the glutamate formed from 2-oxoglutarate (which is derived from succinate through the TCA cycle), supplies the labeled precursor of glutamine. A decrease in overall activity of GS must therefore result in less incorporation of  $^{14}\text{C}$  into glutamine. Indeed, such a decrease was observed for the various GS mutants as shown in Fig. 1C. As noted above, both *R. eut* and *R. meliloti* lack functional NADPH-dependent GDH and ammonium is assimilated in these organisms by the GS-GOGAT pathway.

**Glutamine biosynthesis and incorporation of succinate- and glutamine-carbon into organic acids.** The GS<sup>-</sup>:GSII<sup>-</sup> strain grown in succinate-glutamine excreted 4- to 8-fold larger amounts of 2-oxoglutarate than did the wild-type strain and 9- to 12-fold greater amounts than did the single mutant strains in the absence and presence of MS, respectively (Table 3). Moreover, almost 2-fold increase of malic acid occurred in the GS<sup>-</sup>:GSII<sup>-</sup> strain in the presence of MS (Table 3). In addition, the GS<sup>-</sup>:GSII<sup>-</sup> mutant excreted more  $\gamma$ -hydroxybutyric acid ( $\gamma\text{-OHB}$ ) than did the single mutant GS<sup>-</sup> strain. The amount excreted was 3- and 9-fold higher in the absence and in the presence of MS, respectively (Table 3).  $\gamma\text{-OHB}$  is derived from glutamine through the consecutive conversion of glutamate to  $\gamma$ -aminobutyric acid ( $\gamma\text{-ABA}$ ), succinic acid semialdehyde (SAS) and finally to  $\gamma\text{-OHB}$  (Pierres-Samaniego et al., 1993).

As reported elsewhere (Bacarisse et al., 1995), *R. meliloti* 1021, as with other species of *Rhizobium*, accumulates poly- $\beta$ -hydroxybutyrate (PHB) when grown in the presence of succinate with ammonium or with glutamine (see also Table 4). A greater amount of the polymer is accumulated by the GS<sup>-</sup>:GSII<sup>-</sup> mutant than by the wild-type strain (Table 4) (Bacarisse et al., 1995). Thus, impairment of glutamine synthesis promotes the conversion of this amino acid not only to  $\gamma\text{-OHB}$  but also to  $\beta$ -hydroxybutyric acid ( $\beta\text{-OHB}$ ) (the precursor of

PHB) (Hardenack & Stadtman, 1963).  $\gamma\text{-OHButyryl-CoA}$  can be converted to  $\beta\text{-Hydroxybutyryl-CoA}$  ( $\beta\text{-OHB-CoA}$ ) (Hardenack & Stadtman, 1963). The incorporation of label derived from succinate into several of the above mentioned organic acids after 5 h growth was determined (Table 4). Labeling of  $\beta\text{-OHB}$  by succinate was greater than that by glutamine in the wild-type strain 1021. This finding is in accord with the preferential conversion of succinate to acetyl CoA and to  $\beta\text{-OHB}$  (Table 4) (Steinbuchel & Schlegel, 1991). In contrast, when the GS<sup>-</sup>:GSII<sup>-</sup> mutant strain was treated with MS, label was transferred from  $^{14}\text{C}$ succinate to  $\beta\text{-OHB}$  was diluted by 50-fold compared with that of the untreated wild-type strain. The opposite occurred with the label derived from  $^{14}\text{C}$ glutamine. In this case, label in  $\beta\text{-OHB}$  was increased by 60-fold compared with that in the untreated wild-type strain. Label in  $\beta\text{-OHB}$  in the untreated GS<sup>-</sup> mutant strains was intermediate between that of the wild-type and that of the double mutant strain treated with MS (Table 4). The decrease in label incorporated from  $^{14}\text{C}$ succinate into 2-oxoglutarate,  $\gamma\text{-OHB}$  and  $\beta\text{-OHB}$  in the GS<sup>-</sup>:GSII<sup>-</sup> double mutant strains with and without MS, when compared with the wild-type strain, can only partially be explained as a consequence of the increase in these acids that results from a higher rate of catabolism of glutamine (Table 4). For example, the dilution of label was 65-fold in 2-oxoglutaric acid and 50-fold in  $\beta\text{-OHB}$ . However, the concentration of these organic acids was increased 7- and 5-fold, respectively. Similarly, label in  $\gamma\text{-OHB}$  was diluted 10-fold but its concentration was increased 2-fold (Table 4). In contrast, the label in succinic acid was reduced 3-fold, but its concentration did not change appreciably. The data presented herein indicate that glutamine carbon is incorporated into different organic acids and that impairment of glutamine synthase increases the rate of degradation of the amino acid. Indeed, under conditions of impaired glutamine synthesis, carbon necessary for the synthesis of 2-oxoglutarate,  $\gamma\text{-OHB}$ , and  $\beta\text{-OHB}$  is derived more readily from glutamine than from succinate. The idea that glutamine is a more direct precursor of these organic acids than is succinate is supported by the fact that in the GS<sup>-</sup>:GSII<sup>-</sup>

strain, incorporation of label derived from [<sup>14</sup>C]succinate into  $\gamma$ -OHB and  $\delta$ -OHB in the presence of glutamine is diminished. The increase in labeling of  $\delta$ -OHB in the presence of succinate plus [<sup>14</sup>C]glutamine is also in accord with the greater utilization of glutamine in the double mutant.

One explanation for the fact that glutamine oxidation to  $\text{CO}_2$  is lower than that of succinate in the wild type *Rhizobium* is that this amino acid can be converted to glutamate and then decarboxylated to  $\gamma$ -aba, which in turn is converted to SAS,  $\gamma$ -OHB,  $\delta$ -OHB $\alpha\beta$  and  $\beta$ -ketoadipate (Brewer & Mirell, 1980; Mirell et al., 1991). The 2-oxoglutarate derived from glutamine is a precursor of succinate in *Rhizobium*. When grown in the presence of glutamine, succinate is present in *R. meliloti* and is excreted in high amounts to the medium after 10 h (data not shown).

**The role of GS I and GS II in using glutamine as a nitrogen and/or carbon source.** Glutamine synthesis occurs even when glutamine and succinate are present in the medium. *R. meliloti* 1021 strain grows in succinate-glutamine medium with a 3 h D.T. Under these conditions, GSII is induced during the first 6 h, during which GS I activity is decreased. At later times, when GSII activity is diminished, GS I activity is induced (Fig. 2A). Similar changes in GS activity occur with *R. etli* CE 3 strain (Fig. 2A) except that GS I and GSII activities are higher. Evidently, GSII is induced when glutamine, in addition to succinate, is present. However, when *R. meliloti* 1021 and *R. etli* CE 3 wild-type strains are cultured in the presence of glutamine as the sole carbon and nitrogen source, growth is slower (6 h D.T.) and no induction of GSII occurs, and GS I activity decreases during the first 12 h to increase slightly thereafter (Fig. 2B). Under these conditions of growth in glutamine-only medium, and in contrast to the case in which succinate and glutamine are present, ammonium is excreted into the medium (Table 2) (Bardos & Calderón, 1988). In addition, more ammonium and 2-oxoglutarate are excreted when *R. meliloti* GS I:GSII is grown in the presence of glutamine-only medium than in the presence of glutamine-succinate medium (data not

shown).

## DISCUSSION

In contrast to many other bacteria, succinate is a good carbon source in *Rhizobium* and is effectively oxidized to  $\text{CO}_2$ . *R. etli* CE 3 and *R. meliloti* 1021 strains grow optimally on MM supplemented with succinate-ammonium and only slightly less well if ammonium is replaced by glutamine. Glutamine when used as a nitrogen source in the presence of succinate is also oxidized to  $\text{CO}_2$  (Fig. 1 and Table 4). In the presence of glutamine, the succinate oxidation to  $\text{CO}_2$  is decreased by 25 and 40% in *R. etli* and in *R. meliloti*, respectively. Apparently, oxidation of glutamine substitutes for that of succinate. Of importance is the finding that when glutamine is used as the sole nitrogen source only minor amounts of ammonium are excreted to the medium (Table 2). If glutamine is utilized as the carbon and nitrogen source the growth rate of the CE 3 and 1021 strains is 40% of that which occurs in the presence of succinate and ammonium, and ammonium is excreted to the medium (Table 2). This finding indicates that a limitation to carbon use occurs in the presence of glutamine-only medium. The data clearly show that succinate is a better carbon source than is glutamine.

The fate of the label derived from L-[amino-<sup>14</sup>N]glutamine and from [<sup>14</sup>N]ammonium shows that nitrogen in the amide group of glutamine has two fates: a) incorporation into the  $\alpha$ -amino groups of glutamate, alanine and glutamine, and b) removal as ammonium and efficient reincorporation into the amide group (recycling) (Table 1). This metabolic fate of the amide nitrogen is in accord with the presence of a glutamine transaminase,  $\alpha$ -amidase pathway, glutaminase (Mirell & Calderón, 1986; Braga et al., 1990), OOGAT (Bravo & Mirell, 1988), and a transaminase. Labeling of the  $\alpha$ -amino groups of glutamate and glutamine does not require the presence of GDH and, as mentioned above, functional biosynthetic NADPH-dependent GDH activity is absent in *R. etli* CE 3 (Bravo et al., 1988; Bravo & Mirell, 1988). Thus, recycling of glutamine occurs in CE 3 in a similar fashion to that in *N. crassa*. As is the case with *N. crassa*, intracellular glutamine is labeled

when a pulse of  $[1,6-^{14}\text{C}]$ succinate is applied to *R. meliloti* growing in the presence of glutamine (Fig. 1C). This finding is also evidence for simultaneous synthesis and degradation of glutamine in *R. meliloti* (Fig. 1C). The labeling of glutamine was drastically reduced in the GS<sup>-</sup> mutant strain. In this context, it is relevant to note that in *R. meliloti* and *R. etli* wild-type strains grown in succinate-glutamine medium, GS<sup>I</sup> activity is decreased whereas GS<sup>II</sup> activity is induced compared to the levels exhibited by these organisms grown on succinate-ammonium medium (Fig. 2A) (Braive & Miers, 1988). However, when glutamine is the sole carbon and nitrogen source neither enzyme is induced (Fig. 2B). Under these conditions, glutamine is degraded but its synthesis is reduced, a process that satisfies carbon and energy for other metabolic needs (Calderón & Braive, 1989). The lack of induction of GS<sup>I</sup> in the absence of succinate suggests a role for this organic acid in the induction of this enzyme. The data also emphasize the coupling of carbon utilization to the synthesis of glutamine primarily by GS<sup>II</sup> (Fig. 2A and B, and see below). It is also relevant that in *R. etli*, GS<sup>II</sup> activity (but not GS<sup>I</sup> activity) is induced in the presence of ammonium as sole nitrogen source (Braive & Miers, 1988).

The excretion of  $\gamma$ -OHB in the I021 and CE 3 strains (Table 3 and data not shown) indicates that glutamine after conversion to glutamate (Braive & Calderón, 1988) is decarboxylated and that the  $\gamma$ -aba so formed is the source of this hydroxy acid (Mardones & Stadtman, 1963; Müller et al., 1991). Accumulation of PHB in the succinate-glutamine medium (Table 4) is due to the conversion of  $\gamma$ -OHB to  $\beta$ -OHB (Mardones & Stadtman, 1963).

Metabolism of glutamine and succinate is interlinked as indicated by the way glutamine synthesis affects succinate oxidation. In the presence of glutamine, succinate oxidation is reduced to approximately 50% of the wild-type (GS<sup>I</sup>, GS<sup>II</sup>- and GS<sup>I</sup>:GS<sup>II</sup>-) compared with that of the wild-type strain (Fig. 1A). In the presence of glutamine, but absence of GS activity, succinate oxidation is greatly reduced compared with the condition in which

succinate is the only carbon source and ammonium is the only nitrogen source. Absence of GS activity affects not only succinate oxidation but also glutamine catabolism. This phenomenon is reflected by an increase in ammonium excretion, 2-oxogluutarate production and glutamine oxidation by the GS<sup>I</sup>:GS<sup>II</sup>- mutant strain (Tables 2, 3 and Fig. 1B).

The double mutant GS<sup>I</sup>:GS<sup>II</sup>- grows with a doubling time of 5 h in succinate-glutamine medium. This rate is similar to that exhibited by the wild-type strain grown in glutamine-only medium. The GS<sup>I</sup>:GS<sup>II</sup>- mutant utilizes the succinate present in the medium, although at a lower rate than that of the wild-type strain (Fig. 1A and Table 4). In glutamine medium the wild-type strain can couple carbon oxidation with glutamine synthesis (Fig. 2B), something that can not happen in the double mutant whereas glutamine synthesis is greatly curtailed. Then the low rate of growth of the GS<sup>I</sup>:GS<sup>II</sup>- strain grown in glutamine-only medium (7 h D.T.) may be rationalized if it is assumed that the double mutant can not synthesize glutamine, which in turn impairs oxidation of the limited amount of succinate derived from glutamine.

The considerable dilution of label from succinate to some organic acids in the GS<sup>I</sup>:GS<sup>II</sup>- mutant strain (Table 4) is presumably due to enhanced glutamine utilization and catabolism and to a lower utilization of succinate. The relative increase in the amount of intracellular organic acids in the double mutant grown in the presence of succinate-glutamine is several-fold lower than the relative dilution of the label in the extracellular organic acids derived from  $[^{14}\text{C}]$ succinate (Table 4). Simple dilution does not explain the decrease in specific radioactivity. The level of glutamine and its synthesis are two factors regulating the utilization of succinate and co-ordination of the regulation of these two substrates. However, other factors may be involved in this regulation. For example, pyruvate dehydrogenase activity in *Rhizobium leguminosarum* is decreased by glutamate (Armas et al., 1986). Moreover, glutamate is excreted to the medium when *R. meliloti* and

*R. etii* wild-type strains are grown on succinate-glutamine medium (data not shown).

Two glutamine cycles may operate in *Rhizobium*. Glutamine may be catabolized to CO<sub>2</sub> and NH<sub>4</sub><sup>+</sup>, and the NH<sub>4</sub><sup>+</sup> so formed may be incorporated into glutamine amide by the action of GS. The GS-GOGAT pathway provides for the synthesis of the glutamine carbon skeleton and its  $\alpha$ -amino group. Energy is expended where the carbonyl and nitrogens of glutamine are turned over in the GS-GOGAT pathway (Malling, 1994). This pathway also consumes 2-oxoglutarate. Indeed, this organic acid is excreted in large amounts in the GS- mutant strains (Table 3). The expenditure of energy and consumption of 2-oxoglutarate are two demanding processes that must be considered in any comprehensive theory that links glutamine cycling (and especially its synthesis) to utilization and oxidation of succinate (Kaneko *et al.*, 1990). Impairment of the conversion of succinate carboxyl to CO<sub>2</sub> in the GSI-GSII- strain and the slow rate of growth of this mutant in succinate-ammonium medium are in accord with the importance of 2-oxoglutarate consumption for the oxidation of succinate through the TCA cycle. Presumably, the mutant cells are still viable because of the presence of low levels of GSIII. Interestingly, the double mutant grown on succinate-ammonium medium accumulated more PHB (5 mg) than did the wild-type strain (2-3 mg) over a period of 17 h. Evidently, the reduction in the utilization of 2-oxoglutarate by the GS-GOGAT pathway results in greater production of acetyl-CoA for PHB synthesis.

Amino acid cycling may be relatively widespread among microorganisms. For example, in the presence of glucose, *E. coli* simultaneously synthesizes and degrades tryptophan (Tessédyck *et al.*, 1991). In another example, glutamine cycling has been proposed to play a role in regulating glycolytic flux in *S. cerevisiae* (Perez-Sarmiento *et al.*, 1998).

#### ACKNOWLEDGMENTS.

This work was supported by DGAPA Grant No IN304698 and IN1003393 from the Universidad

Nacional Autónoma de México and by NIH grant DK 16739 (to A.J.L.C.).

We thank Georgina Hernández and Yolanda Mora for critically reviewing the manuscript, to Sandra Contreras and Luis Ma. Martínez for technical assistance in the determination of organic acids and amino acids, and to Samantha Zapata for helping in the preparation of the manuscript. We also wish to thank Dr. Ronald Finn for providing <sup>15</sup>N isotope and the Cyclotron Facility Memorial Sloan Kettering Cancer Center, New York.

#### REFERENCES

- Arrieta, R., Gleasen, A. R., McKay, L. A. & Denevert, M. J. (1988). Properties of double mutants of *Rhizobium leguminosarum* which are defective in the utilization of dicarboxylic acids and sugars. *J Gen Microbiol* **133**, 2743-2747.
- Bender, R. A., Janzen, E. A., Beznick, A. D., Steinberg, L., Peer, P. & Margalit, B. (1977). Biochemical parameters of glutamine synthetase from *Rhizobium capsulatum*. *J Bacteriol* **132**, 1001-1009.
- Breve, A., Beznick, B. & Mora, J. (1988). Introduction of the *Escherichia coli* gdhA gene into *Rhizobium phaseoli*: Effect on nitrogen fixation. *J Bacteriol* **170**, 985-988.
- Breve, A. & Mora, J. (1988). Ammonium assimilation in *Rhizobium phaseoli* by the glutamine synthetase-glutamate synthase pathway. *J Bacteriol* **170**, 989-994.
- Caldernas, J., Beznick, B. & Mora, J. (1988). N-Amidase pathway in the degradation of glutamine in *Neurospora crassa*. *J Bacteriol* **170**, 1772-1776.
- Caldernas, J. & Mora, J. (1988). Glutamine cycling in *Neurospora crassa*. *J Gen Microbiol* **131**, 3237-3242.
- Caldernas, J. & Mora, J. (1989). Glutamine assimilation pathways in *Neurospora crassa* growing on glutamine as sole nitrogen and carbon source. *J Gen Microbiol* **135**, 2699-2707.
- Chadim, T. A., Martin, G. S. & Chelim, R. E. (1987). Differential transcription of the two glutamine synthetase genes of *Bradyrhizobium japonicum*. *J Bacteriol* **169**.

- Deneke, B. A. & Knotts, R. H. (1977). Two forms of glutamine synthetase in free-living root-nodule bacteria. *Biochem Biophys Res Commun* **78**, 554-559.
- de Bruijn, P. J., Rosseel, B., Schenck, M., Meijer, P., Messens, E., Sante, W. V., Assche, P. M. & Schell, J. (1986). *Rhizobium meliloti* 1021 has three differentially regulated loci involved in glutamine biosynthesis, none of which is concerned for symbiotic nitrogen fixation. *J Bacteriol* **171**, 1673-1682.
- Domínguez, G. & Cárdenas, J. (1986). Role of the glutamine transaminase-aconitase pathway and glutaminase in glutamine degradation in *Rhizobium* cells. *Microl* **141**, 589-595.
- Domínguez, G., De Peña, G., Muñoz-Zepeda, A. & Cárdenas, J. (1988). The role of glutaminase in *Rhizobium* cells: Studies with a new mutant. *Microl* **141**, 2463-2469.
- Domínguez, G., Sánchez-Linares, L., Muñoz-Zepeda, A., De Peña, G., Muñoz-Zepeda, A. & Cárdenas, J. (1989). Identification of two glutaminases in *Rhizobium* cells. *Bioch Gen* **86**, 483-490.
- Domínguez, G., Domínguez, M., Williams, K. & Moore, J. (1989). Fermentative and aerobic metabolism in *Rhizobium* cells. *J Bacteriol* **171**, 3096-3099.
- Dugay, G., Moro, S., Wyllie, M., Moore, R. & Sasseville, M. (1986). A previously unrecognized glutamine synthetase expressed in *Klebsiella pneumoniae* from the *glnT* locus of *Rhizobium leguminosarum*. *Mol Gen Genet* **208**, 513-515.
- Dugay, G., Palmiter, R. & Moore, J. (1979). Glutamine metabolism in nitrogen-starved conidia of *Neurospora crassa*. *J Gen Microbiol* **115**, 36-45.
- Flores-Guerrero, B., Olivares, M. & Cárdenas, J. (1989). Glutamine synthetase is a regulatory signal controlling glucose catabolism in *Saccharomyces cerevisiae*. *J Bacteriol* **171**, 7705-7708.
- Gardiner, J. E. & Stadman, T. C. (1988). Metabolism of  $\omega$ -amino acids. IV.  $\gamma$ -Aminobutyrate fermentation by cell-free extracts of *Clostridium acidiacetylicum*. *J Biol Chem* **263**, 2088-2093.
- Helling, R. B. (1984). Why does *Escherichia coli* have two primary pathways for synthesis of glutamate? *J Bacteriol* **176**, 4684-4688.
- Hermandez, G. & Moore, J. (1988). Glutamine synthesis regulates sucrose catabolism in *Neurospora crassa*. *J Gen Microbiol* **132**, 3315-3323.
- Hermandez, G., Moore, J. & Moore, J. (1988). Regulation of glutamine synthesis by glycine and serine in *Neurospora crassa*. *J Bacteriol* **169**, 133-138.
- Lew, J. H. & Shepelev, R. A. (1981). Assay of poly- $\beta$ -hydroxybutyric acid. *J Bacteriol* **152**, 33-36.
- Lomantza, A., Calderon, J., Hermandez, G. & Moore, J. (1987). Functional analysis of ammonium assimilation enzymes in *Neurospora crassa*. *J Gen Microbiol* **133**, 2333-2340.
- Mateos, E. & Malpica, Y. G. (1989). In vivo cloning and characterization of the gab-CTDP gene cluster of *Escherichia coli* K-12. *J Bacteriol* **171**, 3250-3256.
- Miller, R. W., Moore, D. G. & Joy, K. (1991). Glutamate and  $\gamma$ -aminobutyrate metabolism in isolated *Rhizobium meliloti* bacteroids. *Mol Plant-Microbe Interact* **4**, 37-45.
- Moore, J. (1988). Glutamine metabolism and cycling in *Neurospora crassa*. *Microbiol Rev* **52**, 293-304.
- Moore, J., Salcedo, R. & Domínguez, G. (1979). Regulation of arginase activity by intermediates of the arginine biosynthetic pathway in *Neurospora crassa*. *J Bacteriol* **131**, 570-577.
- Oborny, M. B. & Signer, B. B. (1986). Ammonium assimilation in *Rhizobium meliloti*. *J Bacteriol* **168**, 1234-1240.
- Osorio, R. A. & Meijer, A. (1988). Phosphorylation of methionine sulfoximine by glutamine synthetase. *Proc Natl Acad Sci USA* **85**, 164-170.
- Stadman, T. C. & Schlegel, M. G. (1981). Physiology and molecular genetics of poly( $\beta$ -hydroxy-alcanoic acid) synthesis in *Acinetobacter calcoaceticus*. *Mol Microbiol* **5**, 193-207.
- Vasquez, C., Moore, V. & Goldstein, P. (1981). Physiological studies of tryptophan transport and tryptophanase operon induction in *Escherichia coli*. *J Bacteriol* **173**, 6009-6017.

## FIGURE LEGENDS

**Fig. 1.** Determination of  $^{14}\text{CO}_2$  and  $^{14}\text{C}$  incorporated into amino acids from wild-type and GS mutant strains of *R. meliloti*. Cells were grown in 10 mM succinate-10 mM glutamine medium for 5 h and the label was added to a sample of the cultures for 30 min as stated in Methods. Panel a:  $^{14}\text{CO}_2$  from [1.4- $^{14}\text{C}$ ]succinate. Panel b:  $^{14}\text{CO}_2$  from [ $\text{U}^{14}\text{C}$ ]glutamine.  $^{14}\text{CO}_2$  evolution in the wild-type strain was 392,211 and 92,211 c.p.m. ( $\text{mg protein}^{-1}$ ), respectively. These values were taken as 100 %. Panel c:  $^{14}\text{C}$  incorporated into amino acids from [1.4- $^{14}\text{C}$ ]succinate. Wild-type specific activity (c.p.m. nmol $^{-1}$ ) of amino acids was: 1. Aspartate: 7.710; 2. Threonine, plus serine: 3.700; 3. Glutamate: 680; 4. Glutamine: 630; 5. Glycine: 2,840, and 6. Alanine: 1,810. wild-type specific activity incorporated into amino acids was taken as 100 % with the exception of 1. Aspartate: 8.742 and 6. Alanine: 1.886, respectively, which were higher in the GS-mutant strain.

**Fig. 2.** GS specific activities during growth of *R. meliloti* 1021 and *R. etli* CES under different conditions. Specific activities of GS I (○, ◊) and GS II (□, ▨) measured by its synthetase activity, during growth of *R. meliloti* 1021 (open symbols) and *R. etli* CES (closed symbols). Panel a: growth on MM with 10 mM succinate-10 mM glutamine medium. Panel b: growth on MM with glutamine as sole nitrogen and carbon source.

TABLE 1.  $^{15}\text{N}$  Distribution of label derived from L-(amide- $^{15}\text{N}$ )glutamine and [ $^{15}\text{N}$ ]ammonium among various metabolites\*.

Metabolite	Percentage of label		<i>R. solani</i> 1031 5 min label
	From L-(amide- $^{15}\text{N}$ )glutamine	From [ $^{15}\text{N}$ ]ammonium	
Glutamine <sup>a</sup>	3.3	14.2	6.0
Glutamate	1.1	19.6	16.2
Alanine	11.3	21.9	7.7
Ammonium	84.3	33.9	58.7
Glutamine (amine)	(18.4) <sup>b</sup>	(49.3) <sup>b</sup>	(44.0) <sup>b</sup>

\* Growth, labelling and sampling as stated in Methods.

<sup>a</sup>  $^{15}\text{N}$  label in amine plus amide.

<sup>b</sup> Percentage of label in glutamine present in the  $\alpha$ -amino group.

The total label incorporated into amino acids and ammonium was taken as 100 %.

TABLE 2. Ammonium excretion from different *Rhizobium* strains.

Conditions*			Strains			
	<i>R. meliloti</i>	1031	<i>R. meliloti</i>	CBS-CBS-	<i>R. etii</i>	CBS
Time (h)	4	8	4	8	4	8
Succinate-Glutamine	0.2	0.1	9.0	18.0	0.1	0.2
Glutamine#	3.9	3.7	N.D.+	N.D.	0.8	2.2

- *Rhizobium* strains were grown in 10 mM succinate- 10 mM glutamine medium as described in Methods.
- Not determined.
- # Glutamine (10 mM) as carbon and nitrogen source.

Table 2. Labelling and accumulation of organic acids in *R. meliloti* 1081 and GS<sup>r</sup>-mutant strains grown in [<sup>14</sup>C]succinate-glutamine medium<sup>a</sup>.

Intracellular Organic acids	Strains							
	1081		GS <sup>r</sup>		GS <sup>r</sup>		GS <sup>r</sup> ;GS <sup>r</sup> +MS <sup>b</sup>	
	a	b <sup>c</sup>	a	b	a	b	a	b
2-oxoglutaric acid	4.05	9.64	4.00	12.78	—	—	0.12	4.26
succinic acid	50.00	193.00	38.70	112.00	43.30	120.00	22.20	490.00
$\gamma$ -OH butyric acid	4.36	10.00	3.42	5.41	2.99	11.70	0.44	17.00
$\beta$ -OH butyric acid	2.98	7.80	1.10	11.60	0.67	14.80	0.19	24.70
$\beta$ -OH butyric acid	0.04	7.00	0.11	10.20	0.35	13.70	1.76	25.70
							2.48	35.60

- *R. meliloti* strains were grown in 10 mM succinate and 10 mM glutamine medium. At 5 h, 0.2  $\mu$ Ci ml<sup>-1</sup> (7.4 kBq ml<sup>-1</sup>) each of [1,4-<sup>14</sup>C] and [2,3-<sup>14</sup>C]succinate were added and 30 minutes later the amount of organic acids and the radioactivity were measured.
- Methionine sulphoxide concentration was 1.0 mM.
- a: Specific radioactivity is expressed in c.p.m. nmol<sup>-1</sup>.
- b: Concentration is expressed as nmol (mg protein)<sup>-1</sup>.
- c:  $\beta$ -OH butyric acid present in poly- $\beta$ -hydroxybutyrate (PHB) labelled with [<sup>14</sup>C]succinate as above.
- d:  $\beta$ -OH butyric acid present in PHB labelled with [<sup>14</sup>C]glutamine as described in Methods.

TABLE 4. Excretion of organic acids from *R. meliloti* 1031 and GS<sup>-</sup> mutant strains grown in succinate-glutamine medium.

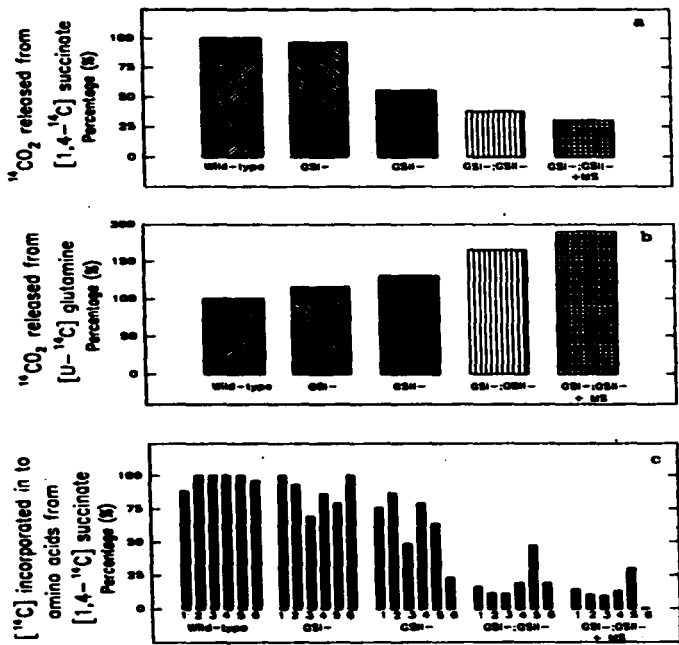
Extracellular Organic Acids	Strains				
	1031	GS <sup>-</sup>	GS <sup>-</sup>	GS <sup>-</sup> GS <sup>-</sup>	GS <sup>-</sup> GS <sup>-</sup> + MS <sup>-</sup>
Concentration in $\mu$ mol (mg protein) <sup>-1</sup>					
2-Oxoglutaric acid	2.05	1.35	1.17	8.94	12.10
Malic acid	1.15	0.61	0.95	1.50	2.03
T(OHB)	N.D. <sup>a</sup>	0.39	0.25	0.98	3.23

\* *R. meliloti* strains were grown in 10 mM succinate and 10 mM glutamine medium as described in Methods.

<sup>a</sup> Methionine sulfonimide 1.0 mM.

<sup>b</sup> Not detected.

Fig. 1



ESTA TESIS  
SALIR DE LA BIBLIOTECA

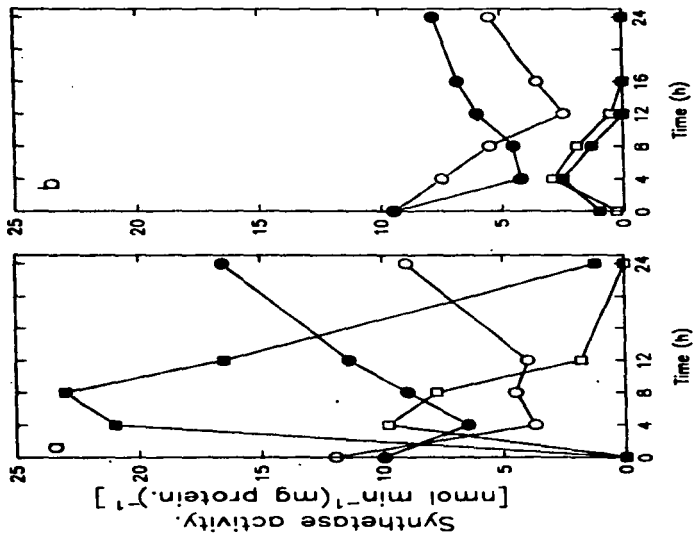


Fig. 2

#### **4.- RESULTADOS ADICIONALES.**

**4.1- AVANCES DEL TRABAJO DE INVESTIGACION  
TITULADO: "EL PAPEL DE LA SINTESIS DE  
POLIBETAHIDROXIBUTIRATO (PHB) EN EL METABOLISMO  
DE CARBONO DE *Rhizobium* sp".**

#### 4.1.- EL PAPEL DE LA SÍNTESIS DE POLIBETAHIDROXIBUTIRATO (PHB) EN EL METABOLISMO DE CARBONO DE *Rhizobium etli*.

Una gran variedad de microorganismos acumulan compuestos para almacenamiento de carbono y energía, uno de estos compuestos ampliamente distribuido es el polis- $\beta$ -hidroxibutirato (PHB). El conocimiento del papel que el PHB juega como un polímero de reserva en la sobrevivencia, proliferación, fijación de nitrógeno, metabolismo de carbono de las rhizobacterias en la rhizosfera es de importancia fundamental.

A pesar de que no todas las bacterias son capaces de acumular PHB se ha observado que con la expresión heteróloga de las vías de síntesis de PHB de manera interesante, algunas cepas bacterianas que originalmente no pueden acumularlo, se vuelven hábiles para sintetizarlo cuando son cultivadas en fuentes de carbono tales como glucosa, lactato, glicerol y hexosas (Anderson et al., 1990; Timm et al., 1990; Huijberts et al., 1992). Esto sugiere que, en principio, todo organismo, hasta posiblemente plantas y animales, pueden ser capaces de sintetizar PHB si se adicionan un limitado número de genes a través de las técnicas de ingeniería genética, que incluyen *rbbA*, *rbbB* y *rbbC*.

La síntesis de PHB involucra a tres enzimas codificadas por tres genes ampliamente representados en todas las bacterias que sintetizan PHB. La tiolasa (producto de *rbbA*) que cataliza la reacción enzimática que es negativamente regulada por uno de sus productos, la coenzimaA (NADCoA), la cual es también un producto cuando la acetyl-CoA entra al ciclo TCA en condiciones óptimas de crecimiento. Dos moléculas de Acetyl-CoA son convertidas en acetooacetil-CoA por esta enzima. El gene *rbbB* que codifica para una acetooacetil-CoA reductasa dependiente de la NADPH. Esta enzima es diferente de la reductasa descrita en la degradación  $\beta$ -oxidativa de los ácidos grasos. Y por último, el producto del gene *rbbC* que es la polimerasa que utiliza como substrato el producto de la acetooacetil-CoA reductasa produciendo PHB y liberando coenzimaA. En algunas instancias, un cuarto gene ha mostrado ser necesario en la óptima acumulación de PHB. *rbbE*, este gene ha sido reportado en *Chamaesium zincatum* y *Zygnematocystis glaciata* y su papel parece estar relacionado en la polymerización del PHB (Liebbergessell et al., 1992, 1993). Recientemente el producto de un ORF, que está cerca del locus del gene de la PHB sintasa fué localizado en la superficie del gránulo (Pieper-Färt et al., 1994). Mutantes en genes no directamente involucrados en la síntesis de PHB que acumulan niveles más bajos que las cepas silvestres (Pries et al., 1991, 1992) y la presencia de ORFs estructuralmente ligados a *rbbA*, *rbbB* y *rbbC* (Steinbüchel et al., 1992) sugieren que otros genes están involucrados en la síntesis de PHB.

A la fecha, en algunas bacterias como *Rseudomonas putida* han sido identificadas tres rutas principales en la síntesis de PHB y polihidroxialcanoatos (PHA) (Huijberts et al., 1992; 1994), además de la ruta clásica. La presencia de estas rutas ha sido observada en células cultivadas en una fuente de carbono simple como glucosa y/o ácidos grasos. Las rutas mencionadas son las siguientes: i) La

"elongación de la cadena de ácidos grasos" que es comparable a la ruta principal para la síntesis de monómeros de PHB, en la cual la acil-CoA es una de las dos moléculas de acetil-CoA. En esta ruta se ha encontrado que las unidades monoméricas del PHB son incluso más largas que los ácidos grasos que son utilizados como substratos (Brandl et al., 1988; Huisman et al., 1989); iii) La degradación de ácidos grasos por medio de la  $\beta$ -oxidación; es la vía principal cuando los ácidos grasos son usados como substratos; iv) La biosíntesis "de novo" de ácidos grasos: es la ruta principal cuando las fuentes de carbono en que son cultivadas las bacterias son fuentes de carbono simples.

La acumulación del políester de reserva PHB ha sido ampliamente documentada (Anderson et al., 1990). La presencia de éste en varias especies de *Rhizobium* durante la simbiosis (Wong y Evans 1971; Goodchild D.J. 1966; McDermott et al., 1989) y en vida libre (de Vries et al., 1986; Tombolini y Nuti 1989; Tavernier et al., 1997) ha sido reportada. A pesar de que se han propuesto numerosos papeles para el PHB en *Rhizobium*, hasta el momento ninguno de estos ha sido claramente demostrado.

Sabemos que en *Bacillus* el PHB es sintetizado en la fase estacionaria y que en la fase exponencial es sintetizado y degradado continuamente en condiciones en las cuales no se acumula este polímero (Encarnación, et al., 1995). Esto sugiere la presencia de un mecanismo regulatorio muy sensible que controla la acumulación y degradación de PHB.

Esta situación es especialmente favorable en organismos con una baja eficiencia en el ciclo TCA. La acumulación de PHB consume energía, carbono y poder reductor, esta utilización puede prevenir la inhibición por NADH de varias enzimas del ciclo de Krebs. Esto explicaría como aeróbios estrictos como *Bacillus*, pueden mantener un ciclo de Krebs funcional con la baja concentración de oxígeno requerida para la fijación de nitrógeno (Encarnación et al., 1995).

Nosotros hemos reportado que *Bacillus* y otros *Rhizobium* tienen un metabolismo de tipo fermentativo cuando son subcultivados en MM (Encarnación et al 1995). Este metabolismo se caracteriza por: 1) una reducción en la tasa de crecimiento; 2) Excreción de ácidos orgánicos; 3) disminución en la actividades de la enzima piruvato carboxilasa (PC), piruvato deshidrogenasa (PDH), oxoglutarato deshidrogenasa (OGDH), y fosfoenolpiruvato carboxiquinasa (PCKA); 4) acumulación de PHB; y 5) agregación celular.

Para el análisis del papel de la síntesis de PHB en *Bacillus* hemos utilizado la mutante en la PHB-sintasa CAR1 (Fig.2) (Cevallos et al., 1996) la cual fué construida por inserción del cassette::QSP en el gene de la PHB sintasa (Fig.1).

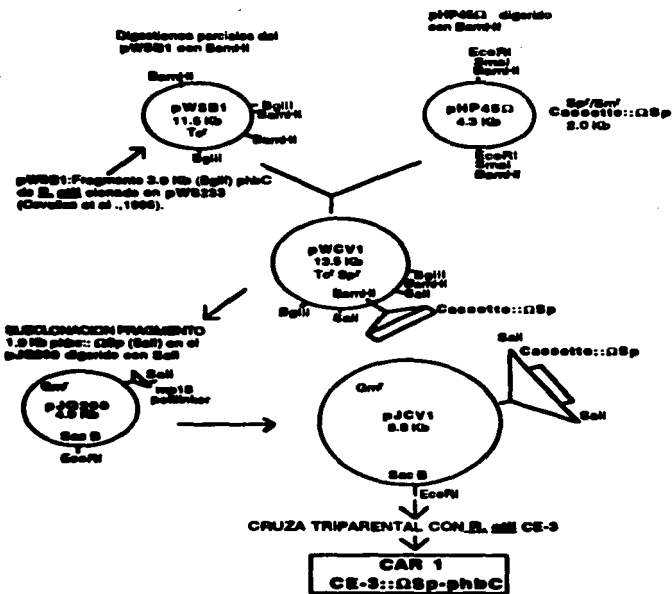


Fig.1 Obtención de la mutante PMB- por inserción del cassette::QSp en el gene *mhc* de *S. cerevisiae*.

Esta mutante no acumula PHB en ninguna de las condiciones probadas, excreta al medio altas concentraciones de aminoácidos y ácidos orgánicos, (Cevallos et al., 1996) y lo más sobresaliente es que crece pobremente en piruvato o glucosa como fuente de carbono, los cuales oxida en un 30 y 70%, respectivamente (Fig.2).

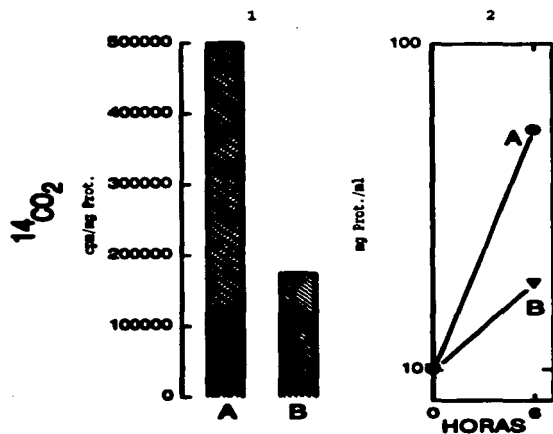


Fig. 2. Oxidación de  $^{14}\text{C}$ -Glucosa de las cepas de *Bacillus* CE3 y la mutante *phbc-* (CAR1). Las cepas se crecieron en  $^{14}\text{C}$ -glucosa y  $\text{NH}_4\text{Cl}$  10 mM c/u, a las 6h se midió el crecimiento y la incorporación de  $^{14}\text{C}$  en  $^{14}\text{CO}_2$ . (1) Cuentas por min/mg Prot. de  $^{14}\text{C}$ -glucosa- $\text{CO}_2$ ; (2) crecimiento en mg Prot./ml de la cepa silvestre CE3 (A) y la mutante *phbc-* (B).

Además presenta una baja relación de  $\text{NAD}^+/\text{NADH}$ , algo que hemos relacionado con la síntesis nula de PHB ya que ha sido documentado que la presencia de nucleótidos reducidos en altas concentraciones en el interior de la célula producen inhibición de las enzimas del ciclo TCA, como la piruvato deshidrogenasa,  $\alpha$ -cetoglutarato deshidrogenasa, citrato sintasa, e isocitrato deshidrogenasa. La cepa mutante *phbc*<sup>-</sup>, CAR1, crecida en piruvato o glucosa presenta una baja actividad de PDM, lo que puede explicar el crecimiento deficiente de la cepa mutante en piruvato o glucosa como fuente de carbono. (Fig.3)

Con la finalidad de conocer cuales son los posibles mecanismos regulatorios que impiden a esta cepa crecer en piruvato o glucosa como fuente de carbono hemos mutagenizado al azar con el

pSUP5011 (Tn5 Mob) a la cepa CARI obteniendo tres aislados, (VEM58, VEM57 y VEM34). Estas cepas no acumulan PMS y crecen óptimamente en piruvato o glucosa, incluso mejor que la cepa silvestre (Fig.3).

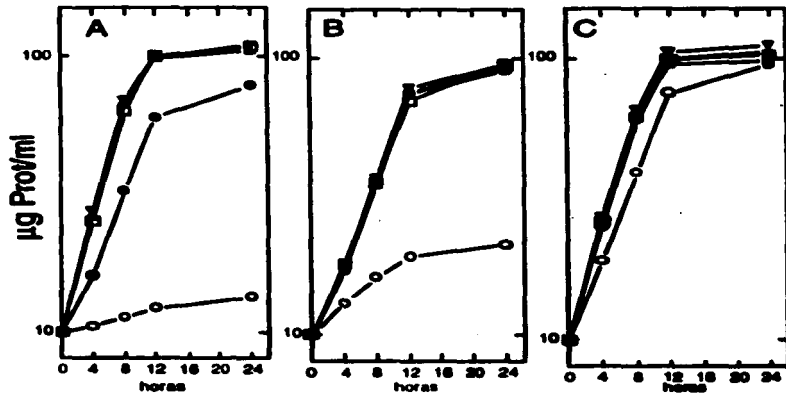


Fig. 3. Crecimiento de las cepas de *Escherichia coli* C33, phbC::VEM58, VEM57, VEM34 en MM con diferentes fuentes de carbono. Panel A: Piruvato-ammonio (10mM c/u); Panel B: Glucosa-ammonio (10mM c/u); Panel C: Succinato-ammonio (10mM c/u). Caja silvestre C33 (●); mutante phbC:: (○); phbC::Dep.tn5 (VEM34) (○); phbC::Dep (VEM57) (△); phbC::Dep (VEM58) (▽).

Además de expresar una mayor actividad de piruvato deshidrogenasa (PDH) (Fig.4).

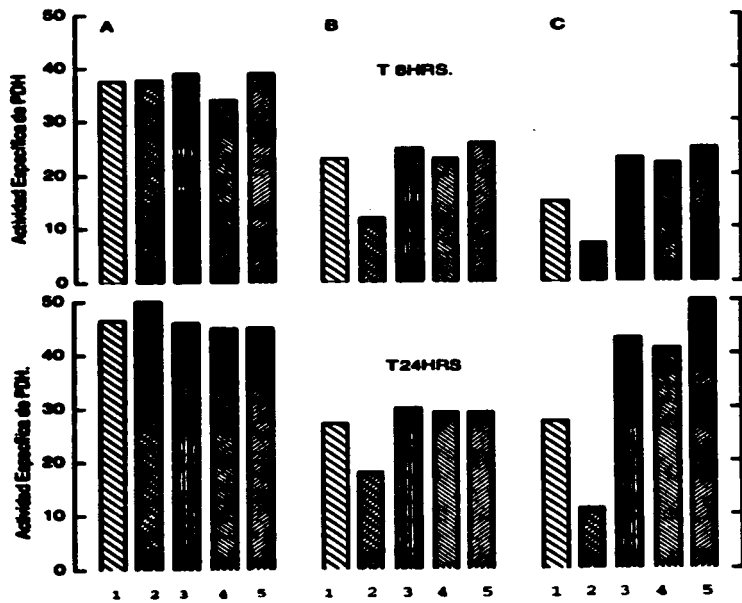


Fig. 6 Actividades específicas de piruvato deshidrogenasa de *Rhizobium phbC* y derivados crecidas en diferentes fuentes de carbono. Panel A: Crecimiento en succinato-amonio 10 mM c/u; Panel B: Crecimiento en glucosa-amonio 10 mM c/u; Panel C: Crecimiento en piruvato-amonio 10 mM c/u. La actividad específica de la PDH es expresada como nanomoles de producto formado por minuto por miligramo de proteína. (1) Cepa silvestre CB3; (2) Mutante *phbC* (CAR1); (3) Mutante *phbC*::*esp*,tn5 (VMB58); (4) *phbC*::*esp* (VMB57); (5) *phbC*::*esp* (VMB54).

Estas segundas mutaciones fueron subclonadas, obteniendo mutantes que sólo contienen la segunda mutación. (Fig.5)

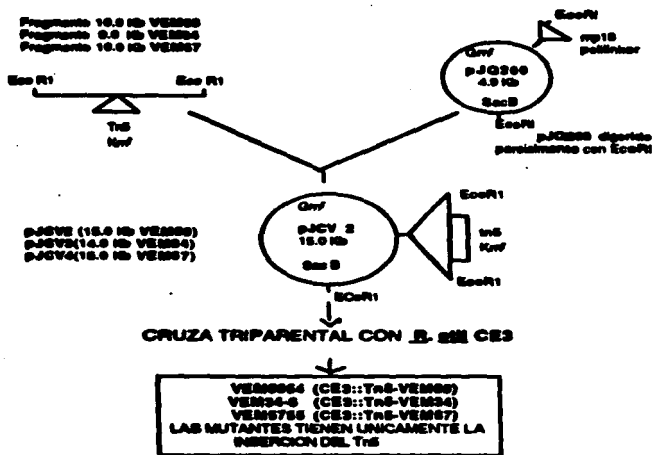


Fig.5 Clonación de la segunda mutación a partir de la digestión de DNA total de las cepas VEM58, 57 y 34 con EcoRI, los fragmentos que contienen la inserción del transposón Tn5 fueron clonados en el pJG200 y mediante crusa triparental se movilizaron a la cepa silvestre.

El patrón de hibridación de DNAs totales digeridos con EcoRI revela que las tres mutantes hibridizan con el plásmido pW5B1 que contiene el gen *phbC* (Cevallos et al., 1996), presentando en las tres cepas obtenidas una banda de mayor tamaño que la presente en la cepa silvestre, lo que nos sugiere la presencia del cassette *mp18* en el

gene phbC (Fig.6A). Por otro lado podemos observar al hibridizar las mismas mutantes con el pSUP5011 (Tn5Mob), que las bandas obtenidas en las cepas VEM57 y VEM58 son del mismo tamaño y diferentes de la observada en la cepa VEM34 (Fig.6B), lo que fué corroborado después por la secuencia de los genes interrumpidos en los fragmentos clonados.

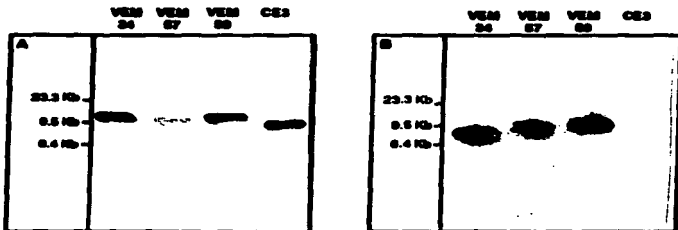


Fig.6. Hibridación del genoma de *Rhizobium* CES3 y mutantes CES3::pGp-phbC.Tn5, usando como detectores en A) el plásmido pSUP50 que es un fragmento de 3.0kb (BglII) que contiene al gene phbC de *Rhizobium* clonado en dicho vector, y B) pSUP5011 Tn5 Mob

Los fragmentos que contienen los Tn5 de cada una de las cepas fueron clonados en el pJQ200 y mediante una crusa triparental las mutaciones fueron transferidas a la cepa silvestre obteniendo las mutantes VEM58-54, VEM57-55, VEM34-6 (Fig.5). Esto se hizo con la finalidad de estudiar el fenotipo de las mutaciones con tn5 en la cepa silvestre, observando que la acumulación de PHB en dos de las mutantes sencillas (VEM58-54 y VEM57-55) fué sólo el 40% de la observada en la cepa silvestre.

Como mencionamos en el párrafo anterior los fragmentos conteniendo los Tn5 de éstas dos mutantes fueron clonados y secuenciados, en el fragmento clonado de la mutante VEM58 se identificaron dos fases de lectura abierta (ORF), el ORF1 (574 pb) contiene la inserción del Tn5, y su secuencia nucleotídica presenta un 80% de homología con el ORF1 de *R. meliloti* (Tombolini et al., 1995) (Fig.7) y alta homología con el ORF4 encontrado en *Cicerariace virens* y *Magnusia violacea* (Liebergessell y Steinbüchel, 1992; 1993).

orf R.mal	MENNEQIVI KQKQPLILN TQSTPVALD QLAWMRRK DPTVQDAKG	50
orf R.ctli	IPNNNEQIVI KQKQPLILN TQSTPVALD QLAWMRRK DPTVQDAKG	50
Conservas	K. NNEEQIVI KQKQPLILN TQSTPVAL. QLA.MRKE D.P. VODKA..	50
orf R.mal	MEETNSMLTQ LIPIORESNG NLLPISPLR QLISPQGDN QMVRSPLSH	100
orf R.ctli	TETTNSMLTQ LIPIORESNG NLLPISPLR QLISPQGDN QMVRSPLSH	100
Conservas	.MEETNSMLTQ LIPIORESNG NLLPISPLR QLI.. YCQDN QMVRSPLSH	100
orf R.mal	SGNFTQQA QSGQVTRAF GQPQGNEK VPQLOVE-EQ VRNNTSPHQ	149
orf R.ctli	SGNFTQQA QSGQVTRAF GQPQGNEQ LAVQGMRF PAANTELFO	150
Conservas	SGNFTQQA QSGQ...AF G.TP.GNL.. P.Q..... NTE.F.Q	150
orf R.mal	AGQFPTTA APPRGTAA ENCODEDEME QMLAQTLID NLC	192
orf R.ctli	AGQFPTTA PRAMKA-XF ENCODEDEME HMLQH-KLD NLC	190
Conservas	AGQFPTTA .P.NK..... ENCODEDEME ..R....KLD NLC.	193

Fig.7 Comparación de las secuencias de aminoácidos deducidas de las secuencias nucleotídicas del ORF 1 de *R. Malí* cepa CEJ y del ORF de *R. malilensis* (Tombolini et al., 1996).

En estas bacterias, a diferencia de *R. malilensis* y *R. Malí*, el ORF4 se encuentra localizado entre los genes *rphB* y *rphA*. Al ser clonado el ORF1 de *R. malilensis* en *E. coli*, se observó la presencia de una proteína de 22 kDa. Por otro lado en *C. violaceum* el peso molecular (PM) deducido de la secuencia de nucleótidos de este ORF es un producto de 17 kDa. Cabe señalar que a pesar de haberse reportado la presencia de este ORF en 3 géneros diferentes aún no ha sido posible asignársele ninguna función. La secuencia nucleotídica del ORF de *R. Malí* presenta el inicio de transcripción, la posible zona de unión a ribosoma (Shine Delgarno). El segundo ORF (ORF2) presenta homología con genes de β-cetotiolasa (Fig.8) lo que sugiere un posible papel del ORF1 en la síntesis del PHB.

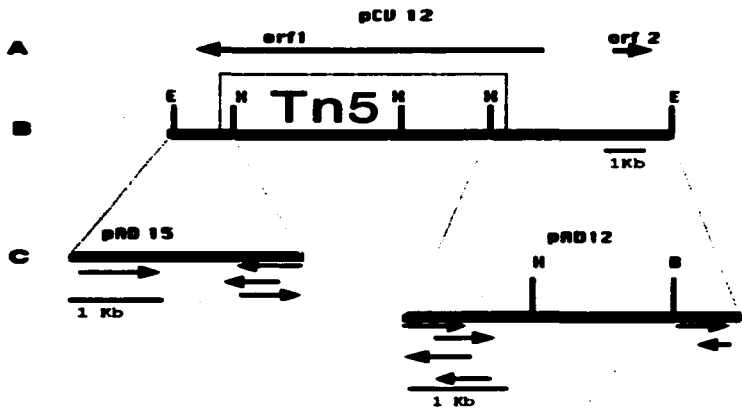


Fig.8 Organización del plásmido pCV12 clonado de la cepa VEM58, éste plásmido contiene el ORF1 interrumpido por el tns y un ORF que tiene homología con el gene *nahB* de *Shizobium ehlii*. En (A) podemos observar la posición y orientación del las fases de los ORFs, (B) el mapa físico del plásmido y sitios de restricción identificados, y en (C) la estrategia de la secuenciación de DNA.

Actualmente se realizan estudios que permitirán dilucidar la función de este ORF1 en la acumulación de PHB y en el papel de éste en el metabolismo de carbono en *Shizobium ehlii*. La presencia de este ORF estructuralmente ligado, al menos al gene *nahB*, (Fig.8), y la disminución en la acumulación de PHB en la cepa VEM 58-54 y VEM 57-55, las cuales presentan el gene interrumpido por tns5, sugiere un papel de este gene en la regulación de la biosíntesis del PHB.

Como mencionamos anteriormente, *E. coli* al ser subcultivado en MM cambia su metabolismo de aeróbico a fermentativo (Encarnación et al., 1995), presentando una serie de cambios morfofisiológicos, dejando de crecer al ser subcultivado en MM. Sin embargo, al subcultivar a *E. coli* cepa VEM58 en MM-piruvato, condición en la cual la cepa de *E. coli* CE3 deja de crecer en el segundo subcultivo, observamos que esta doble mutante contiene una mutación en el ORF1 y que mantiene su crecimiento en el segundo subcultivo (Fig.9).

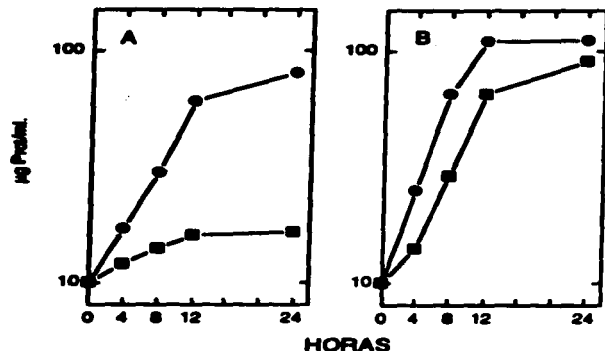


Fig.9 Crecimientos de las cepas de *R. aotii* CE3 y VIM58 (*phbC::Gsp*, *ORF1::tn5*) en subcultivos en MM con piruvato-amónico. Panel A: cepa silvestre CE3; Panel B: mutante VIM58 (*phbC::Gsp*, *ORF1::tn5*). (○) Primer subcultivo; (■) Segundo subcultivo.

Esto nos sugiere que éste ORF puede tener un papel central en la biosíntesis de PHB regulando el flujo de carbono en virtud de que como mencionamos anteriormente, el PHB además de ser sintetizado de la manera clásicamente descrita, también lo hace a partir de ácidos grasos, o precursores de éstos y compite con la síntesis de ellos, lo que podría ser señalado como un indicador de cambio de metabolismo de aeróbico a fermentativo. Es importante mencionar que cuando *R. aotii* dejó de crecer durante la fase estacionaria, sufre una disminución en la concentración de los ácidos grasos que constituyen su membrana (El-Khani et al., 1981). Para apoyar esta proposición es conveniente señalar que la cepa de *R. aotii* CE3 al ser subcultivada en MM (succinato-amónico) suplementado con ácidos grasos como palmitíco y esteárico, es capaz de crecer continuamente. Como ya se mencionó; la biótina que es cofactor de una de las enzimas que participan en la síntesis de ácidos grasos, impide el cambio del metabolismo en *R. aotii*. Por otro lado en *R. aotii* W-15, esta misma vitamina produce un efecto inhibitorio en la síntesis de PHB (Chowdhury et al., 1996). Por lo anterior, además del efecto descrito sobre la piruvato carboxilasa que impide la acumulación de PHB, (Dunn et al., 1996), evitando el cambio del metabolismo de aeróbico a fermentativo, la biótina también podría tener un efecto en la regulación del flujo de carbono hacia ácidos grasos, evitando que éste sea acumulado como PHB.

como sucede en condiciones fermentativas (Encarnación et al., 1995). En este contexto y apoyándonos en la evidencia de que la mutación en el ORF produce una disminución de hasta un 60% en la acumulación de PHB, el papel del ORF sería el de regular el flujo de carbono hacia PHB, compitiendo por el carbono que en condiciones de crecimiento exponencial pretende ser llevado al ciclo TCA y a la síntesis de ácidos grasos.

Por último, como ya lo hemos propuesto con anterioridad y pudimos corroborar con el presente trabajo, el PHB debe ser considerado como un producto de fermentación que seuestra poder reductor, necesario para la operación del ciclo TCA bajo condiciones microaeróbicas.

**4.2.- AVANCES DEL TRABAJO DE INVESTIGACION  
TITULADO: "CLONACION Y REGULACION DE LA CATALASA-  
PEROXIDASA DE *Rhizobium* ssp".**

#### **4.2.- CLONACION Y REGULACION DE LA CATALASA-PEROXIDASA DE *Rhizobium etli*.**

El estrés oxidativo ocurre cuando la concentración de especies activas de oxígeno en la célula son más abundantes que los mecanismos de defensa de la célula y el daño al DNA, RNA, proteínas y lípidos puede ocurrir. En consecuencia, virtualmente todos los organismos aeróbicos cuentan con sistemas de defensa.

La respuesta bacteriana al estrés oxidativo ha sido extensamente demostrada en *Escherichia coli* y *Salmonella typhimurium*. Un grupo de genes y sus productos, que son responsables de la respuesta al estrés oxidativo han sido identificados, éstos incluyen catalasas, peroxidases, superóxido dismutasas, enzimas reparadoras de DNA, etc.

En bacterias fijadoras de nitrógeno poco se conoce acerca de su respuesta al estrés oxidativo o sobre su habilidad para sobrevivir a diversas condiciones en el suelo y menos se sabe la manera de cómo les afecta, particularmente, el estrés oxidativo en la actividad celular durante el establecimiento de la simbiosis.

Es importante mencionar que no sólo en presencia de oxígeno en bacterias aeróbicas o aeróbios facultativos se generan especies oxidantes dañinas al metabolismo general de estas bacterias. También en bacterias anaeróbicas, por medio de la reacción de Fenton, el peróxido de hidrógeno libre, reacciona con metales en transición para formar el más poderoso y altamente reactivo oxidante, el radical hidroxilo ( $\text{OH}^-$ ) (Halliwell et al., 1990; Ryan et al., 1992). El anión superóxido y el peróxido de hidrógeno pueden también ser generados por autoxidación de deshidrogenasas, tiolos, flavinas, oxidases y por radiación de luz UV (Farr et al., 1991).

En numerosos estudios realizados con bacterias anaeróbicas han demostrado que especies sensibles a oxígeno tienen diferentes rangos de tolerancia frente a este compuesto y que no responden a él de una manera uniforme. Por ejemplo, se han reportado algunos tipos de bacterias que permanecen viables por largos períodos en presencia de oxígeno y/o radicales libres (Finegold et al., 1989; Morris J.G., 1980). Si en caso específico del nódulo que es donde se aloja *Rhizobium* durante la simbiosis, la presencia y acción de varias proteínas requeridas durante éste proceso como son la ferredoxina, uricasa, hidrogenasa y leghemoglobina (Dalton et al., 1991) están sujetas a un proceso de autoxidación generando especies altamente reactivas (Puppo et al., 1981). Por esto se ha sugerido que en algunas bacterias microaeróbicas, como en organismos aeróbicos, la presencia de enzimas como la superóxido dismutasa (SOD) y la catalasa juegan un papel importante en la detoxificación de especies reactivas generadas por el metabolismo aeróbico y por la reacción de Fenton (Morris J.G., 1980; Rocha et al., 1996). Nuestro interés es conocer en *R. etli* cuál es el papel de la catalasa, no sólo en vida libre, sino también en simbiosis.

*Rhizobium* ha sido clasificado como un organismo microaeróbico porque sólo fija nitrógeno en microaerobiosis. Una

Ventaja de vivir en microaerobiosis es que en éste estado la bacteria se protege contra el daño oxidativo. Hemos observado que *Escherichia* es muy sensible al daño por peróxido de hidrógeno cuando crece en un medio completo (PY), sin embargo cuando lo hace en MM, condición que induce al metabolismo fermentativo, esta bacteria se vuelve resistente a este agente. Asimismo cuando la bacteria se cultiva en MM con suplementos como biotina o tiamina (Fig.1), condiciones que mantienen el metabolismo aeróbico, *Escherichia* responde haciéndose muy sensible al daño por peróxido de hidrógeno. De la misma manera una copia de *Escherichia* mutada en el gene *recA* (Martínez-Salazar et al. 1991), la cual presenta una mayor sensibilidad al daño a DNA que puede ser producido entre otros agentes por el peróxido de hidrógeno, fué más resistente al  $H_2O_2$  con solo cultivarla previamente en MM (Fig.1).

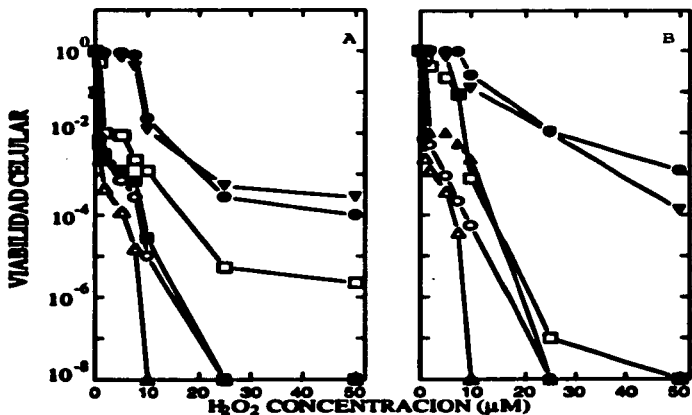


Fig.1 Viabilidad celular de la cepa silvestre CM3 y Rec A- de *Escherichia* contra concentraciones crecientes de peróxido de hidrógeno ( $H_2O_2$ ) después de crecer en diferentes medios. La exposición de las células contra  $H_2O_2$  se hizo por 15 minutos, después de las 12h (A) y 24h (B) de crecimiento. Las células de la cepa CM3 se cultivaron en: PY (○); MM (●); MM inoculardo con D.O. de 0.003 (■); MM-tiamina (10  $\mu$ g/ml) (△); MM-biotina (1  $\mu$ g/ml) (□). Las células de la cepa RecA- se incubaron en: PY (○); MM (▼).

Otra condición donde *B. subtilis* presenta un cambio en la sensibilidad a  $H_2O_2$  es cuando iniciamos un cultivo en MM con un bajo inoculo (0.003 D.O.) en lugar de 0.05 D.O. En esta condición el crecimiento es óptimo, el cambio al metabolismo fermentativo no se observa y la bacteria es muy sensible a este agente oxidante.

En función a lo anterior se decidió estudiar el papel de la enzima catalasa en lo relacionado a la resistencia de *B. subtilis* al peróxido de hidrógeno, en particular si es resistente a este compuesto cuando crece en MM.

Por lo anterior nos planteamos que la misma concentración de la catalasa podría ser más efectiva cuando la bacteria lleva a cabo el cambio del metabolismo aeróbico al fermentativo que conlleva la agregación celular y los procesos antes mencionados, además de que en estas condiciones la difusión del  $H_2O_2$  se reduce. En un reporte relativamente reciente se presenta evidencia en *Bacillus* de que cuando se incrementa la concentración celular se observa agregación bacteriana y en estas condiciones la misma concentración de la catalasa reduce el  $H_2O_2$  del medio mejor de lo que lo hace en células no agregadas (Ma y Eaton, 1992). Evidencias preliminares sugieren que algo parecido puede estar pasando en *B. subtilis*.

En *B. subtilis* existe una incompatibilidad en expresar una óptima capacidad oxidativa y una adecuada resistencia contra el daño oxidativo (Fig 1). En éste contexto *B. subtilis* debe ser considerado un organismo microaerófilo, y así ha sido clasificado sólo por su capacidad para fijar nitrógeno en condiciones microaeróbicas (Krieg et al., 1986). Sobre este tema se ha reportado que en los nódulos de plantas leguminosas se expresan varias enzimas necesarias para detoxificar agentes superoxidantes (Becana et al., 1986, 1989; Dalton et al., 1991). La alta sensibilidad de *B. subtilis* al  $H_2O_2$  cuando crece aeróbicamente, podría ser un factor importante para que este organismo entre en simbiosis con la planta.

La agregación celular, al crear un ambiente microaeróbico y un estado fermentativo, contribuye a la protección contra el  $H_2O_2$  en *Bacillus* cepa CE3 cuando crece en MM.

Como ya mencionamos anteriormente, un mecanismo anti-oxídante que elimina especies reactivas generadas por el metabolismo aeróbico, es mediado por la actividad de catalasas y peroxidases. Algunos microorganismos presentan más de una isoenzima de catalasa y sabemos que en *B. subtilis* se encuentra presente una sola forma, sin importar la condición de crecimiento y el tipo de estrés al que es sometida la bacteria (Fig. 2).

*Escherichia coli*

RAM CES

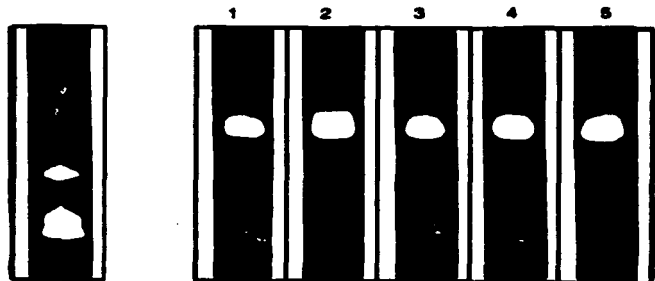
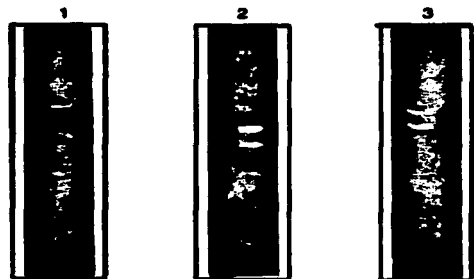


Fig.2. A diferencia de otras bacterias como *Escherichia coli* que posee más de una catalasa, *Asatia* presenta una sola actividad electroforética, sin importar las condiciones metabólicas a las que es sometida la bacteria. Condiciones de cultivo: 1.- Medio Rico (PY), 2.-Medio mínimo (MM) en fase estacionaria, 3.-MM en fase exponencial, 4.-Previo estrés por alta temperatura, 5.-Previo estrés por peróxido de hidrógeno (15 µM). (El método utilizado fue reportado por de Woodbury et al., 1971).

*A. meliloti* presenta dos isoenzimas al igual que las cepas de *E. coli* biotipo I (299) y biotipo II (899) (Fig.3).



*Rhizobium meliloti* (1), *Rhizobium leguminicola* subgrupo A, cepa 299 (2), y subgrupo B, cepa 859 (3). Estas especies presentan dos catalasas las cuales se expresan dependiendo de las condiciones de crecimiento.

*Rhizobium* presenta un incremento de la actividad de catalasa en la fase estacionaria de crecimiento en MM (Fig. 4).

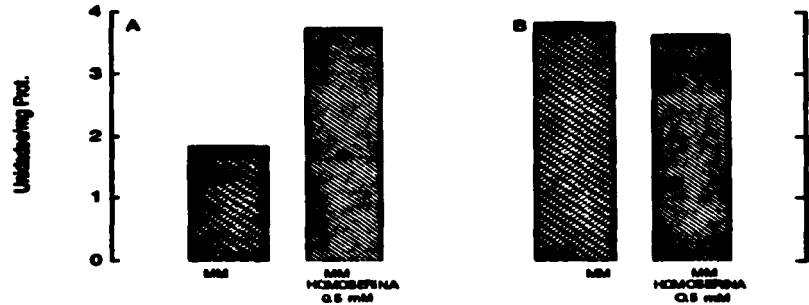


Fig. 4. Actividad de la enzima catalasa en *Rhizobium* cepa Cek1 cultivada en MM y MM Homoserina en fase exponencial y estacionaria. Panel A: Las células se cultivaron en MM y en MM-homoserina durante 8h; Panel B: Las células se cultivaron durante 24h en iguales condiciones que A. (El método utilizado fue reportado por de Abdi et al., 1996).

En *R. mellei* se observa una sola actividad de catalasa en MM, pero al adicionar homoserina se presenta otra actividad de catalasa (Fig.5). En *R. tritici* no observamos ningún efecto de la homoserina en la regulación de las dos isoenzimas que presenta esta bacteria (Fig.5).

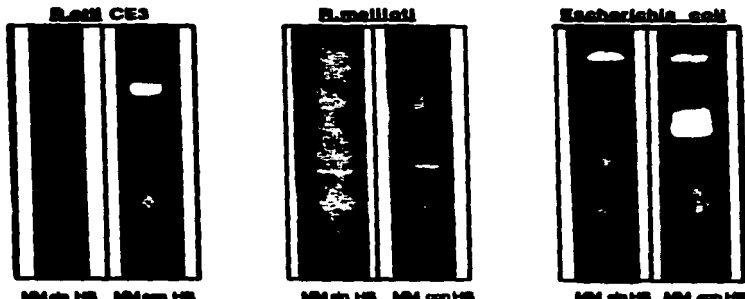


Fig.5. En bacterias cultivadas en MM suplementadas con homoserina (1 mM). La homoserina regula la actividad y la aparición de diversas entidades electroforéticas. De esta forma en *R. tritici* la actividad de la única enzima presente es más del doble, en *R. mellei* aparece una segunda actividad electroforética, al igual que en *Escherichia coli*.

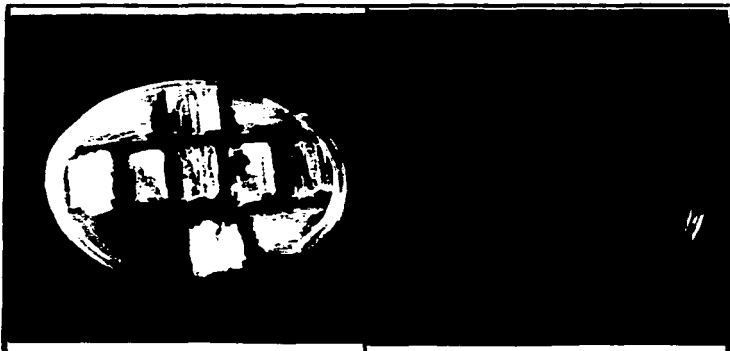
En *R. tritici* la regulación de la catalasa muy posiblemente es a través de homoserinas lactonas, al igual que ha sido recientemente descrito en *R. sativus* (Shellhorn et al., 1995) donde se regula la actividad de catalasa principalmente en la fase estacionaria. Algo similar hemos observado en *Rhizobium*, en la fase exponencial, en presencia de homoserina. (Fig.4).

Para conocer con más detalle el papel de la catalasa en *R. sativus* hemos obtenido en el laboratorio por mutagénesis al azar, con el pSUP5011 (Tn5 Mob), una mutante sin esta actividad (VEM 16-73) (Fig.6), la cual utilizamos para la complementación con el banco genómico de *R. sativus* del cual se obtuvieron 6 plásmidos (Fig.6).



**CLONACION DEL GEN DE CATALASA DE *B. subtilis* CE3; POR TRANSFORMACION DE LA MUTANTE VEM1673 (CE3:Tn5-Cat) CON EL BANCO DE *B. subtilis* (PLA-FR1-FRAGMENTOS DE 20.0 KB CLONADOS EN EcoRI, 1.200 COLONIAS, 1.200 TRANSFORMACIONES) SE OBTUVIERON 6 AISLADOS CUYOS PLASMIDOS COMPLEMENTAN EL FENOTIPO Cat<sup>r</sup> DE LA CEPA RECEPTORA.**

**AISLADOS PROBADOS CON PEROXIDO DE HIDROGENO**



**1.2.3.4 VEM1673 / Transformada con plásmidos del banco de *B. stull* que no complementan el fenotipo.**  
**5.6.7.8.9.1 VEM1673 / Transformada con los plásmidos que sí complementan el fenotipo de la mutante.**  
**pCV005(9) (pLAFR1-20 Kb-Cat de *B. stull*)**

Fig. 6. Obtención de la mutante en catalasa de *Bacillus* cepa CE3 (VEM 16-73).

Los plásmidos que complementan la actividad de catalasa y presentan en común una banda de 4.2 kb la cual ha sido subclonada (Fig.7).

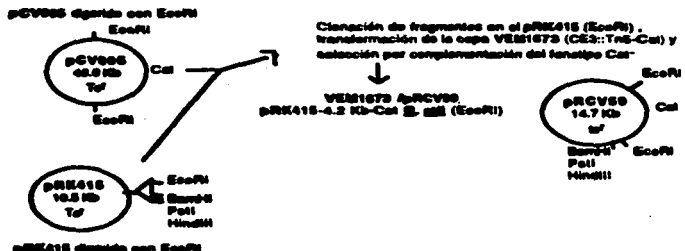


Fig.7 Subclonación del gene de catalasa de *Escherichia coli* cepa CE3 y mapeo con enzimas de restricción de la región clonada.

Mediante hibridación con el pSUP5011 comprobamos que el tns se encuentra localizado en esta banda (Fig.8).

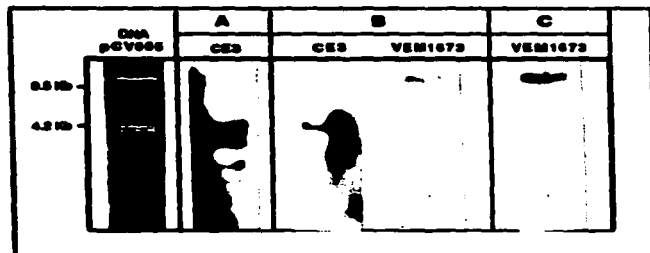


Fig.8. Hibridización en condiciones de alta severidad de DNA's genómicos de *Mycobacterium* cepa CE3 y la mutante VEM 16-73 usando como detectores A) pCV005 (pMABP1-20 kb BamHI-Cat), b) pPCV59 (pRK415-4.2 kb EcoRI-Cat), C) pSUP5011 (Tn5 Nob).

De la misma manera al complementar a la mutante VEM 16-73 con el plásmido de 20 kb (pCV005) o el fragmento pequeño de 4.2 kb (pPCV59) la mutante recupera la actividad de catalasa, como se puede observar en un gel de poliacrilamida en condiciones nativas (Fig.9).

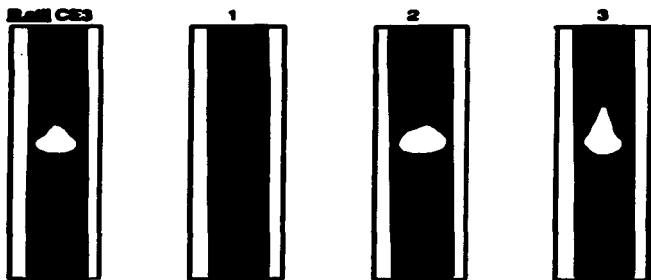


Fig.9. La mutante de *Rubiella*, VEM 16-73 Cat- (1) al ser complementada con el plásmido pCV005 (pLAPR1-20 kb) recupera la actividad de catalasa (2), de la misma forma que la complementada con la subclonación de 4.2kb pCV 59 (pRK615-4.2kb) (3).

Apoyándose en el mapa de restricción del fragmento de 4.2 kb hemos secuenciado estos fragmentos obteniendo en algunos de ellos una alta homología con el geno que codifica para la catalasa-peroxidasa de *Mesobacterium intracellulare* y katG de *Escherichia coli*. La mutante VEM 16-73 será probada próximamente tanto en lo que se refiere a su fisiología, como a su fenotipo simbiótico (Fig.10).

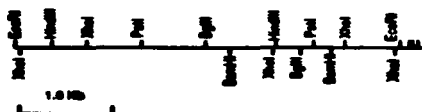


Fig. 10. Mapa de restricción del fragmento de 4.2 kb (EcoRI) que contiene el geno de la catalasa de *Rubiella*.

En este fragmento de DNA (4.2 Kb) se encontró otro ORF, el

cual al ser secuenciado presentó una alta homología con el gene *pxox* de *Bacillus*, miembro de la familia de reguladores transcripcionales tipo *LysR*. En *Bacillus* y *Actinomycetina* este gene regula a la catalasa MPI (Tao et al., 1989; Christman et al., 1989) que es una catalasa peroxidasa parecida a la catalasa-peroxidasa que encontramos en *Bacillus*. Así, se ha clonado no sólo el gene que codifica para la enzima catalasa, sino también su regulador. Por otro lado se ha descrito con anterioridad que 9 proteínas necesitan el producto de *pxoxB* para su inducción durante el estrés oxidativo (Christman et al., 1989). Y existe el reporte de que este gene es también necesario en el cambio morfológico de las colonias bacterianas y la habilidad para autoagregarse que normalmente presenta *Bacillus*. (Warne et al., 1990).

Se ha reportado también, que durante el crecimiento, las células tienen capacidad para responder rápidamente a cambios ambientales regulando la expresión de grupos de genes en respuesta a diferentes tipos de estrés. Este tipo de regulación es controlada por los productos de los genes *xnoB* o *pxoxB* (Demple B., 1995; Neidhardt et al., 1987; Siegela y Kolter, 1992). Además, recientemente se ha descrito la presencia en *Bacillus* de una proteína que se pega al DNA la cual es abundante en células privadas de nutrientes y es importante en la defensa a diversos tipos de estrés, observando que los niveles de RNP de esta proteína son controlados además de *xnoB* y la proteína IHF, por el activador transcripcional *pxoxB* (Altuvia et al., 1994).

Será muy interesante definir en *Bacillus* los genes regulados y el papel del producto de *pxoxB* en la defensa a diversos tipos de estrés y su papel durante la fase estacionaria.

Recientemente ha sido reportada la clonación del gene *kata* de *B. malibensis* (Mérouart et al., 1996). Este gene codifica para una catalasa que se induce por peróxido de hidrógeno. Este estudio revela también la presencia de un segundo gene, aun no clonado, lo que ha impedido a los autores tener una mutante total en esta actividad enzimática y conocer el fenotipo en vida libre y en simbiosis. En *Bacillus*, como mencionamos anteriormente, sólo se presenta una actividad enzimática de la cual tenemos el gene clonado y la mutante respectiva nos ubica en una posición insuperable para describir el papel de esta enzima tanto en vida libre, como en simbiosis. Por otro lado sabemos que en *Bacillus* la presencia en el medio de cultivo de homoserina un precursor de homoserinas lactonas, (Muñoz et al., 1994), que son consideradas señales de densidad celular, regula la velocidad de crecimiento de la bacteria y la actividad enzimática de la catalasa, incrementando su actividad en fase exponencial al doble, respecto al control sin homoserina.

Observamos que un óptimo funcionamiento y operación del TCA resulta en que las bacterias se hagan sensibles al oxígeno, mientras que, en contraste, la operación deficiente de este ciclo de algún modo puede protegerlas contra el daño oxidativo.

Proponemos que en *Bacillus* en condiciones de metabolismo aeróbico, el papel de las enzimas que protegen contra el estrés oxidativo, entre ellas la catalasa, es directo. En el metabolismo fermentativo, la agregación celular, la reducción en la producción de donadores de electrones y el decremento en el nivel y la actividad

respiratoria durante la disminución del crecimiento, es parte integral del sistema de defensa en contra de los radicales libres producidos.

**4.3.- AVANCES DEL TRABAJO DE INVESTIGACION  
TITULADO: "SERALES DE DENSIDAD TIPO ACHL-  
HOMOSERINAS LACTONAS Y ANALISIS ESTRUCTURAL DE  
UN GENE HOMOLOGO A LA FAMILIA DE AUTOINDUCTORES  
TIPO lacZ EN *Emmochlum allii*".**

**4.3.- SEÑALES DE DENSIDAD TIPO ACIL-HOMOSERIMAS  
LACTONAS Y ANALISIS ESTRUCTURAL DE UN GENE HOMOLOGO A  
LA FAMILIA DE AUTOINDUCTORES TIPO luxR EN Rhizobium  
etli.**

La superfamilia de proteínas respuesta-reguladores tienen un módulo activador, carboxilo-terminal (Dorman et al., 1992; Russo et al., 1993; Henikoff et al., 1988). La conservación de homología con la secuencia amino-terminal del módulo regulador, ha definido una serie de subclases que corresponden a diferentes mecanismos de regulación. Un grupo, incluye, por ejemplo, *FixJ* y *NarI* (Stock et al., 1989), los cuales son activados a través de fosforilación por una cinasa sensora, en respuesta a estímulos ambientales. Otra subclase incluye *LuxR*, *TraR*, *LacR* y *CpxR*, las cuales son activadas por la interacción con acil homoserinas lactonas (acil-HSLs) que son reguladores de respuesta, asociados funcionalmente a homólogos de *LuxJ*, algunos de los cuales ya han sido identificados.

La localización propuesta para el producto de *luxR* es, unido a la superficie interna de la membrana citoplasmática, con el dominio amino-terminal (sitio de unión al autoinductor) en contacto con la membrana y la región carboxilo-terminal (activador transcripcional) extendido dentro del citoplasma (Kobilachurk et al., 1993), esto tiene paralelo con el sistema *EnvZ-OmpR* descrito en *Escherichia coli* K-12 (Dorman et al., 1992; Parkinson, J.S., 1993). En esta bacteria *EnvZ* es una proteína localizada dentro de la membrana y senza directamente la osmolaridad del medio pasando la señal al fosforilar el activador transcripcional *OmpR*.

En el sistema *luxR*-acilHSL, los sensores responden a un estímulo "secundario" que tiene su origen en las células vecinas. Esto permite la rápida respuesta a una señal dirigida a una población, independiente de la estimulación directa o continua a células individuales por los estímulos ambientales primarios como, cambios de pH, deprivación de nutrientes, etc. En este sistema autoinducible, con una señal de difusión se proporciona una rápida y posiblemente irreversible modulación de la expresión genética.

La activación genética dependiente de la densidad celular por reguladores transcripcionales de la familia *luxR-luxJ* es común a diversos grupos de bacterias gram-negativas. Este mecanismo involucra la interacción de señales extracelulares producidas por estos organismos, llamados autoinductores que se acoplan con proteínas activadoras de la transcripción. Debido a que un autoinductor es normalmente acumulado, se requiere una concentración umbral la cual sólo se obtiene después de que una densidad celular ha sido lograda. La familia de activadores transcripcionales involucra entre otros a *luxR* (el cual regula la bioluminiscencia en *Vibrio fischeri*) (Greenberg et al., 1979; Hanzelka et al., 1995). Entre otros están *lacR* (activa la virulencia en *Pseudomonas aeruginosa*, Gambello et al., 1991) y *traR* (el cual regula la conjugación en *Agrobacterium tumefaciens* (Pirhonen et al., 1993; Piper et al., 1993; Gambello et

al., 1991; Devine et al., 1988; McGowan et al., 1995).

Así, la producción por bacterias gram negativas de un gran rango de acil-HSLs tiene una importante implicación para el control espacial y temporal de la expresión génica. Es claro que los múltiples homólogos de luxR pueden responder cada uno a un tipo dado de acil-HSL pero con diferentes grados de activación. Existe la posibilidad adicional de que un solo tipo de bacteria pueda producir múltiples acil-HSLs como parece ser el caso de *Rauhia* cepa CE3, dando el potencial de una complejidad considerable. Sin embargo, las propiedades fisicoquímicas de esas moléculas determinan sus características de difusión y el camino de esta partición entre compartimientos celulares (tales como la cápsula, periplasma, membrana y citoplasma). Por lo tanto, diferentes señales moleculares pueden tener diferentes papeles de comunicación intracelulares y/o extracelulares, dependiendo de la naturaleza de la matriz de crecimiento y de la localización del regulador de respuesta, permitiendo la integración de las sofisticadas redes de señales de comportamiento de tipo bacteriano-multicelular.

El mecanismo de señales intercelulares involucrado en el comportamiento multicelular por bacterias reta nuestro enfoque tradicional acerca de la biología de células bacterianas. Antes que ser una identidad individual y autónoma, las células bacterianas son intrínsecamente dependientes de sus vecinas para adquirir información. La producción de un rango de moléculas mensajeras tipo luxL, es claramente central, subrayando los sistemas de comunicación involucrados en algunos de los aspectos más fundamentales del comportamiento de bacterias gram negativas. La distribución ubicua de los genes homólogos de luxL sugiere que éste sistema puede ser universal entre las bacterias gram negativas. Las ventajas en el control bacteriano de especies patógenas, y el conocimiento de éste lenguaje universal puede ser una clave para la manipulación bacteriana.

Como se puede documentar en el artículo "Fermentative and aerobic metabolism in *Rhizobium*" (Encarnación et al., 1995), las cepas de *Rhizobium* *shihi*, *R. meliloti* y *R. tremsii* disminuyen su capacidad para crecer después de varios subcultivos sucesivos en MM, con un patrón característico para cada especie, sin embargo si *R. shihi* se inocula a baja densidad celular, este organismo es capaz de crecer continuamente sin acumular PNB (Fig.1).

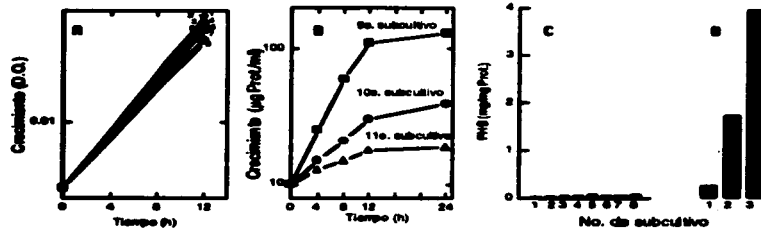


Fig.1. Crecimiento y acumulación de PHB en *Rhizobium* después de varios subcultivos en MM. panel A: Crecimiento de la cepa silvestre CE3 con un inóculo bajo (0.003 D.O.) en MM (succinato-amonio, 10 mM C/u) durante 8 subcultivos; Panel B: Crecimiento de la cepa silvestre CE3 igual que en A pero al final del 8o. subcultivo se incubó con un inóculo inicial alto (0.05 D.O.) y se subcultivó 3 veces más; Panel C: Acumulación de PHB al final de cada subcultivo de acuerdo al crecimiento de A; Panel D: acumulación de PHB al final de cada subcultivo de acuerdo al crecimiento de B.

Esta observación la hemos relacionado con el cambio de metabolismo de aeróbico a fermentativo. Recientemente se ha demostrado que muchos procariotas son capaces de modular su crecimiento y en algunos casos, sensor la densidad celular por la producción de señales moleculares extracelulares llamadas autoinductores (Ullitzur et al., 1989; Dorman et al., 1992; Stock et al., 1989; Parkinson et al., 1992, 1993; Russo et al., 1993; Salmon et al., 1995).

*Rhizobium leguminosarum* bv. *viscicaria* contiene un activador transcripcional, *RhlR* que es miembro de la familia de activadores transcripcionales tipo *LUXR*. *RhlR* activa un operón de genes expresados en la rhizósfera (el operón *ghiaABC*) el cual juega un importante papel en la nodulación (Cubero et al., 1992). Este operón se encuentra adyacente al gene *rhlR* en el plásmido simbiótico (Dibb et al., 1984).

La regulación de *LUXR* requiere como autoinductor una señal molecular difusible del tipo de las N-acil-L-homoserinas lactonas (AHLs), también llamadas autoinductores (Bainton et al., 1992; Williams et al., 1992; Fuqua et al., 1994).

En *Rhizobium* ha sido detectada la producción de estas moléculas las que han sido identificadas como bacteriocinas (Schripsema et al., 1996), las cuales inhiben el crecimiento en varias especies y cepas. La presencia de este tipo de moléculas es característica de este género de bacterias, las cuales tienen además, la típica propiedad que es la de fijar nitrógeno, en asociación con plantas leguminosas, por lo que consideramos que es posible que estas dos propiedades estén relacionadas.

Como ya mencionamos anteriormente, *Bacillus* disminuye su capacidad de crecimiento en MM después de subcultivos sucesivos, pasando de un metabolismo aeróbico a uno fermentativo. Sin embargo si el medio es inoculado a baja densidad (Fig.1) el organismo es capaz de crecer continuamente. Proponemos que el cambio de metabolismo es disparado por señales de densidad celular, resultando en la regulación de las enzimas del ciclo TCA. La presencia de un homólogo de *lumR* en *B. licheniformis* (Cubo et al., 1992) hace posible que el producto de este gene sea un intermediario en la regulación a través de una señal de densidad celular que serían aMSLs.

La homoserina, un precursor de homoserina lactona regula el crecimiento y la acumulación de PHB de *Bacillus* (Fig.2) y *B. subtilis* además, de mantener aeróbicamente el crecimiento de éstas especies.

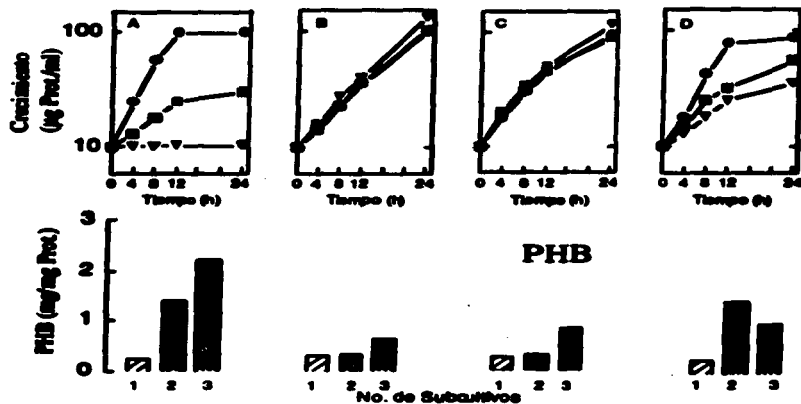


Fig 2. Crecimiento y acumulación de PHB de la cepa silvestre de *Bacillus* C33 en MM y con homoserina. En todos los casos la cepa se subcultiva en MM (succinato-ammonio 10 mM c/u). Pánel A: MM; Pánel B: MM + 1.0 mM de homoserina; Pánel C: MM + 0.5 mM de homoserina; Pánel D: MM + 0.1 mM de homoserina. (●) Primer subcultivo; (■) Segundo subcultivo; (▲) Tercer subcultivo. Abajo de cada pánel se observa la acumulación de PHB después de cada subcultivo.

En *S. enterica* se clonó un fragmento de 1.4 kb que se encuentra cercano al gen que codifica para la enzima piruvato carboxilasa (PC) (Dunn et al., 1996). Este fragmento de 1.4 kb contiene una fase de lectura abierta (ORF). Posteriormente, se procedió a secuenciar este fragmento (Fig.3), encontrando que presenta una alta homología con genes de la familia de autoinductores, *lumR*, *trxsR*, *adraR*, *lssR* y *ribR*, además de presentar la secuencia conservada hélice-vuelta-hélice, característica de esta familia de reguladores. Este ORF tiene un tamaño de 735 pb (Fig.3).

Fig.3. Secuencia de nucleótidos y secuencia deducida de aminoácidos del gen homólogo a luxR de *S. alcalophilus*.

Fig. 4. Alineamiento de la secuencia del gen de *Rattus* homólogo a la familia de autoinductores tipo *lumk* con otros genes tipo *lumk* previamente reportados. Todas las secuencias son completas. Los asteriscos indican las posiciones en el gen *lumk* de *X. laevis* en las cuales es afectada la interacción con el autoinductor. Las barras verticales indican el motivo hélice-vuelta-hélice del gen *lumk* de *X. laevis* que puede enlazar DNA.

Adyacentes a este gene, pero transcribiéndose en sentido inverso localizan 2 ORFs los cuales presentan homología con los genes de *Ramilliesia nivalis* y *nivalis* (Fig.5).

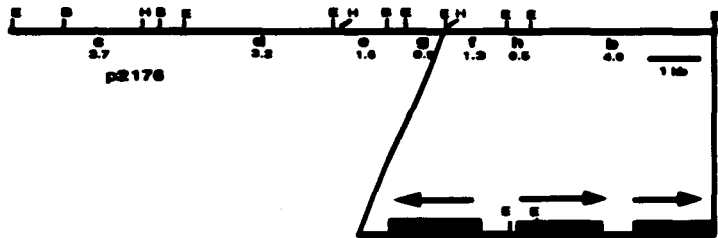


Fig.5. Mapa físico del plásmido p2176 de *Ramilliesia* que contiene a los genes similares a *luna*, *ramila* y *nivalis*.

Hemos clonado el fragmento de 1.4 kb en el vector pSK (EcoRI) e interrumpido el gene con el cassette Gus-Sp que confiere resistencia a espectinomicina y además que contiene el gen reportero de  $\beta$ -glucuronidasa (pGUS). Esta construcción fué clonada en el pJG200 y esté siendo homogenotizada para la obtención de la mutante respectiva y así podremos analizarla fisiológicamente en vida libre y en simbiosis (Fig.6).

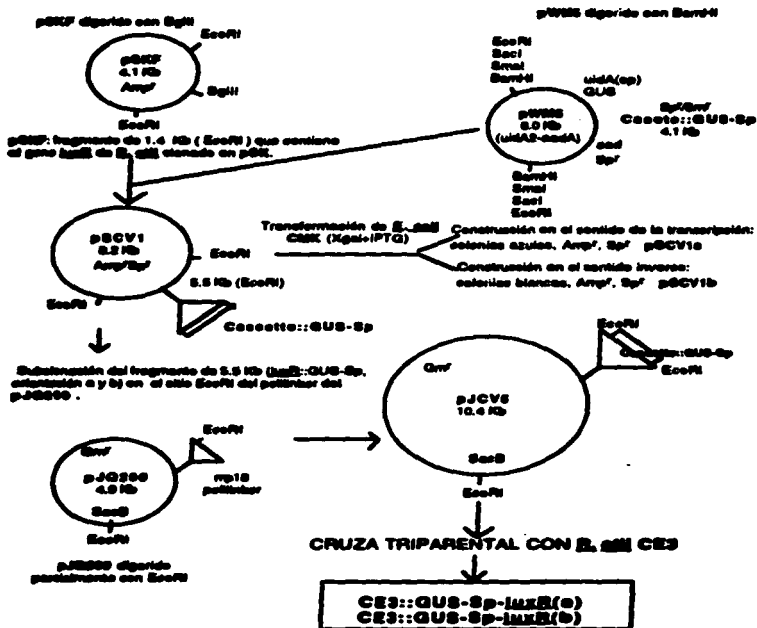


Fig. 6 Construcción de la mutante en el gene homólogo a luxH, por la interrupción del mismo con un cassette GUS-sp.

Con la ayuda de una cepa reportera de *Agrobacterium tumefaciens* que contiene la fusión *lacZ*::*luxH* (Farrand et al., 1996) la cual responde a la presencia de inductores tipo AHLs, se probaron sobrenadantes de MS6 en los cuales previamente fueron cultivadas bacterias de *E. coli*, ésto con la finalidad de identificar señales de

densidad celular presentes en *B. subtilis*. Observamos que la cepa reportera al ser cultivada en MM responde a la presencia de autoinductores en el sobrenadante de *B. subtilis*, lo cual nos indicó la existencia de al menos una aHSL. Esta señal es más fuerte en células que provienen de fase pre-estacionaria y estacionaria. Posteriormente, con esta evidencia, procedimos a purificar de los sobrenadantes antes mencionados los inductores que producen la señal en la cepa reportera. La extracción del sobrenadante fué realizada con una triple extracción con 50 ml/litro de cultivo de una mezcla de cloroformo-metanol (97.5/2.5, vol/vol). El extracto crudo contenido los productos extraídos del sobrenadante fué disuelto en acetonitrilo-H<sub>2</sub>O (50-50, vol/vol) y la purificación fué llevada a cabo por cromatografía líquida de alta presión (HPLC) en fase reversa con una columna C<sub>18</sub> eluida con un gradiente de acetonitrilo-H<sub>2</sub>O. Las fracciones fueron monitoreadas a 200 nm (Fig.7).

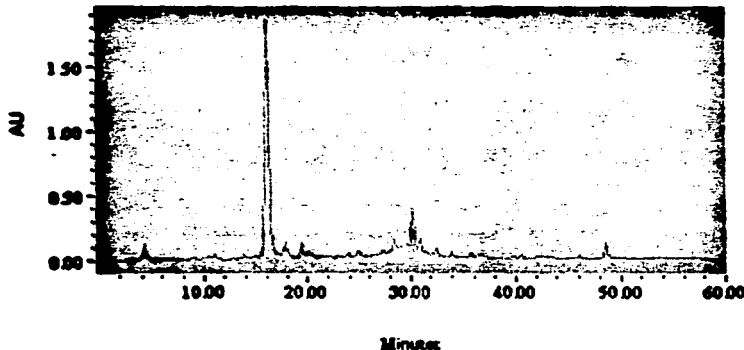


Fig.7. Perfiles de elución de la purificación de aHSL del sobrenadante de *B. subtilis* por medio de cromatografía líquida de alta presión (HPLC). Los picos-fracción presentes en los minutos 16 y 31 fueron activos al bioensayo para aHSL.

Se observó en el perfil de elución una serie de picos los cuales fueron sometidos a una segunda cromatografía para posteriormente probarlos con el ensayo arriba mencionado que contiene a la cepa reportera. Hasta ahora hemos identificado dos picos con actividad de aHSL, los cuales serán analizados por espectrofotometría de masas. Posteriormente serán probados en células crecidas en MM que contengan la fusión de nuestro gen homólogo a luxR, para analizar la respuesta de este gen a la presencia en el medio de los compuestos

provenientes de la purificación.

Hasta la fecha hemos observado en *Bacillus* la presencia de aHSLs. Estas moléculas son conocidas como autoinductores y como sensores de densidad celular que actúan como factores de co-transcripción (Dibb, et al., 1984). De la misma manera hemos descrito la presencia de un gen homólogo a la familia de autoinductores tipo *luxR* y mediante la fusión construida con el gen homólogo a *luxR*, podremos monitorear o determinar el efecto de la aHSL (Gray et al., 1996). Así mismo mediante la construcción de una fusión al gene *luxR* que se encuentra adjunto, pero transcribiéndose en sentido inverso al gen homólogo a *luxR*, pretendemos probar el efecto de las aHSLs purificadas sobre este gen como inductor y también la probable regulación del gen homólogo a *luxR* sobre la transcripción del operón *luxA-luxR*. Esto último lo haremos analizando la posible inducción de estos genes en fase de crecimiento estacionario, cuando la concentración celular es mayor. Por otro lado probaremos el efecto inhibitorio de los compuestos purificados (aHSLs) sobre el crecimiento de *Bacillus*. Posteriormente determinaremos el papel de estas moléculas cuando las bacterias entran en simbiosis con la planta. Considerando que las aHSLs juegan un papel importante en la interacción con otros microorganismos (Fuqua et al., 1994), esperamos que lo mismo suceda en *Bacillus* y que estos compuestos tengan un efecto regulador importante.

Es del conocimiento general que en bacterias, tanto el estrés nutricional, como otro tipo de presiones ambientales, tales como la temperatura, luz UV, salinidad, etc., conducen a la inducción de un gran número de genes relacionados. Por ejemplo, en *Bacillus* el gen *rpoN* codifica un factor sigma relacionado al estrés que involucra la transcripción de al menos 30 genes relacionados (Huisman et al., 1994).

En *Bacillus* esperamos probar el efecto de las aHSLs purificadas y el efecto de la homoserina en los subcultivos en NB, en el cambio de metabolismo de aeróbico a fermentativo, utilizando la fusión del gene de la catalasa, para estudiar la regulación de este gene en *Bacillus*. Esperamos probar a que tipo de señal de densidad celular responde la catalasa, que como se mencionó anteriormente, incrementa su actividad al doble en fase estacionaria. De esta manera será posible dilucidar si esta regulación se debe a las aHSLs a través del homólogo de *luxR* o por una señal dentro de la célula producida por homoserinas lactonas a través de *CpxR* o *Kate*.

Si consideramos que la formación del nódulo se lleva a cabo bajo condiciones de limitación de nitrógeno y otras limitaciones, el estudio de la aHSL y genes homólogos a la familia de *luxR* pueden ser de gran importancia en estudios de morfogénesis del nódulo (Gray et al., 1996).

## **5.- DISCUSSION.**

## 5.-DISCUSION.

Este proyecto ha consistido en investigar en *Rhizobium*, fuera de la planta, en condiciones definidas previamente, los estados metabólicos de este organismo, antes y durante la simbiosis con la planta, para conocer los elementos que son responsables del establecimiento de la interacción y el intercambio de nitrógeno por carbono.

Previamente reportamos que diversas especies de *Rhizobium* dejan de crecer después de varios subcultivos sucesivos en MM y que este crecimiento desbalanceado está asociado con un cambio de un metabolismo aeróbico a uno fermentativo (Encarnación et al., 1993).

Estos cambios pueden ser resumidos de la siguiente manera: 1) La bacteria deja de proliferar; 2) hay un decremento en la actividad de algunas enzimas del ciclo TCA y enzimas auxiliares (anapleróticas); 3) existe excreción de ácidos orgánicos; 4) se presenta aumento en la acumulación de PHB; y 5) ocurren agregación celular.

La adición de algunos suplementos al medio mínimo como biotina, tiamina, glutamina, ácidos grasos (palmitico y estearíco), malato y fumarato, así como el crecimiento en condiciones especiales de cultivo, como inocular a una baja densidad celular o el mantener en el MM, mediante burbujeo, una concentración de oxígeno entre 18 y 20%, previenen la respuesta fermentativa y mantienen el metabolismo aeróbico.

Durante los subcultivos se observa una disminución en la actividad de algunas enzimas del ciclo TCA como CS, IDH y MDM o la desaparición de algunas actividades enzimáticas del TCA o enzimas auxiliares (anapleróticas) como PC, PDM y OGDH. Estos resultados indican que uno de los blancos metabólico en el fenómeno observado, de dejar de crecer, es el metabolismo de carbono.

Como se ha mencionado, uno de los marcadores del cambio de un metabolismo de aeróbico a uno fermentativo es la acumulación de PHB, el cual no se presenta si el MM es suplementado con biotina o tiamina. En el caso particular de las células crecidas en MM-biotina, la actividad de la cetotiolasa, primera enzima en la síntesis de PHB, disminuye, en comparación con la actividad observada en MM sin suplementar. Al estudiar dos de las enzimas que utilizan como cofactores biotina, como son la PC y la ACC, se observó que en MM-biotina la primera actividad se incrementó en los subcultivos, sin embargo la segunda enzima permaneció sin modificación en su actividad, lo que indica que la PC es la enzima blanco de ésta vitamina.

Por otro lado, en MM suplementado con tiamina la cepa silvestre de *E. coli* CE3 mantiene niveles elevados de PDM y OGDH. Estas dos enzimas utilizan tiamina pirofosfato (TPP) y a ésto puede deberse que la tiamina, precursor de este compuesto, tenga su efecto en el crecimiento en MM.

Pudimos observar que al igual que *E. coli* durante la deprivación de nutrientes, *E. coli* sufre en los subcultivos en MM

cambios morfológicos que se manifiestan en un aumento de tamaño de las células y en pleomorfismo. Esto podría ser resultado de cambios en la composición de la membrana, lo que posiblemente se debe a que la síntesis de PHB esta secuestrando, no sólo poder reductor, sino también acetil-CoA, que es el precursor de la biosíntesis de ácidos grasos. Esto esta apoyado por el hecho de que la adición de ácidos grasos (palmitico y estearico) impiden el cambio a un metabolismo fermentativo y mantienen el metabolismo aeróbico.

La transcripción dirigida por factores sigma alternativos del tipo *XNA*, (Lange et al., 1991) tambien puede ser un factor importante en *Bacillus*, al igual que en *Escherichia* (Loewen et al., 1985), en virtud de que ambas bacterias dejan de crecer y se vuelven más resistentes a diversos tipos de estrés, entre ellos el oxidativo. Además en *Bacillus* y *Escherichia* la catalasa participa en la protección contra el estrés oxidativo. Otro factor común es la acumulación de polímeros de reserva, aunque en este caso es PHB y no glucógeno, como sucede en *Bacillus* (Damotte et al., 1968). Sin embargo *Bacillus* en condiciones en las cuales no puede acumular PHB, como en la mutante que carece de la PHB-sintetasa, el polímero que se acumula es glucógeno (Cevallos et al., 1996). Aún no logramos definir cual es la razón de la excreción de compuestos al medio, pero es conveniente mencionar que algo parecido sucede en enterobacterias cuando entran en fase estacionaria y dejan de crecer (Luli et al., 1990), ya que también se observa una alta excreción de  $\alpha$ -cetoglutarato y acetato al medio, producto de la inhibición de algunas enzimas del TCA específicamente la QGDH (Ammarasingham et al., 1965).

Además de la acumulación de PHB, otros productos de fermentación fueron sintetizados por *Bacillus* cuando se cultiva en *MM*. Ácidos orgánicos como acetato, lactato, fumarato, 2-oxoglutarato, y y  $\beta$ -hidroxibutirato, así como aminoácidos como glutamato se excretaron al medio (Encarnación et al., 1995). Algo semejante sucede en *Bacillus* cuando deja de crecer, debido a que excreta también al medio de crecimiento acetato y glutámico (Luli et al., 1990). La excreción de compuestos por *Bacillus* no sólo puede estar promoviendo un proceso de agregación celular que en algunos organismos es dirigido por la presencia de ácidos dicarboxílicos o aminoácidos en el medio, como creemos sucede en *Bacillus*, sino que la presencia de estos productos de excreción podrían a su vez promover la expresión de un regulador transcripcional de genes del tipo *XNA*, que se expresan cuando *Bacillus* deja de crecer.

En *Bacillus* la desaparición de algunas actividades enzimáticas como la QGDH y la PDM durante los subcultivos en *MM* no afecta la fijación de nitrógeno, ya que no parecen necesarias estas actividades enzimáticas durante la fijación. En *Bradyrhizobium japonicum* recientemente se publicó que una mutante que carece de QGDH no se ve afectada en su capacidad de fijar nitrógeno (Green et al., 1997). Para el caso de la PDM, en *Bacillus* se ha observado que no existe actividad de esta enzima en los bacteroides de la cepa silvestre CE3 a los 18 días después de la infección de plantas de frijol. Inclusive cepas mutantes en la síntesis de tiamina (cofactor de la PDM y QGDH) fijan nitrógeno al igual que la cepa silvestre (datos no publicados Taboada et al.). Por otro lado, la desaparición de la actividad de PC tampoco afecta la fijación de nitrógeno en *Bacillus*, como se puede

observar en una cepa mutante que carece de la actividad de esta enzima (Dunn et al., 1996).

Como conclusión final de esta parte de la investigación podemos mencionar que hemos logrado reproducir, fuera de la planta, algunos procesos metabólicos que semejan los que ocurren en los bacteroides, como es el de proliferar y dejar de hacerlo y el cambio de un metabolismo aeróbico a uno fermentativo, que también ocurre en la microaerobiosis a que está sujeto *Rhizobium* durante la simbiosis.

Electromicrografías tomadas durante los diversos subcultivos en MM de diferentes *Rhizobium* y principalmente de *B. diaz*, cuando el crecimiento está desbalanceado, establecieron la semejanza morfológica entre estas bacterias grandes, pleomórficas y con abundantes gránulos de PHB, en comparación con los bacteroides presentes en los nódulos de plantas de frijol infectadas con *B. diaz*.

*Rhizobium diaz* y en general la familia Rhizobiaceae, acumula PHB como polímero de reserva tanto en vida libre, como en simbiosis (Tombolini et al., 1989; Stam et al., 1986; Kerr et al., 1986; Goodchild D.J., 1966; Wong et al., 1971). La acumulación de este polímero es el indicador metabólico más fuerte de un programa genético que consiste en la expresión del metabolismo fermentativo que opera en bajo oxígeno y que está relacionado estrechamente con la vida en microaerobiosis que tiene esta bacteria en simbiosis.

Han sido sugeridas una serie de funciones para la acumulación de PHB, tanto en vida libre, como en simbiosis (Bergensen et al., 1990, 1991; Anderson et al., 1990), sin embargo ninguna ha sido demostrada. Algunas preguntas como: ¿Cuál es el papel de la acumulación de PHB en *B. diaz* durante la simbiosis y en vida libre?, ¿cómo es la infección, nodulación y fijación de nitrógeno en cepas que no sintetizan PHB?, no habían sido contestadas de manera concluyente. La obtención de una mutante en la PHB sintasa por el Dr. Miguel Ángel Cevallos hizo posible contestar estas preguntas (Cevallos et al., 1996).

La mutante en la PHB-sintasa *phbC*, no acumula PHB y excreta al medio una concentración mayor de ácidos orgánicos entre los más sobresalientes están piruvato y  $\beta$ -hidroxibutirato, lo que indica que existe una menor capacidad para oxidar la fuente de carbono. Esto se debe a que la alta concentración de poder reductor, que se acumula porque no es secuestrado en la síntesis de PHB, podría estar inhibiendo algunas actividades enzimáticas del TCA y de algunas enzimas auxiliares como la PDH, la cual presenta una baja actividad en la mutante *phbC*, comparada con la cepa silvestre (Cevallos et al., 1996).

Las demandas fisiológicas de la bacteria varían de acuerdo a su medicambiente, y tales demandas serán reflejadas por cambios en el metabolismo central mediado por efectores positivos y negativos (Samuel B.D., 1970; Weitzman P.D.J., 1966, 1972, 1981; Senior et al., 1971; Kornfeld et al., 1977). Por ejemplo, si el transporte de electrones es saturado con NADH, como ocurre bajo limitaciones temporales de oxígeno, el potencial redox de la célula inmediatamente

decrece y la relación NADH/NAD se incrementa (Jackson et al., 1976). Esto resulta en una desaceleración del TCA debido a una inhibición de la citrato sintasa, NADP-isocitrato deshidrogenasa y la  $\alpha$ -cetoglutarato deshidrogenasa, por la acumulación de nucleótidos reducidos (Senior et al., 1977; Jackson et al., 1976). La regulación de esas enzimas constituye un mecanismo de retroalimentación (feedback), y si tales condiciones continúan, la célula responderá posteriormente reprimiendo la síntesis de las enzimas involucradas. Así, cuando *Amaranthus blanchardii* es cambiado de metabolismo aeróbico a anaeróbico, los niveles de NADP-isocitrato deshidrogenasa y  $\alpha$ -cetoglutarato deshidrogenasa decrecen un 30% y 70%, respectivamente (Jackson et al., 1976). En *Rubia* bajo condiciones anaeróbicas, debido a la represión de la  $\alpha$ -cetoglutarato deshidrogenasa el TCA se vuelve un sistema de dos brazos, no cíclico (Amarasingham et al., 1965). Todas las enzimas del TCA en *Rubia* son reprimidas bajo condiciones anaeróbicas (Gray et al., 1966), siendo la isocitrato deshidrogenasa y la  $\alpha$ -cetoglutarato deshidrogenasa especialmente sensibles. Como se menciona en párrafos anteriores, un componente importante de la respuesta fermentativa es la acumulación de PHB. Este polímero acumula carbono y "desintoxicante" de poder reductor al ser utilizado en su síntesis, preveniendo la inhibición de algunas enzimas claves del TCA y enzimas anapleróticas como la PDM. Lo anterior es importante en bacterias fijadoras de nitrógeno, como *Rhizobium* que es un aerobio estricto, las cuales, en bajas concentraciones de oxígeno tienen que generar energía para la fijación de nitrógeno.

Una de las conclusiones de este estudio es que en *Rhizobium* en vida libre la síntesis de PHB sirve para secuestrar poder reductor, lo que permite el funcionamiento del TCA en condiciones en que el oxígeno es un factor limitante (Encarnación et al., 1995).

La PDM de *R. jacobaeae*, cepa 311B-143 la cual une la glicólisis al TCA, muestra estimulación por la presencia del piruvato y es inhibida por NADH (Emrich D.W., 1985). En la mutante sin PHB-sintasa se elevó el contenido de NADH y perdió la capacidad de crecer en piruvato o glucosa como fuente de carbono, disminuyendo la oxidación del succinato hasta en un 30% y la de glucosa en un 70%. Como propusimos anteriormente, en *Rhizobium* en vida libre es necesaria la síntesis del PHB debido a que es una forma de secuestrar el poder reductor, permitiendo el funcionamiento del TCA. Por mutagénesis al azar con tns5 de la mutante *nbbC* se han obtenido cepas que crecen optimamente en piruvato o glucosa las cuales presentan una actividad de PDM, incluso mayor que la observada en la cepa silvestre. A través del estudio de esta mutante podremos explicar los mecanismos regulatorios que hacen necesaria la acumulación de PHB para el eficiente funcionamiento del TCA, (los datos son presentados en el resumen titulado, El papel de la síntesis de PHB en el metabolismo de carbono en *Rhizobium*, en este proyecto también colaboran Ma. del Carmen Vargas, Araceli Dávalos, Yolanda Mora y Jaime Mora).

Respecto al papel de la mutante en la PHB-sintasa *nbbC* en los fenómenos de infección, nodulación y fijación de nitrógeno, el efecto más relevante fué que se incrementó la fijación de nitrógeno y el contenido de éste elemento en la semilla de frijol. Sugirimos que la alta fijación de nitrógeno puede deberse a que el poder reductor que no es secuestrado en la síntesis de PHB es canalizado a la fijación de

nitrógeno, lo que explica una mayor fijación del N<sub>2</sub> y una mayor cantidad de nitrógeno en la semilla y la planta (Cevallos et al., 1996). La discusión esta contenida en el artículo "Genetic and Physiological Characterization of a *Rhizobium* *atili* Mutant Strain Unable To Synthesize Poly- $\beta$ -hydroxybutyrate" (Cevallos et al., 1996).

Como se menciona al inicio, un hallazgo importante fué que el cambio del metabolismo aeróbico al fermentativo en *R. atili* no se presenta cuando se agregan al medio mínimo pequeñas concentraciones de biotina o tiamina (Encarnación et al., 1995). Nuestra caracterización del metabolismo celular en cultivos suplementados con estas vitaminas, mostraron un incremento en las actividades enzimáticas que las requieren como cofactor ellas son la EC, la PDM y OGDM. De tal manera que estas son las enzimas que resultan favorecidas en su actividad por la presencia de las vitaminas y que son responsables de dirigir el flujo de carbono al ciclo TCA y mantener un metabolismo aeróbico en una bacteria que, por otro lado, es un aerobio estricto.

En el caso de la biotina la actividad que se observa incrementada es la EC. Por esta razón escogimos a esta enzima como objeto de estudio para probar nuestra hipótesis de que la EC es el sitio principal donde biotina actúa promoviendo el metabolismo aeróbico (Encarnación et al., 1995).

En colaboración con el Dr. Michael Dunn, en *R. atili* se caracterizó y analizó el papel de la EC. Los resultados de este trabajo están incluidos en el trabajo "Pyruvate Carboxylase from *Rhizobium* *atili* Mutant Characterization, Nucleotide Sequence, and Physiological Role". Entre los puntos a resaltar como de mayor interés fue la presencia en *R. atili*, en el primer cultivo en MM-biotina de tres péptidos biotinilados, uno de 120 kDa que fué identificado como una subunidad de la EC y otros de 51 y 14 kDa, respectivamente, ninguno de los cuales fué identificado. Cuando *R. atili* fue cultivado en MM-succinato sin biotina, también se detectó la presencia del péptido de 120 kD en "western blot" pero el nivel de expresión sólo fué de 20% respecto al observado en células cultivadas en MM-biotina. En la discusión del artículo antes mencionado se exponen argumentos que sostienen que *R. atili* no es un auxótrofo de biotina, que este organismo es capaz de sintetizar biotina "de novo" y que la síntesis de esta vitamina puede estar siendo regulada negativamente en algún momento del crecimiento en MM. Las mutantes en esta enzima no son capaces de crecer en piruvato a diferencia de lo que sucede en otras especies (Modak et al., 1995 y Wilson J.C., 1988) que pueden convertir cetoacetoato (QAA) a partir de piruvato. Sin embargo si se cultiva a la mutante de *R. atili* en MM-piruvato más aspartato, es capaz de crecer, siendo el QAA producido a partir de aspartato, vía una aspartato aminotransferasa.

Se observó en la cepa mutante sin EC que esta enzima no es necesaria para el crecimiento en MM-succinato (10MM), ya que en estas condiciones la biotina endógena es capaz de promover un crecimiento casi igual al de la cepa padre. Sin embargo si la cepa mutante es subcultivada en succinato 30 mM se observa que ésta es incapaz de crecer aún en presencia de biotina en medio mínimo. Esto sugiere que esta enzima es el blanco de la biotina cuando se subcultiva *R. atili* en presencia de esta vitamina, indicando que esta enzima es responsable

del crecimiento de la bacteria al ser subcultivada en MM suplementado con biotina. Sabemos que un requerimiento de la EC durante el crecimiento en MM-succinato podría ser considerado menor y no estaría muy de acuerdo con el papel metabólico que en estas condiciones de cultivo proponemos para esta enzima, sin embargo sugerimos que el crecimiento de *Bacillus* en estas condiciones, puede causar un gran flujo de carbono a piruvato a través de la enzima malica (Nakay et al., 1985; Driscoll et al., 1993) y no a QAA por la vía de la malato deshidrogenasa, en virtud de que esta enzima disminuye su actividad durante los subcultivos en MM (Encarnación et al., 1995). En este caso la EC sería esencial para generar QAA a partir de piruvato y mantener el crecimiento de *Bacillus* en MM-succinato, durante los subcultivos.

Estudios realizados en nuestro laboratorio han demostrado que el amonio se asimiló en vida libre en *Bradyrhizobium* por la vía glutamino sintetasa (GS)- Glutamato sintasa (GOGAT) (Bravo et al., 1988). Debido a que encontramos que la presencia de glutamina en los subcultivos en MM impide que *Bradyrhizobium* entre en un metabolismo fermentativo (datos no publicados); se decidió estudiar el papel de este aminoácido en la utilización del succinato como fuente de carbono.

Primeramente, mediante estudios con compuestos marcados con  $^{14}\text{C}$  y  $^{13}\text{N}$  demostramos que tanto en *Bacillus* como en *Bradyrhizobium* la glutamina se encuentra ciclando, es decir, se sintetiza y se degrada al mismo tiempo. Nuestros resultados indicaron que el succinato en contraste con otras bacterias, es una buena fuente de carbono para *Bradyrhizobium* y que es eficientemente oxidado a  $\text{CO}_2$  y preferentemente oxidado frente a la glutamina, en los dos tipos de *Bradyrhizobium* probados. Sin embargo en una mutante de *Bradyrhizobium* que carece de la GS y GOGAT la glutamina fué oxidada en un grado mayor que el succinato, lo que indica que se requiere el ciclaje de glutamina para la utilización de una fuente de carbono primaria. Cuando la bacteria es cultivada en glutamina como fuente de carbono y nitrógeno, la actividad de la GOGAT es casi imperceptible. La pérdida de esta actividad enzimática nos sugiere que el succinato tiene un importante papel en la inducción de la GOGAT. También podemos concluir que la síntesis de glutamina y su ciclaje regulan la distribución de acetil-CoA para la síntesis de PHB o para el TCA, ya que la doble mutante mencionada deja de crecer en el segundo subcultivo en MM debido a la acumulación de PHB, algo que sólo sucede en la cepa silvestre en el cuarto subcultivo. En conclusión, al describir la interacción entre los metabolismos de carbono y nitrógeno que ocurre en *Bradyrhizobium*, en ausencia de la planta, hemos descrito también otro sistema regulador de la concentración intracelular del poder reductor y de la energía. El ciclaje de glutamina vía GS-GOGAT al resintetizar glutamina lo hace previa síntesis de su esqueleto carbonado y su grupo  $\alpha$ -amino con el consiguiente consumo de 2-oxoglutarato, energía y poder reductor, contribuyendo así en la oxidación de la fuente de carbono, al impedir la inhibición de algunas enzimas del TCA, convirtiéndose en un gastador de energía permanente que permite la utilización continua de la fuente de carbono (J.Mora., Microbiology Reviews).

Como se menciona en la introducción y al inicio de la discusión, la mutante en QGDM de *Bradyrhizobium japonicum* fija

nitrógeno en simbiosis al igual que la cepa silvestre. Se ha propuesto la presencia de una vía de  $\gamma$ -aminobutírico a succinato (Salminen et al., 1990) que puede compensar la falta de  $\text{GDG}_M$  durante la simbiosis. El glutámico al ser descarboxilado produciría  $\gamma$ -aminobutírico, produciendo en un siguiente paso semialdehído succínico que al ser oxidado, daría succinato, lo que implicaría suplir la falta de  $\text{GDG}_M$  completando el TCA en la mutante en esta enzima. Esta parte del "shunt" de  $\gamma$ -aminobutírico ha sido demostrada en *R. astaci*. (Encarnación et al., enviado a publicación), ya que el catabolismo de glutamina resultó en la producción de  $\gamma$  y  $\beta$ -hidroxibutirato, indicando una nueva ruta catabólica de este aminoácido. Proponemos que la producción de  $\gamma$ -hidroxibutirato se realiza a partir de la reducción del semialdehído succínico que al oxidarse produce succinato (Kahn et al., 1985) cuya existencia hemos demostrado en *R. astaci*.

Sugerimos que la bacteria deja de crecer a causa de una señal de alta densidad celular que se presenta cuando este organismo se cultiva en MM, ya que en MM a baja densidad celular se puede subcultivar continuamente (Encarnación et al., 1995). Esta señal de densidad celular en *Rhizobium* puede ser la responsable de la regulación de algunas enzimas del TCA y determinar finalmente, el cambio de metabolismo de aeróbico a fermentativo. Es por esto que decidimos explorar la síntesis de n-acil-L-homoserinas lactonas (Bainton et al., 1992; Williams et al., 1992; Fugue et al., 1994); durante el crecimiento en MM y así detectamos la presencia en *R. astaci* de al menos 2 posibles moléculas con estas características. Esto último nos llevó al análisis de los genes de la familia luxR (Toder et al., 1991; Latifi et al., 1995; Gambello et al., 1991; 1993) que responden a estas moléculas. Los resultados de esta investigación se pueden consultar en el resumen titulado "Señales de densidad celular tipo acil-homoserinas lactonas y análisis estructural de un gene homólogo a la familia de autoinductores tipo luxR en *Rhizobium astaci*". En este trabajo también participan Areaceli Dávalos, Ma. del Carmen Vargas, Sandra Contreras, Michael Dunn y Jaime Mora.

Al subcultivar a *R. astaci* en MM, este organismo incrementa su resistencia a diferentes tipos de estrés. Hemos estudiado en particular el estrés oxidativo que se presenta en *R. astaci* en MM donde se observó que las células provenientes de cultivos en MM aumentan su resistencia a cantidades crecientes de peróxido de hidrógeno, en comparación con las células que provienen de cultivos donde se favorece el metabolismo aeróbico como por ejemplo, si previo al reto por peróxido de hidrógeno el organismo se crece en MM suplementado con tiamina, biotina o en medio rico (PY).

Sugerimos que una bacteria como *R. astaci* que tiene una alta sensibilidad al estrés oxidativo, al cambiar en su entorno la concentración de oxígeno, tiende a la formación de agregados celulares. Los resultados de estos estudios indican que *R. astaci* tiende a diferenciarse dejando de crecer aeróbicamente y entrando en simbiosis. Esto último sería con dos finalidades: la primera para adquirir una alta protección contra el estrés oxidativo a través de dejar de crecer y agrergarse, estado que se asemeja a microaerobiosis cuando se encuentra en vida libre y la segunda en microaerobiosis, como en la simbiosis, donde el daño producido por el oxígeno es menor debido al metabolismo fermentativo.

Este nos llevó a clonar y estudiar la regulación de una enzima central en el metabolismo del oxígeno, la catalasa (Deisseroth y Dounce, 1970; Dunford y Stillman, 1976) la cual demostramos es regulada por la señal de alta densidad celular y por la presencia de homoserina, un precursor de HSL. Los resultados obtenidos involucran a esta enzima en la defensa contra el estrés oxidativo durante el paso del metabolismo aeróbico al fermentativo. El grado de avance de este proyecto es presentado en el reporte "Clonación, Secuencia y Regulación de la Catalasa-Peroxidasa de *Rhizobium* ssp. por los autores Vargas Ma. del Carmen, Encarnación Sergio, Dávalos Araceli y Mora Jaime.

Se ha logrado reproducir en *Rhizobium* fuera de la planta, un fenómeno parecido al que ocurre en los bacteroides durante la simbiosis en cuanto a proliferar y dejar de hacerlo.

Hemos descrito la interacción entre los metabolismos de carbono y de nitrógeno que ocurre en *Rhizobium* en ausencia de la planta. Esta interacción consiste en la utilización preferencial del succinato, que es la forma molecular en que la planta le proporciona el carbono al bacteroide.

Como puede observarse el análisis de los mecanismos que *Rhizobium* lleva a cabo cuando se cultiva en MM, con y sin suplementos, no sería posible si solamente nos circunscribiéramos al estudio del metabolismo de carbono, aunque sin duda es el centro de los cambios presentados por *Rhizobium*. De esta manera nuestro análisis interrelacionando los dos metabolismos, es necesario, para entender los complejos cambios presentados por *Rhizobium* que quizás lo predisponen a entrar en simbiosis.

Sumado a lo anterior sabemos que un objetivo central en Biología ha sido el entender el genoma en términos funcionales, algo que seguramente no podrá ser llevado a cabo en un tiempo corto, pero existe ahora la posibilidad de analizar al menos los productos de éste y acercarnos a ese futuro. Un análisis en geles de doble dimensión de las proteínas que *Rhizobium* sintetiza en diferentes condiciones fisiológicas, nos puede ayudar a entender los diferentes eventos fisiológicos y la regulación de éstos. Hemos realizado en *Rhizobium* (CG3) experimentos de expresión del genoma en MM, en donde se expresa el cambio del metabolismo aeróbico a fermentativo. Además, se han realizado estudios en condiciones de estrés como son: alta sal, perdido de hidrógeno, metales pesados, etc. Este estudio nos ayudará a establecer la fracción de las proteínas celulares que están sujetas a reguladores globales. Un mapa de expresión del genoma de *Rhizobium* podrá ser una fuente más fidedigna que la secuencia del genoma. Dadas las 1000 a 1200 proteínas comúnmente expresadas por *Rhizobium* (CG3), el mapa puede proveer un rápido conducto hacia los genes, abriendo la puerta al análisis genético-molecular a través de "la genética reversa". En este momento hemos podido establecer varios grupos de proteínas las cuales se expresan dependiendo de la fase de crecimiento de la bacteria, el metabolismo aeróbico o fermentativo de la misma, además de proteínas que sólo son expresadas en condiciones particulares de estrés. En la siguiente parte del análisis identificaremos las proteínas en función a su composición de

aminoácidos y/o mediante microsecuencia.

De esta manera este trabajo da inicio a un proyecto que pretende estudiar el complejo de redes y grupos de proteínas que son reguladas en el complejo sistema transcripción-traducción, el proyecto proteoma, que es el análisis de las proteínas sintetizadas por el genoma de E. coli.

## **6.- BIBLIOGRAFIA.**

#### 6.-BIBLIOGRAFIA.

- Akune, G., Ebeling, S. and Hennecette, H. Cloning, sequencing, and mutational analysis of the *Bradyrhizobium japonicum* fumC-like gene: evidence for the existence of two different fumurases. 1997. J. Gen. Microbiol.
- Amaki, H. Catalase in vitro. 1984. Meth. Enzymol. 105:121-126
- Allam, R.J. and Scott, G.K. Biosynthesis and turnover of outer-membrane proteins in *Escherichia coli* ML308-225. 1979. Biochem. J. 182:407-412.
- Altuvia, S., Almiron, M., Huisman, G., Kelter, R. and Stern, G. The dps promoter is activated by OxyR during growth and by IHF and sigma S in stationary phase. 1994. Mol. Microbiol. 13:265-272.
- Amaraesingham, C.R. and Davis, B.D. Regulation of alpha-ketoglutarate dehydrogenase formation in *Escherichia coli*. 1965. J. Biol. Chem. 240:3664-3668.
- Amesler, C.D., Cho, M. and Matsumura, P. Multiple factors underlying the maximum motility of *Escherichia coli* as cultures enter post-exponential growth. 1993. J. Bacteriol. 175:6238-6244.
- Anderson, A.J. and Davies, B.A. Occurrence, metabolism, metabolic role, and industrial uses of bacterial polyhydroxyalkanoates. 1990. Microbiol. Rev. 54:450-472.
- Arias, A., Cardiel, A. and Martínez-Bretó, G. Transport and catabolism of D-mannose in *Rhizobium meliloti*. 1982. J. Bacteriol. 151:1069-1072.
- Arias, A. and Martínez-Bretó, G. Glycerol metabolism in *Rhizobium*. 1976. Can. J. Microbiol. 22:150-153.
- Arnes, R., McKay, I.A., Rowsey, F.R.P., Dilworth, M.J. and Glenn, A.R. Properties of organic acid utilization mutants of *Rhizobium leguminosarum* strain 300. 1985. J. Gen. Microbiol. 131:2059-2066.
- Bainton, N.J., Bycroft, B.W., Chabre, S.R., Stead, P., Gladhill, L., Hill, P.J., Reed, C.H., Winsor, M.R., Salmon, G.P., Stewart, G.S. A general role for the lux autoinducer in bacterial cell signalling: control of antibiotic biosynthesis in *Erwinia*. 1992. Gene 116:87-91.
- Bainton, N.J., Stead, P., Chabre, S.R., Bycroft, B.W., Salmon, G.P., Stewart, G.S. and Williams, P. N-(3-oxohexanoyl)-L-homoserine lactone regulates carbapenem antibiotic production in *Erwinia carotovora*. 1992. Biochem. J. 288:997-1004.

- Bosca, M., Aparicio-Vejo, P., Irigoyen, J.J. and Sánchez-Báez, M. Some enzymes of hydrogen peroxide metabolism in leaves and root nodules of *Medicago sativa*. 1986. *Plant Physiol.* 82:1169-1171.
- Bosca, M. and Ríuscas, R.V. Transition metals in legume root nodules: iron-dependent free radical production increases during nodule senescence. 1992. *Proc. Natl. Acad. Sci.* 89:8958-8962.
- Bosca, M., Paris, F.J., Sandalio, L.M. and Del Rio, L.A. Isozymes of superoxide dismutase in nodules of *P. vulgaris* L., *Pisum sativum* L. and *Vigna unguiculata* (L) Wulp. 1989. *Plant Physiol.* 90:1286-1292.
- Bergersen, B.J. and Turner, G.L. Nitrogen fixation by the bacteroid fraction of beans of soybean root nodules. 1967. *Biochim. Biophys. Acta* 141:507-515.
- Bergersen, B.J. and Turner, G.L. Supply of O<sub>2</sub> regulates O<sub>2</sub> demand during utilization of reserves of poly-β-hydroxybutyrate in N<sub>2</sub>-fixing soybean bacteroids. 1992. *Proc. R. Soc. Lond. B. Biol. Sci.* 249:143-148.
- Brandl, C.J., Barber, R.B., Hsu, L.C., Wooley, G.A., Young, E.K. and Barber, C.H. Evidence for similar function of transmembrane segments in receptor and membrane-anchored proteins. 1988. *Biopolymers* 27:1171-1182.
- Breve, A. and Mora, J. Ammonium assimilation in *Rhizobium phaseoli* by the glutamine synthetase-glutamate synthase pathway. 1988. *J. Bacteriol.* 170:980-984.
- Brewin, W.J. In: edited by Gresshoff, P.M., Chapman, and Hall. New York, NY: Nitrogen Fixation: Achievements and Objectives., 1990, p. 227-234.
- Buet, M. and Weissbach, H. Chemistry and biology of *E.coli* ribosomal protein L12. 1981. *Mol. Cell Biochem.* 36:47-63.
- Calderón, J., Cooper, A.J., Gelbard, A.S. and Mora, J. 13N isotope studies of glutamine assimilation pathways in *Neurospora crassa*. 1989. *J. Bacteriol.* 171:1772-1774.
- Calderón, J. and Mora, J. Glutamine cycling in *Neurospora crassa*. 1985. *J. Gen. Microbiol.* 131:3237-3242.
- Calderón, J. and Mora, J. Glutamine assimilation pathways in *Neurospora crassa* growing on glutamine as sole nitrogen and carbon source. 1989. *J. Gen. Microbiol.* 135:2699-2707.
- Cao, J.G. and Neighman, B.A. Purification and structural identification of an autoinducer for the luminescence system of *Vibrio harveyi*. 1989. *J. Biol. Chem.* 264:21670-21676.
- Cevallos, M.A., Encarnación, S., Leija, A., Mora, V. and Mora, J. Genetic and physiological characterization of a *Rhizobium etli* mutant

- strain unable to synthesize poly- $\beta$ -hydroxybutyrate. 1996. J. Bacteriol. 178:1646-1654.
- Chandrasekharan, P.T. and Shethna, T.Z. Purification and properties of an NADP<sup>+</sup>-specific isocitrate dehydrogenase from *Rhizobium meliloti*. 1976. Antonie Van Leeuwenhoek 42:471-482.
- Chang, T.Y., Wang, A.T. and Creaan, J.S. Expression of *Escherichia coli* pyruvate oxidase (PoxB) depends on the sigma factor encoded by the *rpos*(*MalF*) gene. 1994. Mol. Microbiol. 11:1019-1028.
- Ching, T.M., Boddeke, S. and Newcomb, W. Isolation of bacteria, transforming bacteria, and bacteroids from soybean nodules. 1977. Plant Physiol. 60:771-774.
- Chiurazzi, M., Mesa, R., Lara, M., Lahm, A., Defes, R., Faccioli, M. and Sepin, G. The *Rhizobium leguminosarum* biovar *phaseoli* *glnT* gene, encoding glutamine synthetase III. 1992. Gene 119:1-8.
- Christman, M.P., Morgan, R.W., Jacobsen, P.S. and Ames, B.N. Positive control of a regulon for defenses against oxidative stress and some heat-shock proteins in *Salmonella typhimurium*. 1985. Cell 41:753-762.
- Christman, M.P., Stern, G. and Ames, B.N. OxyR, a positive regulator of hydrogen peroxide-inducible genes in *Escherichia coli* and *Salmonella typhimurium*, is homologous to a family of bacterial regulatory proteins. 1989. Proc. Natl. Acad. Sci. USA 86:3484-3488.
- Claiborne, A. and Pridovich, I. Chemical and enzymatic intermediates in the peroxidation of o-dianisidine by horseradish peroxidase. I. Spectral properties of the products of dianisidine oxidation. 1979. Biochem. 18:2324-2329.
- Claiborne, A., Malinowski, D.P. and Pridovich, I. Purification and characterization of hydroperoxidase II of *Escherichia coli* B. 1979. J. Biol. Chem. 254:11664-11668.
- Cooper, A.J.L. and Meister, A. The glutamine transaminase- $\alpha$ -amidase pathway. 1977. Crit. Rev. Biochem. 4:281-303.
- Copeland, L., Guimbell, R.G. and Day, D.A. Malic enzyme activity in bacteroids from soybean nodules. 1989. J. Gen. Microbiol. 135:2005-2012.
- Crookford, A.J., Davis, G.A. and Williams, H.D. Evidence for cell-density-dependent regulation of catalase activity in *Rhizobium leguminosarum* by *phaseoli*. 1995. Microbiology 141:843-851.
- Cube, M.P., Beaman, A., Murphy, G., Johnston, A.W. and Bonnie, J.A. Molecular characterization and regulation of the rhizosphere-expressed genes *rhiABCW* that can influence nodulation by

- Rhizobium leguminosarum* biovar *viciae*. 1992. J. Bacteriol. 174:4026-4035.
- Beltman, B.A., Langeberg, L. and Treneman, H.C. Correlations between the ascorbate-glutathione pathway and effectiveness in legume root nodules. 1993. Physiol. Plant 87:367-370.
- Beltman, B.A., Peet, C.J. and Langeberg, L. Effects of ambient oxygen and of fixed nitrogen on concentrations of glutathione, ascorbate and associated enzymes in soybean root nodules. 1991. Plant Physiol. 96:813-818.
- Bonette, M., Cattaneo, J., Sigal, M. and Puig, J. Mutants of *Escherichia coli* K 12 altered in their ability to store glycogen. 1968. Biochem. Biophys. Res. Commun. 32:916-920.
- Burrow, R.A. and Raette, R.R. Two forms of glutamine synthetase in free-living root-nodule bacteria. 1977. Biochem. Biophys. Res. Commun. 78:554-559.
- Davis, B.D., Luger, S.M. and Tai, P.C. Role of ribosome degradation in the death of starved *Escherichia coli* cells. 1986. J. Bacteriol. 166:439-445.
- de Brujin, F.J., Beesbach, S., Schneider, M., Batet, P., Messner, S., Goto, W.W., Aszkenasy, M.M. and J. Scheffl. *Rhizobium meliloti* 1021 has three differentially regulated loci involved in glutamine biosynthesis, none of which is essential for symbiotic nitrogen fixation. 1989. J. Bacteriol. 171:1673-1682.
- de Vries, G.B., Zn't Veld, P. and Huijne, J.W. Production of organic acids in *Pisum sativum* root nodules as a result of oxygen stress. 1980. Plant Sci. Lett. 20:115-123.
- de Vries, G.B., van Brussel, A.A. and Guijzel, A. Mechanism of regulation of glucose transport in *Rhizobium leguminosarum*. 1982. J. Bacteriol. 159:872-879.
- de Vries, W., Stam, E., Buys, J.G., Ligtsterberg, A.J., Simons, L.H. and Stouthamer, A.H. The effect of the dissolved oxygen concentration and anabolic limitations on the behaviour of *Rhizobium ORS571* in chemostat cultures. 1986. Antonie Van Leeuwenhoek 52:85-96.
- Deisseroth, A. and Bounce, A.L. Catalase: Physical and chemical properties, mechanism of catalysis, and physiological role. 1970. Physiol. Rev. 50:319-375.
- Dempie, D. Enzyme structures. DNA repair flips out. 1995. Curr. Biol. 5:719-721.
- Dempie, D. and Amabile-Cuevas, C.F. Redox redux: the control of oxidative stress responses. 1991. Cell 67:837-839.

- Banville, S. and Malbrouck, J. Inducible repair of oxidative DNA damage in *Escherichia coli*. 1983. *Nature* 304:466-468.
- Beverenou, J., Haeberli, P. and Smithies, O. A comprehensive set of sequence analysis programs for the VAX. 1984. *Nucl. Acids Res.* 12:387-395.
- Bovine, J.H., Countryman, C. and Baldwin, T.G. Nucleotide Sequence of the luxR and luxI Genes and Structure of the Primary Regulatory Region of the lux Regulon of *Vibrio fischeri* ATCC 7744. 1988. *Biochem.* 27:837-842.
- Bilodeau, M.J., Bowrie, J.A. and Brown, M.J. Identification of a rhizosphere protein encoded by the symbiotic plasmid of *Rhizobium leguminosarum*. 1984. *J. Bacteriol.* 158:621-627.
- Bilsworth, M.J., Arwas, R., McKay, I.A., Sarsse, S. and Gleam, A.R. Pentose metabolism in *Rhizobium leguminosarum* MGR300 and in couplet *Rhizobium* MGR234. 1986. *J. Gen. Microbiol.* 132:1733-1742.
- Bilsworth, M.J. and Gleam, A.R. Control of carbon substrate utilization by rhizobia. In: *Current Perspectives in Nitrogen Fixation*, edited by Gibson, A.M. and Newton, W.E. Canberra.: Australian Academy of Sciences., 1981. p. 244-251.
- Bilsworth, M.J. and Gleam, A.R. Transport in *Rhizobium* and its significance to the legume symbiosis. In: *Nitrogen Fixation and Photosynthesis*, edited by Ludden, P.W. and Burris, J.E. New York.: Elsevier., 1985. p. 53-61.
- Bilsworth, M.J., McKay, I.A., Franklin, M. and Gleam, A.R. Catabolite effects on enzyme induction and substrate utilization in *Rhizobium leguminosarum*. 1983. *J. Gen. Microbiol.* 129:359-366.
- Bonald, R.O. and Ludwig, R.A. *Rhizobium* sp. strain ORS571 ammonium assimilation and nitrogen fixation. 1984. *J. Bacteriol.* 158:1144-1151.
- Borremans, C.J. and de Bruijn, W. In: edited by Normaache, C.E., Penn, C.W. and Smith, C.J. Cambridge University Press. *Molecular Biology of Bacterial Infection* (SGM Symp. 49), 1992. p. 193-230.
- Brioccell, S.P. and Pinan, J.M. NAD(+) -dependent malic enzyme of *Rhizobium meliloti* is required for symbiotic nitrogen fixation. 1993. *Mol. Microbiol.* 7:865-873.
- Brown, M.J. Arabinose metabolism in rhizobia. 1979. *J. Gen. Microbiol.* 113:413-419.
- Brown, M.J. and Fraemke, D.G. Alpha-Ketoglutarate dehydrogenase mutant of *Rhizobium meliloti*. 1979. *J. Bacteriol.* 137:415-419.
- Bunn, M.P., Encarnacion, S., Araiza, G., Vargas M.C., Dávalos, A., Dosalta, E., Mora, Y., and J. Mora. Pyruvate carboxylase from

*Rhizobium etli*: mutant characterization, nucleotide sequence, and physiological role. 1996. *J. Bacteriol.* 178:5960-5970.

Berán, S. and Calderón, J. Role of the glutamine transaminase  $\alpha$ -amidase and glutaminase in glutamine degradation in *Rhizobium etli*. 1995 *Microbiol.* 141:589-595.

Eberhard, A., Burlingame, A.L., Eberhard, C., Namyem, G.B., Meiliss, K.H. and Oppenheimer, M.J. Structural identification of autoinducer of *Photobacterium fischeri* luciferase. 1981. *Biochem.* 20:2444-2449.

El-Sin, A.E. A succinate transport mutant of Brady*Rhizobium japonicum* forms ineffective nodules on soybeans. 1992. *Can. J. Microbiol.* 38:230-234.

El-khami, M.A. and Stretton, R.J. Effect of growth medium on the lipid composition of log and stationary phase cultures of *Salmonella typhimutum*. 1981. *Microbios.* 31:161-169.

Elkan, G.H. and Ruykemall, L.D. Carbohydrate metabolism, in Nitrogen Fixation. In: Broughton, W.J. Oxford: Clarendon Press. 1982. p. 147-166.

Emrich, D.W. Characterization of carbon metabolism in *Rhizobium japonicum* bacteroids, in Nitrogen Fixation and CO<sub>2</sub> Metabolism. In: Ludden, P.W. and Burris, J.E. New York, N. Y.: Elsevier Science Publishing Co. 1985. p. 21-30.

Emrich, D.W., Anthon, G.B., Hayes, R.R., Parr, D.B., Liang, S., Preston, G.C., Smit, M.T., and Waters, J.E. Metabolism of *Rhizobium-leguminosarum* plant nodules with an emphasis on bacteroid carbon metabolism, in Nitrogen fixation: Hundred Years After. In: Bothe, H., de Brujin, F.J., and Newton, W.E. New York, N. Y. Gustav Fischer. 1988. p. 539-546.

Encarnación, S., Dunn, M., Willis, K. and Mora, J. Fermentative and aerobic metabolism in *Rhizobium etli*. 1995. *J. Bacteriol.* 177:3058-3066.

Esparza, G., Moreno, S., Wild, M., Mesa, R. and Izquierdo, M. A previously unrecognized glutamine synthetase expressed in *Klebsiella pneumoniae* from the *glnt* locus of *Rhizobium leguminosarum*. 1990. *Mol. Gen. Genet.* 223:513-516.

Farr, S.B. and Regama, T. Oxidative stress responses in *Escherichia coli* and *Salmonella typhimurium*. 1991. *Microbiol. Rev.* 55:561-585.

Fazraoui, S.K., Ewang, I. and Cook, D.M. The *tra* region of the nopaline-type Ti plasmid is a chimera with elements related to the transfer systems of RSF1010, RP4, and F1996. *J. Bacteriol.* 178:4233-4247.

- Peng, J., Atkinson, M.R., McCleary, W., Stock, J.B., Wammer, B.L. and Minna, A.J. Role of phosphorylated metabolic intermediates in the regulation of glutamine synthetase synthesis in *Escherichia coli*. 1992. *J. Bacteriol.* 174:6061-6070.
- Pinam, T.M., Greenrik, I. and Bottacini, A. Mutants of *Rhizobium meliloti* defective in succinate metabolism. 1988. *J. Bacteriol.* 170:3396-3403.
- Pinam, T.M., Wood, J.W. and Jordan, D.C. Symbiotic properties of C<sub>4</sub>-dicarboxylic acid transport mutants of *Rhizobium leguminosarum*. 1983. *J. Bacteriol.* 154:1403-1413.
- Pinegold, B.M. Mechanisms of resistance in anaerobes and new developments in testing. 1989. *Diagn. Microbiol. Infect. Dis.* 12:117S-120S.
- Plores-Samaniego, B., Olivera, M. and Gonzales, A. Glutamine synthetase is a regulatory signal controlling glucose catabolism in *Saccharomyces cerevisiae*. 1993. *J. Bacteriol.* 175:7705-7706.
- Prause, A.J. and Alexander, M. Catalase activity and nitrogen fixation in legume root nodules. 1972. *Can. J. Microbiol.* 18:861-864.
- Puech, R.L. and Reister, D.L. Identification of two glutamine synthetases in *Agrobacterium*. 1980. *J. Bacteriol.* 141:996-998.
- Puech, W.C., Wiangs, S.C. and Greenberg, E.P. Quorum sensing in bacteria: the LuxR-LuxI family of cell density-responsive transcriptional regulators. 1994. *J. Bacteriol.* 176:269-275.
- Gambello, M.J. and Iglesias, B.M. Cloning and characterization of the *Pseudomonas aeruginosa* lasR gene, a transcriptional activator of elastase expression. 1991. *J. Bacteriol.* 173:3000-3009.
- Gambello, M.J., Raye, S. and Iglesias, B.M. LasR of *Pseudomonas aeruginosa* is a transcriptional activator of the alkaline protease gene (apr) and an enhancer of exotoxin A expression. 1993. *Infect. Immun.* 61:1180-1184.
- Gardiel, A., Arias, A., Corvenansky, C., Gaggero, C. and Martínez-Bretó, C. Biochemical characterization of a fructokinase mutant of *Rhizobium meliloti*. 1980. *J. Bacteriol.* 144:12-16.
- Gardiel, A.B., Truchet, G.L. and Passet, P.B. Requirement of succinate dehydrogenase activity for symbiotic bacteroid differentiation of *Rhizobium meliloti* in alfalfa nodules. 1987. *Appl. Environ. Microbiol.* 53:1947-1950.
- Georgiou, C.D., Duewke, T.J. and Dennis, R.B. Regulation of expression of the cytochrome d terminal oxidase in *Escherichia coli* is transcriptional. 1988. *J. Bacteriol.* 170:961-966.

- Gilson, L., Rao, A. and Dunlap, P.V. Ains and a new family of autoinducer synthesis proteins. 1995. J. Bacteriol. 177:6946-6951.
- Glasscock, J., Ichige, A. and Walker, G.C. A *Rhizobium meliloti* homolog of the *Escherichia coli* peptide-antibiotic transport protein MraA is essential for bacteroid development. 1993. Genes Dev. 7:1485-1497.
- Gleam, A.R. and Brewin, M.J. Succinate-resistant mutants of *Rhizobium leguminosarum*. 1981. J. Gen. Microbiol. 126:237-241.
- Gleam, A.R., McKay, I.A., Arwas, R. and Silworth, M.J. Sugar metabolism and the symbiotic properties of carbohydrate mutants of *Rhizobium leguminosarum*. 1984. J. Gen. Microbiol. 130:239-245.
- Gleam, A.R., Poole, P.S. and Hudman, J.P. Succinate uptake by free-living and bacteroid forms of *Rhizobium leguminosarum*. 1980. J. Gen. Microbiol. 119:267-271.
- Goldberg, I. and Hochman, A. Purification and characterization of a novel type of catalase from the bacterium *Klebsiella pneumoniae*. 1989. Biochim. Biophys. Acta 991:330-336.
- Goodchild, D.J. and Bergersen, F.J. Electron microscopy of the infection and subsequent development of soybean nodule cells. 1966. J. Bacteriol. 92:204-213.
- Graham, P.M. Studies on the utilization of carbohydrates and Krebs cycle intermediates by rhizobia using an agar plate method. 1964. Antonie Van Leeuwenhoek 30:68-72.
- Gray, C.T., Wimpenny, J.W., Hughes, D.E. and Messam, M.R. Regulation of metabolism in facultative bacteria. I. Structural and functional changes in *Escherichia coli* associated with shifts between the aerobic and anaerobic states. 1966. Biochim. Biophys. Acta 117:22-32.
- Gray, E.H., Pearson, J.P., Downie, J.A., Babeyko, B.E. and Greenberg, E.P. Cell-to-cell signaling in the symbiotic nitrogen-fixing bacterium *Rhizobium leguminosarum*: autoinduction of a stationary phase and rhizosphere-expressed genes. 1996. J. Bacteriol. 178:372-376.
- Green, L.S. and Emerson, D.W. *Bradyrhizobium japonicum* Does Not Require alpha-Ketoglutarate Dehydrogenase for Growth on Succinate or Malate. 1997. J. Bacteriol. 179 No. 1:194-201.
- Greenberg, E.P., Hastings, J.W. and Ulitzur, S. 1979. Arch. Microbiol. 120:87-91.
- Greenberg, J.P. and Demple, B. A global response induced in *Escherichia coli* by redox-cycling agents overlaps with that induced by peroxide stress. 1989. J. Bacteriol. 171:3933-3939.

- Great, R.C., Schulte, J.B., Sychlinsky, B., Beckman, A. and Matin, A. Starvation proteins in *Escherichia coli*: kinetics of synthesis and role in starvation survival. 1986. *J. Bacteriol.* 168:466-493.
- Halliwell, B. How to characterize a biological antioxidant. 1990. *Free Radic. Res. Commun.* 9:1-32.
- Halliwell, B. and Gutteridge, J.M. Oxygen free radicals and iron in relation to biology and medicine: some problems and concepts. 1986. *Arch. Biochem. Biophys.* 246:501-514.
- Halpern, Y.S. Control of transport and utilization of nitrogen sources in bacteria. In: *Nitrogen Source Control of Microbial Processes*, edited by Sánchez-Esquível, S. USA: Boca Raton: CRC Press, 1988. p. 21-58.
- Hanselka, B.L. and Greenberg, E.P. Evidence that the N-terminal region of the *Vibrio fischeri* LuxR protein constitutes an autoinducer-binding domain. 1995. *J. Bacteriol.* 177:815-817.
- Hengge-Arcoria, R. Survival of hunger and stress: the role of *rpoS* in early stationary phase gene regulation in *E. coli*. 1993. *Cell* 72:165-168.
- Henkin, B., Maughan, C.W., Calve, J.M. and Wallace, J.C. A large family of bacterial activator proteins. 1988. *Proc. Natl. Acad. Sci. USA* 85:6602-6606.
- Hennecke, H., Kalusa, B., Tholey, B., Fuhrmann, M., Ludwig, W. and Stachkeviciat, S. Concurrent evolution of nitrogenase genes and 16S rRNA in *Rhizobium* species and other nitrogen fixing bacteria. 1985. *Arch. Microbiol.* 142:342-348.
- Hernández-Lucas, I., Pardo, M.A., Segovia, L., Miranda, J. and Martínez-Romero, B. *Rhizobium tropici* chromosomal citrate synthase gene. 1995. *Appl. Environ. Microbiol.* 61:3992-3997.
- Hernández, G. and Mora, J. Glutamine synthetase regulates sucrose catabolism in *Neurospora crassa*. 1986. *J. Gen. Microbiol.* 132:3315-3323.
- Huala, E., Stigter, J. and Ausubel, F.M. The central domain of *Rhizobium leguminosarum* DctD functions independently to activate transcription. 1992. *J. Bacteriol.* 174:1428-1431.
- Huijberts, G.W., Eggink, G., de Waard, P., Huisman, G.W. and Witholt, B. *Pseudomonas putida* KT2442 cultivated on glucose accumulates poly(3-hydroxyalkanoates) consisting of saturated and unsaturated monomers. 1992. *Appl. Environ. Microbiol.* 58:536-544.
- Huisman, G.W., de Leeuw, O., Eggink, G. and Witholt, B. Synthesis of poly-3-hydroxyalkanoates is a common feature of fluorescent pseudomonads. 1989. *Appl. Environ. Microbiol.* 55:1949-1954.

- Baumann, G.W. and Kolter, R. Sensing starvation: a homoserine lactone-dependent signaling pathway in *Escherichia coli*. 1994. *Science* 265:537-539.
- Berquist, D., Sigaud, S., Moreau, S., Frendo, P., Touati, D. and Puccio, A. Cloning and Characterization of the *Kata* Gene of *Rhizobium meliloti* Encoding a Hydrogen Peroxide-Inducible Catalase. 1996. *J. Bacteriol.* 178:6802-6809.
- Ivanova, A., Miller, C., Glinsky, G. and Eisenstark, A. Role of *rpos* (*kataF*) in oxyR-independent regulation of hydroperoxidase I in *Escherichia coli*. 1994. *Mol. Microbiol.* 12:571-578.
- Jackson, P.A. and Davies, B.A. Regulation of the tricarboxylic acid cycle and poly- $\beta$ -hydroxybutyrate metabolism in *Azotobacter beijerinckii* grown under nitrogen or oxygen limitation. 1976. *J. Gen. Microbiol.* 97:303-312.
- Jakubowski, H. and Goldman, B. Editing of errors in selection of amino acids for protein synthesis. 1992. *Microbiol. Rev.* 56:412-429.
- Jenkins, D.B., Auger, B.A. and Matin, A. Role of *RpoH*, a heat shock regulator protein, in *Escherichia coli* carbon starvation protein synthesis and survival. 1991. *J. Bacteriol.* 173:1992-1996.
- Jenkins, D.B., Chaisson, B.A. and Matin, A. Starvation-induced cross protection against osmotic challenge in *Escherichia coli*. 1990. *J. Bacteriol.* 172:2779-2781.
- Jimenes-Surdo, J.Z., Garcia-Rodriguez, F.M. and Varela, M. The *Rhizobium meliloti* *putA* gene: its role in the establishment of the symbiotic interaction with alfalfa. 1997. *Mol. Microbiol.* 23:85-93.
- Jim, H.H., Bilsworth, M.J. and Glenn, A.R. 4-Aminobutyrate is not available to bacteroids of cowpea *Rhizobium MNP2030* in snake bean nodules. 1990. *Arch. Microbiol.* 153:455-462.
- Jim, H.H., Glenn, A.R. and Bilsworth, M.J. How does L-glutamate transport relate to selection of mixed nitrogen sources in *Rhizobium leguminosarum* biovar *trifolii* and cowpea *Rhizobium MNP2030*. 1990. *Arch. Microbiol.* 153:448-454.
- James, S., Tu, B., Bainton, N.J. The lux autoinducer regulates the production of exoenzyme virulence determinants in *Erwinia carotovora* and *Pseudomonas aeruginosa*. 1993. *EMBO J.* 12:2477-2482.
- Kahn, M.L., Kraus, J. and Somerville, J.E. A model of nutrient exchange in the *Rhizobium-legume* symbiosis. In: *Nitrogen Fixation Research Progress*, edited by Evans, H.J., Bottomley, P.J. and Newton, W.E. Nijhoff, Dordrecht: Martinus Nijhoff, Dordrecht, 1985, p. 193-199.
- Kaiser, P. and Losick, R. How and why bacteria talk to each other. 1993. *Cell* 73:873-885.

- Salosa, E., Fuhrmann, M., Behn, M., Regensburger, B. and Hennecke, H. In *Rhizobium japonicum* the nitrogenase genes *nifH* and *nifDK* are separated. 1983. *J. Bacteriol.* 155:915-918.
- Shaw, D.B., Waters, J.K. and Emerich, D.W. Analysis of poly- $\beta$ -hydroxybutyrate in *Rhizobium japonicum* bacteroids by ion exclusion high-pressure liquid chromatography and UV detection. 1984. *Appl. Environ. Microbiol.* 46:1339-1344.
- Shaw, D.B., Waters, J.K., Suzuki, F. and Emerich, D.W. Enzymes of the poly- $\beta$ -hydroxybutyrate and citric acid cycles of *Rhizobium japonicum* bacteroids. 1984. *Plant Physiol.* 75:1158-1162.
- Shatto, J. and Regstad, R. Futile cycles in the metabolism of glucose. 1976. *Curr. Top. Cell. Regul.* 10:237-289.
- Shatto, J. and Regstad, R. Futile cycling in glucose metabolism. 1978. *Trends Biochem. Sci.* 3:171-174.
- Sahl, D.E., Schubert, K.R., Carter, M.B., Nagelkerke, C.H. and Shemerer, G. Proline metabolism in N<sub>2</sub>-fixing root nodules: energy transfer and regulation of purine synthesis. 1988. *Proc. Natl. Acad. Sci. USA* 85:2036-2040.
- Solisbarchuk, D. and Greenberg, E.P. The *Vibrio fischeri* luminescence gene activator LuxR is a membrane-associated protein. 1993. *J. Bacteriol.* 175:7307-7312.
- Solter, R., Siegels, P.A. and Terzo, A. The stationary phase of the bacterial life cycle. 1993. *Annu. Rev. Microbiol.* 47:855-874.
- Sonnenfeld, S., Bensiman, M. and Milner, Y. Alpha-ketoglutarate dehydrogenase complex of *Acetobacter xylinum*. Purification and regulatory properties. 1977. *J. Biol. Chem.* 252:2940-2947.
- Souchiki, H., Fukai, K., Katagiri, H., Minamisawa, K. and Tajima, S. Isolation and enzymological characterization of infected and uninfected cell protoplasts from root nodules of *Glycine max*. 1988. *Physiol. Plant.* 73:327-334.
- Stiles, H.B. and Neffman, P.S. Microaerophily and oxygen toxicity. 1986. *Ann. Rev. Microbiol.* 40:107-130.
- Sturz, W.G.W. and LaRue, T.A. Citric acid cycle enzymes and nitrogenase in nodules of *Pisum sativum*. 1977. *Can. J. Microbiol.* 23:1197-1200.
- Lange, R. and Mengen-Armes, R. Identification of a central regulator of stationary-phase gene expression in *Escherichia coli*. 1991. *Mol. Microbiol.* 5:49-59.
- Lange, R. and Mengen-Armes, R. The cellular concentration of the sigma S subunit of RNA polymerase in *Escherichia coli* is controlled at

- the levels of transcription, translation, and protein stability. 1994. Genes Dev. 8:1600-1612.
- Katifi, A., Winson, M.K., Foglino, M. Multiple homologues of LuxR and LuxI control expression of virulence determinants and secondary metabolites through quorum sensing in *Pseudomonas aeruginosa* PAO1. 1995. Mol. Microbiol. 17:333-343.
- Lavina, M., Pugsley, A.P. and Moreno, F. Identification, mapping, cloning and characterization of a gene (*shmA*) required for microcin B17 action on *Escherichia coli* K12. 1986. J. Gen. Microbiol. 132:1685-1693.
- Levin, D.Z., Hollstein, M., Christman, M.F., Schwiers, E.A. and Ames, B.N. A new *Salmonella* tester strain (TA102) with A X T base pairs at the site of mutation detects oxidative mutagens. 1982. Proc. Natl. Acad. Sci. USA 79:7445-7449.
- Li, C. and Clarke, S. A protein methyltransferase specific for altered aspartyl residues is important in *Escherichia coli* stationary-phase survival and heat-shock resistance. 1992. Proc. Natl. Acad. Sci. USA 89:9885-9889.
- Liebergessell, M., Schmidt, B. and Steinbuchel, A. Isolation and identification of granule-associated proteins relevant for poly(3-hydroxyalcanoic acid) biosynthesis in *Chromatium vinosum* B. 1992. FEBS Microbiol Lett. 78:227-232.
- Liebergessell, M. and Steinbuchel, A. Cloning and molecular analysis of the poly(3-hydroxybutyric acid) biosynthetic genes of *Thiocystis violacea*. 1993. Appl. Microbiol. Biotechnol. 38:493-501.
- Loewen, P.C. and Mengge-Aronis, R. The role of the sigma factor sigma S (KanF) in bacterial global regulation. 1994. Annu. Rev. Microbiol. 48:53-80.
- Loewen, P.C. and Switala, J. Purification and characterization of catalase-1 from *Bacillus subtilis*. 1987. Biochem. Cell Biol. 65:939-947.
- Loewen, P.C. and Switala, J. Multiple catalases in *Bacillus subtilis*. 1987. J. Bacteriol. 169:3601-3607.
- Loewen, P.C., Switala, J. and Triggs-Baine, B.L. Catalases HPI and HPII in *Escherichia coli* are induced independently. 1985. Arch. Biochem. Biophys. 243:144-149.
- Long, S., McCune, S. and Walker, G.C. Symbiotic loci of *Rhizobium meliloti* identified by random InphoA mutagenesis. 1988. J. Bacteriol. 170:4257-4265.
- Long, S.R. *Rhizobium-legume* nodulation: life together in the underground. 1989. Cell 56:203-214.
- Long, S.R. and Staskawics, B.J. Prokaryotic plant parasites. 1993. Cell 73:921-935.

Zelai, G.W. and Strohl, W.R. Comparison of growth, acetate production, and acetate inhibition of *Escherichia coli* strains in batch and fed-batch fermentations. 1990. *Appl. Environ. Microbiol.* 56:1004-1011.

Mo, M. and Eaton, J.W. Multicellular oxidant defense in unicellular organisms. 1992. *Proc.Natl.Acad.Sci.* 89:7924-7928.

Martin, G.B., Chapman, R.A. and Chalm, B.K. Role of the *Bradyrhizobium japonicum* *ntrC* gene product in differential regulation of the glutamine synthetase II gene (*glnII*). 1988. *J. Bacteriol.* 170:5452-5459.

Martínez-Sáezar, J.M., Romero, D., Girard, M.L. and Davis, G. Molecular cloning and characterization of the *recA* gene of *Rhizobium phaseoli* and construction of *recA* mutants. 1991. *J. Bacteriol.* 173:3035-3040.

McCann, M.P., Ridwell, J.P. and Matin, A. The putative sigma factor KatF has a central role in development of starvation-mediated general resistance in *Escherichia coli*. 1991. *J. Bacteriol.* 173:4188-4194.

McDermott, T.R. and Kahn, M.L. Cloning and mutagenesis of the *Rhizobium meliloti* isocitrate dehydrogenase gene. 1992. *J. Bacteriol.* 174:4790-4797.

McGowan, S., Sebaihia, M., Jones, S., Yu, B., Bainton, N., Chan, P.P., Sycroft, B., Stewart, G.S., Williams, P. and Salmond G.P. Carbapenem antibiotic production in *Erwinia carotovora* is regulated by CarR, a homologue of the LuxR transcriptional activator. 1995. *Microbiol.* 141:541-550.

McKay, I.A., Dilworth, M.J. and Glenn, A.R. C4-Dicarboxylate metabolism in free-living and bacteroid forms of *Rhizobium leguminosarum* MNF3841. 1988. *J. Gen. Microbiol.* 134:1433-1440.

McKay, I.A., Dilworth, M.J. and Glenn, A.R. Carbon metabolism in continuous cultures and bacteroid forms of *Rhizobium leguminosarum* MNF3841. 1989. *Arch. Microbiol.* 152:606-610.

McKay, I.A., Glenn, A.R. and Dilworth, M.J. Gluconeogenesis in *Rhizobium leguminosarum* MNF3841. 1985. *J. Gen. Microbiol.* 131:2067-2073.

McKay, I.A., Glenn, A.R. and Dilworth, M.J. C4-dicarboxylate metabolism in free-living and bacteroid forms of *Rhizobium leguminosarum* MNF3841. 1988. *J.Gen.Microbiol* 134:1433-1440.

Meighen, E.A. Molecular biology of bacterial bioluminescence. 1991. *Microbiol. Rev.* 55:123-142.

- Moller, R.B.** Bacteroids in the Rhizobium-Legume Symbiosis Inhabit a Plant Internal Lytic Compartment: Implications for other Microbial Endosymbioses. 1989. J. Exp. Botany 40 No. 217:831-839.
- Modak, H.V. and Kelly, D.J.** Acetyl-CoA-dependent pyruvate carboxylase from the photosynthetic bacterium *Rhodobacter capsulatus*: rapid and efficient purification using dye-ligand affinity chromatography. 1995. Microbiol. 141:2619-2628.
- Mora, J.** Glutamine metabolism and cycling in *Neurospora crassa*. 1990. Microbiol. Rev. 54:293-304.
- More, M.I., Finger, L.D., Stryker, J.L., Puqua, C., Eberhard, A., and Winans, S.C.** Enzymatic synthesis of a quorum-sensing autoinducer through use of defined substrates. 1996. Science 272:1655-1658.
- Moustafa, S. and Leong, C.K.** Effect of adenine nucleotides on NAD-dependent isocitrate dehydrogenases in rhizobia and bacteroids of legume root nodules. 1975. Biochim. Biophys. Acta 391:9-14.
- Mukata, M., Matsuka, M., Kashivabara, Y., Ohada, M. and Sasakiwa, C.** Nucleotide sequence of the *Mycobacterium leprae* KatG region. 1997. J. Bacteriol. 179:3053-3057.
- Weinhardt, P.C.** What the bacteriologists have learned about heat shock. 1987. Gen. Develop. 1:109-110.
- Newsholme, E.A., Challis, A.J. and Crabtree, B.** Substrate cycles: their role in improving sensitivity in metabolic control. 1984. Trends Biochem. Sci 9:277-280.
- Mystrem, T.** The glucose-starvation stimulon of *Escherichia coli*: induced and repressed synthesis of enzymes of central metabolic pathways and role of acetyl phosphate in gene expression and starvation survival. 1994. Mol. Microbiol. 12:833-843.
- Mystrem, T., Flardh, K. and Kjelleberg, S.** Responses to multiple-nutrient starvation in marine *Vibrio* sp. strain CCUG 15956. 1990. J. Bacteriol. 172:7085-7097.
- Mystrem, T. and Weinhardt, P.C.** Expression and role of the universal stress protein, UspA, of *Escherichia coli* during growth arrest. 1994. Mol. Microbiol. 11:537-544.
- Mystrem, T.** In: Starvation in Bacteria, edited by Kjelleberg, S. Plenum Press: Starvation in Bacteria, 1993, p. 129-149.
- Mystrem, T.** 1994. Gen. Genet. 245:355-362.
- Osteras, M., Finan, T.M. and Stanley, J.** Site-directed mutagenesis and DNA sequence of *pckA* of *Rhizobium NGR234*, encoding phosphoenolpyruvate carboxykinase: gluconeogenesis and host- dependent symbiotic phenotype. 1991. Mol. Gen. Genet. 230:257-269.

- Osaki, M., Wada, A., Fujita, M. and Ishikawa, A. Growth phase-dependent modification of RNA polymerase in *Escherichia coli*. 1991. Mol. Gen. Genet. 230:17-23.
- Pardo, M.A., Legumes, J., Miranda, J. and Martínez, E. Modulating ability of *Rhizobium tropici* is conditioned by a plasmid-encoded citrate synthase. 1994. Mol. Microbiol. 11:315-321.
- Parke, D. and Orton, L.W. Enzymes of the  $\beta$ -ketoadipate pathway are inducible in *Rhizobium* and *Agrobacterium* spp. and constitutive in *Bradyrhizobium* spp. 1986. J. Bacteriol. 165:288-292.
- Parkinson, J.S. Signal transduction schemes of bacteria. 1993. Cell 73:857-871.
- Parkinson, J.S. and Kefoid, E.C. Communication modules in bacterial signaling proteins. 1992. Annu. Rev. Genet. 26:71-112.
- Passador, L., Cook, J.M., Gambello, M.J., Rust, L. and Iglesias, S.H. Expression of *Pseudomonas aeruginosa* virulence genes requires cell-to-cell communication. 1993. Science 260:1127-1130.
- Pearson, J.P., Gray, K.M., Passador, L. Structure of the autoinducer required for expression of *Pseudomonas aeruginosa* virulence genes. 1994. Proc. Natl. Acad. Sci. USA 91:197-201.
- Pearson, J.P., Passador, L., Iglesias, S.H. and Greenberg, E.P. A second N-acylhomoserine lactone signal produced by *Pseudomonas aeruginosa*. 1995. Proc. Natl. Acad. Sci. USA 92:1490-1494.
- Pedrasa, F.O. and Zancan, G.T. L-Arabinose metabolism in *Rhizobium japonicum*. 1974. J. Bacteriol. 119:336-338.
- Pieper-Purst, U., Makkour, M.H., Mayer, P. and Steinbüchel, A. Purification and characterization of a 14-kilodalton protein that is bound to the surface of polyhydroxyalkanoic acid granules in *Rhodococcus ruber*. 1994. J. Bacteriol. 176:4328-4337.
- Pipes, R.R., Beck von Bodman, S. and Ferrand, S.K. Conjugation factor of *Agrobacterium tumefaciens* regulates Ti plasmid transfer by autoinduction. 1993. Nature 362:448-450.
- Pirkola, M., Fligo, D., Heikinheimo, R. and Palva, E.T. A small diffusible signal molecule is responsible for the global control of virulence and exoenzyme production in the plant pathogen *Erwinia carotovora*. 1993. EMBO J 12:2467-2476.
- Peeler, P.S., Franklin, M., Glenn, A.R. and Dilworth, M.J. The transport of L-glutamate by *Rhizobium Leguminosarum* involves a common amino acid carrier. 1986. J. Gen. Microbiol. 131:1441-1448.
- Preisig, O., Anthamatten, D. and Hennecke, H. Genes for a microaerobically induced oxidase complex in *Bradyrhizobium japonicum* are

- essential for a nitrogen-fixing endosymbiosis. 1993. Proc. Natl. Acad. Sci. USA 90:3309-3313.
- Preston, G.G., Seiber, C., Wall, J. and Emerich, D.W. Acetate-activating enzymes of *Bradyrhizobium japonicum* bacteroids. 1989. Appl. Environ. Microbiol. 55:165-170.
- Popeley, A.P. and Cole, S.T.  $\beta$ -Galactosidase and alkaline phosphatase do not become extracellular when fused to the amino-terminal part of colicin W. 1986. J. Gen. Microbiol. 132:2297-2307.
- Puppe, A., Sigaud, J. and Job, D. Role of the superoxide anion in the leghemoglobin autoxidation. 1981. Plant Sci. 22:353-360.
- Rasmussen, L.J., Moller, P.L. and Atlung, T. Carbon metabolism regulates expression of the *pfl* (pyruvate formate-lyase) gene in *Escherichia coli*. 1991. J. Bacteriol. 173:6390-6397.
- Rutherford, S., Minchin, F.R., Summerfield, R.J., Cockson, C. and Coombe, J. Carbon and nitrogen metabolism in legume root nodules. 1980. Phytochem. 19:341-355.
- Reeves, C.A., Amy, P.S. and Matim, A. Role of protein synthesis in the survival of carbon-starved *Escherichia coli* K-12. 1984. J. Bacteriol. 160:1041-1046.
- Ritchie, G.A., Sonier, P.J. and Dewes, H.A. The purification and characterization of acetoacetyl-coenzyme A reductase from *Asotobacter beijerinckii*. 1971. Biochem. J. 121:309-316.
- Rocha, E.R., Selby, E., Coleman, J.P. and Smith, C.J. Oxidative stress response in an anaerobe, *Bacteroides fragilis*: a role for catalase in protection against hydrogen peroxide. 1996. J. Bacteriol. 178:6895-6903.
- Rosen, C.W., Lyttleton, P. and Robertson, J.G. C<sub>4</sub>-dicarboxylate transport mutants of *Rhizobium trifolii* from ineffective nodules on *Trifolium repens*. 1981. Proc. Natl. Acad. Sci. USA 78:4284-4288.
- Rosen, C.W. and Primoise, S.B. Carbohydrate metabolism in *Rhizobium trifolii*: Identification and symbiotic properties of mutants. 1979. J. Gen. Microbiol. 112:77-88.
- Rossbach, S., Schell, J. and de Bruijn, P.J. The *ntrC* of *Agrobacterium tumefaciens* C58 controls glutamine synthetase (GSII) activity, growth on nitrate and chromosomal but not Ti-encoded arginine catabolism pathways. 1987. Mol. & Gen. Genet. 209:419-426.
- Rossi, M., Dofes, R., Chiurazzi, M., Lamberti, A., Puglia, A. and Lescarini, M. Regulation of glutamine isoenzymes in *Rhizobium leguminosarum* biovar *viciae*. 1989. J. Gen. Microbiol. 135:629-637.

- Basile, P.D. and Silhavy, T.J. The essential tension: opposed reactions in bacterial two-component regulatory systems. 1993. Trends Microbiol 1:306-310.
- Ryan, T.P. and Aust, S.D. The role of iron in oxygen-mediated toxicities. 1992. Crit. Rev. Toxicol. 22:119-141.
- Röhm, H. and Werner, D. Regulation of the  $\beta$ -ketoadipate pathway in *Bradyrhizobium japonicum* and bacteroids by succinate. 1985. Arch. Microbiol. 140:375-379.
- Salminen, S.O. and Streeter, J.G. Involvement of glutamate in the respiratory metabolism of *Bradyrhizobium japonicum* bacteroids. 1987. J. Bacteriol. 169:495-499.
- Salmond, G.P., Pyrcroft, B.W., Stewart, G.S. and Williams, P. The bacterial 'enigma': cracking the code of cell-cell communication. 1995. Mol. Microbiol. 16:615-624.
- Samuel, S.D. Allosteric controls of amphilbolic pathways in bacteria. 1970. Bacteriol. Rev. 34:20-39.
- Saroso, S., Dilworth, M.J. and Glenn, A.R. The use of activities of carbon catabolic enzymes as a probe for the carbon nutrition of snake bean nodule bacteroids. 1986. J. Gen. Microbiol. 132:243-249.
- Schaefer, A.L., Hasselka, B.L., Eberhard, A. and Greenberg, B.P. Quorum sensing in *Vibrio fischeri*: probing autoinducer-LuxR interactions with autoinducer analogs. 1996. J. Bacteriol. 178:2897-2901.
- Schellhorn, H.E. Regulation of hydroperoxidase (catalase) expression in *Escherichia coli*. 1995. FEMS Microbiol. Lett. 131:113-119.
- Schröppeler, J. In: Edinburgh, Abstract no. 71. Seventh International Symposium on Molecular Plant-Microbe Interactions, 1994,
- Schröppeler, J., de Rudder, R.B., van Vliet, T.B., Lamkhorst, P.F., de Vreem, B., Kijne, J.W. and van Brussel, A.A. Bacteriocin small of *Rhizobium leguminosarum* belongs to the class of N-acyl-L-homoserine lactone molecules, known as autoinducers and as quorum sensing co-transcription factors. 1996. J. Bacteriol. 178:366-371.
- Schultz, M. 1994. Int. Rev. Cytol. 156:1-75.
- Schultz, M. and Komodoseki, A. What makes nodulation signals host-plant specific? 1995. Trends Microbiol. 3:370-372.
- Seah, T.C., Shatti, A.R. and Kaplan, J.G. Novel catalytic proteins of bakers' yeast. I. An atypical catalase. 1973. Can. J. Biochem. 51:1551-1555.
- Seah, T.C. and Kaplan, J.G. Purification and properties of the catalase of bakers' yeast. 1973. J. Biol. Chem. 248:2889-2893.

- Somier, P.J., Beech, G.A., Ritchie, G.A. and Dawes, S.A. The role of oxygen limitation in the formation of poly- $\beta$ -hydroxybutyrate during batch and continuous culture of *Azotobacter beijerinckii*. 1972. Biochem. J. 128:1193-1201.
- Somier, P.J. and Dawes, S.A. Poly- $\beta$ -hydroxybutyrate biosynthesis and the regulation of glucose metabolism in *Azotobacter beijerinckii*. 1971. Biochem. J. 125:55-66.
- Shatters, R.G., Liu, Y. and Kahn, M.L. Isolation and characterization of a novel glutamine synthetase from *Rhizobium meliloti*. 1993. J. Biol. Chem. 268:469-475.
- Shatters, R.G., Somerville, J.B. and Kahn, M.L. Regulation of glutamine synthetase II activity in *Rhizobium meliloti* 104A14. 1989. J. Bacteriol. 171:5087-5094.
- Siegele, D.A. and Kolter, R. Life after log. 1992. J. Bacteriol. 174:345-348.
- Sitnaikev, D.M., Schineller, J.B. and Baldwin, T.O. Transcriptional regulation of bioluminescence genes from *Vibrio fischeri*. 1995. Mol. Microbiol. 17:801-812.
- Spector, M.P. and Cubitt, C.L. Starvation-inducible loci of *Salmonella typhimurium*: regulation and roles in starvation-survival. 1992. Mol. Microbiol. 6:1467-1476.
- Spector, M.P. and Foster, J.W. In: Kjelleberg, S. Plenum Press: Starvation in Bacteria, 1993, p. 201-224.
- Spence, J., Cegielska, A. and Georgopoulos, C. Role of *Escherichia coli* heat shock proteins DnaK and HtpG (C62.5) in response to nutritional deprivation. 1990. J. Bacteriol. 172:7157-7166.
- Stadman, E.R. A note on the significance of glutamine in intermediary metabolism. In: The Enzymes of Glutamine Metabolism, edited by Prusiner, S. and Stadman, E.R. New York, NY: Academic Press, 1973, p. 1-6.
- Steinbuchel, A., Bustede, B., Liebergesell, M., Pieper, U., Tietze, A. and Valentim, M. Molecular basis for biosynthesis and accumulation of polyhydroxylcanoic acids in bacteria. 1992. FEMS Microbiol. Rev. 9:217-230.
- Stock, J.B., Minya, A.J. and Stock, A.M. Protein phosphorylation and regulation of adaptive responses in bacteria. 1989. Microbiol. Rev. 53:450-490.
- Stors, G., Tartaglia, L.A., Parr, S.S. and Ames, B.N. Bacterial defenses against oxidative stress. 1990. Trends Genet. 6:363-368.
- Streeter, J.G. and Salminen, S.O. Carbon metabolism in legume nodules. In: Nitrogen Fixation Research Progress, edited by Evans, H.J..

Bottomeley, P.J. and Newton, W.E. Dordrecht: Martinus Nijhoff, Dordrecht., 1985, p. 277-283.

Tajima, S., Mousai, R. and Kimura, I. NAD(P)/NAD(P)H ratio and energy charge in succinate degrading soybean nodule bacteroids, in Nitrogen Fixation: Hundred Years After. In: Bothé, H., de Brujin, F.J. and Newton, W.E. New York, N.Y.: Gustav Fischer., 1988, p. 564.

Tanaka, K., Takeyamagi, Y., Fujita, M., Ishihama, A. and Takahashi, H. Heterogeneity of the principal sigma factor in *Escherichia coli*: The rpoS gene product, sigma38, is a second principal sigma factor of RNA polymerase in stationary-phase *Escherichia coli*. 1993. Proc. Natl. Acad. Sci. USA 90:3511-3515.

Uee, K., Makino, K., Yonei, S., Nakata, A. and Shinagawa, H. Molecular cloning and nucleotide sequencing of oxyR, the positive regulatory gene of a regulon for an adaptive response to oxidative stress in *Escherichia coli*: homologies between OxyR protein and a family of bacterial activator proteins. 1989. Mol. Gen. Genet. 218:371-376.

Pavernier, P., Portais, J.C., Nova Saucedo, J.E., Courtois, J., Courteis, B. and Barbotin, J.M. Exopolysaccharide and Poly- $\beta$ -Hydroxybutyrate Coproduction in Two *Rhizobium meliloti* Strains. 1997. Appl. Environ. Microbiol. 63, No. 1:21-26.

Thémy-Meyer, L. and Kunsler, P. The *Bradyrhizobium japonicum* aconitase gene (*acnA*) is important for free-living growth but not for an effective root nodule symbiosis. 1996. J. Bacteriol. 178:6166-6172.

Vian, A. and Steinbuchel, A. Formation of polyesters consisting of medium-chain-length 3-hydroxyalcanoic acids from gluconate by *Pseudomonas aeruginosa* and other fluorescent pseudomonads. 1990. Appl. Environ. Microbiol. 56:3360-3367.

Weder, D.S., Gambello, M.J. and Iglesias, B.N. *Pseudomonas aeruginosa* LasR: a second elastase under the transcriptional control of LasR. 1991. Mol. Microbiol. 5:2003-2010.

Gambellini, R., Povolo, S., Buson, A., Squartini, A. and Nuti, B.P. Poly- $\beta$ -hydroxybutyrate (PHB) biosynthetic genes in *Rhizobium meliloti* 41. 1995. Microbiol. 141:2553-2559.

Triggs-Raine, B.L., Dobie, B.W., Mulvey, M.R., Sorby, P.A. and Leewen, P.C. Nucleotide sequence of *katG*, encoding catalase HPI of *Escherichia coli*. 1988. J. Bacteriol. 170:4415-4419.

Temprana, U.L., Zograft, O.N., Orlova, E.V., Reiselev, N.A., Pushkin, A.V., Shiffelova, G.B., Solovieva, N.A., Svetigreva, S.G. and Krutovich, V.L. Electron microscopy of multi forms of glutamine synthetase from bacteroids and the cytosol of yellow Lupin root nodules. 1987. Biochim. Biophys. Acta 913:368-376.

Uvardi, M.K. and Kahn, M.L. 1992. Symbiosis 14:87-101.

- Ultsur, S.** The regulatory control of the bacterial luminescence system - a new view. 1989. J. Biolumin. Chemilumin. 4:317-325.
- Van Nijhuis, P., Luyten, E., Vlaesak, K. and Vanderleyden, J.** Isolation and characterization of a pSym locus of *Rhizobium* sp. BR816 that extends nodulation ability of narrow host range *Phaseolus vulgaris* symbionts to *Leucaena leucocephala*. 1996. Mol. Plant Microbe Interact. 9:74-77.
- VanBogelen, R.A., Sankar, P., Clark, R.L., Bogen, J.A. and Meidhardt, P.C.** The gene-protein database of *Escherichia coli*: edition 5. 1992. Electrophoresis 13:1014-1054.
- Von Ossowski, I., Mulvey, M.R., Lecoq, P.A., Borys, A. and Leewen, P.C.** Nucleotide sequence of *Escherichia coli katE*, which encodes catalase HPII. 1991. J. Bacteriol. 173:514-520.
- Warme, S.R., Varley, J.M., Boulnois, G.J. and Morton, M.G.** Identification and characterization of a gene that controls colony morphology and auto-aggregation in *Escherichia coli* K12. 1990. J. Gen. Microbiol. 136:455-462.
- Waters, J.K., Kerr, D.B. and Emerich, D.W.** Malate dehydrogenase from *Rhizobium japonicum* 3IIb-143 bacteroids and *Glycine max* root-nodule mitochondria. 1985. Biochem. 24:6479-6486.
- Weitzman, P.D.** Regulation of citrate synthase activity in *Escherichia coli*. 1966. Biochim. Biophys. Acta 128:213-215.
- Weitzman, P.D.** Unity and diversity in some bacterial citric acid-cycle enzymes. 1981. Adv Microb Physiol 22:185-244.
- Weitzman, P.D. and Jones, D.** Regulation of citrate synthase and microbial taxonomy. 1968. Nature 219:270-272.
- Weitzman, P.D.** Regulation fo alpha-ketoglutarate dehydrogenase activity in *Acinetobacter*. 1972. FEBS Lett. 22:323-326.
- Werner, D., Wilcockson, J. and Kalkowski, B.** Nitrogen-fixing activities in *Rhizobium japonicum* separated from plant cell cultures. 1975. Z. Naturforsch. 30:678-688.
- Westenhoff, H.V., Mellingwerf, R.J. and Van Dam, R.** Thermodynamic efficiency of microbial growth is low but optimal for maximal growth rate. 1983. Proc. Natl. Acad. Sci. USA 80:305-309.
- Williams, P., Bainton, M.J., Swift, S., Chhabra, S.R., Winsor, M.R., Stewart, G.S., Salmon, G.P. and Bycroft, B.W.** Small molecule-mediated density-dependent control of gene expression in prokaryotes: bioluminescence and the biosynthesis of carbapenem antibiotics. 1992. FEBS Microbiol. Lett. 79:161-167.

Weiss, P. and Evans, M.J. Poly- $\beta$ -hydroxybutyrate utilization by soybean (*Glycine max* Merr.) nodules and assessment of its role in maintenance of nitrogenase activity. 1971. *Plant Physiol.* 47:750-755.

Woodbury, W., Spencer, A.K., and Stahmann, M.A. An improved procedure using ferricyanide for detecting catalase isozymes. 1971. *Annals. Biochem.* 44:33-41.

Zambiane, M.M. and Kolter, R. GASping for life in stationary phase. 1996. *Cell* 86:181-184.

Zhang, L., Murphy, P.J., Kerr, A. and Tate, M.B. Agrobacterium conjugation and gene regulation by N-acyl-L-homoserine lactones. 1993. *Nature* 362:446-448.